

MINISTERUL EDUCAȚIEI SI INVATAMINTULUI

INSTITUTUL POLITEHNIC "TRAIAN VUIA" TIMISOARA  
FACULTATEA DE ELECTROTEHNICA

Ing. Biriescu Marius

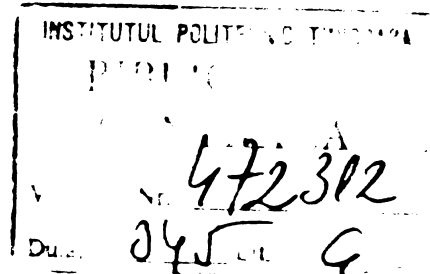
DETERMINAREA UNOR PARAMETRI ELECTROMAGNETICI  
SI CARACTERISTICI ALE CIMPULUI MAGNETIC DIN INTREFIER  
LA MASINI SINCRONE DE PUTERE MARE

TEZA DE DOCTORAT

BIBLIOTECĂ CENTRALĂ  
UNIVERSITATEA "POLITEHNICA"  
TIMIȘOARA

Coducător științific,  
Prof.dr.ing. TOMA DORDEA

- 1985 -





C U P R I N S

|  | . Pag. |
|--|--------|
| INTRODUCERE. . . . .   | 1      |
| Cap.1. ASPECTE GENERALE PRIVIND ECUATIILE SI PARAMETRII<br>MASINILOR SINCRONE. . . . .   | 5      |
| 1.1. PRINCIPIII GENERALE . . . . .   | 5      |
| 1.1.1. Ipoteze de bază . . . . .   | 5      |
| 1.1.2. Sistemul axelor de coordonate.<br>Sensuri pozitive. . . . .   | 6      |
| 1.1.3. Sistemul unităților reportate . . . . .   | 8      |
| 1.1.4. Reducerea infășurărilor . . . . .   | 10     |
| 1.1.5. Substituirea infășurărilor scur-<br>cuitale ale rotorului cu infă-<br>șurări echivalente bifazate, la<br>masini sincrone. . . . . | 14     |
| 1.1.6. Parametrii infășurărilor rotorice<br>echivalente. . . . .   | 19     |
| Cap.2. PARAMETRII FIZICI SI PARAMETRII ECHIVALENTI<br>CARE INTERVIN IN ECUATIILE DE ANALIZA ALE RE-<br>GIMURILOR TRANZITORII. . . . .    | 27     |
| 2.1. ECUATIILE SI PARAMETRII MASINII SINCRONE<br>CU POLI PROEMINENTI IN SISTEMUL DE COOR-<br>DONATE AL FAZELOR . . . . .                 | 27     |
| 2.1.1. Ecuațiile infășurărilor reale. . . .  | 27     |
| 2.1.2. Fluxurile și inductivitățile ma-<br>sinii sincrone reale . . . . .  | 29     |
| 2.2. ECUATIILE SI PARAMETRII MASINII SINCRONE<br>CU POLI PROEMINENTI IN SISTEMUL DE COOR-<br>DONATE d și q . . . . .                     | 37     |
| 2.2.1. Schimbarea variabilelor. Transfor-<br>marea curenților in coordonate d,<br>q și , . . . . .                                       | 37     |

|  |            |
|--|------------|
| <b>2.2.2. Ecuatiile tensiunilor si fluxurilor<br/>in coordonate , si d, q. Legă-<br/>tura dintre parametrii reali si pa-<br/>rametrii echivalenți. . . . . . . . .</b>   | <b>41</b>  |
| <b>Cap.3. METODOLOGIE DE DETERMINARE A PARAMETRILOR MASI-<br/>NII SINCRONE, POLOSIND PRELUCRAREA NUMERICA A<br/>REZULTATELOR OBTINUTE IN UNELE REGIMURI TRANZI-<br/>TORII. . . . . . . . . . . . . . . . . .</b> | <b>45</b>  |
| <b>3.1. ECUATIILE PENTRU REGIMURI TRANZITORII PAR-<br/>TICULARE IN VEDEREA DETERMINARII PARAMETRI-<br/>LOR DUPA AXELE "d" si "q" . . . . . . . . .</b>   | <b>45</b>  |
| <b>3.1.1. Ecuatiile pentru pozitia longitudi-<br/>nală a rotorului - atenuare longitudu-<br/>dinală . . . . . . . . . . . . . . . . .</b>  | <b>45</b>  |
| <b>3.1.2. Ecuatiile din incercarea de stingere<br/>a cimpului cu statorul deschis . . . . .</b>  | <b>52</b>  |
| <b>3.1.3. Ecuatiile de la incercarea după axa<br/>transversală . . . . . . . . . . . . . . . .</b>   | <b>61</b>  |
| <b>3.2.1. Realizarea practică a incercărilor<br/>de regim transzitoriu. Realizarea prac-<br/>tică a incercării după axa d . . . . .</b>  | <b>66</b>  |
| <b>3.2.2. Influența saturăției . . . . . . . . .</b>   | <b>76</b>  |
| <b>3.2.3. Programul pentru prelucrarea numerică<br/>a oscilogramelor și calculul parame-<br/>trilor. Rezultate obținute . . . . . . . .</b>  | <b>90</b>  |
| <b>Cap.4. CIMPUL MAGNETIC DIN INTREPIERUL MASINILOR SIN-<br/>CRONE .</b>   | <b>104</b> |
| <b>4.1. FORMA OPTIMA DE REPARTITIE A INDUCTIEI MAG-<br/>NETICE IN INTREPIERUL MASINILOR SINCRONE. . .</b>  | <b>104</b> |
| <b>4.1.1. Condiții de optim . . . . . . . . .</b>  | <b>104</b> |
| <b>4.1.2. Realizarea condițiilor de optim la<br/>o magină cu poli preeminenți. . . . . . .</b>   | <b>106</b> |
| <b>4.1.3. Realizarea condițiilor de optim la<br/>o magină cu poli înecăti. . . . . . . . .</b>   | <b>111</b> |
| <b>4.2. DETERMINAREA EXPERIMENTALA A REPARTITIEI<br/>CIMPULUI MAGNETIC DIN INTREPIER. . . . . . .</b>  | <b>125</b> |

|  |     |
|--|-----|
| 4.2.1. Metode clasice de determinare<br>experimentală a cîmpului magnetic . . . . .  | 123 |
| 4.2.2. Metodă experimentală de studiu a<br>cîmpului din întrefier cu separa-<br>rarea numerică a armonicilor -<br>metoda filtrelor de spațiu. . . . .  | 124 |
| 4.2.3. Aplicarea practică a metodei fil-<br>trelor de spațiu. Programul de<br>prelucrare numerică a înregistră-<br>rilor. Rezultate obținute . . . . . | 131 |
| Cap.5. CONCLUZII . . . . .   | 144 |
| A n e x a 1 . . . . .  | 148 |
| A n e x a 2 . . . . .  | 154 |
| A n e x a 3 . . . . .  | 173 |
| BIBLIOGRAFIE . . . . .   | 188 |



## I N T R O D U C E R E

In instalațiile echipate cu mașini sincrone se manifestă în prezent două tendințe: creșterea puterii unitare a mașinilor și creșterea nivelului de automatizare a acestor instalații. Actual, aceste tendințe au implicații atât asupra proiectării cât și asupra încercării și determinărilor experimentale de pe standurile întreprinderilor care realizează astfel de mașini.

O implicație importantă se referă la orientările noi care apar în domeniul tehnicii de încercare a mașinilor sincrone mari, prin folosirea unor metode și mijloace moderne de determinare a mărimilor și de prelucrare a rezultatelor.

Industria noastră electrotehnică produce toate mașinile sincrone necesare economiei naționale, cât și mașini sincrone destinate exportului. Acestea sunt în majoritatea cazurilor mașini de putere medie și mare, serii mici de producție, unicate sau comenzi speciale. Instalațiile și complexele de instalații echipate cu mașini sincrone, care au, prin mărimea și funcțiile pe care le îndeplinesc, o importanță deosebită în economia națională, trebuie să aibă o funcționare sigură și cu pierderi energetice minime. Aceste condiții nu pot fi satisfăcute decât printr-un final grad de automatizare. Automatizarea proceselor din aceste instalații necesită cunoașterea precisă a parametrilor reali ai mașinii sincrone. De aceea în condițiile extinderii conducerii automate a acestora, a introducerii calculatoarelor de proces, se impune ca o necesitate actuală studiul și perfecționarea unor metode de determinare precisă a parametrilor reali ai mașinilor sincrone, fără de care mașina nu poate fi introdusă într-un sistem automat.

Din alt punct de vedere, cunoașterea cu precizie ridicată a unor parametri funcționali, pe bază experimentală, în care se include și influența tehnologiei, la mașinile deja realizate se reflectă în mod pozitiv asupra proiectării acestor mașini. Prin compararea datelor experimentale cu cele de proiectare se pot modifica unele date care țin de domeniul experienței de proiectare și de fabricație.

Metodele de determinare experimentală a parametrilor mașinilor sincrone, pe standurile industriale, impuse de standarde și

norme interne sunt de tip grafic sau grafo-analitic. Ele implică determinarea experimentală a mai multor dependențe sub formă grafică, a căror prelucrare grafică sau grafo-analitică se finalizează prin determinarea, de obicei, a unui singur parametru. Aceste metode presupun funcționarea în sarcină a mașinii.

Exemplul tipic în acest sens îl constituie separarea celor două componente ale reactanței sincrone longitudinale (reactanța de reacție longitudinală și reactanța de dispersie) prin metoda clasică utilizând caracteristica de scurtcircuit trifazat simetric și caracteristica în sarcină inductivă.

Pentru mașinile sincrone de putere mare încercarea în sarcină este dificilă și uneori imposibil de realizat într-un stand industrial de încercări. Pe de altă parte, determinarea unor dependențe funcționale complete în regimuri stabilizate de funcționare la aceste mașini, implică un transfer considerabil de energie, care datorită specificului încercărilor nu poate fi recuperată, deci apar pierderi energetice mari.

Că urmare, este o problemă de actualitate perfecționarea unor noi metode de încercare, larg aplicabile, care să nu solicite mașina, de precizie ridicată și pe cît posibil cu consumuri energetice scăzute. Un domeniu care a fost puțin utilizat în practică în situații concrete, datorită volumului mare de calcule și performanțelor care trebuiau să fie satisfăcute de aparatura de măsură, este determinarea parametrilor din anumite regimuri tranzitorii. Acest domeniu revine în atenția specialiștilor datorită perfecționării metodelor de înregistrare și prelucrare a rezultatelor. Avantajul utilizării regimurilor tranzitorii îl constituie numărul mare de parametri care se pot determina din cîteva încercări și consumuri de energie mult mai mici decât în probele clasice.

Lucrarea are în vedere determinarea unor parametri și caracteristici ale cîmpului magnetic din între fier la mașini sincrone de putere mare, prin tehnici de încercare și prelucrare a rezultatelor care să corespundă necesităților fabricilor care produc aceste mașini.

Scopul principal al lucrării a fost ca, printr-o strînsă legătură cu practica industrială, materialul elaborat să răspundă unor cerinte actuale, iar rezultatele obținute să aibă o utilitate imediată, fiind în totalitate aplicabile pe standurile care încercă mașini sincrone din țara noastră.

In capitolul 1 sînt date elementele generale care stau la baza stabilirii ecuațiilor, în vederea determinării parametrilor la mașini sincrone. Se insistă asupra unor aspecte legate de reducerea și substituirea înfășurărilor.

Capitolul 2 conține o analiză detaliată a parametrilor fizici și parametrilor echivalenți, la mașini sincrone. În acest capitol se aduc contribuții constînd în dezvoltarea aspectelor teoretice referitoare la legătura dintre parametrii fizici și parametrii echivalenți în relații specifice, făcîndu-se și interpretările fizice care rezultă.

In capitolul 3 se analizează unele regimuri tranzitorii particulare, utile la determinarea parametrilor. Pe baza particularizării relațiilor generale prezentate anterior, se dezvoltă o metodologie de determinare a parametrilor care trebuie să se cunoască prin încercări pe un stand industrial. În acest capitol se aduce o contribuție teoretică prin demonstrarea riguroasă și completă a legăturii dintre parametrii mașinii sincrone, care apar în regimul uzuial de funcționare și parametrii care intervin în anumite regimuri tranzitorii particulare, de stingere a cîmpurilor magnetice. Se prezintă în mod concret și complet tehnica de determinare practică a unsprezece parametrii echivalenți, printr-un program general de prelucrare numerică, cu concluziile care rezultă din analiză unui mare număr de oscilograme obținute la încercarea unor mașini mari, aceste aspecte constituind contribuții ale autorului. La finele căpitolului se prezintă rezultatele obținute pentru o mașină sincronă de putere mare, element component al unui obiectiv industrial actual.

Capitolul 4 se referă la determinarea practică în regim dinamic a structurii cîmpului magnetic din întrefier, strîns legată de determinarea parametrilor echivalenți. În prima parte a capitolului se analizează principiile de repartiție optimă a cîmpului magnetic din întrefierul mașinilor sincrone și modul în care ele se pot respecta în practică. Determinarea structurii cîmpului în întrefier printr-un program numeric de prelucrare a înregistrărilor, cu separarea armonicilor de spațiu ale cîmpului magnetic din întrefier, cu precizările și interpretările de utilitate practică care rezultă, constituie contribuții ale autorului. Pentru a păstra o structură unitară a lucrării, la sfîrșitul acestui capitol se prezintă oscilogramele și rezultatele concrete obținute din analiza structurii cîmpului magnetic din întrefierul acelieiși mașini sincrone, pentru care au fost determinati și parametrii în capitolul anterior.

Rezultatele lucrării au fost verificate și s-au aplicat în cadrul unor numeroase încercări efectuate pe mașini sincrone de putere mare, în standul de încercări al Întreprinderii Construcțoare de Mașini Reșița. Tehnologiile de încercare astfel perfectionate precum și programele de calcul aferente, se utilizează în acest stand în cazul mașinilor mari, cînd de regulă metodele clasice nu se pot aplica.

Capitolele 3 și 4 s-au aplicat integral în contracte de cercetare /35/, /40/, /41/, prin care s-au dat soluții concrete pentru unele probleme ridicate la încercarea mașinilor sincrone de putere medie și mare, mașini care au intrat în componența unor obiective importante ale economiei noastre naționale.

## C a p i t o l u l    1

### ASPECTE GENERALE PRIVIND ECUATIILE SI PARAMETRII MASINILOR SINCRONE.

#### 1.1. PRINCIPIII GENERALE.

##### 1.1.1. Ipoteze de bază.

Procesele care au loc în mașinile electrice sunt în general aşa de complexe încât descrierea lor matematică și studiul analitic, nu se pot face decât cu o serie de simplificări. Complexitatea este și mai mare dacă ne referim la regimurile tranzitorii, de la care printr-o tratare matematică adecvată, se pot extrage informații complete despre unii parametri, în funcție de regimul analizat. Dificultățile principale ale studiului provin din neliniaritățea caracteristicii de magnetizare, parametrii echivalenți depinzând de valorile curentilor din înfășurări. Pentru a evita obținerea unor sisteme prea complicate și voluminoase de ecuații neliniare, se neglijeză unii factori de importanță secundară, obținindu-se o mașină idealizată.

In mod obisnuit pentru a putea rezolva complet ecuațiile care descriu regimurile tranzitorii ale mașinii electrice, se admit următoarele ipoteze:

1. - absența saturăției magnetice;
2. - absența fenomenului de histereză;
3. - repartizarea sinusoidală în spațiu a solenăției și a inducției magnetice în întregier;
4. - independența cîmpului de dispersie deci și a rezistențelor de dispersie de poziția rotorului.

Diferențele dintre mașina idealizată și mașina reală, constă și în aceea că fiecare înfășurare a mașinii reale, sau o parte a ei reprezentând un circuit separat independent, se substituie în mașina idealizată cu o bobină. Aceste bobine, în mașina reală le pot corespunde un număr mare de conductoare, repartizate sub mai mulți poli. De exemplu înfășurarea trifazată a statorului unei mașini de c.a. se înlocuiește cu trei bobine, repartizate una față de alta cu un unghi de  $2\pi/3$ . Înfășurarea de amortizare a mașinii sincrone, constă dintr-un număr mare de bare, prin care trec curenți diferenți ca mărime, se înlocuiește cu două bobine, decalate

cu un unghi de  $\pi/2$ .

Explorarea practică a mașinilor arată că studiul proceselor tranzitorii din mașinile electrice, făcut pe baza mașinii idealizate și rezultate, în concordanță suficient de bună cu rezultatele experimentale. Regimurile tranzitorii și în special regimurile tranzitorii particulare, au revenit în atenția cercetării, nu pentru frecvența de apariție în exploatarea mașinilor sincrone, ci pentru utilizarea acestor regimuri în standurile de încercări. O caracteristică a acestei orientări, este faptul că în general, din cîteva procese tranzitorii în cadrul cărora se înregistrează tensiuni, curenti și frecvențe, se determină un număr relativ mare de parametri. În general înregistrarea unei astfel de oscilații conține informații despre toți parametrii regimului, dar pentru extragerea lor sunt necesare alte cîteva înregistrări. De aceea pe baza ecuațiilor generale, se scriu ecuațiile pentru anumite regimuri particulare, impuse de natura unor experimente care favorizează separarea parametrilor echivalenți.

#### 1.1.2. Sistemul axelor de coordonate. Sensuri pozitive.

Forma ecuațiilor cu care se studiază diferite regimuri de lucru ale mașinii sincrone depinde de modul de alegere a axelor de coordonate și a sensurilor pozitive.

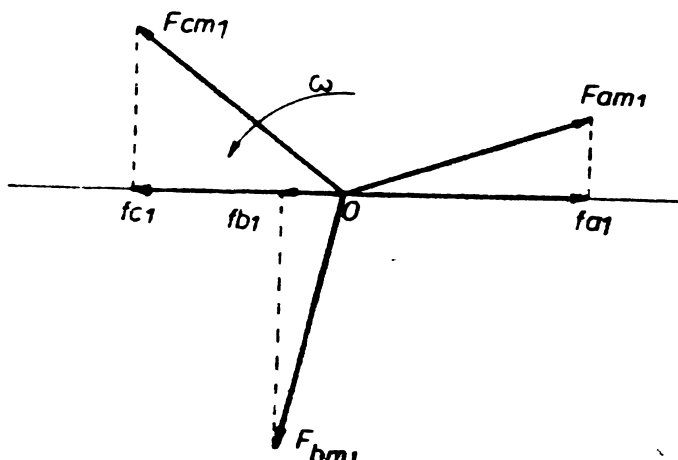


FIG11a Convenția de sens direct pentru t.m.m ale fazelor

Pentru sensul pozitiv al curentului în înfășurările mașinii se va considera sensul de la sfîrșitul bobinei spre începutul ei. Pentru sensul pozitiv al axei înfășurării sau a unei părți separate a ei, reprezentând un circuit independent, se consideră sensul tensiunii magnetomotoare (t.m.m.) a bobinei la trecerea prin ea a curentului în sens pozitiv.

La punerea unei înfășurări trifazate simetrice sub tensiuni simetrice, fazorii t.m.m. pentru cele trei faze reprezintă o stea cu trei raze. Pentru sensul drept de rotație a t.m.m. ale înfășurărilor, alternarea vectorilor tensiunilor magnetomotore va fi  $a$ ,  $b$ ,  $c$  (fig.1.1.a).

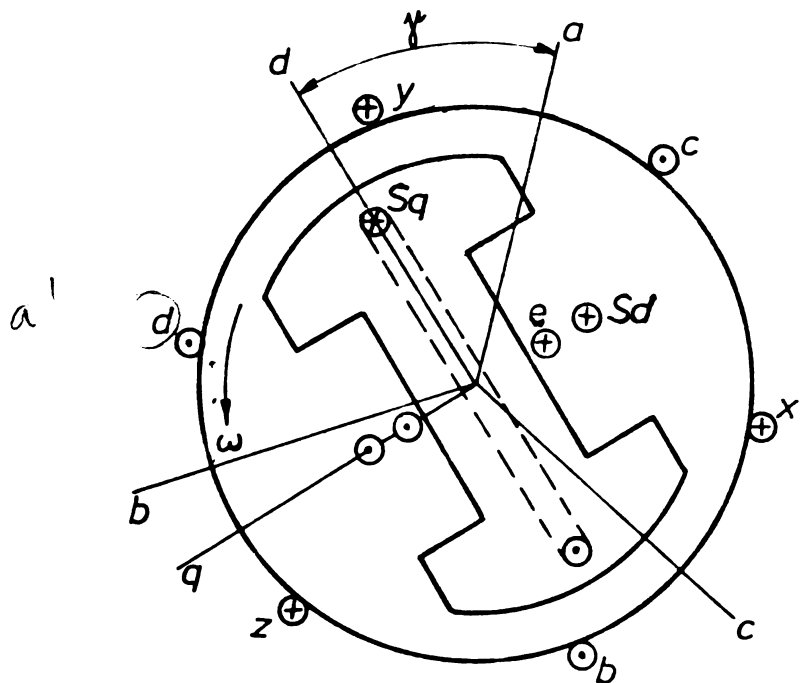


Fig.1.1.b

Axele de coordonate din schema mașinii sincrone idealizate

Sensurile pozitive ale axelor înfășurării trifazate se iau cele ale t.m.m. corespunzătoare bobinelor mașinii idealizate (fig. 1.1.b).

Pentru rotorul mașinilor sincrone se consideră sistemul ortogonal de axe:

d - axa longitudinală cu sensul pozitiv al fazorului t.m.m. a înfășurării de excitare;

q - axa transversală decalată cu  $\pi/2$  înaintea axei d.

Înfășurarea de amortizare se reprezintă în mașina idealizată prin două circuite. Pentru mărimele care se referă la înfășurarea de amortizare (sau stabilizare), se utilizează în continuare indicele "s", pentru a evita confuziile cu alți indici. La curent pozitiv în circuitele înfășurării de amortizare, fazorul t.m.m. și axa longitudinală a acestui circuit "sd" se suprapun peste axa d a rotorului, iar fazorul t.m.m. și axa circuitului "sq", cu axa q a rotorului.

### 1.1.3. Sistemul unităților raportate.

Se alege sistemul de mărimi raportate pentru un control mai ușor al parametrilor pe calculator și compararea lor la mașini diferite.

Sistemul mărimilor de bază (la care se face raportarea) folosit în ecuații pentru determinarea parametrilor este:

1. Pentru mărimea de bază a tensiunii, tensiunii electro-motoare și curentului, se iau amplitudinile corespunzătoare ale mărimilor de fază nominale:

$$\begin{aligned} U_b &= U_{m\ n}; \\ I_b &= I_{m\ n}. \end{aligned} \quad (1.1)$$

2. Pentru mărimea de bază a puterii se ia puterea nominală totală (completă) a tuturor fazelor statorice:

$$P_b = m U_n I_n = \frac{m}{2} U_{m\ n} I_{m\ n} \quad (1.2)$$

unde:  $U_n$ ,  $I_n$  - valori efective nominale corespunzătoare fazei.

3. Pentru mărimea de bază a frecvenței se ia frecvența nominală a rețelei:

$$f_b = f_n \quad (1.3)$$

4. Pentru mărimea de bază a frecvenței unghiulară se ia cea care rezultă pe baza frecvenței nominale:

$$\omega_b = 2\pi f_b = \omega_s \quad (1.4)$$

unde  $\omega_s$  este frecvența unghiulară sincronă.

Cu aceasta rezultă viteza unghiulară mecanică, de bază, de mișcare a rotorului:

$$\Omega_b = \frac{\omega_b}{p} \quad (1.5)$$

în care  $p$  reprezintă numărul de perechi de poli.

5. Pentru mărimea de bază a timpului, se ia timpul în care rotorul căre se frârtează sincron și parcurge un radian electric:

$$t_b = \frac{1}{\omega_b} \quad (1.6)$$

6. Pentru mărimea de bază a momentului se ia momentul care rezultă din puterea de bază, la viteza de rotație de bază:

$$M_b = \frac{P_b}{\Omega_b} = p \frac{P_b}{\omega_b} \quad (1.7)$$

Unitatea de măsură pentru momentul de bază este Watt.secundă. În aceeași unitate se măsoară și energia, pentru a cărei mărime de bază se consideră energia produsă de puterea de bază și frecvența unghiulară de bază, în timpul de rotire a rotorului cu un radian. Acest timp pentru o mașină multipolară este  $p \cdot t_b$  ;

$$W_b = P_b \cdot p \cdot t_b = \frac{P_b}{\omega_b} \cdot p = M_b \quad (1.8)$$

7. Pentru mărimea de bază a impedanței se consideră:

$$Z_b = \frac{U_b}{I_b} = \frac{U_n}{I_n} \quad (1.9)$$

$Z_b$  se utilizează ca mărime de raportare, atât pentru rezistențe, cât și pentru reactanțe.

8. Pentru mărimea de bază a inductivității se ia:

$$L_b = \frac{Z_b}{\omega_b} \quad (1.10)$$

9. Pentru mărimea de bază a fluxului, se consideră fluxul total, care induce în înfășurarea statorică tensiunea de bază, la frecvența unghiulară de bază:

$$\Psi_b = \frac{U_b}{\omega_b} = L_b I_b \quad (1.11)$$

Pentru înfășurările rotorice se obțin cele mai simple ecuații dacă se consideră aceleasi mărimi de raportare, după ce acestea s-au redus la stator.

Pentru a nu introduce indici suplimentari pentru parametri și mărimile raportate, se precizează înainte de scrierea ecuațiilor dacă acestea sunt în sistemul fizic sau în " per-unit " (p.u.).

#### 1.1.4. Reducerea înfășurărilor

Coefficienții de reducere sunt:

- pentru curent  $K_i$
- pentru tensiune  $K_u$
- pentru impedanță  $K_Z$

a) Determinarea lui  $K_i$  din egalitatea armonicilor fundamentale ale t.m.m.

Amplitudinea armonicii fundamentale a t.m.m. statorice este:

$$F_{m1} = \frac{m_1}{2} \frac{4}{\pi} \frac{w_1}{2p} K_{bl} I_{m1} \quad (1.12)$$

unde:

$m_1$  - nr. de faze statorice;

$w_1$  - nr. de spire inseriate succesiv pe o fază statorică;

$K_{bl}$  - coeficientul de bobinaj statoric;

$I_{m1}$  - amplitudinea curentului statoric de fază.

Pentru rotorul neredus:<sup>\*</sup>

$$F_{m2} = \frac{m_2}{2} \frac{4}{\pi} \frac{w_2}{2p} K_{b2} I_{m2} \quad (1.13)$$

și pentru rotorul redus:

$$F'_{m2} = \frac{m_1}{2} \frac{4}{\pi} \frac{w_1}{2p} K_{bl} I'_{m2} \quad (1.14)$$

unde:

$I'_{m2}$  este amplitudinea curentului rotoric de fază, redus la stator.

Pentru coeficientul de reducere a curentului rotoric la stator avem:

$$K_i = \frac{I_{m2}}{I'_{m2}} = \frac{\frac{m_1}{2} \frac{4}{\pi} \frac{w_1}{2p} K_{bl}}{\frac{m_2}{2} \frac{4}{\pi} \frac{w_2}{2p} K_{b2}} = \frac{m_1 w_1 K_{bl}}{m_2 w_2 K_{b2}} \quad (1.15)$$

In cazul unei înfășurări rotorice monofazate, amplitudinea fundamentală a t.m.m. este:

$$F_{m2} = \frac{4}{\pi} \frac{w_2}{2p} K_{b2} I_{m2} \quad (1.16)$$

iar coeficientul de reducere a curentului pentru o astfel de înfășurare rezultă:

$$K_i = \frac{I_{m2}}{I'_{m2}} = \frac{m_1}{2} \frac{w_1 K_{bl}}{w_2 K_{b2}} \quad (1.17)$$

Pentru o înfășurare rotorică concentrată (de tip excitatie la mașini sincrone), avind  $K_{b2} = 1$ , coeficientul de reducere este:

$$K_i = \frac{m_1}{2} \frac{w_1 K_{bl}}{w_2} \quad (1.18)$$

- b) Determinarea lui  $K_i$  din egalitatea armonicilor fundamentale ale inductiei în întrefier.

Rotorul se consideră cu poli proeminți, cu întrefier constant sub talpa polară, înfășurare rotorică concentrată, iar t.m.m. este repartizată pe pasul polar după o lege dreptunghiulară.

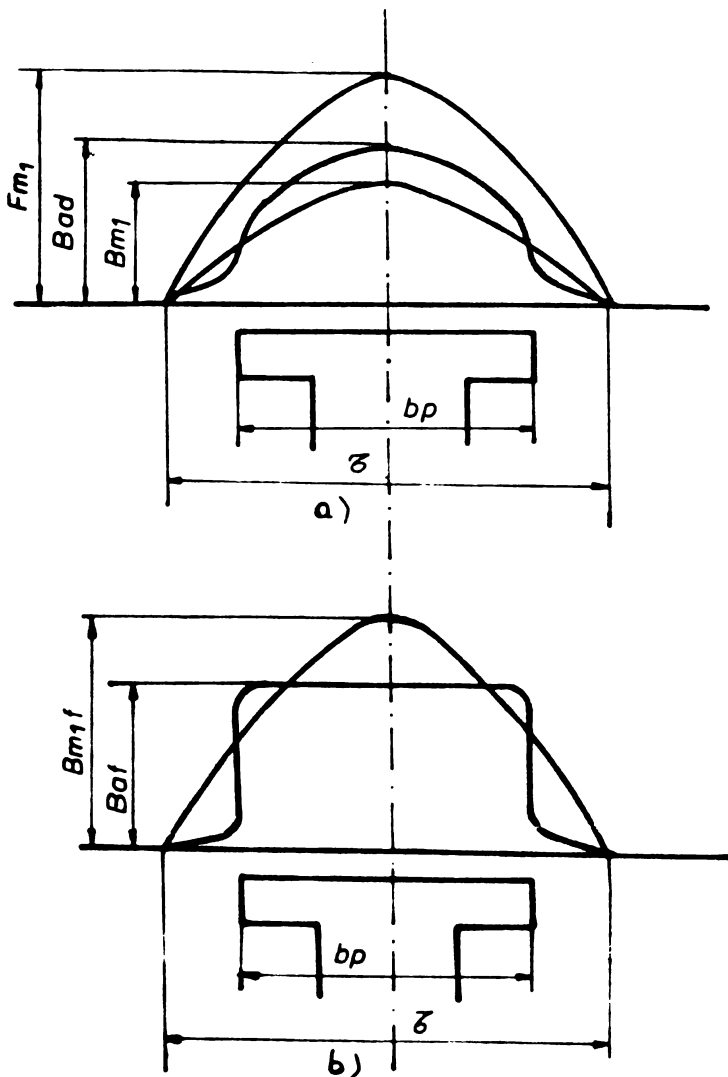


FIG 12

*Repartizarea inductiei in întrefier*

Din egalitatea armonicii fundamentale a inducției dată de înfășurarea rotorică reală și a înfășurării rotorice reduse la stator, se obține pentru factorul de raportare relația /33/:

$$K_i = \frac{I_e}{I'_e} = \frac{4}{\pi} \frac{m_1}{2} \frac{w_1 K_{bl} K_d}{2 p w_e K_e} \quad (1.19)$$

unde:

$K_d = \frac{B_{ml}}{B_{ad}}$  - factorul de formă a cîmpului statoric după axa longitudinală a mașinii;

$B_{ml}$  - amplitudinea armonicii fundamentale a inducției, rezultată din descompunerea armonică a repartiției reale a inducției date de stator în întrefier (fig. 1.2.a);

$B_{ad}$  - amplitudinea repartiției reale a inducției statorice din întrefier.

In fig.1.2.a  $F_{ml}$  este amplitudinea fundamentală t.m.m., care generează repartitia  $B_{ad}$ ;

$K_e = \frac{B_{mle}}{B_{ae}}$ . - factorul de formă a cîmpului rotoric (de excitație) după axa longitudinală (fig.1.2.b);

$B_{mle}$  - amplitudinea armonicii fundamentale a inducției de excitație în întrefier;

$B_{ae}$  - amplitudinea repartiției reale a inducției;

$w_e$  - numărul de spire pe pol, pentru înfășurarea rotorică de excitație.

#### Determinarea coeficientului de reducere a tensiunii.

Coefficientul de reducere a tensiunii se determină din condiția ca puterea aparentă a înfășurării reduse să fie egală cu puterea aparentă a înfășurării reale, adică:

$$m_2 U_2 I_2 = m_1 U'_2 I'_2 \quad (1.20)$$

în care s-a notat cu  $U'_2$  tensiunea redusă a înfășurării rotorice (secundare).

Rezultă coefficientul de reducere a tensiunii sub forma:

$$K_u = \frac{U'_2}{U_2} = \frac{m_2 I_2}{m_1 I'_2} = \frac{m_2}{m_1} K_i \quad (1.21)$$

Pentru înfășurări monofazate, coeficientul de reducere a tensiunii se determină cu relația particularizată:

$$K_u = \frac{2}{m_1} K_i \quad (1.22)$$

Determinarea coeficientului de reducere a impedanței:

Determinarea coeficientului de reducere a impedanței se face în mod asemănător, având în vedere considerente energetice. Puterea corespunzătoare înfășurării reale și reduse trebuie să se conserve:

$$m_2 I_2^2 r_2 = m_1 I_2'^2 r_2' , \quad (1.23)$$

de unde rezultă coeficientul de reducere a rezistențelor sub forma:

$$K_z = \frac{r_2'}{r_2} = \frac{m_2 I_2^2}{m_1 I_2'^2} = \frac{m_2}{m_1} K_i^2 = K_i K_u \quad (1.24)$$

Reducerea reactanței de dispersie rotorice se face din condiția păstrării unghiului de defazaj dintre t.e.m. și curent, la înfășurarea reală și redusă:

$$\operatorname{tg} \varphi_2 = \frac{x_2}{r_2} = \frac{x_2'}{r_2'} \quad (1.25)$$

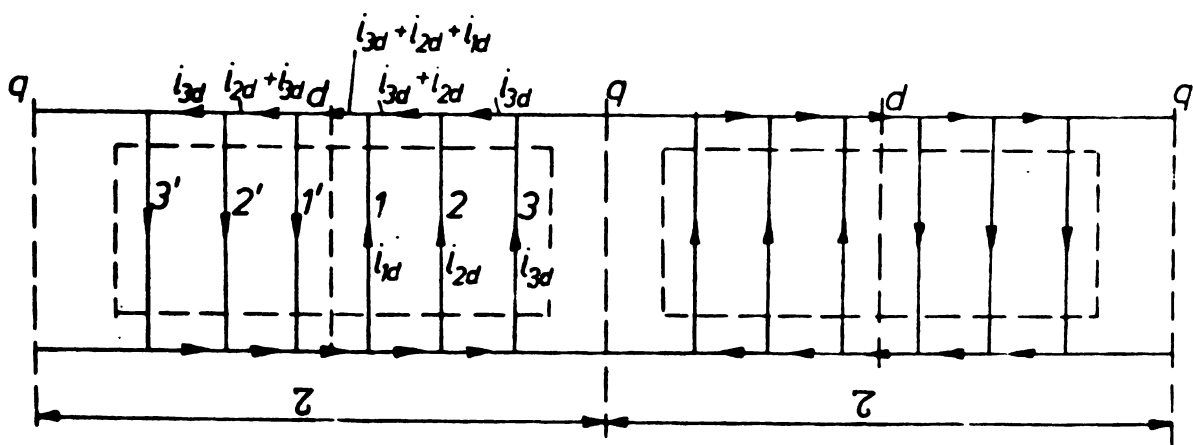


Fig. 1.3.a.

*Schema înfășurării de amortizare după axa d.*

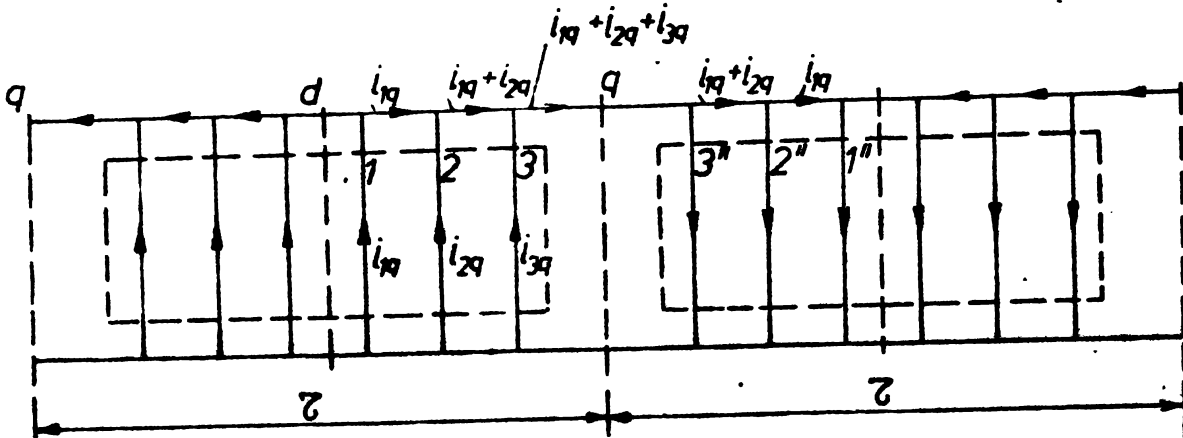


Fig.1.3.b.

*Schema înfășurării de amortizare după axa q.*

Ca urmare se păstrează același coeficient de reducere și pentru partea reactivă a impedanței.

**1.1.5. Substituirea înfășurărilor scurtcircuitate ale rotorului cu înfășurări echivalente bifazate, la mașini sincrone.**

Datorită simetriei mașinii după cele două axe, înfășurarea de amortizare se echivalează în mod obisnuit /11/, /29/, /33/, /39/, /48/, /65/, /67/, /68/ cu două circuite echivalente, separate, scurtcircuitate, după axele d și q.

Se consideră schema de repartizare a curentilor din înfășurarea de amortizare după axa d și axa q (fig.1.3), pe două intervale polare similar cu /47/ /67/. În figură se notează cu  $i_{Kd}$ ,  $i_{Kq}$  componenta longitudinală respectiv transversală a curentului în cea de a K-a bară. Aceste componente trec prin barele reprezentate prin perechile:

1-1', 2-2', 3-3' (după axa d - fig.1.3.a) și respectiv  
1-1'', 2-2'', 3-3'' (după axa q - fig.1.3.b). Suprapunem celor două componente ale curentului într-o anumită bară conduce la curentul real din bara respectivă.

Inlocuirea înfășurărilor reale, de amortizare cu altele echivalente rezultă din egalitatea armonicilor fundamentale ale t.m.m. ale înfășurării reale și înfășurării echivalente. Tensiunile magnetomotoroare date de înfășurarea de amortizare, se determină pe baza fig.1.4.

Conform teoriei celor două axe, armonica fundamentală a t.m.m., dată de înfășurarea statorică se poate reprezenta prin două componente, adică  $F_d$  - componenta longitudinală și  $F_q$  - componenta transversală.

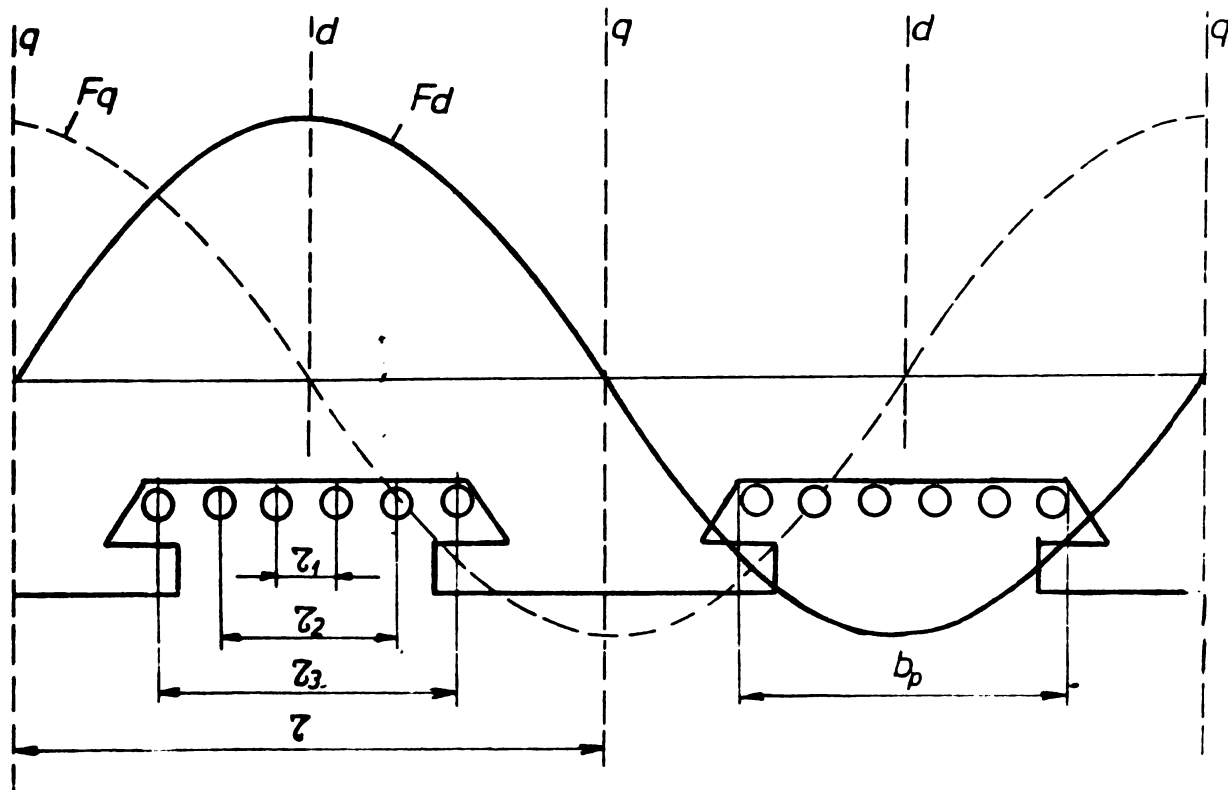


Fig.1.4.  
Tensiunile magnetomotoare ale înfășurărilor de amortizare.

Componențele curentilor în barele înfășurării de amortizare după axa d apar sub influența unui cîmp magnetic dat de tensiunea magnetomotoare  $F_d$ . La o repartizare sinusoidală a t.m.m. pe circumferința rotorului, valoarea maximă a curentului va avea loc în barele, deplasate din axa cîmpului cu o jumătate de pas polar ( $\pi/2$ ). În primă aproximatie, se poate lua repartizarea curentilor după axa d în barele înfășurării de amortizare, după o lege sinusoidală /48/,/67/. Atunci curentul într-o pereche oarecare de bare, deplasate din axa polară cu  $\pi_K/2$  și reprezentând împreună cu porțiunea corespunzătoare de inel un contur scurtcircuitat, este egal cu curentul maxim înmulțit cu:

$$\sin \frac{\pi}{2} \cdot \frac{\pi_K}{2}$$

$$I_{mkd} = I_{msd} \sin \frac{\pi}{2} \cdot \frac{\pi_K}{2} \quad (1.26)$$

în care (fig.1.3 și 1.4):

$\zeta$  - pasul polar;

$\zeta_K$  - deschiderea conturului scurtcircuitat corespunzătoare barelor K;

$I_{mKd}$  - curentul de amortizare, după axa d, corespunzător conturului format de barele K;

$I_{msd}$  - curentul maxim de amortizare (stabilizare) după axa d, curent care apare în barele cu deschidere diametrală.

Curentul  $I_{mKd}$ , trecând prin perechea de bare K, determină o solenție care se modifică în spațiu după o lege dreptunghiulară. Amplitudinea fundamentală a acestei solenări este:

$$F_{mlKd} = \frac{4}{\pi} I_{mKd} \sin \frac{\pi}{\zeta} \frac{\zeta_K}{2},$$

în funcție de curentul maxim de amortizare după axa d :

$$F_{mlKd} = \frac{4}{\pi} I_{msd} \sin^2 \frac{\pi}{\zeta} \frac{\zeta_K}{2} \quad (1.27)$$

Pentru a obține t.m.m. totală, trebuie să se țină seama de t.m.m. date de fiecare circuit constituit din cîte o pereche de bare. Ca urmare, amplitudinea armonicii fundamentale a tensiunii magnetomotoare, dată de compoñentele longitudinale ale cureñilor de amortizare prin bare, pe un pol, se determină ca o sumă a tuturor tensiunilor magnetomotore ale circuitelor scurtcircuitate după axa d, ale înfășurării de amortizare:

$$F_{mlsd} = \sum_{K=1}^{n_c/2} F_{mlKd} = \frac{4}{\pi} I_{msd} \sum_{K=1}^{n_c/2} \sin^2 \frac{\pi}{\zeta} \frac{\zeta_K}{2} \quad (1.28)$$

unde:

$n_c$  - numărul de bare de amortizare (același cu numărul de creștări) pe pol;

$n_c/2$  - numărul de circuite, scurtcircuitate prin porțiuni de inel, care se pot forma pe pol.

De regulă barele de pe polii rotorici, care constituie co-liviu de amortizare la mașina sincronă sunt plasate uniform pe circumferința rotorică. Unghiuul dintre două bare consecutive se notează cu  $\alpha_c$ .

Cu notăriile din fig.1.4, unghiul  $\alpha_c$  în radiani este:

$$\alpha_c = \frac{\pi}{2} \bar{Z}_1 = \frac{1}{3} \frac{\pi}{2} \bar{Z}_2 = \frac{1}{5} \frac{\pi}{2} \bar{Z}_3$$

Suma care apare în relația (1.28) poate fi calculată folosind acest unghi  $\alpha_c$ , după cum urmează:

$$S = \sum_{K=1}^{n_c/2} \sin^2 \frac{\pi}{2} \frac{\bar{Z}_K}{2} = \sin^2 \frac{\pi}{2} \frac{\bar{Z}_1}{2} + \sin^2 \frac{\pi}{2} \frac{\bar{Z}_2}{2} + \dots + \sin^2 \frac{\pi}{2} \frac{\bar{Z}_{n_c/2}}{2}$$

$$\sin^2 \frac{\pi}{2} \frac{\bar{Z}_1}{2} = \frac{1 - \cos \alpha_c}{2}$$

$$S = \frac{1}{2} \cdot \frac{n_c}{2} - \frac{1}{2} \left[ \cos \alpha_c + \cos 3\alpha_c + \cos 5\alpha_c + \dots + \cos (2K-1)\alpha_c \right]$$

$$\sum_{K=1}^{n_c/2} \cos (2K-1)\alpha_c = \frac{\sin n_c \alpha_c}{2 \sin \alpha_c}$$

Deci, indiferent de numărul barelor pe pol:

$$S = \frac{n_c}{4} - \frac{\sin n_c \alpha_c}{4 \sin \alpha_c} \quad (1.29)$$

Rezultă că relația (1.28) se poate pune sub forma:

$$F_{msd} = \frac{4}{\pi} I_{msd} \left[ \frac{n_c}{4} - \frac{\sin n_c \alpha_c}{4 \sin \alpha_c} \right] \quad (1.30)$$

Aceasta este relația de calcul a solenăției pentru înfășurarea reală.

Pentru a face echivalarea, calculăm aceeași mărime, însă corespunzătoare înfășurării echivalente de amortizare. Dacă se consideră că prin înfășurarea echivalentă de amortizare a rotorului după axa d, circulă un curent a cărui valoare maximă este  $I_{msd}$ , amplitudinea primei armonici a solenăției dată de această înfășurare este:

$$F'_{msd} = \frac{4}{\pi} I_{msd} W_{sd}, \quad (1.31)$$

unde:

472312  
3456

$n_{sd}$  - numărul de spire al înfășurării echivalente de amortizare după axa longitudinală, pe un pol.

Din relațiile (1.30) și (1.31), punând condiția de echivalentă rezultă numărul de spire ale înfășurării echivalente:

$$n_{sd} = \frac{n_c}{4} \left[ 1 - \frac{\sin n_c \alpha_c}{n_c \sin \alpha_c} \right]. \quad (1.32)$$

Transformări analoge se pot efectua și pentru înfășurarea de amortizare după axa transversală. După această axă se consideră o repartiție cosinusoidală a curentilor în barele înfășurării /46/ /67/. Curentul într-o pereche oarecare K de bare, care împreună cu două porțiuni ale inelului de scurtcircuitare constituie un contur electric, are amplitudinea:

$$I_{mKq} = I_{msq} \cos \frac{\pi}{C} \frac{\zeta_K}{2} \quad (1.33)$$

Amplitudinea armonicii fundamentale a t.m.m., dată de curentul prin perechea de bare K, după axa transversală, este:

$$F_{m1Kq} = \frac{4}{\pi} I_{msq} \cos^2 \frac{\pi}{C} \frac{\zeta_K}{2} \quad (1.34)$$

La un nr. par de bare pe talpa polară, amplitudinea armonicii fundamentale a t.m.m., dată de componente transversale ale curentilor, pe un pol se determină ca o sumă a fundamentelor solenatiilor corespunzătoare contururilor scurtcircuitate după axa q

$$F_{mlsq} = \sum_{K=1}^{n_c/2} F_{mlKq} = \frac{4}{\pi} I_{msq} \sum_{K=1}^{n_c/2} \cos^2 \frac{\pi}{C} \frac{\zeta_K}{2} \quad (1.35)$$

sau făcind ca anterior transformările corespunzătoare,

$$F_{mlsq} = \frac{4}{\pi} I_{msq} \left[ \frac{n_c}{4} + \frac{\sin n_c \alpha_c}{4 \sin \alpha_c} \right] \quad (1.36)$$

Se poate arăta că pentru un nr. impar de bare pe pol relația (1.36) pentru solenăsie rămâne aceeași.

Amplitudinea armonicii fundamentale, dată de înfășurarea echivalentă rotorică după axa q, la trecerea prin ea a unui curent de amplitudine  $I_{msq}$ , este:

$$E'_{m\text{lsq}} = \frac{4}{\pi} I_{msq} W_{sq} \quad (1.37)$$

unde  $W_{sq}$  reprezintă numărul de spire al înfășurării echivalente rotorice, după axa transversală, pe un pol.

Considerind condiția de echivalență și comparind relațiile (1.36) și (1.37) rezultă numărul de spire ale înfășurării echivalente:

$$W_{sq} = \frac{n_c}{4} \left[ 1 + \frac{\sin n_c \alpha_c}{n_c \sin \alpha_c} \right] \quad (1.38)$$

Formulele obținute pentru determinarea numărului de spire ale înfășurării echivalente, permit să se substituie înfășurarea reală de amortizare a rotorului mașinii sincrone (colivia de amortizare), repartizată pe intervalul polar, cu două bobine echivalente de lățime egală cu intervalul polar, repartizate după axa longitudinală, respectiv după axa transversală. Această substituire este absolut necesară /11/, /46/, /48/, /65/, /67/, /68/, /119/ la aplicarea concretă a teoriei celor două axe, la mașina sincronă.

#### 1.1.6. Parametrii înfășurărilor rotorelor echivalente.

Principiul de bază (și în același timp condiția substituirii înfășurărilor reale din rotor cu înfășurări echivalente) este că raporturile energetice din mașină să rămână nemodificate.

In paragraful precedent s-a făcut echivalarea înfășurării reale de amortizare cu două înfășurări echivalente după axa "d" și după axa "q", stabilindu-se numărul echivalent de spire pentru fiecare din ele. Acum urmează să se determine parametrii acestor înfășurări echivalente, care vor intra în calculele de analiză ale regimurilor prezентate în continuare.

La determinarea parametrilor înfășurărilor echivalente este suficient să se găsească rezistență, reactanță de dispersie și reactanțele corespunzătoare cuplajelor magnetice mutuale, între înfășurăriile echivalente rotorice și înfășurăriile statorice. Reactanța mutuală între înfășurăriile echivalente rotorice și înfășurăriile statorice trebuie să fie egale cu reactanțele mutuale dintre înfășurăriile reale din rotor și cele din stator.

##### R e z i s t e n ᄀ e l e :

Acestea se determină din condiția de egalitate a pierderilor din înfășurăriile reale și cele din înfășurăriile echivalente șiică pe baza echivalenței energetice /53/, /48/, /67/, /69/, /89/, /93/, /94/.

Se notează cu  $R_{sd}$  și  $R_{sq}$  rezistențele echivalente de amortizare după axa d și după axa q, notății care se vor păstra pe tot parcursul calculelor, inclusiv la rezolvarea practică a problemei și în programul de calcul numeric pentru determinarea parametrilor.

Pierderile din înfășurările echivalente de amortizare, după axa d, respectiv după axa q, sunt:

$$p'_{sd} = \frac{1}{2} I_{msd}^2 R_{sd} \quad (1.39)$$

$$p'_{sq} = \frac{1}{2} I_{msq}^2 R_{sq} \quad (1.40)$$

în care  $I_{msd}$  și  $I_{msq}$  sunt valorile maxime ale curentilor din schemele echivalente.

Pierderile în înfășurarea reală de amortizare, date de către componentele curentului după axa longitudinală, se determină ca sumă a pierderilor în elementele separate ale înfășurării. Pentru simplificare se poate considera separat fiecare din circuitele formate din perechile de bare simetrice fără de axa d (fig. 1.3), adică fiecare circuit având inele de scurtcircuitare proprii. Această ipoteză simplifică mult aplicarea relațiilor și introduce erori neînsemnante /33/,/67/.

Considerind repartizarea sinusoidală a curentilor pe circumferința rotorică, pierderile în elementele de înfășurare de ordinul K (fig.1.3) sunt:

$$p_{Kd} = \frac{1}{2} I_{mKd}^2 R_{Kd}$$

în care:

$I_{mKd}$  – valoarea maximă a componentei longitudinale a curentului în barele K (determinabilă cu rel.(1.26)).

$R_{Kd}$  – rezistența barei K, incluzând și rezistența corespunzătoare numărului de elemente de scurtcircuitare (pentru circuitul scurtcircuitat de tip K, longitudinal, de sub un pol).

Considerind expresiile pierderilor din toate circuitele de sub un pol și curentii care le parcurg, determinați anterior, rezultă prin însumare, pentru toti polii, pierderile totale din înfășurarea de amortizare după axa longitudinală:

$$P_{sd} = 2p \left[ R_{1d} \sin^2 \left( \frac{\pi}{C} \frac{Z_1}{2} \right) + R_{2d} \sin^2 \left( \frac{\pi}{C} \frac{Z_2}{2} \right) + \dots + R_{Kd} \sin^2 \left( \frac{\pi}{C} \frac{Z_K}{2} \right) + \dots \right] I_{msd}^2 \quad (1.41)$$

Punind condiția de echivalare, prin compararea relațiilor (1.39) și (1.41), rezultă expresia rezistenței înfășurării echivalente de amortizare după axa longitudinală, funcție de mărimile electrice și geometrice ale înfășurării reale de amortizare.

$$R_{sd} = 4 p \left[ R_{1d} \sin^2 \left( \frac{\pi}{C} \frac{Z_1}{2} \right) + R_{2d} \sin^2 \left( \frac{\pi}{C} \frac{Z_2}{2} \right) + \dots + R_{Kd} \sin^2 \left( \frac{\pi}{C} \frac{Z_K}{2} \right) + \dots \right] \quad (1.42)$$

Pentru determinarea rezistenței înfășurării echivalente după axa transversală se procedează asemănător. Pierderile în bara de tip K, și porțiunile de inel corespunzătoare, date de componente transversale a curentului, sunt:

$$P_{Kq} = \frac{1}{2} I_{mKq}^2 R_{Kq} \quad (1.43)$$

în care:

$I_{mKq}$  - valoarea maximă a componentei transversale a curentului în circuitul cu barele K (determinabilă cu relația (1.33)) ;

$R_{Kq}$  - rezistența barei K, incluzând și rezistența corespunzătoare numărului de elemente de scurtcircuitare (pentru circuitul scurtcircuitat de tip K, transversal de sub un pol).

Având în vedere pierderile din toate circuitele după axa q de sub un pol, cu expresiile curentilor respectivi și făcind însu-marea acestor pierderi pentru toți polii, rezultă pierderile totale din înfășurarea de amortizare după axa transversală.

$$P_{sq} = 2 p \left[ R_{1q} \cos^2 \left( \frac{\pi}{C} \frac{Z_1}{2} \right) + R_{2q} \cos^2 \left( \frac{\pi}{C} \frac{Z_2}{2} \right) + \dots + R_{Kq} \cos^2 \left( \frac{\pi}{C} \frac{Z_K}{2} \right) + \dots \right] I_{msq}^2 \quad (1.44)$$

Egalind pierderile din înfășurarea reală de amortizare și înfășurarea echivalentă de amortizare, relațiile (1.40) și (1.44), după axa  $q$ , rezultă expresia rezistenței înfășurării echivalente de amortizare după axa transversală, funcție de mărimile electrice și geometrice ale înfășurării reale de amortizare:

$$R_{sq} = 4 p \left[ R_{1q} \cos^2 \left( \frac{\pi}{C} \frac{Z_1}{2} \right) + R_{2q} \cos^2 \left( \frac{\pi}{C} \frac{Z_2}{2} \right) + \dots + R_{Kq} \cos^2 \left( \frac{\pi}{C} \frac{Z_K}{2} \right) + \dots \right] \quad (1.45)$$

În relațiile de calcul pentru  $R_{sd}$  și  $R_{sq}$  (1.42) și (1.43) însumarea se face pentru toate perechile de bare ale coliviei care constituie circuite distincte după axa  $d$  respectiv după axa  $q$ . Aceste relații de calcul permit determinarea rezistențelor echivalente în toate cazurile concrete de colivie, chiar și în cazul în care în țâlpile polare rotorice există o singură pereche de bare.

Rezistența barei  $K$ , cu considerarea elementelor inelului de scurtcircuitare, corespunzător rețelei, după axa  $d$ , respectiv după axa  $q$  se poate calcula cu relația:

$$R_{Kd}(q) = r_{Kb} + \frac{n_K}{2} r_{Ki} \quad (1.46)$$

în care:

$r_{Kb}$  - rezistența proprie numai a barei  $K$ ;

$r_{Ki}$  - rezistența unui element al inelului de scurtcircuitare, reprezentând legătura frontală dintre două bare consecutive;

$n_K$  - numărul total de elemente ale inelului de scurtcircuitare, care intră în conturul d- ordinul  $K$  (după axa  $d$  sau după axa  $q$ ); se determină ca fig. 1.3.

Relația (1.46) a fost dedusă în ipoteza unei colivii de amortizare simetrice cu porțiunile inelului de scurtcircuitare dintre două bare, de aceeași lungime.

Acum înfășurările echivalente rotorice trebuie reduse la stator. Ca urmare pentru a găsi valorile rezistențelor înfășurării rotorice echivalente, reduse la înfășurarea statorică este necesar să se amplifice rezistențele echivalente de amortizare după axa  $d$  și  $q$   $R_{sd}$ ,  $R_{sq}$ , cu coeficientul de reducere la stator, al impedanțelor  $K_Z$ .

Coeficienții de reducere ai înfășurării echivalente de amortizare, la stator, se vor determina din egalitatea armonicilor de bază ale solenăției corespunzătoare înfășurării reduse și echivalente. Alegerea unui astfel de mod de reducere simplifică substanțial calculul lui  $K$ , deoarece nu se mai pune problema studiului cîmpului magnetic dat de înfășurările rotorice. Coeficienții de reducere la stator, ai curenților rotorici, se determină cu expresii analoge cu relația (1.17), dar cu particularizările:

$$W_{2d} = 2 p W_{sd} \quad - \text{pentru axa } d ;$$

$$W_{2q} = 2 p W_{sq} \quad - \text{pentru axa } q ,$$

în care  $W_{sd}$  și  $W_{sq}$  sunt numerele de spire pentru înfășurările echivalente de amortizare, pe pol - relațiile (1.32) și (1.38).

Rezultă coeficienții de reducere ai curenților rotorici sub forma:

$$K_{id} = \frac{I_{msd}}{I'_{msd}} = \frac{m_1}{2} \frac{W_1 K_{bl}}{2p W_{sd}} \quad (1.47)$$

$$K_{iq} = \frac{I_{msq}}{I'_{msq}} = \frac{m_1}{2} \frac{W_1 K_{bl}}{2p W_{sq}}$$

Pentru tensiuni, coeficienții de reducere se determină din (1.22), introducind în această relație  $K_{id}$  și  $K_{iq}$ .

$$K_{ud} = \frac{2}{m_1} K_{id} \quad (1.48)$$

$$K_{uq} = \frac{2}{m_1} K_{iq}$$

Cu acestea, valorile rezistențelor înfășurărilor, după ce s-au făcut operațiile de echivalare și de reducere la stator, sunt:

$$R'_{sd} = K_{id} K_{ud} R_{sd} \quad (1.49)$$

$$R'_{sq} = K_{iq} K_{uq} R_{sq}$$

R e a c t a n ᄂ e l e i n d u c t i v e d e d i s p e r s i e .

Reactanțele corespunzătoare dispersiilor cîmpului magnetic se pot determina din egalitatea energiei magnetice a cîmpului de dispersie pentru înfășurarea reală și echivalentă a rotorului. Notînd inductivitățile de dispersie ale înfășurărilor rotorice echivalente după axe "d" și "q" cu  $L_{G_{sd}}$ , respectiv  $L_{G_{sq}}$ , energia

corespunzătoare cîmpurilor de dispersie se poate scrie sub forma:

$$W_{e_{sd}} = \frac{1}{2} L_{\sigma_{sd}} I_{msd}^2 \quad (1.50)$$

$$W_{e_{sq}} = \frac{1}{2} L_{\sigma_{sq}} I_{msq}^2$$

Energia conținută în cîmpul magnetic de dispersie din infășurarea reală de amortizare a rotorului, corespunzătoare componentelor longitudinale și transversale ale curenților, se poate determina ca o sumă a energiilor diferitelor elemente de circuit. Aceasta se poate face într-un mod asemănător cu determinarea pierderilor prin efect termic pentru colivie, ca anterior. Prin analogie cu relațiile (1.41) și (1.44) se poate scrie expresia energiei cîmpurilor de dispersie după axa d și q, respectiv  $W_{e_{sd}}$  și  $W_{e_{sq}}$ :

$$W_{e_{sd}} = 2 p \left[ L_{\sigma_{ld}} \sin^2 \left( \frac{\pi}{C} \frac{\zeta_1}{2} \right) + L_{\sigma_{2d}} \sin^2 \left( \frac{\pi}{C} \frac{\zeta_2}{2} \right) + \dots + L_{\sigma_{Kd}} \sin^2 \left( \frac{\pi}{C} \frac{\zeta_K}{2} \right) + \dots \right] I_{msd}^2 \quad (1.51)$$

$$W_{e_{sq}} = 2 p \left[ L_{\sigma_{lq}} \cos^2 \left( \frac{\pi}{C} \frac{\zeta_1}{2} \right) + L_{\sigma_{2q}} \cos^2 \left( \frac{\pi}{C} \frac{\zeta_2}{2} \right) + \dots + L_{\sigma_{Kq}} \cos^2 \left( \frac{\pi}{C} \frac{\zeta_K}{2} \right) + \dots \right] I_{msq}^2 \quad (1.52)$$

unde  $L_{\sigma_{Kd}}, L_{\sigma_{Kq}}$  reprezintă inductivitățile de dispersie ale corei K, în care s-au induș și disperziile corespunzătoare numărului de elemente ale inelului de scurtcircuitare, aparținând conturului K, după axa d, respectiv după axa q. Acestea conțin deci disperziile de crestătură, capete de dinți, zonă frontală (inel) și disperziile diferențiale. Calculul lor se poate face cu relațiile uzuale pentru colivii la mașini asincrone. /33/, /39/, /48/, /69/, /88/, /119/.

Punând condiția de echivalare a infășurărilor, prin comparația relațiilor (1.50) cu (1.51) și (1.52) rezultă expresiile pentru inductivitățile de dispersie ale infășurărilor rotorice echivalente:

$$L_{\sigma_{sd}} = 4p \left[ L_{\sigma_{1d}} \sin^2 \left( \frac{\pi}{2} \frac{\zeta_1}{2} \right) + L_{\sigma_{2d}} \sin^2 \left( \frac{\pi}{2} \frac{\zeta_2}{2} \right) + \dots + L_{\sigma_{Kd}} \sin^2 \left( \frac{\pi}{2} \frac{\zeta_K}{2} \right) + \dots \right] \quad (1.53)$$

$$L_{\sigma_{sq}} = 4p \left[ L_{\sigma_{1q}} \cos^2 \left( \frac{\pi}{2} \frac{\zeta_1}{2} \right) + L_{\sigma_{2q}} \cos^2 \left( \frac{\pi}{2} \frac{\zeta_2}{2} \right) + \dots + L_{\sigma_{Kq}} \cos^2 \left( \frac{\pi}{2} \frac{\zeta_K}{2} \right) + \dots \right] \quad (1.54)$$

Aceste formule pentru calculul dispersiilor, conținînd însumarea dispersiilor pentru fiecare contur scurtcircuitat, sunt analoge cu formulele de calcul ale rezistențelor echivalente ale coliviei.

Prin multiplicarea relațiilor (1.53) și (1.54) cu frecvență unghiulară și coeficientul de reducere al impedanțelor  $K_z$ , rezultă reactanțele de disperzie ale înfășurărilor rotorice echivalente, reduse la stator:

$$X_{\sigma_{sd}} = 2\overline{I} f_1 L_{\sigma_{sd}} K_{id} K_{ud} \quad (1.55)$$

$$X_{\sigma_{sq}} = 2\overline{I} f_1 L_{\sigma_{sq}} K_{iq} K_{uq} \quad (1.56)$$

Formulele obținute permit să se ia în considerare modificările parametrilor înfășurării echivalente a rotorului, datorită refuzării curentului în barele rotorice și saturăției dintilor. Pentru aceasta este necesar să se substituie  $R_{Kd(q)}$  și  $L_{Kd(q)}$ , cu valoarea determinată prin considerarea acestor influențe.

Relațiile pentru calcularea parametrilor echivalenți ai coliviei de amortizare indicate în literatură conduc la rezultate care pot差别 destul de mult de la un caz la altul. Diferențele provin de la premizele teoretice care au stat la baza calculelor.

Un calcul complet și mai amănușit al parametrilor coliviei de amortizare, pornind de la determinarea mai exactă a curentului prin perechile de bare, pe baza t.e.m. induse în circuitele formate de acestea este dat în /89/ /90/. De remarcat că în aceste lucrări sunt date și relațiile simplificate de calcul (simplificări care nu afecteză esențial precizia calculelor), precum și tabelele sau graficele cu coeficienții care intervin, considerati pentru majoritatea cazurilor întâlnite în practică.

De asemenea un calcul complet al parametrilor coliviei de amortizare, pornind însă de la ipoteza repartizării sinusoidale a

curenților în bare este dat în /48/.

Deoarece aşa cum s-a precizat, unul din scopurile lucrării îl constituie determinarea experimentală a parametrilor echivalenți, utilizarea unora sau altora din relațiile menționate /48/, /83/, /90/ se poate face în funcție de modul de calcul adoptat de proiectant. Prin aceasta, în funcție de rezultatele experimentale obținute, se pot corecta unii coeficienți folosiți la proiectarea unei anumite game de mașini sincrone, cu caracteristici asemănătoare.

## Capitolul 2

### PARAMETRII FIZICI SI PARAMETRII ECHIVALENTI CARE INTERVIN IN ECUATIILE DE ANALIZA ALE REGIMURILOR TRANZITORII.

Studiul funcționării mașinii sincrone în diverse regimuri se face utilizând sistemul de axe „d” și „q” și parametrii echivalenți după aceste axe. Teoria celor două axe este modalitatea de bază, prin intermediul căreia se face de către diversi autori, analiza regimurilor tranzitorii și permanente la mașina sincronă cu poli proeminenți /11/, /14/, /33/, /39/, /42/, /54/, /65/, /75/, /71/, /74/, /89/, /119/..

Parametrii circuitelor echivalente după axa d și q se exprimă funcție de parametrii infășurărilor reale, care apar în ecuațiile scrise în sistemul de coordonate al fazelor, cu care scop este necesar să se stabilească relațiile dintre parametri fizici reali și cei echivalenți.

Aceste aspecte au o importanță deosebită pentru inductivități, cind o inductivitate echivalentă este constituită dintr-o combinație de inductivități fizice ale infășurării reale. Dacă în anumite regimuri tranzitorii particulare, se reușește izolarea unei astfel de combinații specifice de inductivități reale, este evident că din regimul respectiv se poate determina practic aceea inductivitate echivalentă.

Atât în proiectare cât și în experimentele uzuale de pe standurile de încercări ale mașinilor sincrone, se utilizează în mod obișnuit parametrii reduși și raportati, și circuitelor echivalente. Ca urmare după precizarea relațiilor concrete de legătură dintre parametri, pe baza coeficientilor de reducere din (1.17), (1.21), (1.24), se determină relațiile dintre parametrii reduși și cei raportati.

#### 2.1. ECUATIILE SI PARAMETRII MASINII SINCRONE CU POLI PROEMINENTI IN SISTEMUL DE COORDONATE AL FAZELOR.

##### 2.1.1. Ecuatiile infășurărilor reale.

Se consideră mașina sincronă trifazată simetrică cu poli proeminenți. Sistemul ecuațiilor care descriu funcționarea mașinii, constă din ecuațiile tensiunilor statorice și rotorice și ecuația mișcării rotorului.

Sensurile pozitive care se adoptă sunt cele prezentate în

paragraful 1.2.

Pentru statorul mașinii, ecuațiile tensiunilor sînt:

$$\begin{aligned} U_a &= \frac{d\Psi_a}{dt} + R_l i_a; \\ U_b &= \frac{d\Psi_b}{dt} + R_l i_b; \\ U_c &= \frac{d\Psi_c}{dt} + R_l i_c; \end{aligned} \quad (2.1)$$

în care:

- $U_a, U_b, U_c$  - tensiunile pe fazele statorice;  
 $\Psi_a, \Psi_b, \Psi_c$  - fluxurile totale ale fazelor statorice;  
 $i_a, i_b, i_c$  - curenții pe cele trei faze;  
 $R_l$  - rezistența pe fază a înfășurării statorice.

Pentru înfășurarea de excitație, ecuația tensiunii este:

$$U_e = \frac{d\Psi_e}{dt} + R_e i_e \quad (2.2)$$

în care  $U_e$ ,  $\Psi_e$  și  $R_e$  reprezintă respectiv tensiunea la borne, fluxul total și rezistența înfășurării de excitație.

In caz general rotorul mașinii sincrone cu poli proeminenți are o nesimetrie electrică și magnetică. Nesimetria magnetică este determinată de reluctanța magnetică diferită a întrefierului, după axa longitudinală și transversală a rotorului. Nesimetria de natură electrică apare în cazul în care rotorul are numai înfășurare de excitație, sau cînd barele înfășurării de amortizare sunt repartizate numai în tălpile polare și sunt grupate separat pe fiecare pol. Înfășurarea de amortizare se realizează de regulă completă și simetrică în raport cu axele  $d$  și  $q$ . In concordanță cu aceasta, șăga cum s-a arătat ea poate fi reprezentată prin două sisteme de circuite scurtcircuitate, ale căror axe magnetice se suprapun peste axa  $d$ , respectiv  $q$ . Ambele nesimetrii, cea electrică și cea magnetică se reflectă în structura cîmpului din întrefier, a căruia analiză practică este prezentată în ultima parte a lucrării.

Cîile componentelor longitudinale și transversale ale curenților sunt date în fig.1.3. Repartizarea efectivă a curenților în barele și inelele înfășurării de amortizare se determină prin compunerea componentelor longitudinale și transversale ale curenților

Relațiile de legătură, dintre curentii și rezistențele echivalente după axele d și q, și mărimile reale sunt tratate în literatură, /11/, /39/, /48/, /65/, /67/, /69/, /75/, /83/, /92/, /94/ iar cele pentru colivia de amortizare au fost stabilite concret anterior.

Deoarece axa d și axa q sunt perpendiculare (considerind unghiul electric dintre ele), între cele două sisteme de circuite ale înfășurării de amortizare, după axa d și după axa q, nu se manifestă inducție mutuală.

In analiza proceselor tranzitorii, înfășurările de amortizare cu mai multe circuite se substituie, așa cum s-a arătat, cu două înfășurări echivalente, după cele două axe, a căror deschidere se ia egală cu intervalul polar. Ecuatiile tensiunilor pentru înfășurările echivalente de amortizare, sunt:

$$0 = \frac{d\Psi_{sd}}{dt} + R_{sd} i_{sd} \quad (2.3)$$

$$0 = \frac{d\Psi_{sq}}{dt} + R_{sq} i_{sq}$$

unde  $\Psi_{sd}$ ,  $R_{sd}$  și  $i_{sd}$ , sunt respectiv, fluxul, curentul și rezistența echivalentă corespunzătoare înfășurării de amortizare după axa longitudinală și analog după axa transversală.

### 2.1.2. Fluxurile și inductivitătile mașinii sincrone reale.

Ecuatiile înfășurărilor reale (2.1), (2.2), respectiv (2.3) pentru înfășurările echivalente de amortizare, se pot transforma, ținând seama că:

$$\begin{aligned} \Psi_a &= l_a i_a + m_{ab} i_b + m_{ac} i_c + m_{ae} i_e + m_{asd} i_{sd} + m_{asq} i_{sq} \\ \Psi_b &= m_{ba} i_a + l_b i_b + m_{bc} i_c + m_{be} i_e + m_{bsd} i_{sd} + m_{bsq} i_{sq} \\ \Psi_c &= m_{ca} i_a + m_{cb} i_b + l_c i_c + m_{ce} i_e + m_{csd} i_{sd} + m_{csq} i_{sq} \\ \Psi_e &= m_{ea} i_a + m_{eb} i_b + m_{ec} i_c + L_e i_e + M_{esd} i_{sd} \\ \Psi_{sd} &= m_{sda} i_a + m_{sdb} i_b + m_{sdc} i_c + M_{sde} i_e + L_{sd} i_{sd} \\ \Psi_{sq} &= m_{sqa} i_a + m_{sqb} i_b + m_{sqc} i_c + L_{sq} i_{sq} \end{aligned} \quad (2.4)$$

în care:

$l_a$  - inductivitatea fazei a ;

- $m_{ab}$  - inductivitatea mutuală între înfășurarea fazei a și faza b ;
- $m_{ae}$  - inductivitatea mutuală între înfășurarea fazei a și înfășurarea de excitație
- $m_{asd}$  - inductivitatea mutuală între faza a și înfășurarea echivalentă de amortizare după axa d (notată sd).

În mod corespunzător s-au notat și celelalte inductivități proprii sau mutuale, după axa q, pentru excitație, pentru celelalte faze, etc.

In cazul absenței saturăției magnetice, inductivitățile cu indici inferiori permutează, satisfac relațiile de tipul:

$$m_{ab} = m_{ba} ; \quad m_{ae} = m_{ea} ; \quad m_{asd} = m_{sda} \quad \text{g.a.m.d.}$$

Toate inductivitățile din (2.4) sunt funcție de geometria circuitelor magnetice și o parte din ele sunt funcții de timp, în concordanță cu poziția rotorului la un anumit moment.

Unele dintre inductivități depind de poziția rotorului față de stator, iar altele sunt independente. Constante sunt inductivitățile mutuale ale contururilor în raport cu care configurația sistemului rămâne neschimbătă, la diferite poziții ale rotorului, cum este cazul cu inductivitățile tuturor contururilor rotorice și inductivitățile mutuale dintre înfășurările rotorice. Celelalte inductivități se modifică funcție de poziția rotorului față de stator

#### Inductivitățile fazelor înfășurărilor statorice.

Inductivitățile fazelor statorului sunt funcții periodice de unghiul  $\gamma$  dintre axa fazei și axa longitudinală rotorică. La  $\gamma = 0$  (fig.2.1), permeanța căii magnetice a fluxului fazei "a", are valoarea maximă iar la  $\gamma = \frac{\pi}{2}$  valoarea minimă. Modificarea inductivității fazei "a" în raport cu poziția rotorului este dată în fig.2.2.

Așteptând dependența inductivității fazei "a", notată cu " $l_a$ ", de poziția rotorului este o funcție periodică, de perioadă  $\frac{\pi}{2}$ . Rezultă că:  $l_a = f(2\gamma)$

Deoarece înfășurarea statorică este simetrică și trifazată, rezultă că și inductivitățile proprii ale celorlalte faze au structură similară, adică:

$$\begin{aligned} l_b &= f \left[ 2 \left( \gamma - \frac{2\pi}{3} \right) \right] \\ l_c &= f \left[ 2 \left( \gamma + \frac{2\pi}{3} \right) \right] \end{aligned}$$

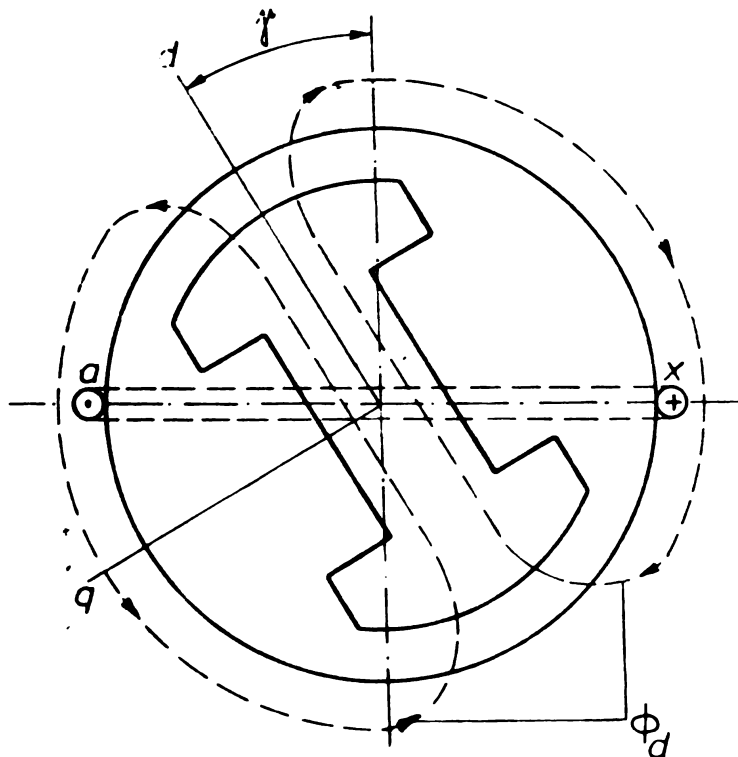


Fig. 2.1.

Determinarea inductivității fazelor statorice  
a-x funcție de poziția rotorului (unghiul  $\phi_d$ ).

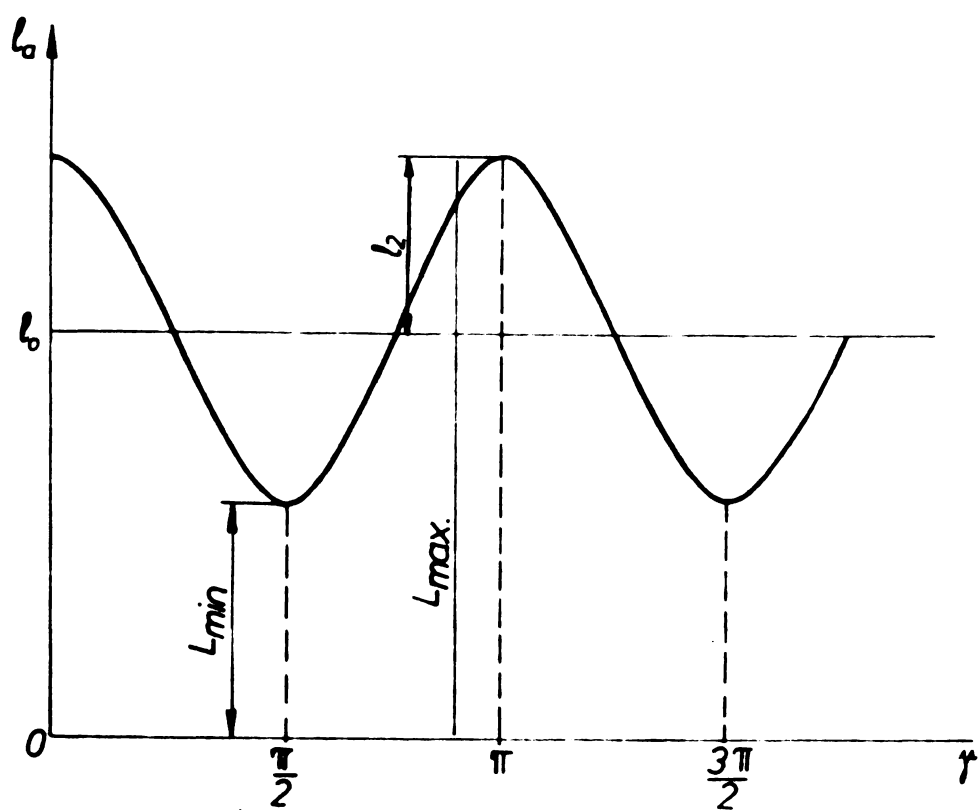


Fig. 2.2.

Dependența inductivității unei faze a înfășurării statorice de poziția rotorului în spațiu.

Inductivitățile sunt funcții pare de unghiul  $\gamma$ , adică vor avea o valoare unică atât pentru o valoare pozitivă cât și pentru o valoare negativă a unghiului  $\gamma$ . Aceasta se poate explica prin faptul că reluctanța magnetică pentru fluxul unei faze, va fi una și aceeași, indiferent de partea în care se rotește rotorul cu unghiul  $\gamma$  față de axa fazei.

Inductivitățile fazelor, ca funcții periodice pare, se pot dezvolta în serie Fourier sub forma:

$$\begin{aligned} l_a &= l_0 + l_2 \cos 2\gamma + l_4 \cos 4\gamma + \dots \\ l_b &= l_0 + l_2 \cos 2\left(\gamma - \frac{2\pi}{3}\right) + l_4 \cos 4\left(\gamma - \frac{2\pi}{3}\right) + \dots \quad (2.5) \\ l_c &= l_0 + l_2 \cos \left(\gamma + \frac{2\pi}{3}\right) + l_4 \cos 4\left(\gamma + \frac{2\pi}{3}\right) + \dots \end{aligned}$$

Considerind că fluxul magnetic se modifică de-a lungul pasului polar după o lege sinusoidală, se pot avea în vedere numai primii doi termeni ai seriei:

$$\begin{aligned} l_a &= l_0 + l_2 \cos 2\gamma \\ l_b &= l_0 + l_2 \cos 2\left(\gamma - \frac{2\pi}{3}\right) \quad (2.6) \\ l_c &= l_0 + l_2 \cos 2\left(\gamma + \frac{2\pi}{3}\right) \end{aligned}$$

Prin urmare se poate pune:

$$l_d = L_{\max}$$

$$l_q = L_{\min}$$

Conform fig.2.2 valoarea medie a inductivității fazei este:

$$l_0 = \frac{L_{\max} + L_{\min}}{2} = \frac{l_d + l_q}{2} \quad (2.7)$$

înălțimea de modificare a inductivității, în raport cu valoarea medie  $l_0$  este:

$$l_2 = \frac{L_{\max} - L_{\min}}{2} = \frac{l_d - l_q}{2} \quad (2.8)$$

Inductivitățile proprii ale înfășurărilor rotorice sunt constante în raport cu poziția rotorului:

- inductivitatea înfășurării de excitare,  $L_e = ct$  ;
- inductivitatea înfășurării de amortizare, echivalente după axe d,  $L_{sd} = ct$  ;

- inductivitatea înfășurării de amortizare după axa  $q$ ,  
 $L_{sq} = \text{ct.}$

Inductivitatea mutuală între fazele înfășurărilor statorice.

Fluxurile magnetice ale înfășurărilor statorice depind de poziția rotorului. Inductivitatea mutuală a fazelor este maximă cînd axa rotorică longitudinală este perpendiculară pe bisectoarea axelor magnetice ale fazelor considerate - fig.2.3:

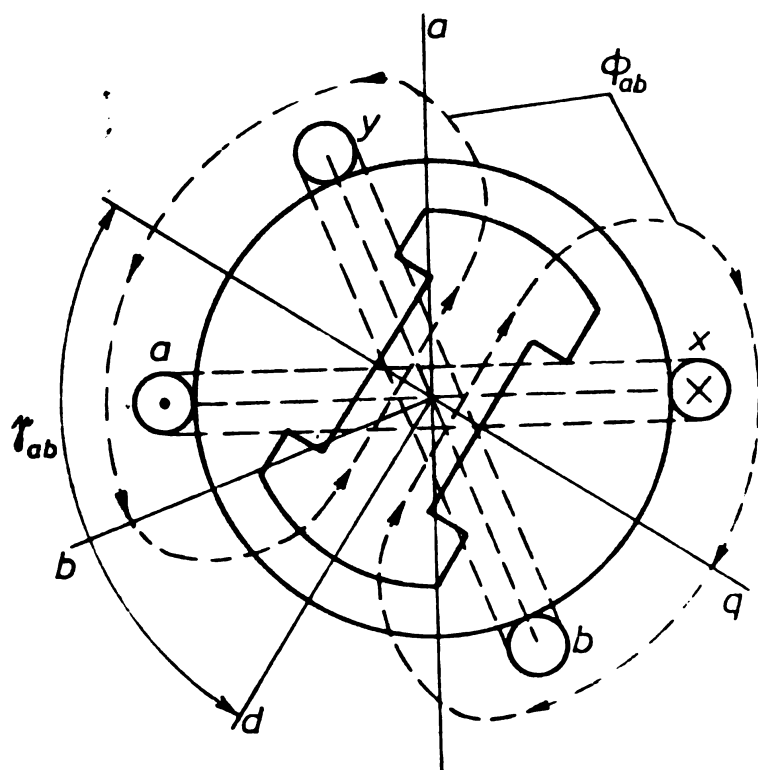


Fig.2.3.  
 Determinarea inductivității mutuale a fazelor  $a$  și  $b$  statorice.

Inductivitatea mutuală între fazele înfășurărilor statorice este o funcție pară a unghiului dintre axa  $d$  și bisectoarea axelor fazelor considerate. De aceea această inductivitate mutuală este întotdeauna negativă. Variatia inductivității mutuale  $m_{ab}$ , în funcție de poziția rotorului este dată în fig.2.4.

Pentru inductivitatea mutuală a două fazelor statorice, avem:

$$m_{ab} = - m_0 + m_2 \cos 2\phi_{ab} \quad (2.3)$$

unde:

- $m_0$  este componenta constantă a inductivității mutuale a două faze statorice;
- $m_2$  este amplitudinea componentei periodice.

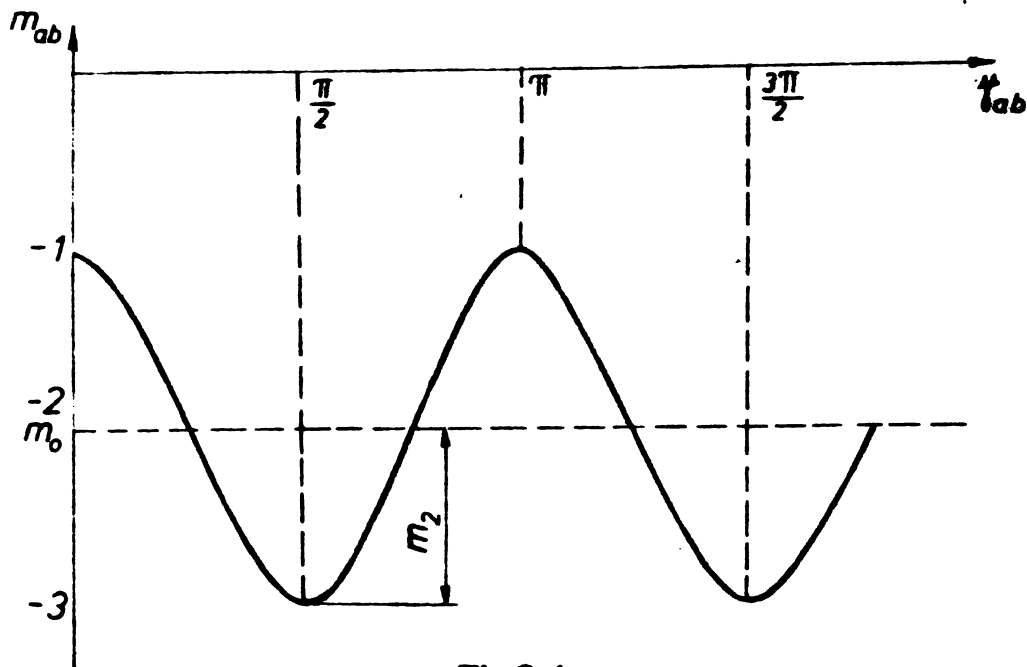


Fig.2.4.

Dependența inductivității mutuale a fazelor  $a$  și  $b$  ale înfășurărilor statorice de poziția rotorului în spațiu.

Avind în vedere relația dintre unghiul  $\gamma$  utilizat la definirea inductivității proprii și unghiul  $\gamma_{ab}$ ,

$$\gamma_{ab} = \gamma - \frac{\pi}{3},$$

rezultă expresiile inductivităților mutuale ale fazelor statorice, sub forma:

$$m_{ab} = -m_0 + m_2 \cos \left( 2\gamma - \frac{2\pi}{3} \right)$$

$$m_{bc} = -m_0 + m_2 \cos 2\gamma \quad (2.10)$$

$$m_{ca} = -m_0 + m_2 \cos \left( 2\gamma + \frac{2\pi}{3} \right)$$

Din (2.6) și (2.10), rezultă:

$$m_2 = l_2 \quad (2.11)$$

Această relație importantă atât pentru aspectul interpretării fizice, cât și sub aspectul utilității în determinările expe-

rimentale, este verificată atât teoretic cât și experimental /30/, /67/.

La suprapunerea axei d respectiv q, peste axa fazelor "a" ( $\gamma = 0$ , respectiv  $\gamma = \pi/2$ ), inductivitatea mutuală  $m_{ab}$  în următoarele valori particulare:

$$m_d = - m_o - \frac{m_2}{2} \quad (2.12)$$

$$m_q = - m_o + \frac{m_2}{2}$$

Inductivitățile mutuale ale fazelor înfășurărilor statorice cu înfășurările rotorice.

Inductivitatea mutuală a unei înfășurări statorice cu o înfășurare rotorică variază în raport cu poziția rotorului, în mod periodic, atingând valoarea maximă la suprapunerea axelor înfășurărilor.

Expresiile inductivităților mutuale între înfășurarea de excitație și înfășurările fazelor statorice se pot scrie sub forma:

$$m_{ae} = M_{aed} \cos \gamma$$

$$m_{be} = M_{aed} \cos \left( \gamma - \frac{2\pi}{3} \right) \quad (2.13)$$

$$m_{ce} = M_{aed} \cos \left( \gamma + \frac{2\pi}{3} \right)$$

în care:

-  $m_{ae}$  - inductivitatea mutuală între înfășurarea fazelor "a" și înfășurarea de excitație, la un unghi oricare  $\gamma$  (valoarea curentă a inductivității) și analog pentru celelalte faze;

-  $M_{aed}$  - inductivitatea mutuală între înfășurarea fazelor "a" statorice și înfășurarea de excitație, cind axele lor magnetice se suprapun.

Pentru inductivitățile mutuale ale înfășurării de amortizare echivalente după axa d, cu fazele statorice, se obțin expresii asemănătoare:

$$\begin{aligned} m_{asd} &= M_{asd} \cos \gamma \\ m_{bsd} &= M_{asd} \cos \left( \gamma - \frac{2\pi}{3} \right) \\ m_{csd} &= M_{asd} \cos \left( \gamma + \frac{2\pi}{3} \right) \end{aligned} \quad (2.14)$$

unde:

-  $m_{asd}$  - este inductivitatea mutuală dintre înfășurarea fazei "a" și înfășurarea echivalentă de amortizare după axa longitudinală la o poziție oarecare a rotorului, dată de unghiul  $\gamma$  și analog pentru celelalte faze;

-  $M_{asd}$  - este inductivitatea mutuală dintre înfășurarea fazei "a" și înfășurarea echivalentă de amortizare după axa longitudinală, cind axele magnetice se suprapun.

Inductivităile mutuale ale înfășurării echivalente de amortizare, după axa transversală, cu înfășurările statorice sunt:

$$\begin{aligned} m_{asq} &= M_{asq} \cos\left(\frac{\gamma + \frac{\pi}{2}}{2}\right) = -M_{asq} \sin \gamma \\ m_{bsq} &= -M_{asq} \sin\left(\frac{\gamma - \frac{2\pi}{3}}{3}\right) \\ m_{csq} &= -M_{asq} \sin\left(\frac{\gamma + \frac{2\pi}{3}}{3}\right) \end{aligned} \quad (2.15)$$

în care:

$M_{asq}$  - este inductivitatea mutuală între faza "a" și înfășurarea transversală, echivalentă de amortizare, la suprapunerea celor două axe magnetice.

$m_{asq}$  - este inductivitatea mutuală între faza "a" și înfășurarea transversală, echivalentă de amortizare, pentru o poziție oarecare a rotorului dată de unghiul  $\gamma$ .

Inductivitatea mutuală între înfășurarea de excitație și înfășurarea de amortizare după axa longitudinală este:

$$M_{asd} = \text{ct.}$$

Inductivitatea mutuală între înfășurarea transversală de amortizare (echivalentă) și înfășurarea de excitație, și de asemenea și cu înfășurarea de amortizare longitudinală (echivalentă) este zero, deoarece axele magnetice ale acestor înfășurări sunt deschise cu  $\pi/2$ , iar reluctanța magnetică a întregii ferite este constantă.

Rezultă că la mașina sincronă cu poli proeminenți, inductivităile reale ale fazelor sunt funcții periodice de unghiul  $\gamma$ .

Prin substituirea relațiilor (2.6), (2.10), (2.13), (2.14) și (2.15), în expresiile (2.4) pentru înlățuirile, se obțin relațiile explicite de determinare a fluxurilor reale ale fazelor funcție de inductivități și unghiuri:

$$\begin{aligned}\Psi_a &= (l_0 + l_2 \cos 2\gamma) i_a + \left[ -m_0 + l_2 \cos(2\gamma - 2\pi/3) \right] i_b + \\ &+ \left[ -m_0 + l_2 \cos(2\gamma + \frac{2\pi}{3}) \right] i_c + M_{aed} \cos \gamma \cdot i_e + \\ &+ M_{asd} \cos \gamma \cdot i_{sd} - M_{asq} \sin \gamma \cdot i_{sq};\end{aligned}$$

$$\begin{aligned}\Psi_b &= \left[ -m_0 + l_2 \cos(2\gamma - \frac{2\pi}{3}) \right] i_a + \left[ l_0 + l_2 \cos(2\gamma - \frac{2\pi}{3}) \right] i_b + \\ &+ \left[ -m_0 + l_2 \cos 2\gamma \right] i_c + M_{aed} \cos(\gamma - \frac{2\pi}{3}) \cdot i_e + \\ &+ M_{asd} \cos(\gamma - \frac{2\pi}{3}) \cdot i_{sd} - M_{asq} \sin(\gamma - \frac{2\pi}{3}) \cdot i_{sq}\end{aligned}\quad (2.16)$$

$$\begin{aligned}\Psi_c &= \left[ -m_0 + l_2 \cos(2\gamma - \frac{2\pi}{3}) \right] i_a + \left[ -m_0 + l_2 \cos 2\gamma \right] i_b + \\ &+ \left[ l_0 + l_2 \cos(2\gamma + \frac{2\pi}{3}) \right] i_c + M_{aed} \cos(\gamma + \frac{2\pi}{3}) \cdot i_e + \\ &+ M_{asd} \cos(\gamma + \frac{2\pi}{3}) \cdot i_{sd} - M_{asq} \sin(\gamma + \frac{2\pi}{3}) \cdot i_{sq}\end{aligned}$$

Se observă că fluxurile magnetice reale ale fazelor sunt funcții destul de complicate de unghiul  $\gamma$  al rotorului.

Prin înlocuirea lor în (2.1) se obțin ecuațiile diferențiale cu coeficienți periodici, ale tensiunilor reale ale fazelor.

Rezolvarea acestor ecuații este posibilă numai cu ajutorul metodelor numerice și este legată de un volum mare de calcule.

Aceste ecuații nu vor fi rezolvate în cazul general, ci vor fi utilizate pentru a descrie anumite regimuri tranzitorii particulare, care permit, așa cum se va prezenta în continuare, separarea practică a unor coeficienți deosebit de importanți pentru mașinile de putere mare.

## 2.2. ECUATIILE SI PARAMETRII MASINII SINCRONE CU POLI PROEMINENTI IN SISTEMUL DE COORDONATE d si q.

### 2.2.1. Schimbarea variabilelor. Transformarea curentilor în coordinate d, q și $\alpha, \beta$ .

Ecuatiile masinii sincrone cu poli proeminenti, stabilite în sistemul de coordinate al fazelor, prezentate în capitolul anterior, degă reprezintă legele mărimile corespunzătoare

fazelor reale ale magazinii, au dezavantajul prezenței coeficienților periodici. Pentru a avea coeficienți constanți este necesar să se facă o transformare liniară a ecuațiilor. Ecuațiile diferențiale, care descriu funcționarea unei mașini electrice au în general coeficienți variabili. Cea mai simplă substituție care conduce la coeficienți constanti este schimbarea variabilelor.

Sistemul de coordonate al fazelor, rigid legat de stator se substituie cu sistemul de axe  $d, q$ , legat de rotor (paragraful 1.2). Curenții din sistemul de coordonate al fazelor  $i_a, i_b, i_c$  se transformă în noi variabile corespunzătoare noului sistem, adică  $i_d, i_q, i_o$ .

Considerăm înășurarea statorică conectată în stea cu neutru izolat. Curenții variabili ai fazelor satisfac relația:

$$i_a + i_b + i_c = 0$$

Valoarea momentană a curenților se poate determina /27/, /67/, /86/ ca proiecția vectorului de reprezentare  $\vec{I}$ , rotitor, pe axele fazelor a, b, c - fig.2.5.

$$i_a = I \cos \alpha$$

$$i_b = I \cos(\alpha - \frac{2\pi}{3}) \quad (2.17)$$

$$i_c = I \cos(\alpha + \frac{2\pi}{3})$$

unde  $I$  este modulul vectorului de reprezentare.

Prin proiecția același vector de reprezentare  $\vec{I}$ , pe axele  $d, q$ , se obțin curenții în sistemul de coordonate transformat:

$$\begin{aligned} i_d &= I \cos(\gamma - \alpha) \\ i_q &= I \cos(\frac{\pi}{2} + \gamma - \alpha) = - I \sin(\gamma - \alpha) \end{aligned} \quad (2.18)$$

Folosind expresiile (2.18), curenții în coordonatele  $d, q$  se mai pot scrie sub forma:

$$\begin{aligned} i_d &= \frac{2}{3} \left[ i_a \cos \gamma + i_b \cos \left( \gamma - \frac{2\pi}{3} \right) + i_c \cos \left( \gamma + \frac{2\pi}{3} \right) \right] \\ i_q &= - \frac{2}{3} \left[ i_a \sin \gamma + i_b \sin \left( \gamma - \frac{2\pi}{3} \right) + i_c \sin \left( \gamma + \frac{2\pi}{3} \right) \right], \end{aligned} \quad (2.19)$$

formă care permite trecerea directă de la curenții reali ai fazelor  $i_a, i_b, i_c$  la curenții  $i_d$  și  $i_q$ .

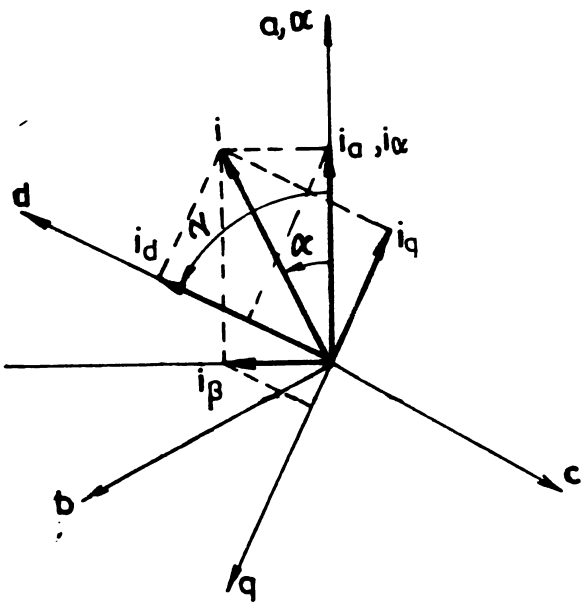


Fig.2.5. Schimbarea variabilelor

Pe baza fig.2.5 se pot scrie și relațiile de transformare inversă a curentilor, din coordonate d, q în coordonatele fazelor:

$$\begin{aligned} i_a &= i_d \cos \gamma - i_q \sin \gamma \\ i_b &= i_q \cos \left( \gamma - \frac{2\pi}{3} \right) - i_d \sin \left( \gamma - \frac{2\pi}{3} \right) \\ i_c &= i_d \cos \left( \gamma + \frac{2\pi}{3} \right) - i_q \sin \left( \gamma + \frac{2\pi}{3} \right) \end{aligned} \quad (2.20)$$

Cind înfășurarea statorică a mașinii sincrone este conectată în stea cu conductor de nul, sau în triunghi, suma valorilor momentane ale curentilor de fază, este în caz general diferită de zero:

$$i_a + i_b + i_c \neq 0$$

In acest caz este necesar să se introducă o variabilă suplimentară, pe lîngă expresiile (2.19), care rămîn valabile:

$$i_o = \frac{1}{3} (i_a + i_b + i_c) \quad (2.21)$$

Această variabilă se numește componenta curentului de nul, care în cazul variației sinusoidale devine componentă omopolară /67/.

In caz general, cu considerarea curentului  $i_o$ , curentii fe-

zelor vor avea expresiile:

$$\begin{aligned} i_a &= i_0 + i_d \cos \gamma - i_q \sin \gamma \\ i_b &= i_0 + i_d \cos\left(\gamma - \frac{2\pi}{3}\right) - i_q \sin\left(\gamma - \frac{2\pi}{3}\right) \\ i_c &= i_0 + i_d \cos\left(\gamma + \frac{2\pi}{3}\right) - i_q \sin\left(\gamma + \frac{2\pi}{3}\right) \end{aligned} \quad (2.22)$$

Din relațiile (2.22) se poate trage o primă concluzie în legătură cu componenta curentului de nul. Deoarece acesta intră în toate ecuațiile curentilor fazelor la fel, prin trecerea sa printr-o înfășurare trifazată simetrică, la fel ca și trecerea unui curent omopoliar, nu poate avea loc un cimp magnetic mutual între stator și rotor.

Schimbarea variabilelor reprezintă un procedeu matematic formal. Totuși variabilelor schimbate li se pot da interpretări fizice simple. La schimbarea variabilelor în axele d, q înfășurarea trifazată statorică se înlocuiește printr-o bifazată, rigid legată de axele d, q rotorice. De aceea inductivitățile și inductivitățile mutuale ale înfășurărilor rotorice transformate sunt constante. Prin același lucru, în fazele înfășurării bifazate, se păstrează amplitudinea curentilor și numărul de conductoare pe fază ale înfășurării trifazute, decarece vectorii de reprezentare ai curentilor, fluxurilor și tensiunilor, sunt aceiași pentru axele a, b, c și d, q.

La analiza regimurilor nesimetrice ale mașinii sincrone se utilizează de obicei sistemul de axe  $\alpha, \beta$ , imobile în raport cu statorul. Axa  $\alpha$  se suprapune peste axa "a" a fazelor rotorice, iar axa  $\beta$  o precede cu unghiul  $\pi/2$ . Formal, relațiile (2.19) pot fi obținute direct prin proiecția curentilor  $i_a, i_b, i_c$  pe axele d, q (fig. 2.5) și amplificând apoi expresiile cu coeficientul  $\frac{2}{3}$ . Relațiile dintre variabilele sistemului de coordonate al fazelor și cele ale sistemului  $\alpha, \beta$  pot fi determinate analog cu (2.19), prin amplificarea proiecțiilor curentilor fazelor pe axele  $\alpha, \beta$  cu coeficientul  $\frac{2}{3}$  și considerarea componentei curentului de nul. Rezultă:

$$\begin{aligned} i_\alpha &= \frac{2}{3} \left[ i_a - \frac{1}{2} (i_b + i_c) \right] \\ i_\beta &= \frac{1}{\sqrt{3}} (i_b - i_c) \\ i_0 &= \frac{1}{3} (i_a + i_b + i_c) \end{aligned} \quad (2.23)$$

Prin analogie cu (2.23) la trecerea directă, se obțin valo-

rile curenților fazelor sub forma:

$$\begin{aligned} i_a &= i_o + i_\alpha \\ i_b &= i_o - \frac{1}{2} (i_\alpha - \sqrt{3} i_\beta) \\ i_c &= i_o - \frac{1}{2} (i_\alpha + \sqrt{3} i_\beta) \end{aligned} \quad (2.24)$$

Prin compararea relațiilor celor două sisteme ortogonale de coordonate, rezultă relațiile directe de trecere de la coordonatele  $\alpha, \beta$  la  $d, q$

$$\begin{aligned} i_d &= i_\alpha \cos \gamma + i_\beta \sin \gamma \\ i_q &= -i_\alpha \sin \gamma + i_\beta \cos \gamma, \end{aligned} \quad (2.25)$$

respectiv relațiile inverse de trecere:

$$\begin{aligned} i_\alpha &= i_d \cos \gamma - i_q \sin \gamma \\ i_\beta &= i_d \sin \gamma + i_q \cos \gamma \end{aligned} \quad (2.26)$$

La schimbarea variabilelor, în coordonate  $\alpha, \beta$  sau  $d, q$  solenățiile și fluxurile magnetice înfășurărilor statorice rămân nemodificate.

### 2.2.2. Ecuatiile tensiunilor și fluxurilor în coordonate $\alpha, \beta$ și $d, q$ . Legătura dintre parametrii reali și parametrii echivalenți.

Ecuatiile tensiunilor în coordonatele  $\alpha, \beta$  se pot scrie analog cu (2.1):

$$\begin{aligned} U_\alpha &= \frac{d \Psi_\alpha}{dt} + R_1 i_\alpha \\ U_\beta &= \frac{d \Psi_\beta}{dt} + R_1 i_\beta \\ U_o &= \frac{d \Psi_o}{dt} + R_1 i_o \end{aligned} \quad (2.27)$$

în care  $\Psi_{\alpha, \beta, o}$  reprezintă fluxurile în axele  $\alpha, \beta$ , legate de fluxurile reale cu relații similare cu (2.23), adică:

$$\begin{aligned}\Psi_a &= \frac{3}{2} \left[ \Psi_d - \frac{1}{2} (\Psi_b + \Psi_c) \right] \\ \Psi_b &= \frac{1}{\sqrt{3}} (\Psi_b - \Psi_c) \\ \Psi_c &= \frac{1}{3} (\Psi_a + \Psi_b + \Psi_c)\end{aligned}\quad (2.28)$$

Cu considerarea relațiilor (2.16) fluxurile devin:

$$\begin{aligned}\Psi_d &= (l_0 + m_0 + \frac{3}{2} l_2 \cos 2\gamma) i_d + \frac{3}{2} l_2 \sin 2\gamma i_\beta + \\ &+ M_{aed} \cdot \cos \gamma \cdot i_e + M_{asd} \cdot \cos \gamma \cdot i_{sd} - M_{asq} \cdot \sin \gamma \cdot i_{sq}\end{aligned}\quad (2.29)$$

$$\begin{aligned}\Psi_\beta &= (l_0 + m_0 - \frac{3}{2} l_2 \cos 2\gamma) i_\beta + M_{aed} \sin \gamma i_e + \\ &+ M_{asd} \sin \gamma \cdot i_{sd} + M_{asq} \cos \gamma \cdot i_{sq}\end{aligned}$$

$$\Psi_c = (l_0 - 2m_0) i_o$$

Cu relațiile (2.4), (2.13), (2.14), (2.23) se obțin fluxurile rotorice (pentru excitație, amortizare longitudinală și amortizare transversală):

$$\Psi_e = \frac{3}{2} M_{aed} (i_d \cos \gamma + i_\beta \sin \gamma) + L_e i_e + M_{esd} i_{sd} \quad (2.30)$$

$$\Psi_{sd} = \frac{3}{2} M_{asd} (i_d \cos \gamma + i_\beta \sin \gamma) + M_{esd} i_e + L_{sd} i_{sd} \quad (2.31)$$

$$\Psi_{sq} = \frac{3}{2} M_{asq} (i_\beta \cos \gamma - i_d \sin \gamma) + L_{sq} i_{sq} \quad (2.32)$$

In expresiile (2.30)...(2.32) fluxurile sunt funcții de unghiul  $\gamma$ , deci și în coordonate  $\alpha$ ,  $\beta$  coeficienții ecuațiilor sunt periodici. În partea experimentală se urmărește determinarea unor parametri din anumite regimuri tranzitorii particulare, cu rotorul imobil și din acest punct de vedere coeficienții periodici conținând unghiul  $\gamma$ , din ecuațiile în coordonate  $\alpha$ ,  $\beta$ , nu ar trebui să constituie un impediment. Se trece în continuare la coordonatele  $d$ ,  $q$  deoarece parametrii care se cer a fi determinați pe standurile industriale, sunt parametri echivalenți după axa longitudinală "d" și după axa transversală "q". Pe de altă parte analiza ecuațiilor în cazul general /29/, /39/, /54/, /67/, /69/, /94/ se poate face prin trecerea la coordonatele  $d$ ,  $q$ , cind aceste ecuații nu mai au coeficienți periodici. Trecerea la coordonatele  $d$ ,  $q$  se face cu relații

de tipul (2.25) valabile atât pentru curenti cât și pentru fluxuri.

Ecuatiile tensiunilor statorice în coordonate d, q vor fi:

$$\begin{aligned} U_d &= U_\alpha \cos \gamma + U_\beta \sin \gamma \\ U_q &= -U_\alpha \sin \gamma + U_\beta \cos \gamma, \end{aligned} \quad (2.33)$$

iar după înlocuiri și transformări, se obtine forma finală:

$$\begin{aligned} U_d &= \frac{d\Psi_d}{dt} - \Psi_q \frac{d\gamma}{dt} + R_l i_d \\ U_q &= \frac{d\Psi_q}{dt} + \Psi_d \frac{d\gamma}{dt} + R_l i_q \end{aligned} \quad (2.34)$$

Ecuatiile pentru tensiunile rotorice (2.2) și (2.5) precum și ecuația componentei de nul a tensiunii (2.27) rămân nemodificate.

Expresiile fluxurilor în coordonate d, q se pot obtine cu relațiile (2.25) și (2.29).

$$\begin{aligned} \Psi_d &= \Psi_\alpha \cos \gamma + \Psi_\beta \sin \gamma \\ \Psi_q &= -\Psi_\alpha \sin \gamma + \Psi_\beta \cos \gamma \end{aligned} \quad (2.35)$$

sau

$$\begin{aligned} \Psi_d &= (l_o + m_o + \frac{3}{2} l_2) i_d + M_{aed} i_e + M_{asd} i_{sq} \\ \Psi_q &= (l_o + m_o - \frac{3}{2} l_2) i_q + M_{asq} i_{sq} \end{aligned} \quad (2.36)$$

Fluxul componentei de nul rămâne nemodificat:

$$\Psi_o = (l_o - 2 m_o) i_o \quad (2.37)$$

Cu notatiile:

$$\begin{aligned} L_d &= l_o + m_o + \frac{3}{2} l_2 \\ L_q &= l_o + m_o - \frac{3}{2} l_2 \\ L_o &= l_o - 2 m_o \end{aligned} \quad (2.38)$$

fluxurile înfășurărilor statorice se pot scrie sub forma:

$$\begin{aligned} \Psi_d &= L_d i_d + M_{aed} i_e + M_{asd} i_{sq} \\ \Psi_q &= L_q i_q + M_{asq} i_{sq} \\ \Psi_o &= L_o i_o \end{aligned} \quad (2.39)$$

Relațiile (2.38) au o importanță deosebită pentru interpretarea fizică și pentru determinarea experimentală a reactanțelor corespunzătoare celor trei inductivități echivalente  $L_d$ ,  $L_q$  și  $L_o$ . Aceste relații arată legătura care există între parametrii fizici  $l_0$ ,  $m_0$ ,  $l_2$  și căror semnificație a fost analizată (capitolul 2 - relațiile 2.6, 2.7, 2.8) și parametrii echivalenți.

Inductivitatea  $L_d$  reprezintă inductivitatea pe o fază a statorului, la trecerea prin înfășurările statorice a unor curenti sinusoidali, simetrici, de succesiune directă, în timp ce rotorul rotește cu viteza sincronă, în cazul suprapunerii axei cîmpului statoric cu axa longitudinală. Reactanța inducțivă corespunzătoare  $x_d = \omega L_d$  se numește reactanță sincronă longitudinală.

Inductivitatea  $L_q$  este inductivitatea unei faze a înfășurării statorice, la trecerea prin înfășurarea statorică a unor curenti simetrici de succesiune directă, în cazul suprapunerii axei cîmpului statoric cu axa transversală. Reactanța corespunzătoare  $x_q = \omega L_q$  este reactanță sincronă după axa transversală.

Inductivitatea  $L_o$  este inductivitatea pe fază a înfășurării statorice, la trecerea prin înfășurare a curentilor de tip omopolar iar reactanța  $x_o = \omega L_o$  este reactanță omopolară.

Prin înlocuirea curentilor (2.26) în expresiile (2.30), (2.31) (2.32), se obțin expresiile fluxurilor rotorice în coordinate d, q:

$$\Psi_e = \frac{3}{2} M_{aed} i_d + L_e i_e + M_{esd} i_{sd} \quad (2.40)$$

$$\Psi_{sd} = \frac{3}{2} M_{asd} i_d + M_{esd} i_e + L_{sd} i_{sd} \quad (2.41)$$

$$\Psi_{sq} = \frac{3}{2} M_{asq} i_q + L_{sq} i_{sq} \quad (2.42)$$

## Capitolul 3

### METODOLOGIE DE DETERMINARE A PARAMETRILOR MASINII SINCRONE, FOLOSIND PRELUCRAREA NUMERICA A REZULTATELOR OBTINUTE IN UNELE REGIMURI TRANZITORII.

O importanță deosebită privind parametrii mașinii sincrone o are studiul regimurilor tranzitorii /1/, /4/, /5/, /6/, /7/, /10/, /18/, /22/, /26/, /27/, /33/, /58/, /64/, /65/, /67/, /75/, /78/, /79/, /80/, /83/, /103/, /105/, /110/, /113/, /114/, /115/, /116/, /117/, /118/, /119/, /128/, /129/, /133/. În general determinarea parametrilor din regimurile tranzitorii se face pe baze grafice sau grafo-analitice. Folosirea acestor regimuri implică în general un volum mare de calcule, ceea ce face ca prelucrările de rezultate să devină insuficiente într-un stand clasic. Utilizarea completă a informațiilor date de înregistrările unor semnale de regim tranzitoriu, se poate face exact și eficient apelând la mijloace numerice.

Inregistrarea informațiilor într-un interval mic de timp, corespunzătoare mai multor mărimi, în mod simultan, precum și prelucrarea acestora după o metodă prestabilită, care implică un volum mare de calcule se poate face cu un calculator de proces. De aceea perfecționarea unor tehnici de încercare și determinarea a parametrilor mașinilor sincrone de putere mare, prin analiza unor regimuri tranzitorii cu metode numerice, constituie o premisă a introducerii calculatoarelor de proces în controlul industrial al mașinilor electrice.

#### 3.1. ECUAȚIILE PENTRU REGIMURI TRANZITORII PARTICULARE IN VEDEREA DETERMINARII PARAMETRILOR DUPĂ AXELE „d” și „q”.

##### 3.1.1. Ecuatiile pentru poziția longitudinală a rotorului - atenuare longitudinală.

Se consideră regimul tranzitoriu care apare în situația particulară de alimentare a mașinii prezentate în fig.3.1, prin închiderea întrerupatorului K. Rotorul este imobil în pozitie longitudinală față de fază "a". Aceasta înseamnă că axa "d" și axa magnetică a fazei "a" se suprapun. În această pozitie caracterizată prin  $\gamma = 0$ , axa infășurării de excitare și axa magnetică a fazei "a" se suprapun.

În fig.3.1 s-a notat cu  $R_s$  rezistența de suntere a circui-

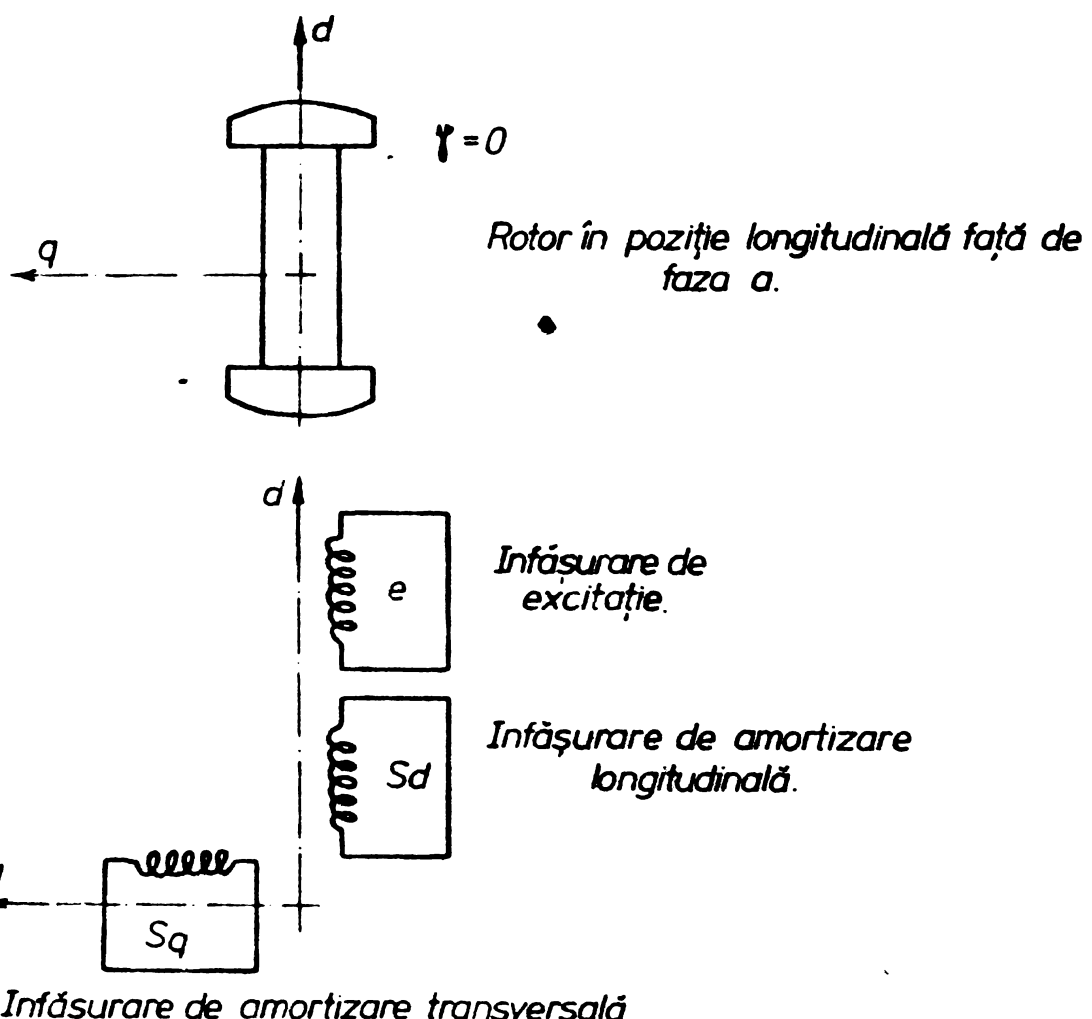
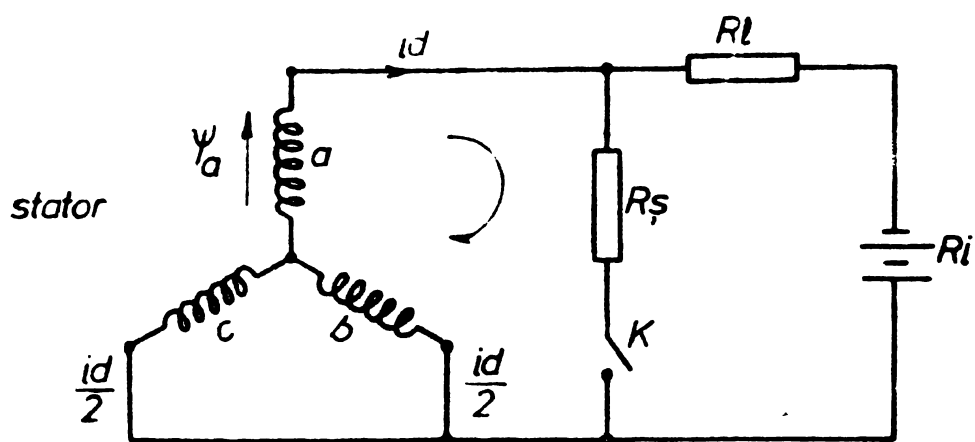


Fig. 3.1.

Schema electrică pentru experimentul longitudinal.

tului statoric (rezistență de stingere), cu  $R_1$  rezistență conducețoarelor de legătură de la sursă la mașină și cu  $R_i$  rezistență internă a sursei. În stator, faza pentru care poziția rotorului este longitudinală, s-a inserat cu celelalte două faze "b" și "c" conectate în paralel. Alimentarea se face de la o sursă de curent continuu.

Prin închiderea întreruptorului K, apare un regim tranzitoriu, de atenuare a curentilor din stator, care implică apariția unor regimuri tranzitorii și în înfășurările rotorice.

#### Ecuatia circuitului statoric.

Pentru a scrie ecuația circuitului în acest regim tranzitoriu se utilizează relațiile (2.16). Aceste expresii se particularizează prin considerarea poziției longitudinale a rotorului față de fază "a",  $\delta = 0$ .

Pentru fluxul fazei "a" se obține:

$$\Psi_a = (l_o + L_2) i_a + \left[ -m_o + l_2 \left( -\frac{1}{2} \right) \right] i_b + \left[ -m_o + l_2 \left( -\frac{1}{2} \right) \right] i_c + M_{aed} i_e + M_{asd} i_{sd}$$

În această expresie se are în vedere valorile curentilor pe faze, corespunzătoare acestui regim particular, adică:

$$i_a = i_d ; \quad i_b = -i_d/2 ; \quad i_c = -i_d/2 ;$$

$$\Psi_a = (l_o + l_2) i_d + \left( m_o + \frac{l_2}{2} \right) i_d + M_{aed} i_e + M_{asd} i_{sd}$$

Forma finală a fluxului în fază "a",  $\Psi_a$ , este:

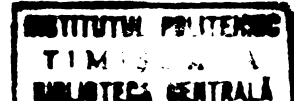
$$\Psi_a = (l_o + m_o + \frac{3}{2} l_2) i_d + M_{aed} i_e + M_{asd} i_{sd} \quad (3.1)$$

Pentru fluxul fazei "b" se obține:

$$\begin{aligned} \Psi_b &= \left[ -m_o + l_2 \left( -\frac{1}{2} \right) \right] i_a + \left[ l_o + l_2 \left( -\frac{1}{2} \right) \right] i_b + \left( -m_o + l_2 \right) i_c + \\ &+ M_{aed} \left( -\frac{1}{2} \right) i_e + M_{asd} \left( -\frac{1}{2} \right) i_{sd}, \end{aligned}$$

care, prin substituirea valorilor particolare ale curentilor, devine:

$$\begin{aligned} \Psi_b &= (-m_o - l_2) i_d + \left( l_o - \frac{l_2}{2} \right) \left( -\frac{i_d}{2} \right) + \left( -m_o + l_2 \right) \left( -\frac{i_d}{2} \right) - \\ &- \frac{1}{2} M_{aed} i_e - \frac{1}{2} M_{asd} i_{sd} \quad (3.2) \\ &= \left( -m_o - \frac{l_2}{2} - \frac{l_o}{2} + \frac{l_2}{2} + \frac{m_o}{2} \right) \frac{i_d}{2} - \\ &= \left( -m_o/2 - l_o/2 - l_2/2 \right) i_d \end{aligned}$$



Fluxul total al ochiului considerat este:

$$\Psi_{tot} = \left[ (l_o + m_o + \frac{3}{2} l_2) + (l_o + m_o + \frac{3}{2} l_2) \frac{l}{2} \right] i_d + \\ + \frac{3}{2} M_{aed} i_e + \frac{3}{2} M_{asd} i_{sd},$$

iar forma finală:

$$\Psi_{tot} = \frac{3}{2} (l_o + m_o + \frac{3}{2} l_2) i_d + \frac{3}{2} M_{aed} i_e + \frac{3}{2} M_{asd} i_{sd} \quad (3.3)$$

Rezistența activă a ochiului echivalent în care apare atenuarea curentului  $i_d$  (fig.3.1), se poate scrie sub forma:

$$R_{ech} = R_s + \frac{R_a}{2} + \frac{R_s(R_e + R_i)}{R_s + R_e + R_i} = \frac{3}{2} \left[ R_a + \frac{2}{3} \frac{R_s(R_e + R_i)}{R_s + R_e + R_i} \right] \quad (3.4)$$

și notind  $R_{ae} = R_a + \frac{2}{3} \frac{R_s(R_e + R_i)}{R_s + R_e + R_i}$ , rezultă:

$$R_{ech} = \frac{3}{2} R_{ae} \quad (3.4')$$

unde:

$R_a$  - rezistență fazei statorice,  $R_i$  rezistență interioară a sursei și  $R_s$  - rezistență de săntare.

In situația în care  $R_s = 0$  (scurtcircuitare, adică  $i_d$  scade de la o valoare oricare, la zero), rezistența echivalentă de stințere își valoarea:

$$R_{ech} = \frac{3}{2} R_a \quad (3.4'')$$

Pentru cazul scurtcircuitării ( $U=0$ ), rezultă ecuația care caracterizează regimul tranzitoriu, sub forma:

$$0 = \frac{3}{2} R_a i_d + \frac{3}{2} (l_o + m_o + \frac{3}{2} l_2) \frac{di_d}{dt} + \frac{3}{2} M_{aed} \frac{di_e}{dt} + \\ + \frac{3}{2} M_{asd} \frac{di_{sd}}{dt} \quad (3.5)$$

Această ecuație conține parametrii fizici reali ai mașinii sincrone.

Tinând seama de legătura dintre inductivitățile reale ale mașinii și inductivitatea echivalentă după axa d,  $L_d$  - relația (2.38) se obține ecuația circuitului statoric în poziția longitudinală:

$$0 = \frac{3}{2} R_a i_d + \frac{3}{2} L_d \frac{di_d}{dt} + \frac{3}{2} M_{aed} \frac{di_e}{dt} + \frac{3}{2} M_{esd} \frac{di_{sd}}{dt} \quad (3.6)$$

Această ecuație este scrisă în mărimi fizice și parametri nereduși.

### E c u a t i a circuitului de excitatie.

Fluxul total al înfășurării de excitatie se poate determina cu relația (2.4), în care se are în vedere poziția particulară a rotorului (longitudinală față de axa magnetică a fazei "a"), deci  $\chi=0$ . De asemenea, în această relație se introduc valorile inducțivităților mutuale dintre cele trei faze și circuitul de excitare - relațiile (2.13). Prin înlocuirea valorilor curentilor fazelor din poziția longitudinală, se obțin succesiv, următoarele forme pentru fluxul de excitare:

$$\begin{aligned} \Psi_e &= m_{ae} i_a + m_{be} i_b + m_{ce} i_c + M_{esd} i_{sd} + L_e i_e = \\ &= M_{aed} i_d + M_{aed} \left(-\frac{1}{2}\right) \left(-\frac{i_d}{2}\right) + M_{aed} \left(-\frac{1}{2}\right) \left(-\frac{i_d}{2}\right) + \\ &\quad + M_{esd} i_{sd} + L_e i_e \\ \Psi_e &= \frac{3}{2} M_{aed} i_d + M_{esd} i_{sd} + L_e i_e \end{aligned} \quad (3.7)$$

Inlocuind această expresie a fluxului de excitare, valabilă pentru poziția longitudinală, în ecuația generală a circuitului de excitare (2.2), se obține pentru acest circuit, ecuația:

$$0 = \frac{3}{2} M_{aed} \frac{di_d}{dt} + i_e R_e + M_{esd} \cdot \frac{di_{sd}}{dt} + L_e \frac{di_e}{dt} \quad (3.8)$$

### E c u a t i a circuitului longitudinal de amortizare.

Ecuția (3.8) stabilită pentru poziția longitudinală a rotorului, are pe lîngă importanță teoretică, o utilitate practică imediată, deoarece se pot înregistra direct variațiile curentului din acest circuit.

Pentru circuitul longitudinal de amortizare nu se poate afirma același lucru, deoarece nu avem acces direct din punctul de vedere al măsurătorilor, la acest circuit. Totuși și această ecuație este importantă, deoarece prin cuplajele magnetice existente, variațiile de flux și curent din circuitul de amortizare se reflectă asupra oscilațiilor din celelalte circuite.

Fluxul total al înfășurării longitudinale de amortizare

pentru  $\psi = 0$ , cu (2.4) și (2.14) este:

$$\Psi_{sd} = m_{sda} i_a + m_{adb} i_b + m_{adc} i_c + M_{sde} i_e + L_{sd} i_{sd} =$$

$$= \frac{3}{2} M_{asd} i_d + M_{sde} i_e + L_{sd} i_{sd},$$

cu care se obține ecuația regimului tranzitoriu al încercării longitudinale, pentru circuitul longitudinal de amortizare, sub forma:

$$\circ = \frac{3}{2} M_{asd} \frac{di_d}{dt} + M_{sde} \frac{di_e}{dt} + R_{sd} i_{sd} + L_{sd} \frac{di_{sd}}{dt} \quad (3.9)$$

In rotor, care are axa suprapusă peste axa fazei "a" statorică, în circuitul transversal de amortizare nu apar oscilații, deoarece nu există cuplaje magnetice.

Trecerea de la ecuațiile scrise în mărimi fizice, la ecuațiile scrise în mărimi reduse la stator și raportate, particularizate pentru poziția longitudinală a rotorului.

Ecuațiile scrise pentru circuitul statoric, de excitare și circuitul longitudinal de amortizare, constituie un sistem de ecuații, care descriu regimul tranzitoriu pentru poziția longitudinală a rotorului:

$$\circ = \frac{3}{2} R_a i_d + \frac{3}{2} L_d \frac{di_d}{dt} + \frac{3}{2} M_{aed} \frac{di_e}{dt} + \frac{3}{2} M_{asd} \frac{di_{sd}}{dt}$$

$$\circ = \frac{3}{2} M_{asd} \frac{di_d}{dt} + i_e R_e + M_{esd} \frac{di_{sd}}{dt} + L_e \frac{di_e}{dt} \quad (3.10)$$

$$\circ = \frac{3}{2} M_{asd} \frac{di_d}{dt} + M_{sde} \frac{di_e}{dt} + R_{sd} i_{sd} + L_{sd} \frac{di_{sd}}{dt}$$

Toate circuitele din rotor, care se reduc la stator sunt monofazate. Se consideră coeficienții de reducere pentru curent  $K_i$ , pentru tensiune  $K_u$  și impedanțe  $K_Z$ , care au fost analizați la paragraful 1.1.4. Acești coeficienți se particularizează pentru o reducere monofazată după cum urmează:

- coeficientul de reducere pentru curent,

$$K_i = \frac{I_2}{I'_2} = \frac{m_1 w_1 K_{bl}}{m_2 w_2 K_{b2}} = \frac{m_1}{2} \frac{w_1 K_{bl}}{w_2} = \frac{3}{2} \frac{w_1 K_{bl}}{w_2};$$

- coeficientul de reducere pentru tensiune:

$$K_u = \frac{U'_2}{U_2} = \frac{2}{m_1} K_i = \frac{2}{3} K_i ;$$

- coeficientul de reducere pentru impedanțe:

$$K_Z = K_u K_i = \frac{2}{3} K_i^2 = \frac{3}{2} \left( \frac{w_1 K_{bl}}{w_2} \right)^2$$

Că urmare coeficientul de reducere a înfășurării de excitație la înfășurarea statorică este:

$$K_{ie} = \frac{3}{2} \frac{w_1 K_{bl}}{w_e}$$

Având în vedere că:

$$K_{ie} M_{aed} \frac{d \frac{i_e}{K_{ie}}}{dt} = K_{ie} M_{aed} \frac{di_e}{dt}$$

și punind:

$$M'_{aed} = K_{ie} M_{aed}$$

$$M'_{asd} = K_i M_{asd}$$

$$K_{id} \cdot M_{asd} \frac{d \frac{i_{sd}}{K_{id}}}{dt} = K_{id} M_{asd} \frac{di_{sd}}{dt}$$

în care:

$K_{id} = \frac{3}{2} \frac{w_1 K_{bl}}{2p w_{sd}}$  reprezintă coeficientul de reducere a curentului din înfășurarea longitudinală de amortizare, la stator.

$w_{sd}$  este numărul de spire al înfășurării echivalente de amortizare după axa d, pe pol, dat de relația (1.32).

Prima ecuație obține forma redusă la stator:

$$0 = \frac{3}{2} R_{aid} + \frac{3}{2} L_d \frac{di_d}{dt} + \frac{3}{2} M'_{aed} \frac{di'_e}{dt} + \frac{3}{2} M'_{asd} \frac{di_{sd}}{dt}$$

Ecuția a doua din (3.10) se amplifică cu coeficientul de reducere a tensiunii din excitatie la stator:

$$K_{ue} = \frac{w_1 K_{bl}}{w_2}$$

făcindu-se și artificiile necesare pentru a obține curentii redugii în următoarea ordine:

$$0 = \frac{3}{2} K_{ue} M_{aed} + \frac{i_e}{K_{ie}} K_{ue} K_{ie} R'_e + M'_{esd} K_{ue} K_{id} \frac{d \frac{i_{sd}}{K_{id}}}{dt} + \\ + L'_e K_{ue} K_{ie} \frac{di_e}{dt}$$

și notând inductivitătile și rezistența înfășurării de excitație, reduse la stator:

$$M'_{esd} = K_{ue} K_{id} M_{esd}$$

$$L'_e = L_e K_{ue} K_{ie}$$

$$R'_e = R_e K_{ue} K_{ie}$$

se obtine ecuația circuitului de excitație redusă la stator:

$$0 = M'_{aed} i_d + i'_e R'_e + M'_{esd} \frac{di'_{sd}}{dt} + L'_e \frac{di'_e}{dt}$$

Pentru ecuația a treia din (3.10) se fac operații similare, amplificîndu-se cu coeficientul de reducere a tensiunii înfășurării de smortizare longitudinală la stator:

$$K_{ud} = \frac{w_1 K_{bl}}{2p w_{sd}} = \frac{2}{3} K_{id}$$

$$0 = \frac{3}{2} K_{ud} M_{asd} \frac{di_d}{dt} + K_{ud} K_{ie} M_{sde} \frac{di'_e}{dt} + K_{ud} K_{isd} R_{sd} i'_{sd} + \\ + K_{ud} K_{id} \frac{di'_{sd}}{dt}$$

Se notează inductivităile și rezistența din circuitul longitudinal de smortizare, reduse la stator:

$$\frac{3}{2} K_{ud} M_{asd} = K_{id} M_{asd} = M'_{asd}$$

$$L_{sd} K_{ud} K_{id} = L'_{sd}$$

$$K_{ud} K_{isd} R_{sd} = R'_{sd}$$

Deci sistemul de ecuații care descrie oscilațiile de stinzerere a curentilor din poziția longitudinală, cu toți parametrii și

variabilele reduse la stator (mărimi notate cu indicele "prim"), este:

$$0 = R_a i_d + L_d \frac{di_d}{dt} + M'_{aed} \frac{di'_e}{dt} + M'_{asd} \frac{di'_{sd}}{dt}$$

$$0 = M'_{aed} i_d + i'_e R'_e + L'_e \frac{di'_e}{dt} + M'_{esd} \frac{di'_{sd}}{dt} \quad (3.11)$$

$$0 = M'_{asd} \frac{di_d}{dt} + M'_{esd} \frac{di'_e}{dt} + R'_{sd} i'_{sd} + L'_{sd} \frac{di'_{sd}}{dt}$$

Se trece la mărimile raportate pentru ecuațiile acestui sistem și prin aceasta în locul inductivităților vor apărea reactanțele corespunzătoare, datorită trecerii timpului în "per-unit".

Cu acestea sistemul ecuațiilor de atenuare a curentilor în poziția longitudinală a rotorului, devine:

$$0 = r_a i_d + x_d \frac{di_d}{dt} + x_{ad} \frac{di'_e}{dt} + x_{ad} \frac{di'_{sd}}{dt}$$

$$0 = x_{ad} \frac{di_d}{dt} + i'_e r'_e + x'_e \frac{di'_e}{dt} + x_{ad} \frac{di'_{sd}}{dt} \quad (3.12)$$

$$0 = x_{ad} \frac{di_d}{dt} + x_{ad} \frac{di'_e}{dt} + r'_{sd} i'_{sd} + x'_{sd} \frac{di'_{sd}}{dt}$$

în care toate mărimile rotorice sunt reduse la stator și apoi totul este raportat la mărimile de bază de raportare alese pentru înăștigarea statorică.

### 3.1.2. Ecuatiile din încercarea de stingere a cîmpului cu statorul deschis.

Deoarece se urmărește determinarea parametrilor echivalenți ai mașinii, ecuațiile (3.12) nu sunt suficiente și ca urmare se analizează un alt regim particular și anume cel în care statorul este deschis.

Rotorul mașinii rămîne în poziție longitudinală față de fază "a", imobil, ca la încercarea precedentă. Circuitul statoric este deschis. Circuitul de excitație se pune sub tensiune continuă - fig.3.2. Regimul tranzitoriu se obține prin închiderea întreruptorului K. Ca urmare curentul de excitație variază

de la o valoare constantă, la altă valoare constantă, care se fixează prin intermediul rezistenței de șuntare  $R_s$ . Această rezistență poate fi și de valoare "0", cind practic prin închiderea întrerupatorului K, se scurtcircuitează bornele circuitului de excitație și curentul se atenuează de la o valoare constantă, la zero.

Un regim tranzitoriu apare numai în înfășurarea de excitație și în înfășurarea longitudinală de amortizare.

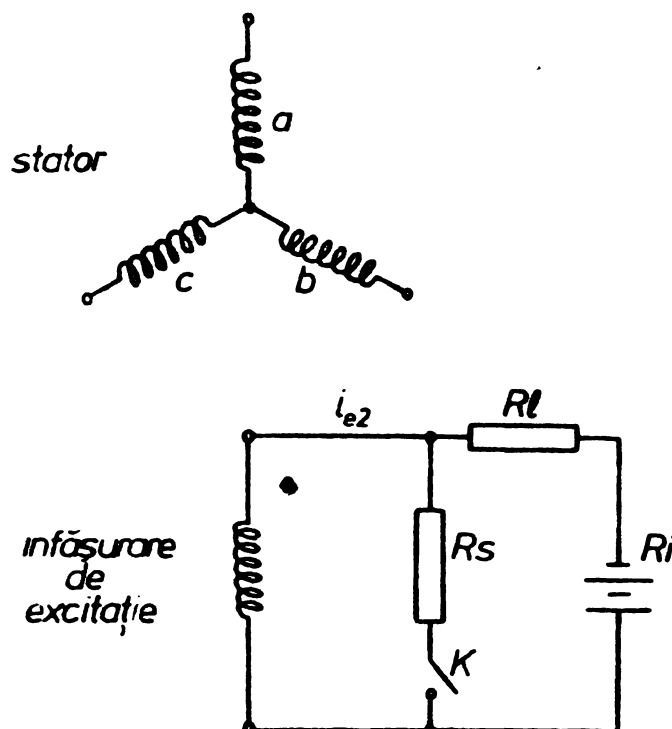


Fig. 3.2. Schemă electrică pentru încercarea cu statorul deschis.

#### Ecuatia circuitului de excitație.

Fluxul total al înfășurării de excitație este:

$$\Psi_e = L_e i_e + M_{esd} i_{sd}$$

In caz general cind rezistența de șuntare este diferită de zero, rezistență echivalentă a circuitului de excitație în care are loc atenuarea componentei tranzistorie a curentului din încercarea cu statorul deschis este:

$$R_{e_{ech}} = R_e + \frac{R_s (R_e + R_i)}{R_s + R_e + R_i} \quad (3.13)$$

în care  $R_e$  este rezistență înfășurării de excitare.

In cazul scurtcircuitării  $R_s = 0$  și  $R_{e_{ech}} = R_e$ , ecuația regimului tranzistoriu pentru circuitul de excitare este:

$$0 = M_{esd} \frac{di_{sd}}{dt} + R_e i_e + L_e \frac{di_e}{dt} \quad (3.14)$$

unde:

$M_{esd}$  – inductivitatea mutuală între circuitul echivalent longitudinal de amortizare și înfășurarea de excitare;

$L_e$  – inductivitatea totală a circuitului de excitare.

#### Ecuatia circuitului echivalent longitudinal de amortizare.

Fluxul total al înfășurării longitudinale de amortizare, se exprimă în funcție de inductivitatea mutuală a acestei înfășurări, cu înfășurarea de excitare  $M_{sde}$  și inductivitatea totală a înfășurării longitudinale  $L_{sd}$ , sub forma:

$$\Psi_{sd} = M_{sde} i_e + L_{sd} i_{sd}.$$

Rezultă ecuația care descrie regimul tranzistoriu din înfășurarea echivalentă longitudinală de amortizare, notată cu "sd" sub forma:

$$0 = M_{sde} \frac{di_e}{dt} + R_{sd} \cdot i_{sd} \quad (3.15)$$

în care  $i_e$  este curentul real în regim tranzistoriu din înfășurarea de excitare,  $i_{sd}$  este curentul din circuitul echivalent longitudinal de amortizare, iar  $R_{sd}$  rezistența echivalentă a circuitului longitudinal de amortizare, care se poate calcula în funcție de colivia concretă de amortizare – rel.(1.42).

Soluțiile ecuațiilor de tipul (3.12)(3.14)(3.15) precum și celor corespunzătoare după axa q, în mărimi reduse și reportate se găsesc în /30/, /85/, /87/, /93/, /115/. În prezentă lucrare se dezvoltă demonstrațiile complete și analiza aprofundată a fenomenelor de stingere a curenților după cele două axe în mărimi fizice precum și deducerea și raportarea (cu coeficienții respectivi prezentați în detaliu), deoarece în programul de determinare numerică a parametrilor care se prezintă în final este necesar controlul unor

mărimi fizice. Pe de altă parte, pentru a compara rezultatele experimentale cu datele de proiectare este necesară revenirea la mărimile fizice inițiale (de exemplu la rezistențele echivalente). De asemenea pe baza relațiilor stabilite anterior pentru fluxuri, inductivități și curenți, în mod asemănător se poate face studiul regimurilor de stingere a curenților și pentru alte poziții particulare ale rotorului.

Trecerea de la ecuațiile scrise în mărimi fizice, la ecuații scrise în mărimi reduse la stator și raportate.

Ecuția (3.14) se amplifică cu  $K_{ue}$ , iar ecuația (3.15) cu  $K_{ud}$ , făcind și artificiile necesare pentru a obține în ecuații, curentii din circuitele rotorice, reduși la stator rezultă:

$$0 = K_{ue} K_{ie} R'_e i'_e + K_{ue} K_{ie} L'_e \frac{di'_e}{dt} + M'_{esd} K_{ue} K_{id} \frac{di'_{sd}}{dt}$$

$$0 = K_{ud} K_{ie} M'_{sed} \frac{di'_e}{dt} + K_{ud} K_{id} R'_{sd} i'_{sd} + K_{ud} K_{id} I'_{sd} \frac{di'_{sd}}{dt}$$

Considerind definirea inductivităților și rezistențelor rotorice reduse la stator - relațiile (Al.3) rezultă sistemul de ecuații care descriu regimul tranzitoriu pentru încercarea cu statorul deschis:

$$0 = R'_e i'_e + L'_e \frac{di'_e}{dt} + M'_{esd} \frac{di'_{sd}}{dt} \quad (3.16)$$

$$0 = M'_{esd} \frac{di'_e}{dt} + R'_{sd} i'_{sd} + L'_{sd} \frac{di'_{sd}}{dt}$$

Ecuatiile sunt scrise în mărimi fizice, cu toți parametrii și variabilele reduse la stator.

Trecind la mărimi raportate (cu mărimile de bază, cele nominale corespunzătoare statorului) și având în vedere că procesul de raportare

$$M'_{esd} \frac{di'_{sd}}{dt} \text{ trece în } (x'_{esd} \frac{di'_{sd}}{dt}) \text{ p.u.}$$

precum și  $x'_{esd} = x_{sd}$  (valabilă și în mărimi fizice și în mărimi raportate - rel. Al.21 și Al.22), sistemul (3.16) cu toate mărimile reduse la stator și raportate, se scrie:

$$0 = i'_e r'_e + x'_e \frac{di'_e}{dt} + x'_{ad} \frac{di'_{sd}}{dt} \quad (3.17)$$

$$0 = x'_{ad} \frac{di'_e}{dt} + i'_{sd} r'_{sd} + x'_{sd} \frac{di'_{sd}}{dt}$$

Determinarea soluțiilor din încercarea cu rotorul în poziție longitudinală și din încercarea cu statorul deschis.

Ecuatiilor corespunzătoare încercării de atenuare a cîmpului după axa longitudinală (3.12), li se aplică transformata Laplace. Considerind rezistența de șuntare nulă  $R_s = 0$ , curentul din înfășurarea statorică  $i_d$ , se atenuează la zero și sistemul transformat este:

$$\begin{aligned} 0 &= \bar{i}_d \bar{r}_a + \bar{x}_d (\bar{p} \bar{i}_d - I_0) + \bar{x}_{ad} \bar{p} \bar{i}_e + \bar{x}_{ad} \bar{p} \bar{i}_{sd} \\ 0 &= \bar{x}_{ad} (\bar{p} \bar{i}_d - I_0) + \bar{r}_e \bar{i}_e + \bar{x}_e \bar{p} \bar{i}_e + \bar{x}_{ad} \bar{p} \bar{i}_{sd} \quad (3.18) \\ 0 &= \bar{x}_{ad} (\bar{p} \bar{i}_d - I_0) + \bar{x}_{ad} \bar{p} \bar{i}_e + \bar{i}_{sd} \bar{r}_{sd} + \bar{x}_{sd} \bar{p} \bar{i}_{sd} \end{aligned}$$

La aplicarea transformatei Laplace, s-a avut în vedere că valorile inițiale ale curentilor din excitație și din înfășurarea echivalentă de amortizare longitudinală sunt nule. În acest sistem figurează funcțiile imagine ale curentilor reduși și raportăți, notați barat și parametrii reduși și raportați.  $I_0$  este valoarea inițială a curentului funcție de timp  $i_d$ .

Se fac operații în ecuațiile sistemului după cum urmează:

$$\begin{aligned} I_0 &= \bar{i}_d \frac{\bar{r}_a}{\bar{x}_d} + \bar{p} \bar{i}_d + \frac{\bar{x}_{ad}}{\bar{x}_d} \bar{p} \bar{i}_e + \frac{\bar{x}_{ad}}{\bar{x}_d} \bar{p} \bar{i}_{sd} \\ I_0 \frac{\bar{x}_{ad}}{\bar{x}_e} &= \frac{\bar{x}_{ad}}{\bar{x}_e} \bar{p} \bar{i}_d + \frac{\bar{r}_e}{\bar{x}_e} \bar{i}_e + \bar{p} \bar{i}_e + \frac{\bar{x}_{ad}}{\bar{x}_e} \bar{p} \bar{i}_{sd} \quad (3.19) \\ I_0 \frac{\bar{x}_{ad}}{\bar{x}_{sd}} &= \frac{\bar{x}_{ad}}{\bar{x}_{sd}} \bar{p} \bar{i}_d + \frac{\bar{x}_{ad}}{\bar{x}_{sd}} \bar{p} \bar{i}_e + \bar{i}_{sd} \frac{\bar{r}_{sd}}{\bar{x}_{sd}} + \bar{p} \bar{i}_{sd} \end{aligned}$$

Se utilizează coeficienții de amortizare, respectiv coeficienții de dispersie introdusi de Blondel /60/, /165/, /94/, /30/, /119/, /115/, /128/.

- $\alpha_d = \frac{r_a}{x_d}$  - coeficientul de amortizare, al înfășurării statorice;
- $\alpha_e = \frac{r_e}{x_e}$  - coeficientul de amortizare, al înfășurării de excitație (3.20);
- $\alpha_{sd} = \frac{r_{sd}}{x_{sd}}$  coeficientul de amortizare, al înfășurării longitudinale de amortizare;
- $c_d = \frac{x_{ad}}{x_d}$  coeficientul de dispersie al înfășurării statorice și analog pentru celelalte înfășurări;
- $c_e = \frac{x_{ad}}{x_e}$  pentru înfășurarea de excitație (3.21);
- $c_{sd} = \frac{x_{ad}}{x_{sd}}$  pentru înfășurarea longitudinală de amortizare.

Cu acești coeficienți sistemul transformat devine:

$$\begin{aligned} I_0 &= \bar{i}_d (p + \alpha_d) + c_d \bar{p} i_e + \bar{c}_d \bar{p} \bar{i}_{sd} \\ I_0 c_e &= c_e \bar{p} \bar{i}_d + \bar{i}_e (p + \alpha_e) + c_e \bar{p} \bar{i}_{sd} \\ I_0 c_{sd} &= c_{sd} \bar{p} \bar{i}_d + c_{sd} \bar{p} \bar{i}_e + \bar{i}_{sd} (p + \alpha_{sd}) \end{aligned} \quad (3.22)$$

Având în vedere aplicabilitatea practică a analizei, se caută imaginile curentilor la care avem acces prin măsurare directă (adică stator și excitație).

Determinantul principal al sistemului este:

$$D(p) = \begin{vmatrix} p + \alpha_d & c_d p & c_d p \\ c_e p & p + \alpha_e & c_e p \\ c_{sd} p & c_{sd} p & p + \alpha_{sd} \end{vmatrix}$$

Cu notățiile:

$$\mathcal{T}_d = 1 - c_{sd} c_e - c_e c_d + 2 c_e c_d c_{sd} - c_d c_{sd}$$

$$\mathcal{T}_{dsd} = 1 - c_d c_{sd} ; \mathcal{T}_{esd} = 1 - c_e c_{sd} ; \mathcal{T}_{ed} = 1 - c_e c_d$$

determinantul principal al sistemului (3.22) ia forma:

$$D(p) = p^3 \bar{U}_d + p^2 (\alpha_e \bar{U}_{dsd} + \alpha_d \bar{U}_{esd} + \alpha_{sd} + \bar{U}_{ed}) + p(\alpha_e \alpha_{sd} + \alpha_d \alpha_e + \alpha_d \alpha_{sd}) + \alpha_d \alpha_e \alpha_{sd} \quad (3.23)$$

Determinantul corespunzător curentului  $i_d$  este:

$$D_{id}(p) = I_o \begin{vmatrix} 1 & p C_d & p C_d \\ C_e & p + \alpha_e & p C_e \\ C_{sd} & p C_{sd} & p + \alpha_{sd} \end{vmatrix}$$

și utilizând aceleasi notări forma dezvoltată este:

$$D_{id}(p) = I_o \left[ p^2 \bar{U}_d + p(\alpha_e \bar{U}_{dsd} + \alpha_{sd} \bar{U}_{ed}) + \alpha_{sd} \alpha_e \right] \quad (3.24)$$

Determinantul corespunzător imaginii curentului  $i_d$  din excitare, în încercarea longitudinală este:

$$D_{iel}(p) = I_o \begin{vmatrix} p + \alpha_d & 1 & p C_d \\ p C_e & C_e & p C_e \\ p C_{sd} & C_{sd} & p + \alpha_{sd} \end{vmatrix}$$

$$D_{iel}(p) = I_o \left[ C_e \alpha_d p (1 - C_{sd}) + \alpha_{sd} \right] \quad (3.25)$$

Tinând seama că:

$$\int_0^\infty f(t) dt = \lim_{p \rightarrow 0} F(p),$$

$$\frac{d}{dt} \left. f(t) \right|_{t=0} = \lim_{p \rightarrow \infty} \left[ p^2 F(p) - p f(0) \right]$$

$$\int_0^\infty i_d(t) dt = \lim_{p \rightarrow 0} \frac{D_{id}(p)}{D(p)}$$

rezultă pentru integrală formă:

$$\frac{1}{I_o} \int_0^\infty i_d(t) dt = \frac{1}{\alpha_d} \quad (3.26)$$

Rezultă după simplificări pentru derivata curentului longitudinal, formă:

$$\left. \frac{1}{I_0} \frac{di_d(t)}{dt} \right|_{t=0} = \frac{\mathcal{L}_d \mathcal{T}_{esd}}{\sigma_d} \quad (3.27)$$

Pentru curentul real de excitație  $i_{el}(t)$  și imaginea sa  $\bar{i}_{el}(p)$ :

$$\frac{1}{I_0} \int_0^\infty i_{el}(t) dt = \frac{C_e}{\mathcal{L}_e} \quad (3.28)$$

$$\left. \frac{di_{el}(t)}{dt} \right|_{t=0} = \lim_{p \rightarrow \infty} \frac{p^2 [I_0 C_e \mathcal{L}_d p (1 - C_{sd}) + \mathcal{L}_{sd}]}{D(p)} \quad (3.29)$$

$$\left. \frac{1}{I_0} \frac{di_{el}(t)}{dt} \right|_{t=0} = \frac{C_e \mathcal{L}_d (1 - C_{sd})}{\sigma_d}$$

iar (3.17), devine:

$$x_e I_{oe2} = \bar{i}_e r_e + p x_e \bar{i}_e + x_{ad} p \bar{i}_{sd}$$

$$x_{ad} I_{oe2} = x_{ad} p \bar{i}_e + \bar{i}_{sd} r_{sd} + x_{sd} p \bar{i}_{sd}$$

unde s-a notat cu  $I_{oe2}$  valoarea inițială a curentului de excitație real, din încercarea cu statorul deschis, sau:

$$\begin{aligned} I_{oe2} &= \bar{i}_{e2} (p + \mathcal{L}_e) + C_e p \bar{i}_{sd} \\ C_{sd} I_{oe2} &= C_{sd} p \bar{i}_{e2} + \bar{i}_{sd} (p + \mathcal{L}_{sd}) \end{aligned} \quad (3.30)$$

Se căută din acest sistem numai soluția la care există acces din punct de vedere experimental. Se obține:

$$\bar{i}_{e2}(p) = \frac{I_{oe2} (p \mathcal{T}_{esd} + \mathcal{L}_{sd})}{p^2 \mathcal{T}_{esd} + p (\mathcal{L}_e + \mathcal{L}_{sd}) + \mathcal{L}_e \mathcal{L}_{sd}} \quad (3.31)$$

In final se obțin următoarele relații utilizabile în practică:

$$\frac{1}{I_{oe2}} \int_0^\infty i_{e2}(t) dt = \frac{1}{\mathcal{L}_e} = \frac{x_e}{r_e} \quad (3.32)$$

$$\left. \frac{1}{I_{oe2}} \frac{di_{e2}(t)}{dt} \right|_{t=0} = - \frac{\alpha_e}{\sqrt{\tau_{esd}}} \quad (3.33)$$

Se aplică relația energetică a lui Parseval /84/, /85/, pentru curentul din excitație, corespunzător încercării cu statorul deschis, cind se ajunge la curentul a cărui imagine este dată în (3.3) cu soluția sub formă /38/, /87/:

$$\int_0^\infty i_{e2}^2(t) dt = \frac{C_1^2 d_o + C_0 d_2}{2 d_o d_1 d_2} \quad (3.34)$$

în care:

$C_1, C_0$  - coeficienții puterii de ordinul 1 și 0 a lui p de la numărătorul expresiei operaționale a curentului (3.3);

$d_2, d_1, d_o$  coeficienții puterilor de ordinul 2, 1, respectiv 0 de la numitorul expresiei operaționale a curentului.

$$\int_0^\infty i_{e2}^2(t) dt = \frac{I_{oe2}^2 \sqrt{\tau_{esd}} \alpha_e \alpha_{sd} + I_{oe2}^2 \alpha_{sd} \sqrt{\tau_{esd}}}{2 \alpha_e \alpha_{sd} (\alpha_e + \alpha_{sd}) \sqrt{\tau_{esd}}} \quad \text{Având în vedere expresia imaginii curentului, se poate scrie:}$$

sau sub formă finală utilizabilă în programul de calcul pentru prelucrarea numerică a oscilogramelor:

$$\frac{1}{I_{oe2}^2} \int_0^\infty i_{e2}^2(t) dt = \frac{\alpha_e \sqrt{\tau_{esd}} + \alpha_{sd}}{2 \alpha_e (\alpha_e + \alpha_{sd})} \quad (3.35)$$

Cu ajutorul acestor relații de bază stabilite pentru încercarea după axa longitudinală, în ordinea și cu notatiile făcute, se determină succesiv toți parametrii longitudinali  $x_d$ ,  $x_{qd}$ ,  $x_e$ ,  $x_{sd}$ ,  $\tau$ .

#### Observație:

In toate ecuațiile sub formă finală analizate, parametrii electromagnetici și curenții sunt reduși și raportati, deci în valurile lor intră coeficienții de reducere. Pentru determinarea coeficienților de reducere, este necesar să se cunoască anumite detalii din proiectul mașinii.

Deoarece în relațiile integrale și diferențiale de tipul (3.26), (3.27), sau patratice de tipul (3.35), în partea stângă

apăr rapoarte de curenti reduși și raportări, coeficienții respectivi de reducere și raportare, se pot simplifica în partea stângă, observație valabilă și pentru relațiile omoloage din încercările următoare.

Deci relațiile, în ansamblu, sunt fundamentale și nu depind de coeficienții de reducere și raportare.

Aceste relații se pot calcula cu valorile reale ale curenților din oscilograme, ceea ce constituie un avantaj deosebit din punct de vedere practic. În general un coeficient de dispersie sau de atenuare, și păstrează valoarea, fie că este calculat în mărimi reale, fie în mărimi reduse și raportate.

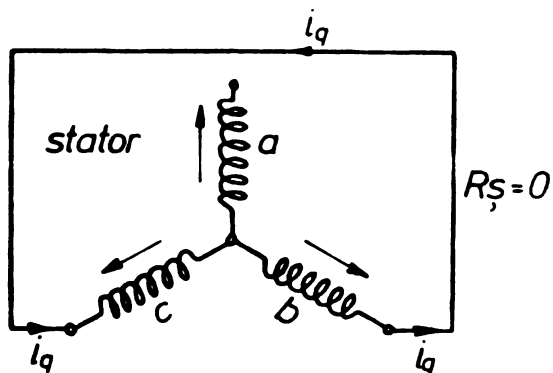
Această particularitate a relațiilor (3.26), (3.27), (3.35) constituie un avantaj esențial în tehnica de măsurare a mărimilor și de prelucrare numerică a rezultatelor.

### 3.1.3. Ecuatiile de la încercarea după axa transversală.

Se urmărește stabilirea unui regim tranzitoriu particular în care să apară acele grupuri de inductivități reale, care au stat la bază definirii inductivităților echivalente după axa  $q$ , din relațiile (2.5), (2.38). De asemenea se urmărește apariția unui regim tranzitoriu și în circuitul transversal de amortizare, pentru a putea stabili o ecuație în care să intervină rezistențele și reactanțele acestui circuit echivalent.

În acest scop se scurtează circuitul statoric, după ce prin acest circuit a fost stabilit un curent constant  $I_{q0}$ , ca în fig. 3.3. Rotorul rămîne imobil și în poziție longitudinală față de fază "a", care se va lăsa în gol, inserindu-se fazele "b" și "c". Se utilizează aceleasi convenții de semn ca și la încercarea după axa  $d$ . Pentru a determina fluxul total al circuitului statoric, prin care se închide curentul tranzitoriu  $i_q(t)$ , se utilizează expresiile (2.16), particularizate pentru poziția longitudinală a rotorului față de fază "a",  $\gamma = 0$  și pentru valoarea curenților din această încercare:  $i_a = 0$ ,  $i_b = i_q$ ,  $i_c = -i_q$ .

Un regim tranzitoriu în axa "q" se poate obține lăsând conexiunea statorică similară cu cea din încercarea în poziție longitudinală și rotind rotorul într-o nouă poziție, decalată cu  $\pi/2$  grade electrice față de poziția inițială. Din punct de vedere practic, pentru o mișină sincronă de putere mare, este mai simplu să se facă modificări în conexiunea statorică decât să se manevreze rotorul într-o poziție precisă. Având în vedere simplificarea utilizării metodei, pentru aplicarea în practică s-a ales pri-



Regimul tranzitoriu se obține prin scurtcircuitarea înfășurării statorice.

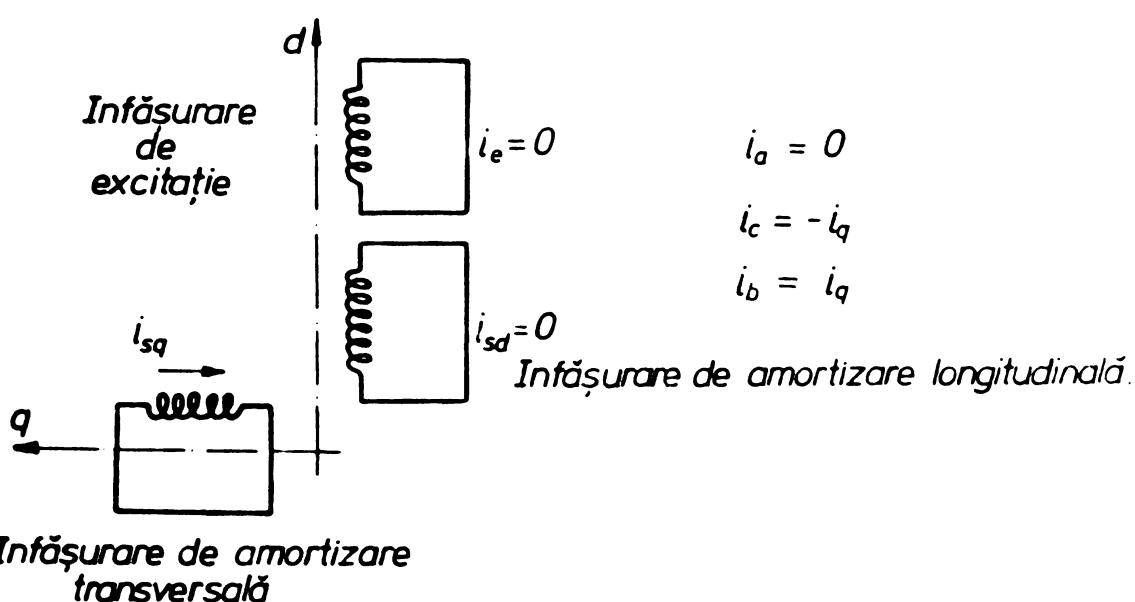
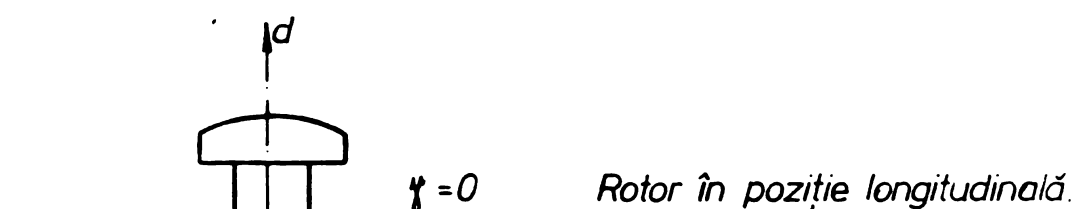


Fig. 3.3.

Schemă electrică echivalentă pentru experimentul transversal.

în alternativă de obținere a unui flux transversal variabil în timp.

Fluxurile fazelor pentru regimul din fig.3.3 sunt:

$$\begin{aligned}\Psi_a &= 0 \\ \Psi_b &= (l_0 + m_0 - \frac{3}{2} l_2) i_q + M_{asq} \sin \frac{2\pi}{3} i_{sq} \\ \Psi_c &= -(l_0 + m_0 - \frac{3}{2} l_2) i_q - M_{asq} \sin \frac{2\pi}{3} i_{sq}\end{aligned}\quad (3.36)$$

Tinând seama de sensurile pozitive, fluxul total statoric este:

$$\Psi = \Psi_b - \Psi_c = 2(l_0 + m_0 - \frac{3}{2} l_2) i_q + 2 M_{asq} \sin \frac{2\pi}{3} i_{sq}$$

Rezultă ecuația regimului tranzitoriu din stator:

$$0 = 2 L_q \frac{di_q}{dt} + 2 R_q i_q + 2 M_{asq} \sin \frac{2\pi}{3} \frac{di_{sq}}{dt} \quad (3.37)$$

În care, pentru cazul scurtcircuitării circuitului statoric avem:

$$R_q = R_a \quad (3.38)$$

Dacă se consideră însă cazul general, cînd închiderea circuitului statoric în exterior se face peste o rezistență de suntare  $R_s$ , păstrînd aceleasi notătii pentru rezistență internă a sursei, respectiv a firelor de legătură, ca în încercarea în axa longitudinală, rezistență echivalentă peste care se închide componenta tranzitorie a curentului este:

$$R_q = R_a + \frac{1}{2} \frac{R_s (R_l + R_i)}{R_s + R_l + R_i} \quad (3.38')$$

Analog se procedează pentru circuitul transversal de amortizare. Se determină fluxul total al înfășurării echivalente longitudinale de amortizare, punînd  $\psi = 0$  în relațiile (2.4) pentru fluxuri și (2.15) pentru inductivitățile mutuale.

$$\begin{aligned}\Psi_{sq} &= -M_{asq} \sin(-\frac{2\pi}{3}) i_q - M_{asq} \sin(\frac{2\pi}{3}) (-i_q) + L_{sq} i_{sq} \\ \Psi_{sq} &= M_{asq} \sin \frac{2\pi}{3} i_q + L_{sq} i_{sq}\end{aligned}$$

Rezultă ecuația regimului tranzitoriu din circuitul echivalent transversal de amortizare, în mărimi fizice:

$$0 = 2 M_{asq} \sin \frac{2\pi}{3} \frac{di_q}{dt} + R_{sq} i_{sq} + L_{sq} \frac{di'_{sq}}{dt}$$

Cu:

$$K_{iq} = \frac{3}{2} K_{uq}$$

se obține ecuația conținând curentul de amortizare rotoric redus la stator:

$$0 = 2M_{asq} \frac{\sqrt{3}}{2} i_q K_{uq} + R_{sq} K_{uq} K_{iq} i'_{sq} + L_{sq} K_{uq} K_{iq} \frac{di'_{sq}}{dt}$$

Considerind legătura dintre inductivitățile reale și cele reduse - rel.(Al.3) - rezultă forma finală a ecuației circuitului transversal de amortizare:

$$0 = \frac{2}{\sqrt{3}} M'_{asq} \frac{di_q}{dt} + R'_{sq} i'_{sq} + L'_{sq} \frac{di'_{sq}}{dt}$$

Deci sistemul de ecuații care descriu regimul tranzitoriu ak încercării după axa transversală, în mărimi reduse la stator, este:

$$0 = R_q i_q + L_q \frac{di_q}{dt} + M'_{asq} \frac{\sqrt{3}}{2} \frac{di'_{sq}}{dt} \quad (3.39)$$

$$0 = M'_{asq} \frac{di_q}{dt} + \frac{\sqrt{3}}{2} R'_{sq} i'_{sq} + \frac{\sqrt{3}}{2} L'_{sq} \frac{di'_{sq}}{dt}$$

Trecind de la mărimi raportate și având în vedere relațiile dintre reactanțele raportate (3.40) se obține sistemul de ecuații pentru încercarea de atenuare transversală în mărimi relative și raportate:

$$0 = r_q i_q + x_q \frac{di_q}{dt} + x_{aq} \frac{\sqrt{3}}{2} \frac{di'_{sq}}{dt}$$

$$0 = x_{aq} \frac{di_q}{dt} + r'_{sq} \frac{\sqrt{3}}{2} i'_{sq} + x_{sq} \frac{\sqrt{3}}{2} \frac{di'_{sq}}{dt} \quad (3.40)$$

Determinarea soluțiilor din probă după axa q.

Se consideră notații analoge cu (3.20) și (3.21) pentru coeficienții de amortizare și de dispersie.

$\alpha_q = \frac{r_q}{x_q}$  - coeficientul de amortizare pentru înșigurarea statorică;

$\alpha_{sq} = \frac{r_{sq}}{x_{sq}}$  - pentru înășurarea de amortizare transversală;

$C_q = \frac{x_{aq}}{x_q}$  - coeficientul de dispersie pentru înășurarea statorică, după axa q;

$C_{sq} = \frac{x_{aq}}{x_{sq}}$  - pentru înășurarea de amortizare transversală.

(3.41)

Presupunind scurtcircuitarea circuitului statoric adică  $R_s = 0$ , deci  $i_q(t) \Big|_{t \rightarrow \infty} = 0$  și aplicînd transformata Laplace sistemului (3.40), se obține:

$$I_{oq} = (\alpha_q + p) \bar{i}_q + \frac{\sqrt{3}}{2} C_q p \bar{i}_{sq} \quad (3.42)$$

$$I_{oq} C_{sq} = C_{sq} p \bar{i}_q + \frac{\sqrt{3}}{2} (\alpha_{sq} + p) \bar{i}_{sq}$$

în care  $I_{oq}$  este valoarea inițială a curentului din stator.

Se rezolvă sistemul în raport cu curentul  $\bar{i}_q$ , deoarece prin măsurători există acces la originalul funcției. Determinantul principal al sistemului este:

$$D_q(p) = \begin{vmatrix} \alpha_q + p & \frac{\sqrt{3}}{2} C_q p \\ C_{sq} p & \frac{\sqrt{3}}{2} (\alpha_{sq} + p) \end{vmatrix} = \frac{\sqrt{3}}{2} [p^2(1 - C_q C_{sq}) + p(\alpha_q + \alpha_{sq}) + \alpha_q \alpha_{sq}]$$

Determinantul curentului  $\bar{i}_q$  este:

$$D_{iq}(p) = \begin{vmatrix} 1 & \frac{\sqrt{3}}{2} C_q p \\ C_{sq} & \frac{\sqrt{3}}{2} (\alpha_{sq} + p) \end{vmatrix} I_{oq} = I_{oq} \frac{\sqrt{3}}{2} [p(1 - C_q C_{sq}) + \alpha_{eq}]$$

Notînd:  $\sqrt{q_{sq}} = 1 - C_q C_{sq}$ ,

cei doi determinanți se pot scrie:

$$D_q(p) = \frac{\sqrt{3}}{2} \left[ p^2 \sqrt{\alpha_{qsq}} + p(\alpha_q + \alpha_{sq}) + \alpha_q \alpha_{sq} \right]$$

$$D_{iq}(p) = \frac{\sqrt{3}}{2} I_{oq} \left[ p \sqrt{\alpha_{qsq}} + \alpha_{sq} \right]$$

și imaginea curentului statoric din probă după axa q este:

$$i_q(p) = \frac{I_{oq}(p \sqrt{\alpha_{qsq}} + \alpha_{sq})}{p^2 \sqrt{\alpha_{qsq}} + p(\alpha_q + \alpha_{sq}) + \alpha_q \alpha_{sq}} \quad (3.43)$$

de unde:

$$\int_0^\infty i_q(t) dt = \lim_{p \rightarrow \infty} i_q(p) = \frac{I_{oq}}{\alpha_q},$$

sau relația care are utilitate în aplicarea practică a metodei:

$$\frac{1}{I_{oq}} \int_0^\infty i_q(t) dt = \frac{1}{\alpha_q} \quad (3.44)$$

Pentru derivata în raport cu timpul se obține:

$$\left. \frac{di_q(t)}{dt} \right|_{t=0} = \lim_{p \rightarrow \infty} \left[ p^2 i_q(p) - p i_q(t) \right]_{t=0} = - \frac{I_{oq} \alpha_q}{\sqrt{\alpha_{qsq}}},$$

sau relația care o importanță practică:

$$\frac{1}{I_{oq}} \left. \frac{di_q(t)}{dt} \right|_{t=0} = - \frac{\alpha_q}{\sqrt{\alpha_{qsq}}} \quad (3.45)$$

Dacă se aplică curentului  $i_q$  relația energetică a lui Preseval, se obține:

$$\int_0^\infty i_q^2(t) dt = \frac{C_1^2 d_0 + C_0 d_2}{2 d_0 \alpha_1 \alpha_2}$$

unde  $c$ ,  $d$  sunt coeficienții puterilor lui p /38/, din relația (3.43) a curentului operational:

$$C_0 = I_{oq} \alpha_{sq} \quad ; \quad d_0 = \alpha_q \alpha_{sq} \quad d_2 = \sqrt{\alpha_{qsq}}$$

$$C_1 = I_{oq} \sqrt{\alpha_{qsq}} \quad ; \quad d_1 = \alpha_q + \alpha_{sq}$$

Cu acestea, ultima relație importantă în prelucrările oscilogramelor obținute din probă după axa q ia forma:

$$\frac{1}{I_{0q}^2} \int_0^\infty i_q^2(t) dt = \frac{\alpha_q \sqrt{\alpha_{q3q}} + \alpha_{sq}}{2\alpha_q(\alpha_q + \alpha_{sq})} \quad (3.46)$$

În acest mod, se determină succesiv toți parametrii transversali pentru stator și colivia de amortizare.

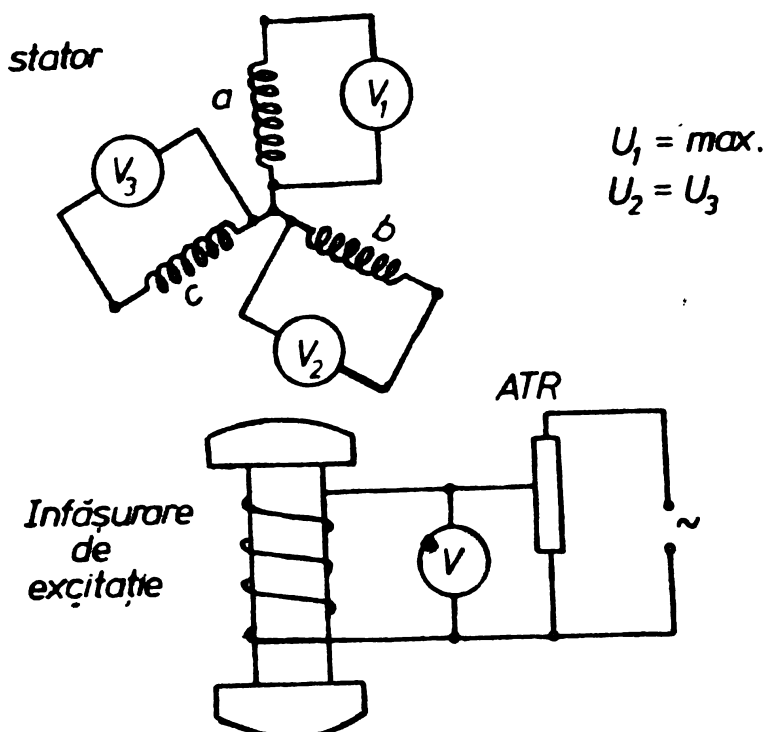


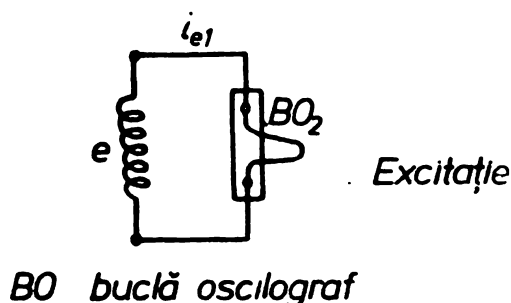
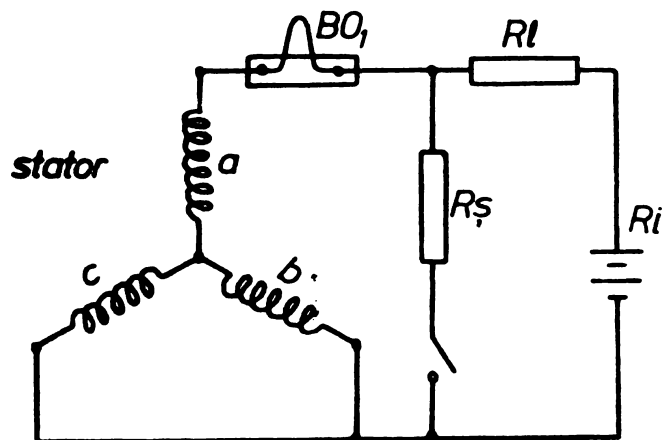
Fig.3.4. Montaj pentru a verifica fixarea rotorului mașinii sincrone în poziție longitudinală față de axa fazelor a statorice.

$V_1, V_2, V_3$  – voltmetre de precizie ridicată.

### 3.2.1. Realizarea practică a încercărilor de regim tranzitoriu. Realizarea practică a încercării după axa d.

Pentru determinarea parametrilor longitudinali este necesară fixarea rotorului în poziție longitudinală față de una din faze, de exemplu față de fază : "a". Pentru a fixa și a verifica poziția corectă a rotorului, se realizează întâi montajul din

fig.3.4, în care înfășurarea de excitare se pune sub tensiune alternativă de la un autotransformator ATR. În stator se măsoară tensiunile induse pe faze cu cele trei voltmetre  $V_1$ ,  $V_2$ ,  $V_3$ . Rotorul se rotește pînă cînd ajunge în poziție longitudinală față de fază "a" pentru care, indicația lui  $V_1$  este maximă, iar indicațiile lui  $V_2$  și  $V_3$  sunt egale.



$BO$  buclă oscilograf

Fig. 3.5.a

Montaj pentru încercarea de atenuare longitudinală.

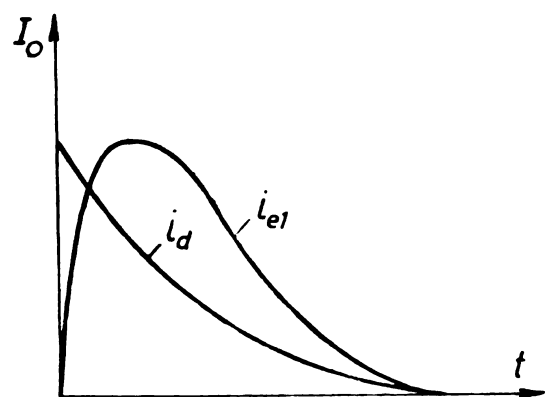


Fig. 3.5.b.

Curbele de variație ale curentilor de regim tranzitoriu  $i_d(t)$  din stator și  $i_{e1}(t)$  din excitare, în încercarea longitudinală pentru cazul:

$$R_s = 0$$

Mai există o posibilitate de a verifica poziția longitudinală a rotorului prin măsurarea tensiunii însumate a fazelor "b" și "c", adică prin măsurarea tensiunii la bornele bc. În acest caz indicația voltmetrului  $V_{ab}$  trebuie să fie nulă. Pentru o măsură preciză fixării rotorului în această poziție este util ca în paralel cu voltmetrul  $V_{ab}$ , să se conecteze printr-un întrerupător, un voltmetru  $V'_{ab}$ , de domeniu mult mai mic, care să fie conectat numai în momentul în care rotorul se apropie de poziția longitudinală, respectiv tensiunea  $U_{ab}$  se apropie de valoarea zero.

Fixarea rotorului în această poziție trebuie făcută cît se poate de exact, deoarece unele erori în pozitionarea rotorului in-

fluentează negativ asupra preciziei de determinare a parametrilor.

Înălțarea fixarea rotorului în poziție longitudinală se realizează montajul din fig.3.5. Cu acest montaj se oscilografiază curentul longitudinal  $i_d$  și curentul din înfășurarea de excitație, care se notează cu  $i_{el}$ .

Se calculează elementele circuitului în funcție de sursa de curent continuu, astfel că valoarea constantă a curentului care se stabilește înainte de scurtcircuitare să fie o cota-parte din curentul nominal statoric, adică:

$$I_o = K I_N \quad (3.47)$$

Valoarea  $K$  se ia în funcție de gradul de saturare dorit. Pentru determinarea parametrilor nesaturați se poate considera domeniul  $K = 0,2 - 0,3$ .

Prin închiderea întrerupatorului - fig.3.5, apare un regim tranzitoriu, pentru care se înregistrează curentul statoric și curentul din înfășurarea de excitație. Bucile de oscilograf au fost simbolizate cu B.O. Pentru rezistență de șuntare  $R_s = 0$ , variațiile celor doi curenți au forma prezentată în fig.3.5.b.

Pe oscilogramă se fixează valorile curenților la intervale prestabilite de timp,  $\Delta t$ , precizate prin benzile transversale din oscilogramă, traseate de sistemul intern pentru baza de timp a oscilografului, valori necesare pentru a introduce variațiile în memoria calculatorului. În general intervalul  $\Delta t$  se alege în funcție de rapiditatea cu care variază curenții și de forma curbei.

În vederea obținerii unor oscilograme prelucrabile cu precizie ridicată, se fac cîteva stingeri în prealabil, fără înregistrare, pentru a aprecia timpul în care fenomenul are o variație semnificativă. În funcție de acest timp se aleg intervalele de măcare și viteza de derulare a hîrtiei fotosensibile. Prima parte a regimului tranzitoriu, care apare imediat după închiderea întrerupatorului, trebuie tratată cu atenție din două motive: în primul rînd în acest domeniu variațiile sunt rapide și însemnante, iar în al doilea rînd, este necesar să se calculeze tangentă inițială. De aceea există diferențe mari între modul de variație a unui curent în fază inițială și în fază finală a procesului tranzitoriu, o asemenea oscilogramă poate fi făcută cu viteza mare de derulare a hîrtiei la început și apoi, cu viteza mai mică.

În final din această încercare se obțin  $i_d(t)$  și  $i_{el}(t)$ .

Realizarea practică a încercării cu circuitul statoric deschis.

In aceeași poziție a rotorului se face montajul corespunzător din fig.3.6.a. Cu  $R_s = 0$ , se obțin valoările nesaturate pentru parametri.

Prin închiderea întrerupatorului K se obține regimul transitoriu. Curentul din înfășurarea de excitare variază de la o valoare inițială care se alege în funcție de gradul de saturare dorit, la o valoare finală, care pentru cazul  $R_s = 0$ , este egală cu zero. Forma de variație a curentului în acest caz este dată în fig.3.6.b.

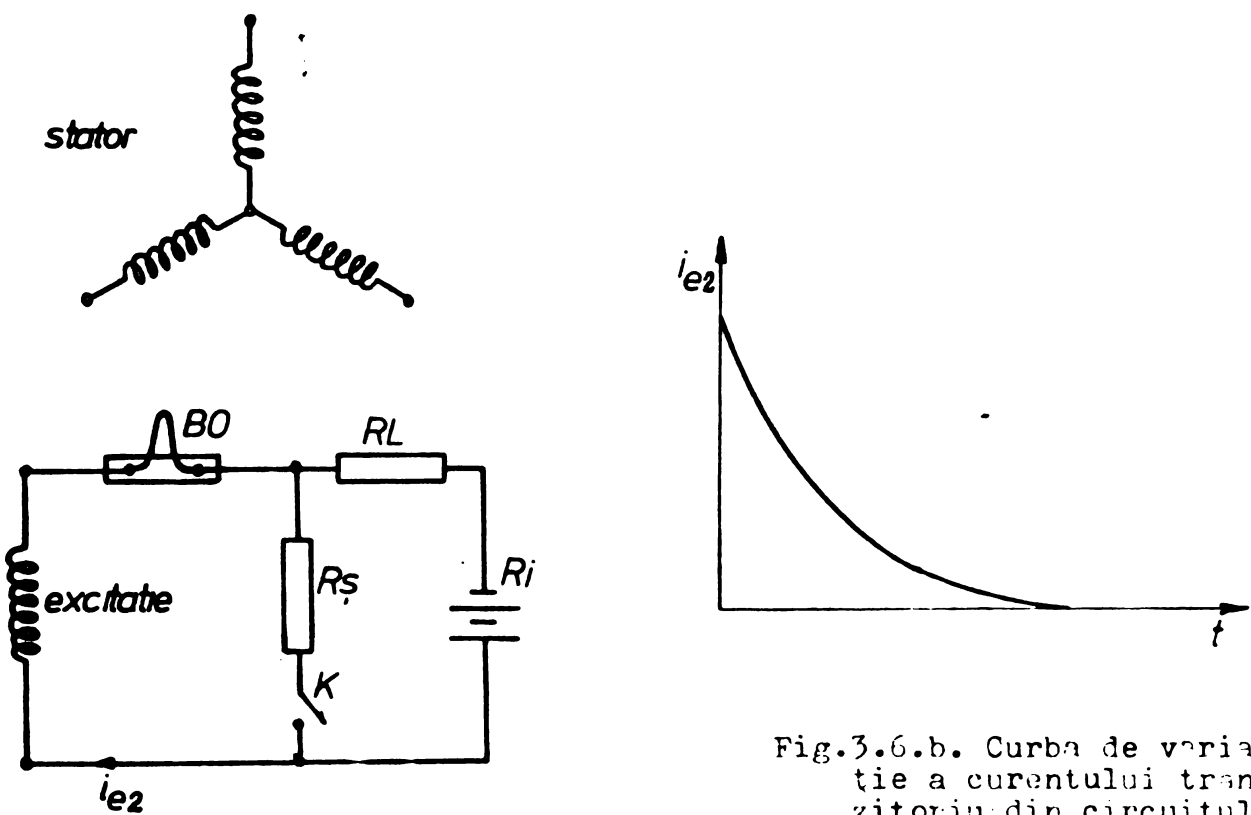


Fig.3.6.a. Montaj pentru realizarea încercării cu statorul deschis.  
B.O.- buclă de oscilograf.

Fig.3.6.b. Curba de variație a curentului transitoriu din circuitul de excitare în încercarea cu statorul deschis pentru cazul:  
 $R_s = 0$  (atenuare la zero)

Oscilograma se obține prin inserierea sistemului de măsură pentru bucla de oscilograf B.O. în circuitul rotoric.

Se obține  $i_{e2}(t)$ .

Prin oscilograma curentului statoric se calculează integrală:

$$AiD1 = \frac{1}{I_0} \int_0^{\infty} i_d(t) dt \quad (3.48)$$

în care  $I_0$  este valoarea inițială a curentului continuu prin stator înainte de închiderea intreruptorului. Mărimea de calcul  $AiD1$ , precum și altele care intervin ulterior, similară cu ea, nu depind de coeficienții de etalonare ai buclei oscilografului.

Pentru calculul numeric al acestei integrale se poate folosi subprogramul de integrare INTAB (Y,N,XX,R,KOD) din MATHLIB pentru FELIX C-256.

Cu  $AiD1$  se calculează coeficientul de amortizare corespunzător circuitului statoric:

$$\alpha_d = \frac{1}{AiD1} = \frac{r_a}{x_d} \quad (3.49)$$

Din oscilograma curentului de excitație  $i_{e2}$ , se calculează integrală:

$$AiDE2 = \frac{1}{I_{oe2}} \int_0^{\infty} i_{e2}(t) dt \quad (3.50)$$

S-a notat cu  $I_{oe2}$  valoarea inițială a curentului continuu din circuitul de excitație, înainte de începerea regimului transzistoriu de stingere a curentului și coeficientul de amortizare a circuitului de excitație definit anterior:

$$\alpha_e = \frac{1}{AiDE2} = \frac{r_e}{x_e} \quad (3.51)$$

Pentru derivata lui  $i_{e2}$ , în momentul inițial al procesului transzistoriu se obține:

$$\omega_{iE2} = \frac{1}{I_{oe2}} \left. \frac{di_{e2}(t)}{dt} \right|_{t=0} \quad (3.52)$$

și pe de altă parte:

$$\omega_{iE2} = - \frac{\alpha_e}{\sqrt{\epsilon_{esd}}}$$

Cu acestea se determină coeficientul  $\sqrt{\epsilon_{esd}}$ :

$$\sqrt{\epsilon_{esd}} = - \frac{\alpha_e}{\omega_{iE2}} \quad (3.53)$$

Derivata curentului în momentul inițial al regimului tranzistoriu este:

$$DiDl = \frac{1}{I_0} \left. \frac{di_d(t)}{dt} \right|_{t=0} = \frac{-\alpha_d \sqrt{V_{esd}}}{\sqrt{d}} \quad (3.54)$$

și

$$\sqrt{d} = \frac{-\alpha_d \sqrt{V_{esd}}}{DiDl} \quad (3.55)$$

Din oscilograma curentului de excitare  $i_{el}$  avem:

$$AiDEL = \frac{1}{I_0} \int_0^{\infty} i_{el}(t) dt \quad (3.56)$$

și pe de altă parte rel.(3.28):

$$AiDEL = \frac{C_e}{\alpha_e} = \frac{x_{ad}}{r_e};$$

Derivata lui  $i_{el}$  în momentul inițial al procesului tranzistoriu este:

$$DiEl = \frac{1}{I_0} \left. \frac{di_{el}}{dt} \right|_{t=0} = \frac{C_e \alpha_d (1 - C_{sd})}{\sqrt{d}} \quad (3.57)$$

Prin împărțirea relațiilor (3.56) și (3.57) rezultă:

$$DE = \frac{DiEl}{AiDEL} = \frac{\alpha_d \alpha_e (1 - C_{sd})}{\sqrt{d}} \quad (3.58)$$

Din (3.20) se obține:

$$1 - C_{sd} = \frac{\sqrt{d} D_e}{\alpha_d \alpha_e},$$

Coefficientul de dispersie  $C_{sd}$  este:

$$C_{sd} = 1 - \frac{\sqrt{d} D_e}{\alpha_d \alpha_e} = \frac{\alpha_d \alpha_e - \sqrt{d} D_e}{\alpha_d \alpha_e}, \quad (3.59)$$

Coefficientul de dispersie  $C_e$  este:

$$C_e = \frac{1 - \sqrt{V_{esd}}}{C_{sd}} \quad (3.60)$$

și cu notările din (3.23), rezultă coeficientul de dispersie pentru statotor:

$$C_d = \frac{1 - C_e C_{sd} - \sqrt{d}}{C_e + C_{sd} - 2 C_e C_{sd}} \quad (3.61)$$

Din încercările făcute cu mai multe mașini s-a constatat că valorile coeficienților  $C_e$  și  $C_{sd}$  sunt în jurul lui 1 și de aceea este recomandabil calculul numeric în dublă precizie DBL.

Integrala patratului curentului de excitare  $i_{e2}$  este:

$$A_e = \frac{1}{I_{oe2}} \int_0^{\infty} i_{e2}^2(t) dt = \frac{\alpha_e \sqrt{V_{esd}} + \alpha_{sd}}{2\alpha_e(\alpha_e + \alpha_{sd})} \quad (3.62)$$

și coeficientul  $\alpha_{sd}$ :

$$\alpha_{sd} = \frac{\alpha_e(\sqrt{V_{esd}} - 2A_e\alpha_e)}{2\alpha_e A_e - 1} \quad (3.63)$$

Rezistența echivalentă a circuitului prin care se amortizează curentul  $i_d$  pentru regim staționar este:

$$R_{aech} = R_a + \frac{2}{3} \frac{R_s(R_l + R_i)}{R_s + R_e + R_i} \quad (3.64)$$

în cîte  $R_a$  este rezistența electrică a fazelor statorice,  $R_s$  rezistența de șuntare,  $R_l$  – rezistența conductoarelor de legătură și  $R_i$  rezistența internă a sursei. Se găsește valoarea raportată (în "per-unit") a acestei rezistențe:

$$r_a = (R_a) \text{ p.u.} = \frac{R_a}{Z_b} \quad (3.65)$$

Mărimile raportate care intră în calcule apar cu aceleasi notatii dar cu literă mică.

Derivatele și integralele curentilor prezentate anterior se trec și ele în "per-unit". În programul de calcul care se prezintă ulterior, se calculează separat mărimile în valori fizice și apoi se face trecerea în "per-unit".

Cu aceste precizări rezultă valorile raportate ale parametrilor electromagnetici echivalenți după axa "d", care caracterizează regimul permanent de funcționare al mașinii sincrone:

- reactanța sincronă longitudinală:

$$x_d = \frac{r_a}{\alpha_d} \quad (3.66)$$

- reactanța de reactie longitudinală:

$$x_{ad} = C_d \cdot x_d \quad (3.67)$$

- reactanța de excitare:

$$x_e = \frac{x_{ad}}{C_e} \quad (3.68)$$

- reactanță circuitului echivalent de amortizare longitudinală:

$$x_{sd} = \frac{x_{ad}}{C_{sd}} \quad (3.69)$$

- rezistență circuitului echivalent de amortizare longitudinală

$$r_{sd} = x_{sd} \cdot \alpha_{sd} \quad (3.70)$$

- rezistență circuitului de excitare:

$$r_e = x_e \cdot \alpha_e \quad (3.71)$$

- reactanță de dispersie obținută din valorile pentru reactanță sincronă longitudinală și reactanță de reacție longitudinală:

$$x_{\sqrt{}} = x_d - x_{ad} \quad (3.72)$$

Realizarea practică a încercării după axa transversală.

Cu rotorul în aceeași poziție ca în cazul precedent (longitudinal față de fază "a") se realizează montajul din fig. 3.7.e.

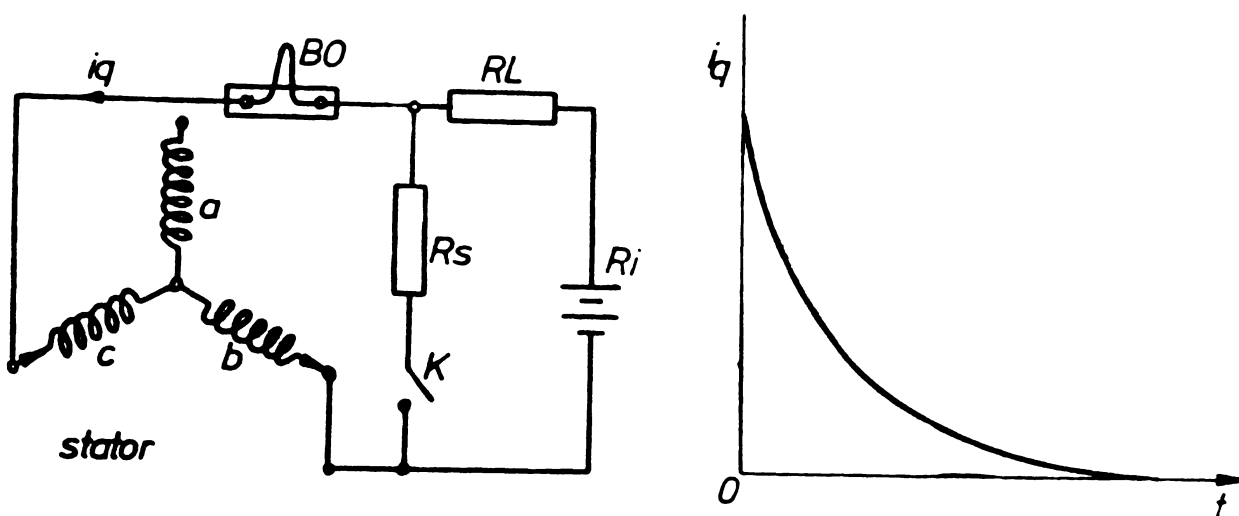


Fig.3.7.b

... se găsește în poziție longitudinală față de fază "a" nemodificată față de pozitia initială.

Se stabilește inițial un curent constant  $I_{0q}$  a cărui valoare se fixează ca și la celelalte încercări în funcție de gradul de saturatie dorit. Dacă  $R_s = 0$  și curentul se atenuează la zero se alege pentru  $I_{0q}$  o valoare de  $(0,3 - 0,4) I_n$ .

Prin închiderea întrerupatorului K apare un regim tranzitoriu și se înregistreză  $i_q$  cu bucla de oscilograf B.O.

Rezistența echivalentă a circuitului în care se amortizează componenta tranzitorie a curentului statoric din încercarea transversală este:

$$R_q = R_s + \frac{1}{2} \frac{R_3(R_1 + R_i)}{R_s + R_1 + R_i} \quad (3.73)$$

În scurtcircuitare  $R_q = R_s$  (rezistența fazei). Aceste valori se raportează la impedanța de bază.

Deoarece fluxul rezultant prin mașină are o orientare normală pe axa de rotație, oscilațiile din circuitul transversal de amortizare nu se pot înregistra și prin urmare, din această încercare se obține o singură oscilogramă  $i_q(t)$ , care este suficientă pentru determinarea parametrilor transversali.

Din această oscilogramă se calculează următoarele mărimi:

- integrala curentului transversal:

$$A_{iQ} = \frac{1}{I_{0q}} \int_0^\infty i_q(t) dt = \frac{1}{\alpha_q} \quad (3.74)$$

- coeficientul de amortizare  $\alpha_q$

$$\alpha_q = \frac{1}{A_{iQ}} = \frac{r_q}{x_q} \quad (3.75)$$

- reactanța sincronă transversală:

$$x_q = \frac{r_q}{\alpha_q} \quad (3.76)$$

- reactanța de reacție transversală:

$$x_{aq} = x_q - x_{\sigma} \quad (3.77)$$

în care reactanța de dispersie se consideră cunoscută din încercările efectuate anterior.

Se determină derivata în origine a curentului transversal  $i_q$ :

$$D_{iQ} = \frac{1}{I_{0q}} \left. \frac{di_q(t)}{dt} \right|_{t=0} = - \frac{\alpha'_q}{T_{qsq}}$$

din care rezultă coeficientul de dispersie:

$$\sqrt{\sigma_{qsq}} = - \frac{\alpha_q}{D_i Q}$$

Considerind relațiile dintre coeficienți se obține:

$$\sqrt{\sigma_{qsq}} = 1 - C_q C_{sq}$$

$$\sqrt{\sigma_{qsq}} = 1 - \frac{x_{aq}}{x_q} \frac{x_{sq}}{x_{sq}} = 1 - \frac{x_{aq}^2}{x_q x_{sq}}$$

Rezultă reactanța circuitului de amortizare echivalent, transversal:

$$x_{sq} = \frac{x_{aq}^2}{x_q (1 - \sqrt{\sigma_{qsq}})}$$

Se determină patratele ordonatelor oscilogramei curentului transversal, cu care se calculează integrala:

$$AQ = \frac{1}{I_{eq}^2} \int_0^\infty i_q^2(t) dt = \frac{\alpha_q \sqrt{\sigma_{qsq}} + \alpha_{sq}}{2 \alpha_q (\alpha_q + \alpha_{sq})} \quad (3.78)$$

și se obține coeficientul de atenuare al circuitului transversal:

$$\alpha_q \sqrt{\sigma_{qsq}} + \alpha_{sq} = 2 \alpha_q^2 A Q + 2 \alpha_q \alpha_{sq} A Q$$

$$\alpha_{sq} = \frac{\alpha_q (\sqrt{\sigma_{qsq}} - 2 \alpha_q A Q)}{2 \alpha_q A Q - 1} \quad (3.79)$$

Cu acest coeficient se determină rezistența circuitului echivalent transversal de amortizare:

$$r_{sq} = x_{sq} \alpha_{sq} \quad (3.80)$$

In multe relații care conțin, fie derivate, fie integrale apar rapoarte de curenți ceea ce simplifică mult înregistrarea și prelucrarea oscilogramelor, deoarece în programele numerice se pot introduce direct ordonatele mărimilor din oscilogramă, fără alți coeficienți.

Un alt aspect care trebuie remarcat este faptul că un număr mic de înregistrări (în total patru) conține informații sintetice în legătură cu un număr mare de parametri. Prelucrarea matematică se complică, însă eficiența este mai mare decât în cazul metodelor clasice, în care din două, uneori chiar trei încercări se putea separa grafo-analitic un singur parametru.

De aceea trebuie subliniat că determinările din cele trei încercări se pot face utilizând o aparatură mai pretențioasă.

### 3.2.2. INFLUENȚA SATURATIEI.

Saturația circuitelor magnetice conduce la modificarea valorilor parametrilor electromagnetici. În general reactanțele scad cu saturarea circuitelor respective.

Din punctul de vedere al utilizării mașinii, modificarea parametrilor electromagnetici se reflectă în principal asupra cuplului electromagnetic. Sunt două moduri de analiză a saturăției.

După primul mod, pe baza experimentelor de atenuare a curentilor se pot determina cu exactitate parametrii nesaturați, așa cum s-a prezentat la 3.2.1. Cu acești parametri (corespunzători mașinii reale) se pot determina parametrii saturăți folosind liniarizarea caracteristicilor de magnetizare /33/, /60/, /61/, /69/ /75/, /119/. Al doilea mod de determinare a parametrilor saturăți se referă la obținerea lor direct din încercări de stingeră a curentilor. Aceste încercări necesită îndeplinirea unor condiții suplimentare, care pot fi satisfăcute în funcție de situația concretă a standului de încercare, sau a locului unde se fac încercările.

Se fac referiri la primul mod de considerare a saturăției.

Cuplul mașinii sincrone, în unități fizice se scrie cu relația cunoscută:

$$M_s = \frac{m_p}{\omega} \frac{U}{X_d} U_{eE} \sin \vartheta_o + \frac{m_p}{\omega} U^2 \frac{\frac{X_d - X_q}{2X_d X_q}}{\sin 2 \vartheta_o} \quad (3.81)$$

în care  $U$  este tensiunea la bornele mașinii (în general este tensiunea nominală),  $U_{eE}$  este t.e.m. indușă de cîmpul principal,  $\vartheta_o$  este unghiul de sarcină.

Pentru a analiza influența saturăției prin liniarizarea caracteristicilor, relațiile se simplifică dacă se face trecerea în "per-unit". De aceea se raportează cuplul la mărimea de bază a acestuia  $M_b$  definită la (1.7):

$$\frac{M}{M_b} = \frac{F_b \cdot p}{\omega_b}; \quad F_b = \frac{m}{2} U_b I_b = m U_N I_N$$

Se obține relația cuplului în unități raportate sub formă:

$$\frac{M}{M_b} = \frac{U_{eE}}{X_d} \sin \vartheta_o + \frac{U^2 (X_d - X_q)}{2 X_d X_q} \sin 2 \vartheta_o \quad (3.82)$$

în care:

$u$  - tensiunea la bornele mașinii în fracțiuni din tensiunea nominală;

$e_d$  - raportul dintre tensiunea de excitare la inele în regimul considerat și tensiunea de excitare la inele la funcționarea în gol, corespunzătoare valorii nominale a tensiunii de pe porțiunea liniară a caracteristicii de funcționare în gol - fig.3.8.

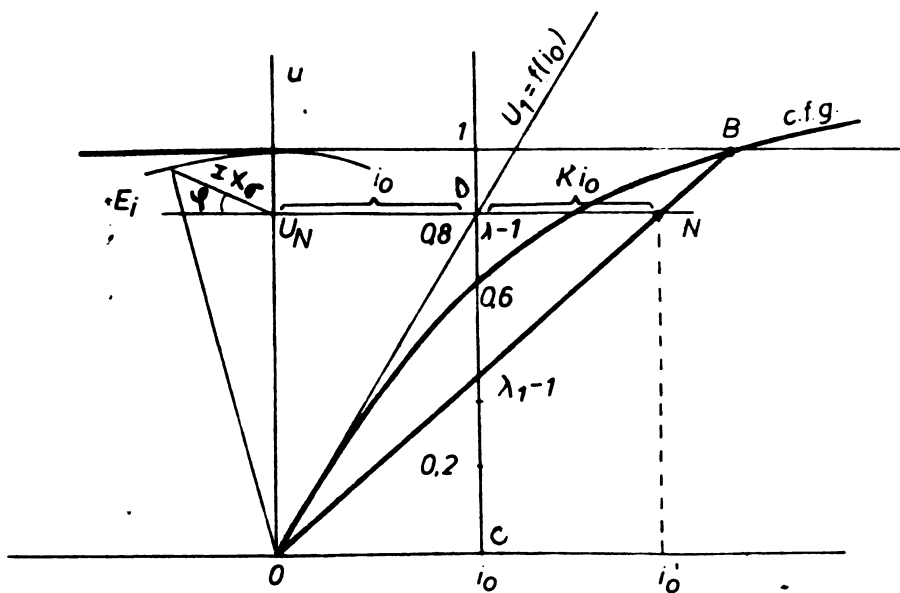


Fig. 3.8  
Liniarizarea caracteristicii de funcționare în gol

Reactanțele  $x_d$  și  $x_q$  intră în această relație în unități raportate.

La mașini sincrone cu reactanță de dispersie relativ mică, funcționând în sisteme puternice cu tensiune constantă, pentru considerarea saturăției, se poate utiliza caracteristica de funcționare în gol liniarizată, trecând prin punctul corespunzător fluxului de la regimul normal de funcționare a mașinii, punctul B fig.3.8.

Notind cu  $\lambda'$  raportul dintre reactanță sincronă longitudinală și reactanță sincronă transversală:

$$\lambda' = \frac{x_d}{x_q}, \quad (3.33)$$

expresia cuplului se poate scrie sub forma:

$$M_s = \frac{u}{x_d} \left[ e_d \sin \vartheta_0 + \frac{1}{2} (\lambda' - 1) u \sin 2\vartheta_0 \right] \quad (3.34)$$

In ipoteza caracteristicii în gol liniarizate - fig.3.8, mărimea  $e_d$  poate fi scrisă:

$$e_d = \frac{i'}{i'_0} \quad (3.85)$$

în care  $i'$  este curentul de excitatie în sarcină, iar  $i'_0$  este curentul de excitație pe caracteristica în gol liniarizată.

Reactanța sincronă longitudinală, determinabilă din proba în scurtcircuit a mașinii se poate exprima în mărimi fizice sub forma:

$$x_d = \frac{U'_{eE}}{I_{sc}} \quad (3.86)$$

în care  $U'_{eE}$  este t.e.m. indușă în gol de acel curent de excitație, care la scurtcircuitul trifazat simetric conduce la curentul  $I_{sc}$  prin înfășurarea indușului.

Aceeași reactanță se poate exprima în "per-unit" sub forma:

$$x_d = \frac{i_K}{i'_0} \quad (3.87)$$

în care:  $i_K$  este curentul de excitație la scurtcircuit și curent nominal în înfășurarea statorică.

Cu acestea, considerind tensiunea la bornele mașinii egală cu tensiunea nominală, adică  $u=1$ , relația cuplului devine:

$$M_s = \frac{i'_0}{i_K} \left[ \frac{i'}{i'_0} \sin \vartheta_0 + \frac{1}{2} (\lambda' - 1) \sin 2\vartheta_0 \right] \quad (3.88)$$

iar relația cuplului sincronizat:

$$\frac{dM_s}{d\vartheta_0} = \frac{i'}{i_K} \cos \vartheta_0 + (\lambda' - 1) \frac{i'_0}{i_K} \cos 2\vartheta_0 \quad (3.89)$$

Determinarea influenței saturăției, respectiv a curentului  $i'_0$  se face conform fig.3.8. Se notează cu  $\lambda$  raportul:

$$\lambda = \frac{x_{ad}}{x_{aq}} \quad (3.90)$$

respectiv cu  $\lambda_1$  raportul acelorași mărimi dar saturate. În felul acesta se consideră saturarea în mod global după cele două axe. Analog se definește  $\lambda_1$  ca raport al reactanțelor sincrone, însă ca valori saturate, adică se introduc notatiile:

$$\lambda_1 = \left( \frac{x_{ad}}{x_{aq}} \right)_{sat} \quad (3.90')$$

$$\lambda_1' = \left( \frac{x_d}{x_{aq} \text{ sat}} \right) \quad (3.81')$$

Caracteristica liniarizată de funcționare în gol, așa cum se arată în fig.3.8, trece prin punctul B al caracteristicii de funcționare în gol, corespunzător tensiunii electromotrice interne  $E_i$ .

Prin liniarizare, valorile nesaturate ale parametrilor corespund caracteristicii  $U_1 = f(i_o)$ , tangentă la porțiunea liniară, iar cele saturate caracteristicii OB. Relația dintre mărimile saturate și cele nesaturate se poate stabili prin intersecția celor două drepte cu o a treia CD pe care se ia funcția  $\lambda - 1$  [7]. Pe paralela CD cu ordonata care trece prin  $i_o$  se consideră scara mărimii  $\lambda - 1$ . Valoarea concretă a scării se fixează prin punctul D, care corespunde valorii  $\lambda - 1$ , pentru parametrii nesaturati considerați cunoscute. Dreapta CD pe care s-a fixat astfel scara  $\lambda - 1$ , va fi intersectată de caracteristica liniarizată OB, într-un alt punct, rezultând valoarea  $\lambda_1 - 1$ , corespunzătoare parametrilor sărați.

Notind raportul curentilor:

$$\frac{i'_o}{i_o} = 1 + K \quad (3.91)$$

rezultă:

$$\frac{\lambda_1 - 1}{\lambda - 1} = \frac{1 + K}{1 + K} \quad (3.92)$$

Exprimind  $\lambda'$  funcție de  $\lambda$ , se obține dependența:

$$\frac{\frac{x_{ad} + x_{\sigma}}{x_{aq}} + \frac{x_{ad}}{x_{aq}} \frac{x_{\sigma}}{x_{ad}}}{\frac{x_{aq} + x_{\sigma}}{1 + \frac{x_{ad} \cdot x_{\sigma}}{x_{aq} \cdot x_{ad}}}} = \lambda \frac{1 + \bar{\gamma}_1}{1 + \lambda \bar{\gamma}_1} \quad (3.93)$$

în care  $\bar{\gamma}_1$  este un coeficient de dispersie definit ca  $\frac{x_{\sigma}}{x_{ad}}$ .

Din (3.92) se determină  $\lambda_1$

$$\lambda_1 = \frac{\lambda + K}{1 + K} \quad (3.94)$$

iar din (3.93) rezultă:

$$\lambda' = \lambda_1 \frac{1 + \zeta_1}{1 + \lambda_1 \zeta_1} \quad (3.95)$$

$$\text{în care: } \zeta_1' = \zeta_1 (1 + K) \quad (3.96)$$

Prin substituirea în relații a lui  $\lambda'$  cu  $\lambda'_1$  se obține influența saturăției.

Notând amplitudinea componentei principale a cuplului sincron cu:

$$M_m = \frac{i'}{i_K} \quad \text{și} \\ \mu = \frac{\lambda - 1}{1 + (\lambda + K) \zeta_1} \quad (3.97)$$

Prin aceasta se poate scoate în evidență influența saturăției în relația cuplurilor componente ale cuplului mașinii sincrone:

$$M_s = M_m \sin \vartheta_o + \frac{1}{2} \frac{\lambda - 1}{1 + (\lambda + K) \zeta_1} \frac{1}{x_d} \sin 2\vartheta_o \quad (3.98)$$

$$\frac{dM_s}{d\vartheta_o} = M_m \cos \vartheta_o + \frac{\mu}{x_d} \cos 2\vartheta_o \quad (3.99)$$

Se poate analiza influența saturăției și în cazul considerării acesteia numai după axa d. Pornind de la relațiile fluxurilor:

$$\Psi_d = \frac{E_d - x_d i_d}{1 + K} - x_d i_d = u \cos \vartheta_o \quad (3.100)$$

$$\Psi_q = -x_q i_q = -u \sin \vartheta_o \quad (3.101)$$

rezultă expresiile pentru componentele curentilor:

$$i_d = \frac{- (1+K) u \cos \vartheta_o + E_d}{x_{ad} + x (1 + K)} \quad (3.102)$$

$$i_q = \frac{u \sin \vartheta_o}{x_q}$$

Cu exprimarea cuplului sincron funcție de componente longitudinale respectiv transversale pentru curent și flux:

$$M_s = \Psi_d i_q - i_d \Psi_q$$

rezultă cuprul sincron sub forma:

$$M_s = \frac{u E_d}{x_{ad} + x_q(1+K)} \sin \vartheta_o + \frac{u^2 [x_{ad} - (1+K)x_{aq}]}{2 x_q [x_{aq} + x_q(1+K)]} \sin 2\vartheta_o \quad (3.103)$$

Pentru a scoate în evidență influența saturatiei, relația (3.103) se poate transforma, în acest fel încât aceasta să fie relevată sub forma unor coeficienți care apar în fața celor două componente ale cuplului sincron calculate cu relațiile cunoscute în absența saturăției. Se obține:

$$M_s = \frac{1 + \zeta_1}{1 + (1+K)\zeta_1} \frac{u E_d}{x_d} \sin \vartheta_o + \frac{1 + \zeta_1}{1 + (1+K)\zeta_1} \frac{\lambda - (1+K)}{1 + \lambda \zeta_1} \cdot \\ \cdot \frac{u^2}{2 x_d} \sin 2\vartheta_o \quad (3.104)$$

sau separind expresiile cunoscute pentru cazul nesaturat:

$$M_s = \beta \left[ \frac{u E_d}{x_d} \sin \vartheta_o + \gamma \frac{u^2}{2 x_d} \sin 2\vartheta_o \right] \quad (3.105)$$

în care s-au făcut notațiile :

$$\beta = \frac{1 + \zeta_1}{1 + (1+K)\zeta_1} \quad (3.106)$$

$$\gamma = \frac{\lambda - (1+K)}{1 + \lambda \zeta_1}$$

Considerând plaja de variație a lui  $\zeta_1 = 0,1 - 0,25$  și a lui  $K = 0 - 0,4$ , se obține pentru  $\beta$  domeniul de variație  $\beta = 1 - 0,93$ . De aici rezultă că saturarea (considerată după axa "d") conduce la o diminuare a componentei active a cuplului mașinii sincrone, de ordinul cîtorva procente (deci relativ o influență neimportantă). Practic  $\beta \approx 1$ .

Altfel se prezintă lucrurile în acest caz pentru componenta reactivă a cuplului, a cărei modificare se poate analiza prin intermediul coeficientului  $\gamma$  din (3.106). Într-un coeficientul

$\lambda = \frac{x_{ad}}{x_{aq}}$ , se consideră, de exemplu, valoarea  $\lambda = 1,65$  (valoare care a rezultat din programul de calcul prezentat în continuare, pentru o mașină concretă asupra căreia s-a aplicat metodologia de determinare a parametrilor din cele trei succesiuni).

Admitând aceleasi domenii pentru  $\mathcal{Z}_1$  și K, rezultă următoarele valori limită pentru  $\mathcal{Y}$ :

$$\mathcal{Y}_0 = \frac{1.63 - 1}{1 + 1.63 \cdot 0.1} = 0.54$$

$$\mathcal{Y}_1 = \frac{1.63 - (1 + 0.4)}{1 + 1.63 \cdot 0.25} = 0.16$$

Din aceste valori rezultă că în cazul considerării saturăției numai după axa "d", cuplul maginii sincrone este diminuat mai ales datorită diminuării componentei reactive, care este cel mai mult influențată de saturatie.

Se poate analiza influența saturăției în mod separat după cele două axe, prin coeficienți similari  $1 + K_1$  pentru axa "d" și  $1 + K_2$  pentru axa "q". În acest caz expresiile parametrilor saturăti pot fi puse sub forma:

$$x_{d\text{ sat}} = x_{\sqrt{}} + \frac{x_{ad}}{1 + K_1} \quad (3.107)$$

$$x_{q\text{ sat}} = x_{\sqrt{}} + \frac{x_{aq}}{1 + K_2} \quad (3.108)$$

Considerind în acest fel influența saturăției, expresia cuplului mașinii sincrone este:

$$M_s = \frac{u E_d}{x_{ad} + x_{\sqrt{}}(1 + K_1)} \sin \vartheta_o + \\ + \frac{u^2}{2} \frac{x_{ad}(1+K_2) - x_{aq}(1+K_1)}{[x_{eq} + x_{\sqrt{}}(1+K_2)][x_{ad} + x_{\sqrt{}}(1+K_1)]} \sin 2\vartheta_o \quad (3.109)$$

Pentru a determina influența saturăției după axa "d" respectiv mărimea  $1 + K_1$ , se poate utiliza caracteristica de funcționare în pol -1-, fig.3.9. Caracteristica liniară 1, corespunzătoare axei longitudinale, trece prin punctul care corespunde t.e.m. interne  $Z_i = U_N + j X_{\sqrt{}}$ . Din fig.3.9 rezultă:

$$1 + K_1 = \frac{AC}{AB}; \quad OA = U_N; \quad AK = I x_{\sqrt{}} \quad (3.110)$$

Pentru determinarea influenței saturăției după axa q, respectiv mărimea  $1 + K_2$ , se utilizează caracteristica 2. Determinarea acesteia se face prin cálcul considerind numai tensiunile magnetice corespunzătoare întrefierului, dinților statorici și jugului stator-

ric, fără a considera tensiunile magnetice ale miezului polilor și jugului rotoric. Aceasta este o caracteristică de funcționare în gol pentru stator. Se construiește dreptul CD (prin intermediul căreia se consideră mărirea întrefierului echivalent după axa transversală) astfel ca să fie îndeplinită condiția:

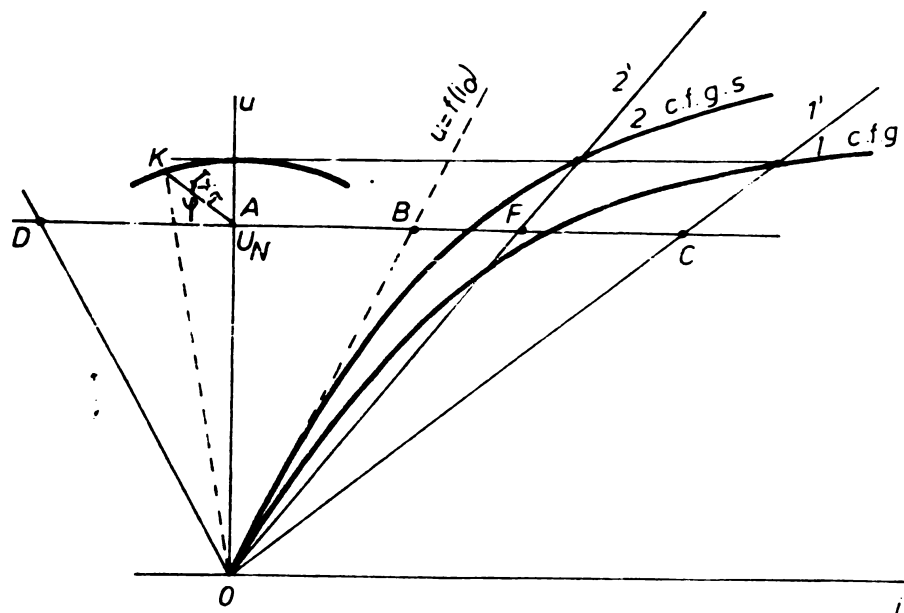


Fig. 3.9

Determinarea coeficientilor de saturatie după axa d și q.

$$\frac{DB}{AB} = \frac{x_{ad}}{x_{aq}} \quad (3.111)$$

deci raportul celor două segmente este tocmai  $\lambda$  din relația (3.90). Influența saturării după axa transversală, rezultă că se poate considera cu mărimea:

$$1 + K_2 = \frac{DF}{DB} \quad (3.112)$$

Acest coeficient evidențiază influența saturării după axa q cu o anumită eroare, deoarece după această axă, o influență mare o are saturarea capetelor tălpilor polare.

Considerind separat saturatia după cele două axe, cuplul sincronizant este:

$$\frac{d \dot{x}_3}{d \vartheta_0} = \frac{u E_d}{x_{ad} + x (1 + K_1)} \cos \vartheta_0 + \\ + \frac{u^2 \frac{x_{ad}(1+K_2) - x_{ad}(1+K_1)}{[x_{eq} + x \sqrt{(1+K_2)}] [x_{ad} + x \sqrt{(1+K_1)}]} \cos 2 \vartheta_0}{(3.113)}$$

Modificînd expresiile pentru componentele cuplului astfel încît să fie separată influența saturării sub forma unor coeficienți în fața unor expresii ce apar în absența saturării, se obține:

$$M_s = \frac{1 + \zeta_1}{1 + \zeta_1 (1 + K_1)} \frac{u E_d}{x_d} \sin \vartheta_0 + \\ + \frac{1 + \zeta_1}{1 + (1 + K_1) \zeta_1} \frac{\frac{(1+K_2)\lambda - (1+K_1)}{[1+\zeta_1\lambda(1+K_2)]^2} u^2}{x_d} \sin 2 \vartheta_0 \quad (3.114)$$

cu  $\beta$  din (3.106) și cu :

$$\xi = \frac{(1 + K_2)\lambda - (1 + K_1)}{1 + \zeta_1 \lambda \cdot (1 + K_2)}, \quad (3.115)$$

cuplul mașinii sincrone și cuplul sincronizant pot fi scrise sub forma:

$$x_s = \beta \left( \frac{u E_d}{x_d} \sin \vartheta_0 + \xi \frac{u^2}{2x_d} \sin 2 \vartheta_0 \right) \quad (3.116)$$

$$\frac{d x_s}{d \vartheta_0} = \beta \left( \frac{u E_d}{x_d} \cos \vartheta_0 + \xi \frac{u^2}{x_d} \cos 2 \vartheta_0 \right)$$

Relația (3.114) are un caracter mai general deoarece consideră saturarea separat după axa "q". Se observă că la  $K_2 = 0$ , aceasta se particularizează în relația (3.104) iar pentru  $K_2 = -K_1/\lambda$  se obține relația (3.98).

In tabelul T.3.1 s-a determinat coeficientul de influență asupra cuplului reactiv pentru un  $\lambda = 1,63$  care a rezultat din programul de prelucrare a rezultatelor experimentale. Din tabel rezultă influența destul de importantă pe care o are saturarea asupra componentei reactive a cuplului.

Coefficientul  $\beta$ , este apropiat de unitate. Făcînd apro-

ximăția  $\beta = 1$  rezultă relațiile simplificate pentru determinarea influenței saturăției asupra cuplurilor:

$$M_s = \frac{u E_d}{x_d} \sin \vartheta_o + \xi \frac{u^2}{2x_d} \sin 2\vartheta_o$$

$$\frac{dM_s}{d\vartheta_o} = \frac{u E_d}{x_d} \cos \vartheta_o + \xi \frac{u^2}{x_d} \cos 2\vartheta_o$$
(3.117)

Tabelul T.3.1

Coeficientul  $\xi$  de influență a saturăției asupra cuplului reactiv la valoarea determinată pentru  $\lambda = 1,63$ .

| $\zeta_1$ | $K_1 = 0$ | $K_1 = 0,2$   | $K_1 = 0,4$  | $K_1 = 0,3$  |             |             |
|-----------|-----------|---------------|--------------|--------------|-------------|-------------|
|           | $K_2 = 0$ | $K_2 = 0,075$ | $K_2 = 0,05$ | $K_2 = 0,15$ | $K_2 = 0,1$ | $K_2 = 0,3$ |
| 0,1       | 0,541     | 0,469         | 0,436        | 0,399        | 0,333       | 0,263       |
| 0,15      | 0,506     | 0,437         | 0,407        | 0,37         | 0,309       | 0,242       |
| 0,2       | 0,475     | 0,408         | 0,381        | 0,345        | 0,289       | 0,224       |
| 0,25      | 0,447     | 0,334         | 0,358        | 0,323        | 0,271       | 0,203       |
|           |           |               |              |              |             | 0,164       |

Componenta reactivă a cuplului poate fi calculată și prin relația directă în care influența saturăției nu apare sub forma unui coeficient unic:

$$M_{sr} = \frac{x_{dsat} - x_{qsat}}{2x_{dsat} x_{qsat}} u^2 \cos 2\vartheta_o =$$

$$= \frac{\left[ \frac{x_{ad}}{1+K_1} - \frac{x_{aq}}{1+K_1/\lambda} \right] u^2 \cos 2\vartheta_o}{2(x_{\zeta} + \frac{x_{ad}}{1+K_1})(x_{\zeta} + \frac{x_{aq}}{1+K_1/\lambda})}$$
(3.118)

Toate aceste determinări necesită cunoașterea cu precizie a parametrilor nesaturați. Determinarea acestora pentru mașinile mari se poate face direct din încercările prezентate de măsurare a curenților.

Determinarea parametrilor saturati din incercările de regim tranzitoriu.

Pentru determinarea parametrilor nesaturați, la efectuarea incercărilor din fig.3.1, 3.2, se poate folosi o sursă oarecare de tensiune continuă, în scopul stabilirii valorilor dorite ale curentilor înainte de regimul tranzitoriu. Aceasta se datorează faptului că prin atenuarea curentilor la zero (rezistență de suntare  $R_s = 0$ ), în timpul regimului tranzitoriu, ieșirea la sursa de tensiune continuă este scurtcircuitată și parametrii interni ai sursei nu apar în ecuațiile de regim tranzitoriu.

Pentru determinarea valorilor saturate ale parametrilor, regimurile tranzitorii trebuie să aibă loc cu saturarea miezului feromagnetic. De aceea atenuarea curentilor tranzitorii se va face în aşa fel, încât pentru  $t \rightarrow \infty$ , curentul tranzitoriu să aibă o valoare diferită de zero. Deci regimul tranzitoriu va avea loc între o valoare inițială a curentului  $I_o$  și o valoare finală diferită de zero. Se notează pentru încercarea longitudinală această valoare finală cu  $I_{ds}$  (fig.3.10.a).

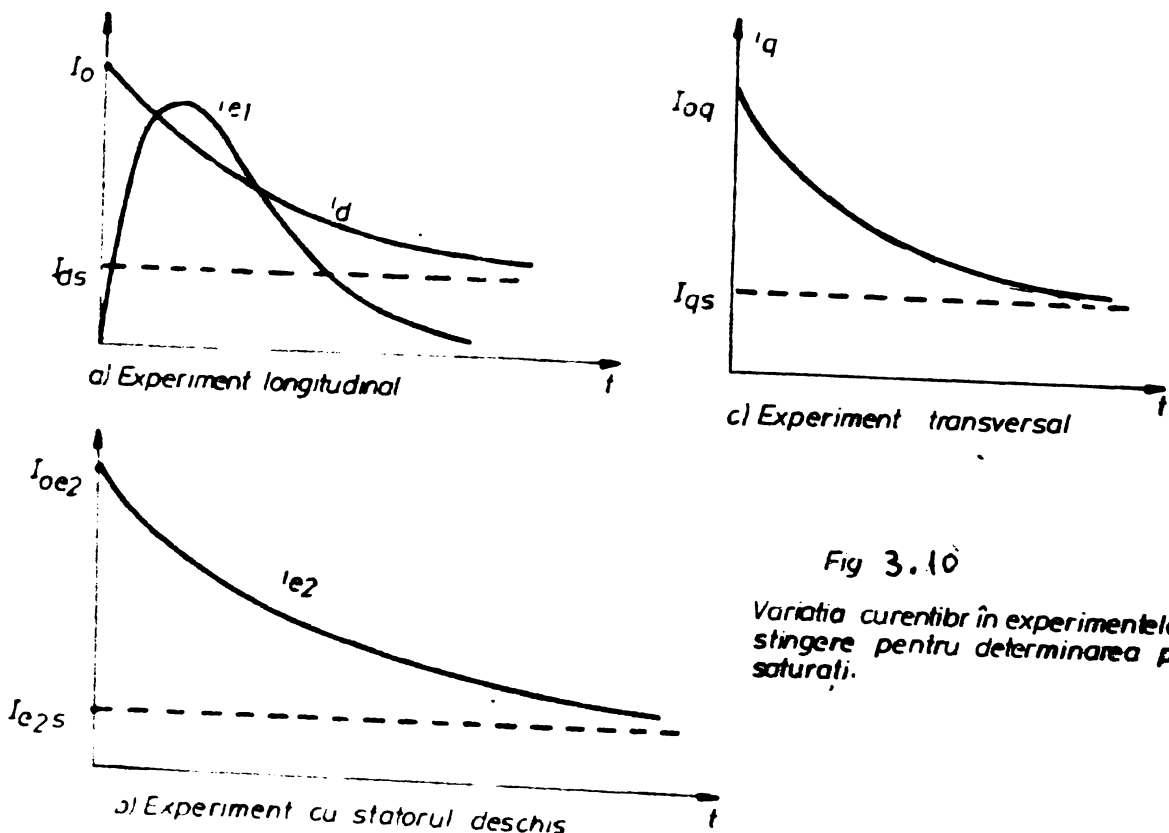


Fig 3.10  
Variatia curentibl în experimentele de stingere pentru determinarea parametrilor saturati.

Valoarea acestui curent stabilizat final se impune corelind sursa cu valoarea rezistenței de șuntare  $R_s$ . Intr-un astfel de regim, pentru ca ecuațiile care se stabilesc să fie soluibile fără complicații deosebite, este necesar ca sursa să fie caracterizată printr-un singur parametru intern, adică prin rezistență internă  $R_i$ , deci nu mai poate fi folosită o sursă rotativă.

Forma de variație a curenților pentru cazul efectuării încercărilor, în scopul determinării parametrilor saturati, este dată în fig.3.10.

Pentru acest regim tranzitoriu din încercarea longitudinală se poate stabili un sistem de ecuații similar cu (3.12), pentru care aplicând transformata Laplace, se obține:

$$\begin{aligned} (I_o - I_{ds})x_d &= i_d r_{ae} + x_d p_i^d + x_{ad} p_i^e + x_{sd} p_i^s \\ (I_o - I_{ds})x_{ad} &= x_{ad} p_i^d + r_e i_e + x_e p_i^e + x_{ad} p_i^s \\ (I_o - I_{ds})x_{sd} &= x_{ad} p_i^d + x_{ad} p_i^e + i_{sd} r_{sd} + x_{sd} p_i^s \end{aligned} \quad (3.119)$$

Acest sistem care este asemănător cu (3.18) conține în prima ecuație mărimea  $r_{ae}$ , care ține seama de  $R_i$  și se calculează conform (3.4). În care se introduce valoarea  $R_s \neq 0$ , și apoi se raportează.

Această rezistență se calculează din circuitul din fig.3.1, în așa fel, încât pentru sursa de care dispunem, să asigurăm valourile dorite pentru curentul inițial și cel final.

Valoarea inițială și valoarea finală a curentului statoric din încercarea longitudinală se stabilesc în funcție de gradul de saturatie dorit.

$$\begin{aligned} I_o &= K' I_N && \text{Pentru a obține parametrii saturati, } K' \\ I_{ds} &= K'' I_N && \text{are o valoare apropiată de unitate.} \end{aligned} \quad (3.120)$$

Dezvoltarea calculelor pentru a obține soluțiile este similară cu cea prezentată la paragraful 3.1 cu două deosebiri și anume: în calculul rezistenței echivalente a circuitului de stingeră intră și rezistența internă a sursei și a firelor de legătură  $R_l$ , iar în aplicarea transformării Laplace se are în vedere că  $\lim_{t \rightarrow \infty} i_d(t) = I_{ds}$ . Ca urmare, integrala de tip (3.26) apare sub forma:

$$\frac{1}{I_o - I_{ds}} \int_0^{\infty} [i_d(t) - I_{ds}] dt = \frac{1}{\alpha_d} \quad (3.121)$$

Dacă se efectuează calculele se observă că se obțin soluții similare, dar în toate relațiile în care a apărut valoarea inițială a curentului de regim tranzitoriu (de exemplu  $I_o$ ), în relațiile pentru determinarea parametrilor saturați, apare diferența  $I_o - I_{ds}$ .

Modificarea relației (3.41) în (3.121) rezultă simplu având în vedere transformările care s-au aplicat funcției  $i_d(t)$ , care s-a atenuat la zero pentru  $t \rightarrow \infty$ , în cazul parametrilor nesaturați. În cazul determinării parametrilor saturați, aceleași transformări se vor aplica funcției  $i_d(t) - I_{ds}$ , funcție care tinde spre zero pentru  $t \rightarrow \infty$ . Ca urmare, deoarece în numitorul relației (3.48) a apărut valoarea inițială a funcției  $i_d(t)$ , la numitorul relației (3.121) apare valoarea inițială a funcției  $i_d(t) - I_{ds}$ , adică  $I_o - I_{ds}$ . Același lucru se întâmplă și la celelalte încercări.

În relațiile patratice de tip (3.35) apare la numitor patratul diferenței, adică relația devine:

$$\frac{1}{[I_{oe2} - I_{e2s}]^2} \int_0^{\infty} [i_{e2}(t) - I_{e2s}]^2 dt = \frac{\alpha_e \sqrt{\alpha_{esd} + \alpha_{sd}}}{2\alpha_e(\alpha_e + \alpha_{sd})} \quad (3.122)$$

În cadrul  $I_{e2s}$  este valoarea finală (pentru  $t \rightarrow \infty$ ) a curentului de excitare din încercarea cu statorul deschis - fig.3.10. În relațiile de prelucrare a înregistrărilor singurele modificări intervin la calculul integralelor și derivatelor în al căror numitor au apărut curentii inițiali. Pentru determinarea parametrilor saturați, în cadrul acestor relații, în loc de valorile inițiale ale curentilor, se vor introduce diferențele între valorile inițiale și cele finale, respectiv diferențele între valorile inițiale și finale, la patrat.

În continuare se prezintă numai modificările care intervin concret în prelucrarea rezultatelor oscilogramelor obținute din încercările cu atenuarea curentilor la valori diferite de zero, ca în fig.3.10.

Pînă oscilograma curentului statoric obținută în încercarea longitudinală, cu o rezistență de suțare  $R_s = 0$ , fig.3.10.a, se calculează:

$$AiDI = \frac{1}{I_o - I_{ds}} \int_0^{\infty} [i_d(t) - I_{ds}] dt \quad (3.123)$$

Din oscilograma curentului de excitatie obtinută în încercarea cu statorul deschis, cu o rezistență de șuntare  $R_s \neq 0$ , fig.3.10.b, se calculează integrala:

$$AiDE2 = \frac{1}{I_{oe2} - I_{e2s}} \int_0^{\infty} [i_{e2}(t) - I_{e2s}] dt \quad (3.124)$$

Din oscilograma curentului de excitatie obtinută în încercarea cu statorul deschis, se determină:

$$DiE2 = \frac{1}{I_{oe2} - I_{e2s}} \cdot \left. \frac{di_{e2}(t)}{dt} \right|_{t=0} \quad (3.125)$$

Din oscilogramă curentului statoric corespunzătoră încercării longitudinale, se calculează derivata în origine:

$$DiDl = \frac{1}{I_o - I_{ds}} \left. \frac{di_d(t)}{dt} \right|_{t=0} \quad (3.126)$$

Analog se procedează pentru integrala și derivata curentului de excitatie din aceeasi încercare:

$$AiDEL = \frac{1}{I_o - I_{ds}} \int_0^{\infty} i_{el}(t) dt \quad (3.127)$$

$$DiEl = \frac{1}{I_o - I_{ds}} \left. \frac{di_{el}}{dt} \right|_{t=0} \quad (3.128)$$

Integrala patratului curentului de excitatie din încercarea cu statorul deschis, devine:

$$A_e = \frac{1}{(I_{oe2} - I_{e2s})^2} \int_0^{\infty} (i_{e2}(t) - I_{e2s})^2 dt \quad (3.129)$$

Analog se procedează pentru încercarea transversală care se realizează cu  $R_s \neq 0$ , iar rezistența care intră în calcule și care se determină cu (3.38'), ține seama de rezistența internă a sursei.

Se determină integrala:

$$AiQ = \frac{1}{I_{oq} - I_{qs}} \int_0^{\infty} [i_q(t) - I_{qs}] dt , \quad (3.130)$$

Se calculează derivata:

$$B_{iQ} = \frac{1}{I_{oq} - I_{qs}} \cdot \left. \frac{di_q(t)}{dt} \right|_{t=0} \quad (3.131)$$

Analog, ținând seama de curentul transversal stabilizat  $I_{qs}$ , se determină în final și integrala:

$$A_Q = \frac{1}{(I_{oq} - I_{qs})^2} \int_0^{\infty} [i_q(t) - I_{qs}]^2 dt \quad (3.132)$$

Cu acestea, parametrii saturați se determină complet, cu un program de calcul similar cu cel pentru parametrii nesaturați însă în care se operează modificările menționate.

Din punct de vedere practic este necesar ca, pentru aceste încercări, sursa să nu zibă decât parametrul rezistență, deci poate fi o baterie de acumulatoare.

### 3.2.3. PROGRAMUL PENTRU PRELUCRAREA NUMERICA A OSCILOGRAAMELOR SI CALCULUL PARAMETRILOR. REZULTATE OBTINUTE.

• \*

Din analiza ecuațiilor corespunzătoare celor trei regimuri tranzitorii particulare cu rezultat informații complete în legătură cu parametrii de regim stabilizat ai mașinii sincrone. Practic din cadrul oscilogramme, se pot obține unsprezece parametri. Din prezentarea metodologiei pentru rezolvarea probelor de regim tranzitoriu și reînțarcarea matematică a înregistrărilor rezultă că, deși obținerea experimentală a oscilațiilor nu este complicată, în practică, prelucrarea acestor înregistrări fără a utiliza calculul numeric, ar face metodologia laborioasă. În special aceasta se referă la determinarea concretă a integralelor și integralelor patratice, din unele oscilogramme care conțin un număr mare de citiri.

De aceea, pentru prelucrarea rezultatelor s-a elaborat un program de calcul numeric, în limbaj FORTRAN.

Schema logică, programul de calcul și rezultatele obținute pentru mașina sincronă de 5000 kW sunt date în Anexa 2.

În programul de calcul s-au respectat aceleași notații pentru mărimi, utilizate în paragrafele anterioare.

Ca date inițiale principale se consideră ordonatele din cele patru oscilogramme și intervalele de timp corespunzătoare. Acestea sunt:  $i_s(t)$ ,  $i_{el}(t)$  - curentul statoric și curentul de excitare din încercarea de regim tranzitoriu longitudinal cu intervalele de

temp DTD, DTE1;  $i_{e2}(t)$  - curentul de excitare din incercarea cu statorul deschis, cu intervalul de temp DTE2 ;  $i_q(t)$  - curentul static din incercarea transversală cu intervalul de temp DTQ. În toate aceste înregistrări este necesar să se cunoască destul de detaliat partea inițială a fenomenului tranzitoriu (pentru determinarea derivatelor în origine). În unele situații, variația curentului este foarte rapidă în fază inițială și de aceea este necesară o viteză de derulare destul de mare pentru hîrtia fotosensibilă a oscilografului. Ca urmare se obțin oscilograme de lungime mai mare, care conțin în partea finală variații care se liniarizează. Pentru a nu lucra cu un număr excesiv de mare de date pentru fiecare funcție, în momentul în care variațiile încep să se liniarizeze, citirile de pe oscilogramă se vor face la intervale de temp mai mari, fără ca să fie influențată precizia rezultatelor. Pentru a obține un număr cât mai mic de date, mărirea intervalului de temp se poate face gradat. De aceea în programul prezentat, pentru una și aceeași funcție, apar mai multe intervale de temp DTDA, DTDB, DTDC, etc. În acest fel se simplifică introducerea datelor, se scurtează timpul de lucru al calculatorului, iar precizia nu este influențată.

Programul s-a elaborat în ideea utilizării lui la mașini sincrone de puteri diferite, prin schimbarea unui număr minim de date la trecerea de la o mașină la altă mașină. /In rezolvarea ecuațiilor prezentată anterior se utilizează sistemul "per-unit". Pentru verificare se păstrează în memorie (și apoi se tipăresc) unele mărimi fizice care să permită controlul rezultatelor intermediare, înainte de trecerea în "per-unit". În program s-au prezentat relații separate pentru trecerea timpului în sistem raportat.

Pentru calculul numeric al derivatelor și integralelor s-au utilizat procedeele cele mai potrivite pentru situația concretă /31/, /35/. Astfel pentru integrarea numerică s-a folosit subprogramul DINTAB (Y, M, DT, R, KOD), în care:

- Y - tabelul ordonatelor din oscilogramă.
- M - numărul citirilor.
- DT - intervalul de temp.
- R - rezultatul integrării.
- KOD - codul de eroare ( 0 - pentru absența erorii;  
1 - pentru prezența erorii).

Afînd în vedere divizarea funcțiilor pe intervale de variație, pentru un același curent putem avea mai multe mărimi : , notate VA, VB, VC..., respectiv intervalele DTA, DTB, DTC... și integralele  $\int_0^V$ ,  $\int_0^V$ ,

RC... Pentru fiecare, în tabelul de rezultate intermediare, se tipărește codul de eroare, care confirmă sau infirmă corectitudinea procesului de integrare.

Coefficienții de dispersie au valori apropiate de unitate. În unele relații intervin diferențe între acești coeficienți, diferențe care pentru o anumită mașină pot avea valori foarte mici. De aceea calculul acestor coeficienți trebuie făcut foarte precis, cum rezultă din analiza relației (3.61) pentru calculul coeficientului  $C_d$ . Ca urmare s-a adoptat pentru tot programul calculul în dublă precizie (DBL).

O atenție deosebită trebuie acordată calculului derivatelor în origine pentru care trebuie să se adopte metoda cea mai potrivită, în funcție de oscilograma concretă obținută.

Programul a fost conceput să poată fi folosit atât la determinarea parametrilor nesaturati cât și, cu unele modificări conform relațiilor (3.121)-(3.122), la determinarea parametrilor satuați.

În fig.3.11, 3.12 sunt date variațiile curentului statoric longitudinal  $i_D(t)$  și curentului din înfășurarea de excitație  $i_EI(t)$ , în încercarea de atenuare după axa longitudinală la motorul sincron de 3000 kVA, fabricat pentru obiectivul industrial Călan, a cărui date se prezintă detaliat în continuare.

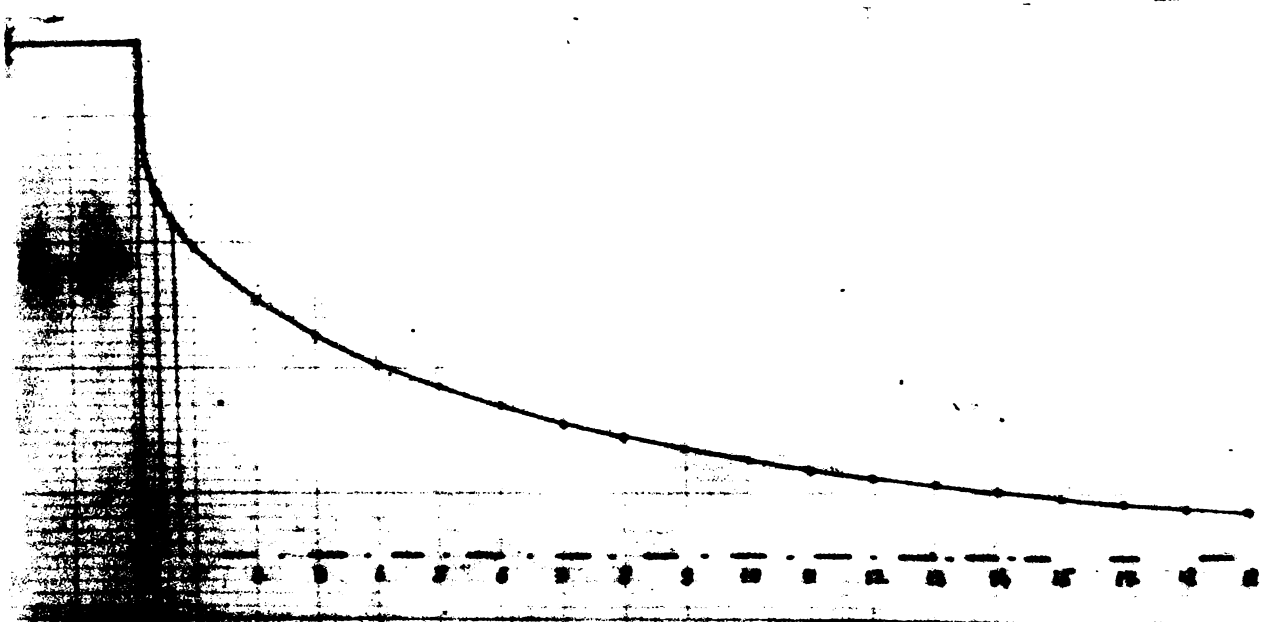


Fig.3.11. Încercare longitudinală - variația curentului statoric  $i_D = f(t)$ .

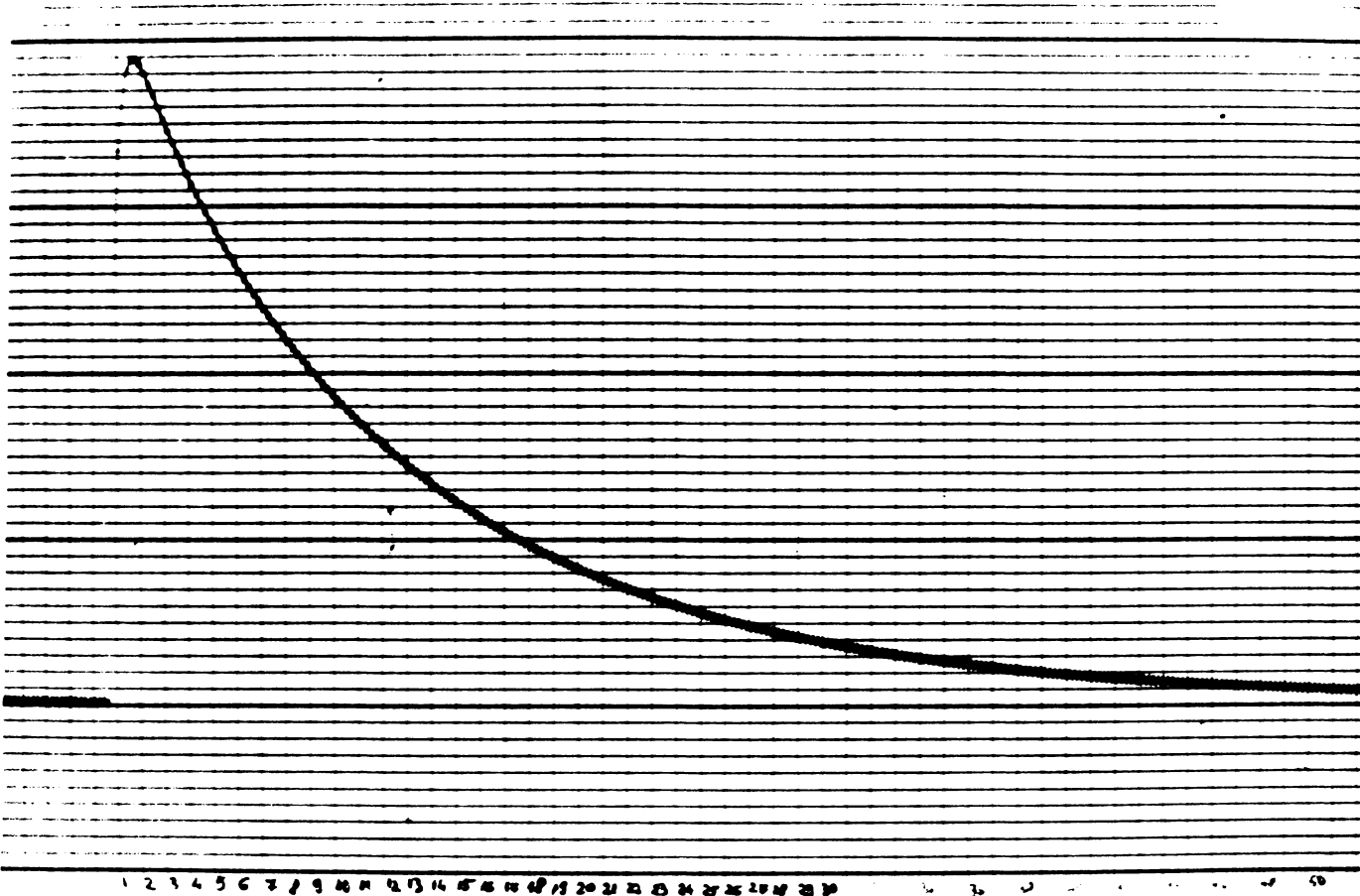


Fig.3.12. Încercare longitudinală - variația curentului din înfășurarea de excitație  $i_{E1} = f(t)$ .

În fig.3.13 este dată oscilograma  $i_{E1}(t)$  pentru o mașină sincronă de 250 kW, 6 kV, 1000 rot/min, utilizată ca mașină auxiliară în standul de probă al Intreprinderii Constructoare de Mașini Regita.



$$i_{E1} = f(t)$$

Fig.3.13. Încercare longitudinală - variația curentului din înfășurarea de excitație  $i_{E1} = f(t)$ .

In fig.3.14 se prezintă atenuarea curentului statoric din incercarea transversală la aceeași masină.

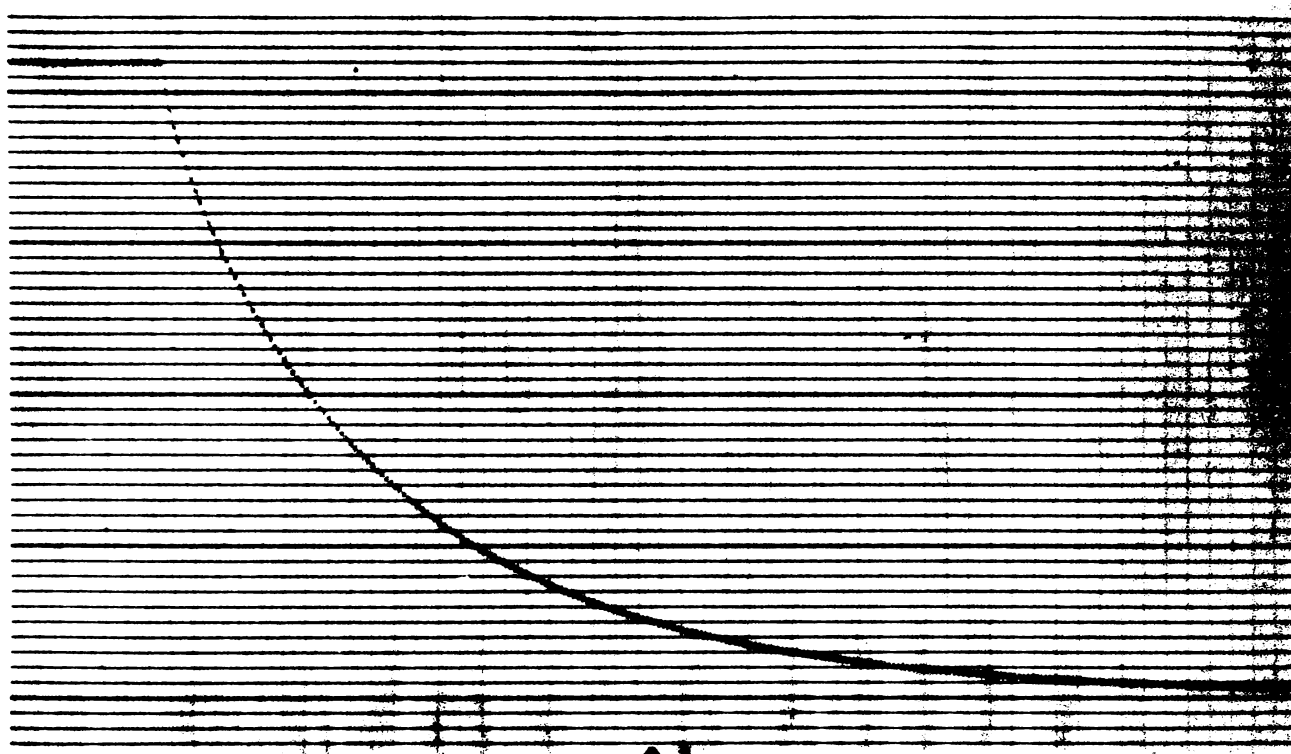


Fig.3.14. Incercare transversală - atenuarea curentului din circuitul statoric  $i_Q(t)$ .

In fig.3.15 se dă variația curentului din excitație  $i_E2(t)$  obținut în incercarea cu satorul deschis, tot la masina sincronă de 5000 kVA. In fig.3.16 se dau înregistrările obținute din incercarea longitudinală  $i_d(t)$ ,  $i_{el}(t)$  - înregistrare simultană pe două canale. In fig.3.17 se dă variația  $i_{e2}(t)$  obținută în incercarea cu satorul deschis, iar in fig.3.18 înregistrarea  $i_q(t)$  obținută în incercarea de atenuare a cîmpului după axa transversală. Înregistrările din figurile 3.16, 3.17, 3.18 s-au obținut pentru o mașină sincronă utilizată ca motor de pompă pentru transferul apei din aval în amonte, la centrala de la Galeag. Acest motor cu putere de 10500 kW, care nu a putut fi incercat prin metodele clasice, este prezentat în fig.3.19, în timpul încercărilor pe stand prin metoda prezentată.

Aceste oscilograme s-au înregistrat pentru cele trei încercări, cu atenuarea la zero a curentilor tranzitorii. In general ele reprezintă variațiile respective la o viteză relativ mică de derulare a hîrtiei. Pentru introducerea în programul de calcul de obicei se utilizează variațiile curentilor, obținute la viteză mai

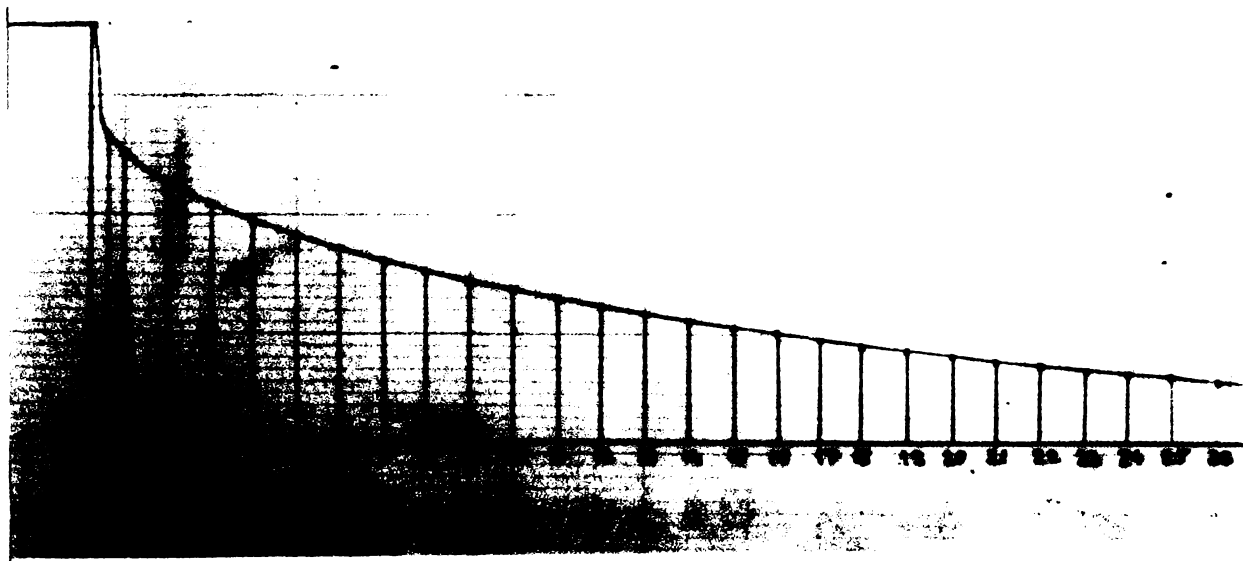


Fig.3.15. Încercarea cu statorul deschis - atenuarea curentilor din circuitul de excitare  $i_{E2}=f(t)$ .



Fig.3.16. Încercarea longitudinală simultană a curentului din stator  $i_D=f_T(t)$  și din excitare  $i_{E1}=f(t)$ .

mari de oscilografiere (30 cm/s, 100 cm/s și mai mari), fixate pentru a obține o precizie cât mai mare.

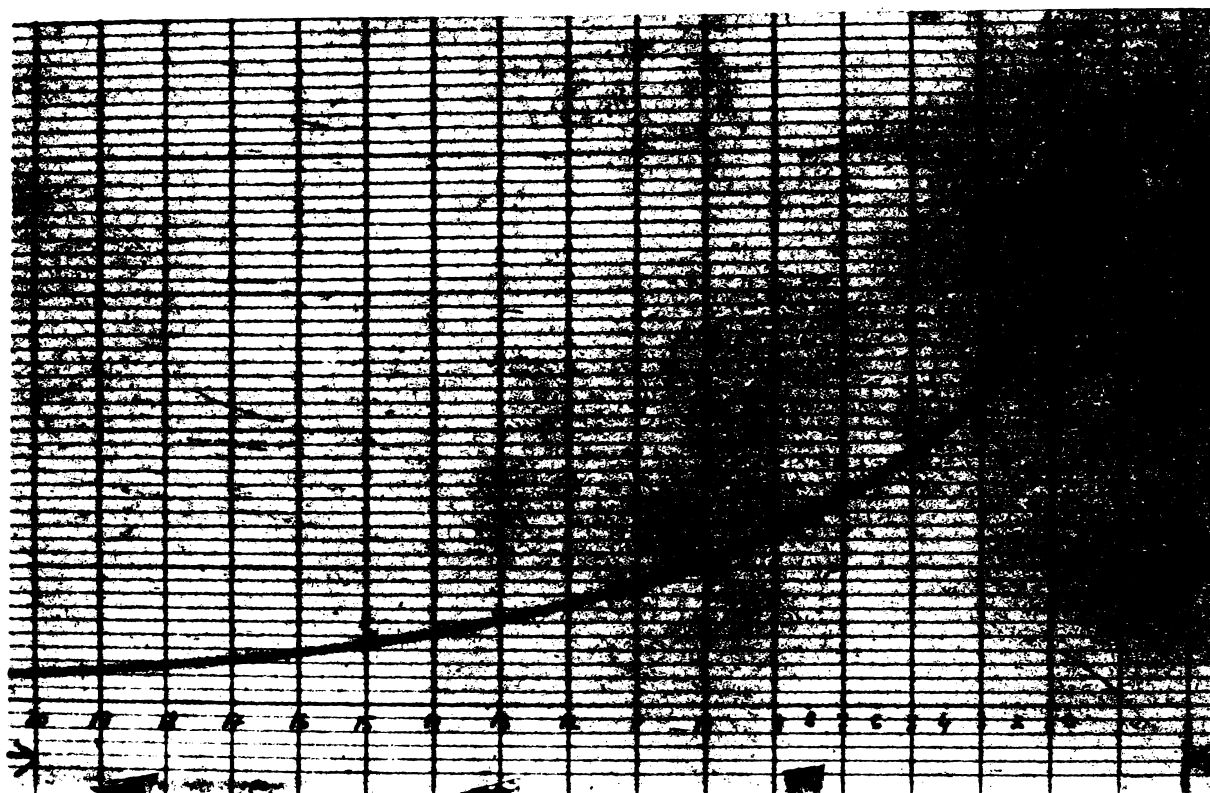


Fig.3.17. Încercare cu statorul deschis - atenuarea curentului din înfășurarea de excitatie  $i_{E2} = f(t)$ .

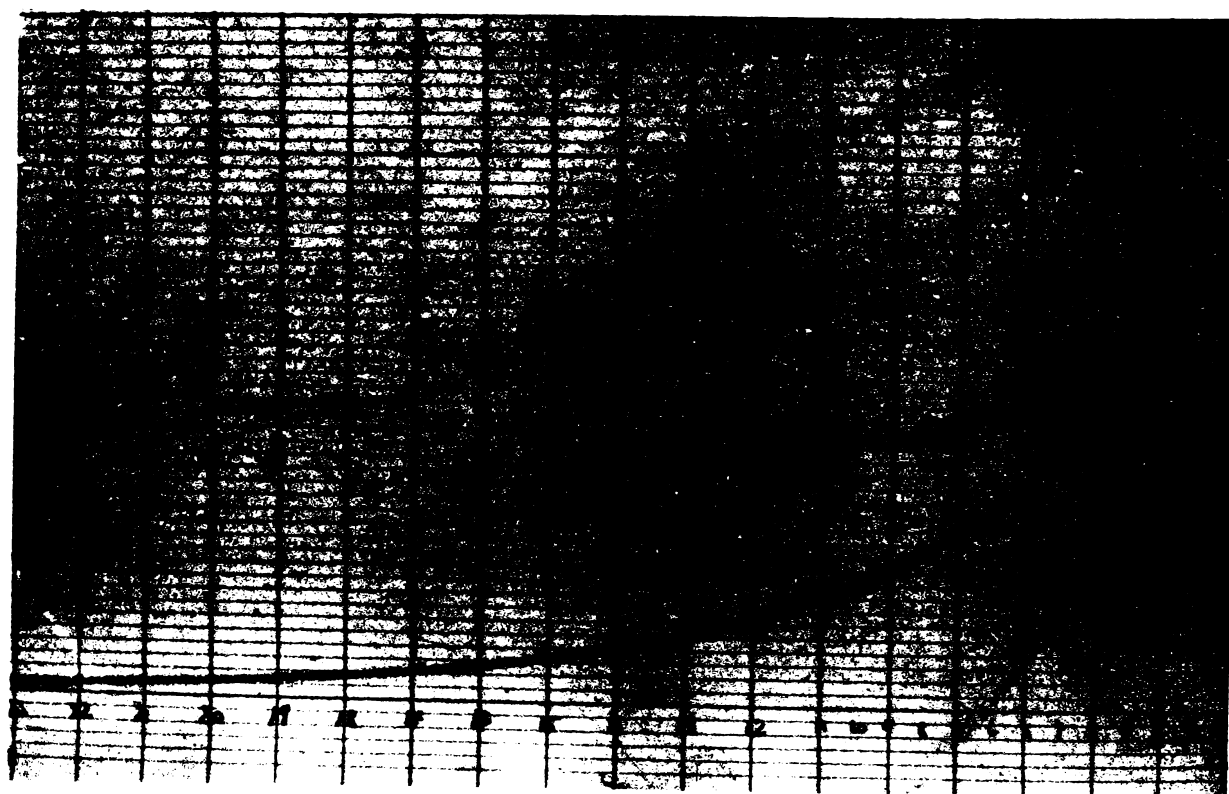


Fig.3.18. Încercare transversală - atenuarea curentului din stator  $i_Q = f(t)$ .

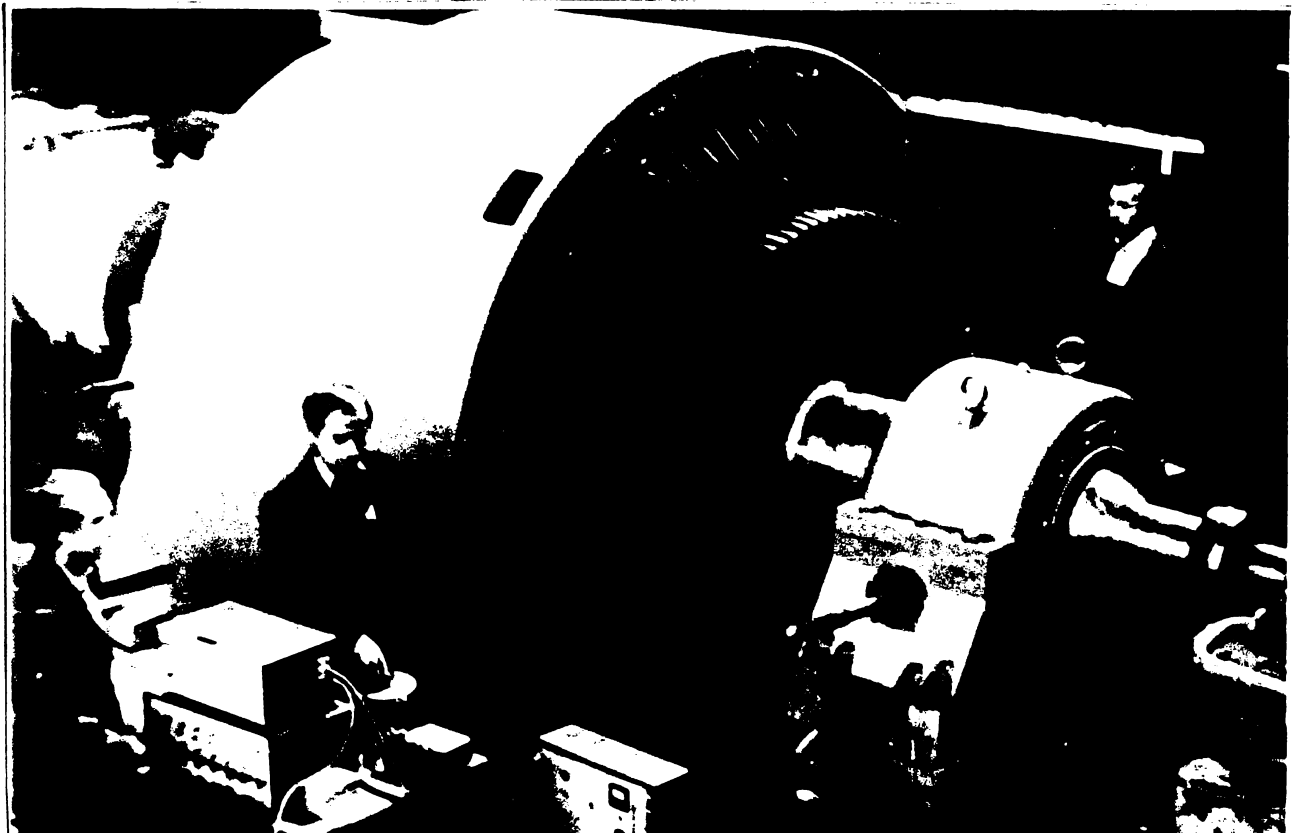


Fig.3.19. Motorul sincron de 10.500 kW.

In program mărimile au următoarele semnificații:

- iD - curentul statoric din încercarea longitudinală;
- iE1 - curentul din circuitul de excitatie din încercarea longitudinală;
- iE2 - curentul din circuitul de excitatie din încercarea cu statorul deschis;
- iQ - curentul din încercarea transversală.

Aici trebuie subliniat că datorită faptului că în relațiile de calcul, apar rapoartele curenților respectivi: iD, iE1, iE2 și iQ, nu este necesară etalonarea oscilografului, iar în memoria calculatorului se vor introduce ordonatele oscilogramelor.

In programul de calcul s-au introdus rezultatele măsurătorilor obținute în cele trei încercări în regim tranzitoriu efectuate pe o mașină sincronă proiectată pentru o funcționare ca motor la Câlan, cu următoarele date nominale:

- puterea aparentă nominală ,  $S = 5000 \text{ kVA}$  ;
- factorul de putere nominal  $\cos \varphi = 0,9$  capacativ;
- turatia nominală  $n_N = 1000 \text{ rot/min}$ ;
- tensiunea nominală  $U_N = 6000 \text{ V} \pm 5\%$ ;
- curentul nominal  $I_N = 555 \text{ A} \pm 5\%$ ;

- frecvență nominală,  $f = 50$  Hz;
- conexiunea: estea;
- numărul de căi de curent în paralel pe fază: 3;
- numărul de borne scoase: 6;
- clasa de izolație: B;
- rezistență pe fază statorică:  $R_f = 0,029 \Omega$ ; (la  $20^\circ C$ );
- rezistență circuitului de excitare la sarcină nominală și factor de putere  $\cos \varphi = 0,9$ , capacativ:  $I_{eN} = 462$  A;
- răcire: cu aer în circuit închis;
- masa totală a mașinii (cu excitare): 26.194 Kg;
- masa statorului: 8.760 Kg;
- masa plăcii de fundație: 3.640 Kg.

Caracteristicile excitatoarei mașinii sincrone:

- puterea nominală:  $P_N = 38$  kW;
- turăția nominală:  $n_N = 1000$  rot/min;
- tensiunea nominală:  $U_N = 75$  V;
- curentul nominal:  $I_N = 506$  A;
- clasa de izolație: B;
- rezistență rotorică la  $20^\circ C$ :  $0,00466 \Omega$ ;
- rezistență bobinajului polilor auxiliari: la  $20^\circ C$ :  $0,0017 \Omega$ ;
- rezistență bobinajului la polii principali la  $20^\circ C$ :  $7,8 \Omega$ ;
- curentul de excitare al excitatoarei (excitația fiind în derivație) la tensiune nominală, în gol: 4,5 A;
- curentul de excitare la sarcină nominală: 6,05 A.

In fig.3.20 este prezentat rotorul mașinii sincrone de 5000 kVA încercate în regimurile tranzitorii amintite, în faza tehnologică de consolidare a înfășurării rotorice.

In fig.3.21 este dat un detaliu al coliviei rotorice de amortizare, pentru care s-au găsit parametrii echivalenți longitudinali și transversali, prezentați în tabelul de la finele programului de calcul - TA2.1 - din anexa 2.

Pentru a verifica dacă citirile de pe oscilograme au fost făcute corect, în program se tipăresc ordonatele tuturor curenților tranzitorii, ordonate care sunt citite echidistant pe domeniul, în funcție de forma curbei. De exemplu, curentul iD, are ordonatele corespunzătoare domeniului de variație mai rapidă a fenomenului notate cu IDA, în număr de MDA=4, decalate echidistant

la intervale de timp de trei sutimi de secundă. Apoi urmărsă ordonantele notate cu iDB, în număr de  $MDB=30$ , pentru care curentul tranzitoriu se observă că variază ceva mai lent, ordonante situate echidistant la intervale de timp de o zecime de secundă. În fel se procedează pînă la atenuarea la zero a curentului statoric. Analog s-au fixat domeniile și intervalele de timp pentru ceilalți curenți, în funcție de forma curbelor.



Fig.3.20. Rotorul mașinii sincrone de 5000 kW.



Fig.3.21.

Detaliu al roto-  
rului mașinii  
sincrone de 5000 kW.

Pentru situațiile în care variația curentului este foarte rapidă la început, iar stingerea curentului se face foarte lent, este necesară o viteză mare de derulare a hîrtiei fotosensibile la început. Este recomandabilă crearea vitezei de derulare a hîrtiei cu marcarea timpului dată de baza de timp internă a oscilografului.

Aplicând aceste măsuri privitoare la obținerea și citirea oscilogramelor, timpul de calcul al programului se scurtează sensibil. În cazul concret al programului prezentat, numărul minim de date inițiale privitoare la oscilograme, fără a micșora precizia, a fost iD(57), IE1(51), IE2(54), IQ(42), deci 204 ordonate în total.

Impedanța nominală (considerată ca mărime de bază pentru raportare în calcule), este:

$$Z_n = \frac{U_{nf}}{I_{nf}} = \frac{U_1}{\sqrt{3} \cdot I_{nf}} = \frac{6000}{\sqrt{3} \cdot 555} = 6,241 \Omega.$$

Cu rezistența unei faze statorice de  $R_f = 0,029 \Omega$ , rezistența totală pe fază în timpul încercărilor a fost:

$$R_a = R_f + R_{adf} = 0,029 + 0,0097 = 0,0387 \Omega.$$

În care:  $R_{adf}$  - a fost rezistență aditională pe fază introdusă de sistemul de măsură.

Rezistența totală pe fază, în "per-unit" rezultă:

$$r_a = \frac{R_a}{Z_n} = \frac{0,0387}{6,241} = 6,2 \cdot 10^{-3} \text{ (p.u.)}$$

Rezultatele obținute din prelucrarea oscilogramelor sunt prezentate la finele programului de calcul și se împart în două categorii: rezultate intermedie și rezultate finale. Rezultatele intermedie contin codurile de eroare din program pentru toate integralele prin care se verifică determinarea corectă a integralelor și unele mărimi din calcul, controlabile înainte de trecerea în "per-unit".

Rezultatele finale sunt date în tabelul TA2.1 din programul prezentat în anexa 2 și conțin cei 11 parametri electromagnetici echivalenți după axa d și după axa q, pentru stator și pen-

tru rotor, inclusiv pentru colivie de amortizare. Valorile parametrilor sunt calculate în unități raportate, fiind prezentate în tabelul TA2.1, în ordinea  $x_d$ ,  $x_{ad}$ ,  $x_G$ ,  $x_q$ ,  $x_{aq}$ ,  $x_{sd}$ ,  $r_{sd}$ ,  $x_e$ ,  $r_e$ ,  $x_{sq}$ ,  $r_{sq}$ .

Precizia calculelor poate fi verificată în mai multe moduri. O posibilitate de verificare se referă la determinarea lui  $x_d$  din probe care s-au putut efectua la această mașină. Astfel din probele clasice de determinare a lui  $x_d$ , prin intermediul caracteristicii de funcționare în scurtcircuit trifazat stationar și partea liniară a caracteristicii de funcționare în zol:

$$x_d = 1,25$$

Din programul de prelucrare numerică a oscilogramelor de regim tranzitoriu, tabelul T.2 din anexa 2, rezultă:

$$x_d = 1,271$$

Se observă o precizie bună de determinare a lui  $x_d$ , precizie care aduce informații și despre precizia de determinare a celorlalți parametri, deoarece calculul, aşa cum s-a arătat are un caracter unitar.

Valoarea calculată de către proiectantul acestei mașini sincrone - Centrul de Cercetare și Inginerie Tehnologică pentru Echipamente Hidroenergetice Reșița, este:

$$x_d = 1,308.$$

S-a utilizat în majoritatea cazurilor pentru oscilograme, developarea uscată (directă) prin expunerea materialului la lumina zilei sau la lumina tuburilor cu neon. Această developare este foarte operativă, oscilograma putând fi interpretată în cîteva zeci de secunde de la scoaterea din aparatul înregistrator, dar apare dezavantajul pierderii contrastului în timp, încă este expusă la lumină timp mai îndelungat. S-a utilizat și developarea umedă a oscilogramelor, care este mai complicată, însă rezultatele obținute au fost foarte bune și anume, contrast puternic și definitiv. De exemplu oscilogramele prezentate în fig.3.12, 3.14 au fost obținute pe calea developării umede. Se observă că în acest caz se obține un contrast foarte bun și pentru linile de marcare a timpului.

In final se subliniază cele două aspecte principale privind durata și precizia calculelor, care trebuie tratate cu atenție deosebită - delimitarea corectă a domeniilor pentru efectuarea integralelor în funcție de forma curbei și adoptarea unei metode potrivite pentru determinarea căt mai exactă a derivatelor în origine.

Pe baza celor prezentate se pot deduce următoarele concluzii:

1.- Încercările nu implică punerea în funcție a mașinii, probele fiind statice. Ca urmare, nu este necesară o rețea de putere corespunzătoare în cazul motoarelor sincrone, respectiv nu este necesară cuplarea mașinii sincrone (ca generator) cu o turbină sau cu altă mașină electrică. În cazul utilizării metodelor clasice de determinare a parametrilor, referindu-ne la mașini de putere mare, cuplarea cu o mașină de antrenare implică în majoritatea cazurilor anumite dificultăți.

2.- În timpul aplicării regimurilor tranzitorii particulare mașina nu este solicitată ~~mai~~ din punct de vedere termic, nici din punctul de vedere al valorilor cîmpului electric în diverse părți ale izolației.

3.- Pentru determinarea parametrilor nu este necesar să se cunoască despre mașină decît un număr redus de date: datele nominale (pentru determinarea impedanței nominale și pentru stabilirea curentilor înainte de începerea regimului tranzitoriu).

4.- Înregistrările se fac foarte și nu fără a fi necesară etalonarea în prealabil a oscilografului, cîtorită faptului că în relațiile de calcul intră raioane de curent. Singura cerință este ca dimensiunile pe direcția ordonatei să fie suficient de măre pentru a nu diminua precizia.

5.- Măsurările se efectuează pe baza unor montaje foarte simple. Eficiența măsurătorilor este deosebită, deoarece dintr-un număr total de patru oscilograme se determină unsprezece parametri echivalenți, ceea ce constituie deosebirea mare față de metodologia clasică, în care din cîteva încercări (două sau trei dependente grafice) se determină maximum doi parametri. Este adevărat că prelucrarea matematică a rezultatelor se complică mult față de cazul clasic (cînd pentru determinare apar cîteva calcule elementare) dar acest aspect se rezolvă folosind calculatorul nu-

meric. Astfel prelucrarea rezultatelor devine foarte operativă deoarece se folosește același program pentru toate mașinile. Montajele efectuate au un consum mic de energie, practic neglijabil, față de metodele clasice. Astfel energia absorbită în timpul regimului tranzitoriu, cînd valoarea maximă a curentului este de cca. 40 % din  $I_n$ , curent care se atenuază destul de rapid la zero, în timpi de ordinul secundelor, sau zecilor de secunde, este neglijabilă față de energia necesară pentru o încercare clasică. În acest sens, numai pentru reactanță de dispersie trebuie determinată caracteristica în gol, în scurtcircuit trifazat simetric și în sarcină inductivă. Numai antrenarea în gol a unei mașini de ordinul cîtorva megawati, timp de ordinul zecilor de minute, conduce la absorbirea unei energii de către standul de probă, care nu poate fi neglijată. Pe de altă parte, pentru mașini de o astfel de putere realizarea unei sarcini pur inductive constituie o problemă dificilă. Chiar realizată o astfel de sarcină, aceasta va avea și un caracter ușor rezistiv, ca urmare precizia determinărilor se reduce.

6.- Cu programul prezentat se pot determina, pe cale experimentală, unii parametri (cei corespunzători coliviei) pentru care apar dificultăți la determinarea prin alte metode. De asemenea, prin atenuarea la valori diferite de zero a curentilor tranzistorii, cu același program de bază se pot determina valorile saturate ale parametrilor. Trebuie menționat aici și celălalt aspect relativ la acest regim pentru parametrii saturați. În unele situații găsirea unei surse neinductive care să debiteze curenti continui la valori apropiate de curentii nominali prin înfășurări, poate constitui o problemă. Totuși durata acestor curenti trebuie să fie de ordinul zecilor de secunde, deci sursa nu trebuie să fie caracterizată prin putere mare.

7.- Avînd în vedere toate aceste aspecte, se apreciază că pentru o mașină sincronă de putere mare, similară cu cea care a fost încercată, pregătirile și realizarea oscilogramelor (inclusiv stingerile pregătitoare de curenti pentru elegeren sensibilității sertarelor de adaptare) necesită un timp de aproximativ 2 ore. Încercări cu obținerea unor parametri similari prin metode clasice necesită un timp de ordinul zilelor și chiar zecilor de zile dacă se au în vedere operațiile de cuplare și de decuplare pentru o mașină de putere mare. Ca urmare, această metodologie de încercare este mai eficientă decît cea prezentată în standarde și în normele interne, pentru unii din parametrii determinați.

## - C a p i t o l u l    4

### CÎMPUL MAGNETIC ÎN INTREFIERUL MASINILOR SINCRONE.

Utilizarea practică a unor metode numerice de analiză a oscilogramelor regimurilor tranzitorii de stingere a curenților, este posibilă cînd mașina este simetrică din punct de vedere geometric și electromagnetic. Ca urmare metoda de determinare numerică a parametrilor echivalenți după axa  $d$  și  $q$ , prezentată anterior, se aplică corect numai cînd mașina este simetrică.

Dacă reprezintă eventualele nesimetrii ale mașinii se reflectă în structura cîmpului din întrefier, este necesară o analiză a cîmpului magnetic din întrefier. O astfel de analiză trebuie să poată confirma sau infirma ipotezele făcute în șegeatul cu simetria mașinii, ipoteze care au stat la baza stabilirii metodei de determinare a parametrilor echivalenți. Evident analiza cîmpului magnetic din întrefier trebuie făcută înainte de determinarea parametrilor echivalenți.

Rezultă o legătură strînsă între structura cîmpului din întrefierul mașinii sincrone și posibilitatea de determinare a parametrilor echivalenți prin metoda numerică prezentată anterior. De aceea este necesară analiza în primul rînd a cîtorva aspecte privind structura cîmpului magnetic din întrefierul mașinilor sincrone, iar apoi elaborarea metodei numerice practice, de analiză a acestui cîmp.

#### 4.1. FORMA OPTIMA DE REPARTITIE A INDUCTIEI MAGNETICE IN INTREFIERUL MASINILOR SINCRONE.

##### 4.1.1. Condiții de optim.

Tensiunea electromotoare a unui generator depinde în primul rînd de inducția magnetică în întrefier la viteza de rotație dată.

Se consideră că la funcționarea în gol, componenta armonică a tensiunii la bornele mașinii sincrone este dată de componente armonice ale repartiției inducției în întrefier  $B = B(x)$ , celelalte influențe asupra tensiunii neglijîndu-se în această primă analiză.

Funcția  $B(x)$ , pentru valoarea curentă a pasului polar,  
 $x \in [0, \pi]$ , este o funcție impară dezvoltabilă în serie Fourier  
de sinusuri:

$$B(x) = \sum_{n=1}^{\infty} B_n \sin n x ; \quad n = 1, 3, 5, \dots \quad (4.1)$$

În care amplitudinea fiecărei armonice se determină sub forma:

$$B_n = \frac{2}{\pi} \int_0^{\pi} B(x) \sin n x dx \quad (4.2)$$

Numai prima armonică este utilă toate celelalte producând pierderi suplimentare, cupluri parazite și.a.

Există trei criterii mai importante de evaluare a calității curbei de repartitie a inducției magnetice în întrefier.

Primul criteriu de evaluare se referă la suma patratelor armonicilor superioare ale inducției:

$$S_1 = \sum_{n=3}^{\infty} B_n^2 \quad (4.3)$$

Minimul funcției  $S_1$  va corespunde celei mai mici abieri medii patratice a funcției  $B(x)$  de la o sinusoidă pură.

Un alt criteriu de evaluare se obține având în vedere curentii turbionari. Deoarece pierderile prin curenti turbionari depind nu de patratul armonicilor ci de patratul unor produse de forma  $n B_n$ , adică de patratul produsului dintre amplitudinea armonică și ordinul ei, calitatea curbei inducției se poate evalua cu funcția:

$$S_2 = \sum_{n=3}^{\infty} n^2 B_n^2 \quad (4.4)$$

Un al treilea criteriu se obține având în vedere influența armonicelor superioare asupra transmisiilor telefonice. În acest caz calitatea curbei inducției  $B(x)$  se apreciază cu ajutorul funcției:

$$S_3 = \sum_{n=3}^{\infty} \sqrt{n} B_n^2 \quad (4.5)$$

În care:  $\sqrt{n}$  sunt coeficienți depinzând de ordinul  $n$  al armonicii și considerând dependența influenței paraziștilor telefonici

de frecvență.

In mod obișnuit, din punct de vedere energetic, se utilizează pentru a evalua calitatea curbei de repartiție a inducției  $B(x)$  primele două criterii adică indicii  $S_1$  și  $S_2$ .

Există mai multe modalități prin care se impune în cadrul proiectării forma curbei inducției, optimă dintr-un anumit punct de vedere /11/, /15/, /54/, /67/, /69/, /75/, /87/, /119/. La mașini cu poli proeminenti realizarea inducției dorite în întrefier se obține pe calea modificării întrefierului de-a lungul pasului polar, iar la mașini cu poli îneccați, aceasta se obține prin repartizarea potrivită a tensiunii magnetomotoare pe crestături.

#### 4.1.2. Realizarea condițiilor de optim la o mașină cu poli proeminenti.

De regulă, mașinile sincrone cu poli proeminenti (de tip hidrogenerator) sunt mașini lente, multipolare. De aceea studiul cîmpului se poate face fără a comite erori mari, în sistemul rectangular de coordonate neglijînd curbarea suprafetei pe circumferința mașinii și considerînd numai întrefierul între suprafața feromagnetică a statorului și a polilor. Determinarea curbei care descrie talpa polară, pentru a obține inducția dorită în întrefier, se poate face pe calea rezolvării analitice a ecuațiilor Poisson-Laplace prin metoda separării variabilelor /67/, /84/, /85/, /91/. Calculul se face considerînd axele conform figurii 4.1 : axa x după suprafața circumferinței statorice, iar axa y după axa longitudinală a polilor. Linia suprafeței circumferinței statorice este echipotentială, avînd potențialul magnetic nul. Axa de simetrie dintre polii mașinii, axa transversală  $x = \pm Z/2$ , este de asemenea liniă echipotentială și potențialul ei se poate lua egal cu zero.

Întrefierul minim al mașinii,  $\sigma_0$ , are loc la  $x=0$ .

Forma suprafeței tălpiei polare este necunoscută, dar această suprafață este de asemenea echipotentială magnetic. Condiția care se impune este ca inducția să aibă o variație armonică la suprafața circumferinței statorice ( $y=0$ ), variație care să aibă perioada  $Z$ .

Nu se consideră efectele de capăt ale mașinii, deci cîmpul se presupune plan paralel. Se neglijeză efectul crestăturilor.

Statorul și rotorul sunt în repaus.

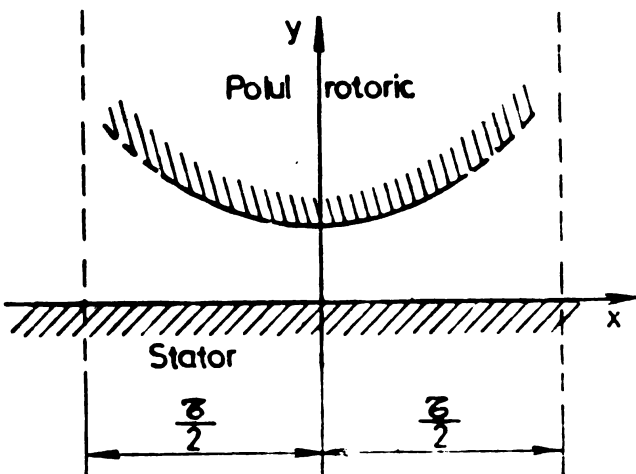


Fig. 4.1

Pentru cîmpul plan paralel considerat, ecuația Laplace a potențialului magnetic are forma:

$$\frac{\partial^2 U_m}{\partial x^2} + \frac{\partial^2 U_m}{\partial y^2} = 0 \quad (4.1)$$

In concordanță cu metoda Fourier-Culer de separare a variabilelor /67/, /84/, /5/, /21/, funcția cîntată a potențialului scalar al cîmpului magnetic poate fi pusă sub forma produsului funcțiilor:

$$X = f(x) \quad \text{și} \quad Y = \varphi(y)$$

fiecare din ele depinzînd de o singură coordonată,

$$U_m(x, y) = X Y \quad (4.2)$$

Diferențînd și înlocuind în ecuația Laplace, se obține:

$$Y \frac{\partial^2 X}{\partial x^2} + X \frac{\partial^2 Y}{\partial y^2} = 0, \quad \text{seu prin împărțire cu } X Y \quad (4.3)$$

$$\frac{1}{X} \frac{\partial^2 X}{\partial x^2} + \frac{1}{Y} \frac{\partial^2 Y}{\partial y^2} = 0$$

Această egalitate este înăeplinită dacă:

$$\frac{1}{Y} \frac{\partial^2 Y}{\partial y^2} = \frac{1}{X} \frac{\partial^2 X}{\partial x^2} = K^2 \quad (4.4)$$

unde  $K$  este un număr oricare.

Ecuatia initială Laplace (4.6) poate fi pusă sub forma a două ecuații omogene, de ordinul doi cu variabile separate:

$$\frac{\partial^2 Y}{\partial y^2} - k^2 Y = 0 \quad (4.10)$$

$$\frac{\partial^2 X}{\partial x^2} + k^2 X = 0 \quad (4.11)$$

Rădăcinile ecuației caracteristice corespunzătoare ecuației (4.10) sunt reale  $P_{1,2} = \pm k$ . Soluția acestei ecuații are forma:

$$Y = D_1 e^{ky} + D_2 e^{-ky} \quad (4.12)$$

Rădăcinile ecuației caracteristice corespunzătoare ecuației (4.11), sunt complexe  $P_{1,2} = \pm jk$ . Soluția acestei ecuații are forma:

$$X = E_1 \cos kx + E_2 \sin kx \quad (4.13)$$

Pentru  $k=0$ , ecuațiile (4.10) și (4.11) iau forma:

$$\frac{\partial^2 X}{\partial x^2} = 0 \quad ; \quad \frac{\partial^2 Y}{\partial y^2} = 0 \quad (4.14)$$

și rezolvarea lor conduce la apariția unor membri suplimentari în expresia potențialului scalar sub forma sumei:

$$m_1 + m_2 x + m_3 y$$

Rezultă că pentru cazul general soluția se poate scrie:

$$U(x,y) = (D_1 e^{ky} + D_2 e^{-ky})(E_1 \cos kx + E_2 \sin kx) + m_1 + m_2 x + m_3 y \quad (4.15)$$

Coefficientii  $D_1$ ,  $D_2$ ,  $E_1$ ,  $E_2$ ,  $m_1$ ,  $m_2$ ,  $m_3$  se determină din condițiile la frontieră ale problemei.

Deoarece potențialul suprafetei statorice, luat în originea y a fost luat egal cu zero, soluția se poate simplifica. Rezultă că termenul constant este nul,  $m_1 = 0$ . Considerind permeabilitatea magnetică a otelului foarte mare  $\mu_1 \gg \mu_0$ , se poate admite că linile cîmpului pătrund în suprafața statorului sub un unghi drept, adică la  $y=0$ .

$$H_x = - \frac{\partial U_m}{\partial x} = 0 \quad (4.16)$$

Din aceasta rezultă  $m_2 = 0$ .

Avînd în vedere că la suprafața circumferinței statorice cîmpul magnetic este o funcție armonică cu perioada  $2\pi$ , adică

$$B(y=0) = B_0 \cos \frac{\pi}{6} x, \quad (4.17)$$

rezultă că sunt nuli coeficienții  $m_3$  și  $E_2$ . De asemenea rezultă factorul constant al variabilei independente  $K = \frac{\pi}{6}$ . Cu aceste determinări expresia potențialului scalar este:

$$U_m(x,y) = (C_1 e^{kx} + C_2 e^{-ky}) \cos kx \quad (4.18)$$

Constantele  $C_1$  și  $C_2$  se determină astfel: cu expresia potențialului scalar se determină inducția care pentru  $y=0$  și  $\mu_1 > \mu_0$ , va trebui să satisfacă relația (4.17):

$$\begin{aligned} B_y(y=0) &= \mu_0 H_y = -\mu_0 \left( \frac{\partial U_m}{\partial y} \right)_{y=0} = -\mu_0 (C_1 - C_2) k \cos kx = \\ &= B_0 \cos kx \end{aligned} \quad (4.19)$$

$$B_x(y=0) = \mu_0 H_x = -\mu_0 \left( \frac{\partial U_m}{\partial x} \right)_{y=0} = \mu_0 (C_1 + C_2) k \sin kx = 0$$

de unde rezultă:

$$\begin{aligned} C_1 - C_2 &= -\frac{B_0}{\mu_0 k} \\ C_1 + C_2 &= 0 \\ \text{Deci:} \quad C_1 &= -C_2 = -\frac{1}{2\mu_0 k} B_0 \end{aligned} \quad (4.20)$$

Cu aceste determinări pentru coeficienți, potențialul magnetic scalar se poate scrie sub forma:

$$\begin{aligned} U_m(x,y) &= \frac{1}{\mu_0 k} B_0 \frac{e^{ky} - e^{-ky}}{2} \cos kx = \\ &= \frac{1}{\mu_0 k} B_0 \sin ky \cos kx \end{aligned} \quad (4.21)$$

Imaginea liniilor cîmpului magnetic din întregi și una din liniile echipotențiale - linia ab, rezultate din expresia (4.21), a potențialului magnetic scalar este dată în fig.(4.2).

Pentru a respecta repartizarea dorită a cîmpului magnetic pe suprafața statorului, suprafața tălpii polare trebuie să coincidă cu o linie echipotențială, pentru care potențialul este o valoare constantă, de exemplu cu linia ab, adică suprafața tălpii polare este descrisă de ecuația:

$$U_T(x, y) = \text{const.}$$

Această condiție se îndeplinește pentru:

$$\frac{\sin k y}{\cos k x} = C = \text{const.} \quad (4.22)$$

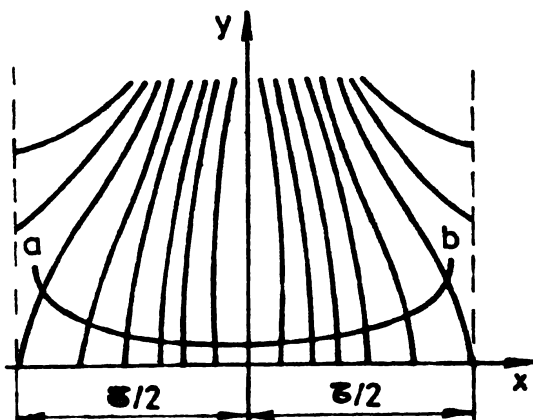


Fig. 4.2

Această constantă se poate determina din condiția  $y = \delta_0$  pentru  $x=0$ , deci:

$$C = \sin k \delta_0 \quad (4.23)$$

În concluzie, ecuația tălpiei polare care asigură la o mașină sincronă cu poli proeminenți o repartiție sinusoidală a inducției pe circumferința statorică este:

$$\sin \frac{k}{2} y = \frac{\sin \frac{k}{2} \delta_0}{\cos \frac{k}{2} x} \quad (4.24)$$

Această relație exactă se poate înlocui cu o altă mai simplă, considerînd aproximările:

$$\begin{aligned} \sin \frac{k}{2} \delta_0 &\approx \frac{k}{2} \delta_0, \\ \sin \frac{k}{2} y &\approx \frac{k}{2} \cdot y, \end{aligned} \quad (4.25)$$

Cu aceste aproximări, ecuația simplificată care descrie tălpa polară este:

$$y = \frac{\delta_0 \cdot}{\cos \frac{k}{2} x} \quad (4.26)$$

Această ecuație descrie cu suficientă precizie pentru nevoie practice, forma conturului tălpiei polare, care satisface

optimul considerat din punctul de vedere al inductiei in limitele unei acoperiri polare de 0,6 - 0,8 din pasul polar.

In practică, în unele situații, chiar forma simplificată (4.26) a ecuației nu se poate respecta. De aceea uneori se alege o soluție care simplifică și mai mult tehnologia - se prelucrează talpa după un arc de cerc care se apropie ca formă de curbă descrisă de ecuația simplificată. Mașina sincronă pentru care s-au făcut măsurătorile în vederea determinării structurii cîmpului din întrefier (aceeași mașină pentru care s-au determinat parametrii electromagnetici) se găsește în această situație, adică într-o talpă polară prelucrată după un arc de cerc, de rază mai mică decît raza rotorului. Rotorul astfel realizat a fost prezentat în fig. 3.20

#### 4.1.3. Realizarea condițiilor de optim la o mașină cu poli finecați.

In această situație, întrefierul fiind constant, repartitia inductiei este dată de curba solenatiei, la căre se adaugă anumite influențe. Forma de repartiție a inductiei care apare la majoritatea mașinilor, corespunde unei variații liniare trapezoidale (cu modulare în trepte). Se consideră soluția constructivă clasice, în care rotorul este prevăzut cu un "dinte" în axa "d" de lățime mare.

Inductia magnetică corespunzătoare rotorului este simetrică față de axa "d", și se raportează la inductia maximă din dreptul dintelui mare rotoric. Ca urmare limitarea  $B(x) \leq B_{\max}$  se va pune sub forma:

$$B(x) \leq 1 \quad (4.27)$$

Având în vedere cele două condiții de optim mai importante analizate anterior, adică minimul sumelor  $S_1$  și  $S_2$  din (4.3) și (4.4), se pot formula următoarele două probleme de proiectare optimală:

Problema 1. Să se găsească funcția  $B(x)$ , care se supune limitării (4.27) și condițiilor la capete:

$$B(0) = B(\bar{L}) = 0, \quad (4.28)$$

care la o mărime dată a primei armonici, realizează minimum sumei patratelor amplitudinilor armonicilor superioare, adică minimum funcției (4.3).

Problema 2. Să se găsească funcția  $B(x)$ , cu care în aceleasi condiții (4.27) și (4.28), să se obțină minimul funcției (4.4).

Rezolvarea acestor probleme se complică prin aceea că funcțiile (4.3) și (4.4) sunt date sub forma unor serii infinite. Folosind egalitatea lui Parseval /84/, /85/, /91/, aceste funcții se pot pune sub forma unor integrale definite, ceea ce permite utilizarea formulelor obisnuite din calculul variational.

Din relația lui Parseval:

$$\sum_{n=1}^{\infty} b_n^2 = \frac{2}{\pi} \int_0^{\pi} B^2(x) dx$$

extrăgind armonica fundamentală se obține:

$$\sum_{n=3}^{\infty} b_n^2 = \frac{2}{\pi} \int_0^{\pi} (B - b_1 \sin x)^2 dx \quad (4.29)$$

în care s-a notat cu  $b_1$  amplitudinea armonicii fundamentale.

In mod analog se deduce relația de calcul pentru criteriu (4.4) care dă minimul pierderilor prin curenti turbionari:

$$\sum_{n=3}^{\infty} n^2 b_n^2 = \frac{2}{\pi} \int_0^{\pi} \left( \frac{d^n}{dx^n} - b_1 \cos x \right)^2 dx. \quad (4.30)$$

S-a ajuns la următoarea problemă de calcul variational: să se găsească funcția  $B(x)$  care satisfac condiția de limitare (4.27) și condiția la capete (4.28), care la o mărime dată a amplitudinii primei armonici:

$$b_1 = \frac{2}{\pi} \int_0^{\pi} B \sin x dx \quad (4.31)$$

este integrala minimă (4.29), respectiv integrala (4.30).

Conform /84/, /85/, /91/, condiția necesară și suficientă ca integrala (4.29) să fie minimă, adică  $B(x)$  să fie extremală a integralei (4.29), este ca  $B(x)$  să fie soluție a ecuației lui Euler de formă:

$$\frac{\partial L}{\partial F} - \frac{d}{dx} \left( \frac{\partial L}{\partial P'} \right) = 0 \quad (4.32)$$

în care  $P'$  este derivata în raport cu  $x$  a functiei  $B(x)$ , iar  $L$  e o funcție auxiliară care rezultă din exprimarea generală a integra-

lei :  $b = \bar{b}$

$$J(B) = \int_a^b L(x, B, B') dx.$$

deci  $L$  este o funcție de  $x$ , de inductie  $B$  și de derivata  $B'$  a inductiei /91/. In cazul considerat al problemei 1, relația (4.29), variabila  $B'$  lipsește, funcția auxiliară este:

$$L_1 = L_1(x, B)$$

iar ecuația lui Euler devine:

$$\frac{\partial L_1}{\partial B} = 0.$$

Ca urmare funcția auxiliară se poate exprima:

$$L_1 = (B - b_1 \sin x)^2 + \lambda_0 B \sin x \quad (4.33)$$

în care  $\lambda_0$  este multiplicatorul Lagrange (constantă reală) care se determină în continuare. Prin înlocuire, ecuația lui Euler devine:

$$\frac{\partial L_1}{\partial B} = 2 \left[ B(x) - b_1 \sin x \right] + \lambda_0 \sin x = 0$$

din care rezultă curba extremală pentru criteriul (4.3) sub forma:

$$B(x) = \left( b_1 - \frac{\lambda_0}{2} \right) \sin x \quad (4.34)$$

sau exprimarea simplificată:

$$B(x) = a \sin x \quad (4.34')$$

Prin urmare funcția  $B(x)$ , soluție pentru problema 1, este  $a \sin x$ , acolo unde  $a \sin x \leq 1$  și  $B(x) = 1$ , acolo unde  $a \sin x > 1$ . Acest tip de variație este reprezentat în fig.4.3, curba 1.

Deoarece funcția  $L_1$  este degenerată, adică

$$\frac{\partial^2 L_1}{\partial B'^2} = 0$$

condiția de continuitate a tangentelor nu este obligatorie.

Valoarea amplitudinii primei armonici  $b_1$  și mărimea sumei seriei (4.3) depind de coeficientul "a" din (4.34').

Valorile a < 1, sunt nerationale (mașina este slab folosită),

, deoarece se obține o valoare diminuată pentru maximul inducției din întrefier. Pentru  $\alpha > 1$ , amplitudinea primei armonici crește, iar suma seriei (4.3) crește.

Că urmare este necesar să se stabilească o valoare intermedie pentru  $\alpha$ . Sunt semnificative rezultatele calculelor privind calitatea curbei de repartiție a inducției, pentru mașini tip turbogenerator /7/, evaluată cu criteriile  $S_1$  din (4.3) și  $S_2$  din (4.4), funcție de lățimea dintelui raportată la întreg intervalul polar - fig.4.3 și 4.4.

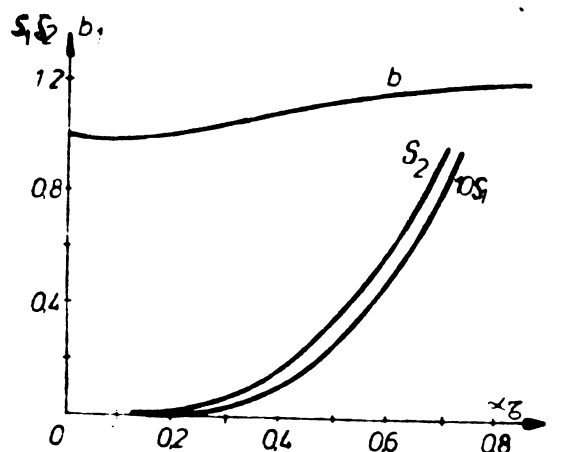


Fig. 4.4.a

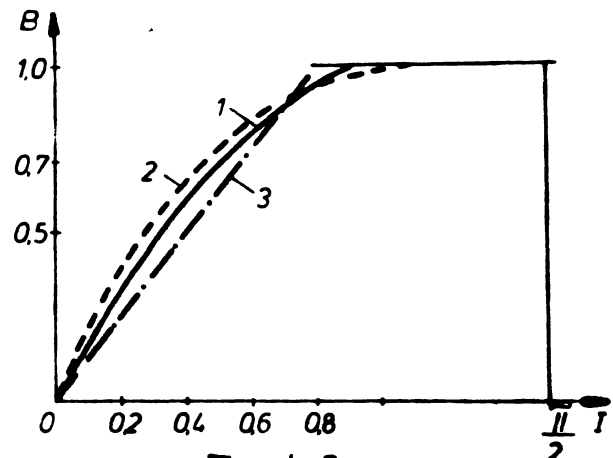


Fig. 4.3.

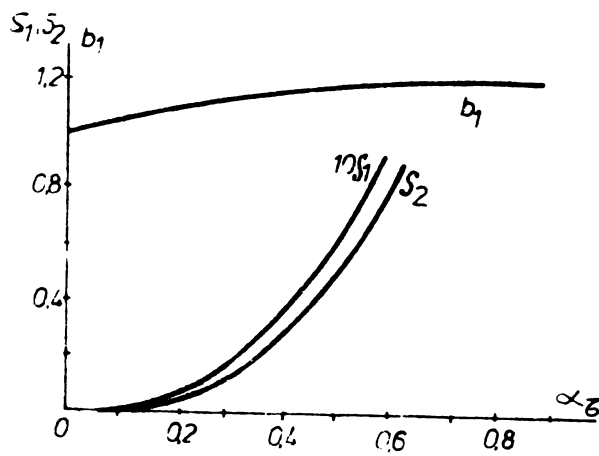


Fig. 4.4.b

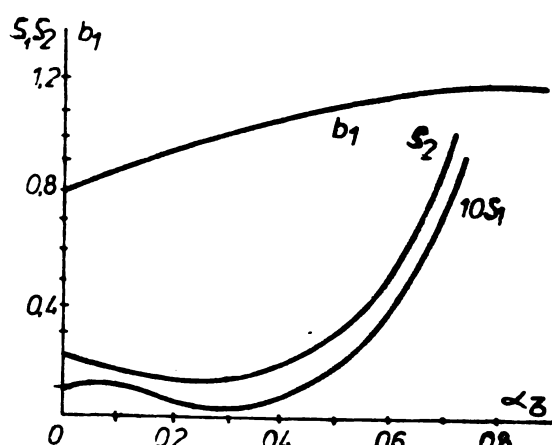


Fig. 4.4.c.

In fig.4.4 sunt date grafic rezultatele acestor calcule: variația amplitudinii primei armonici și valorile criteriilor  $S_1$  și  $S_2$ .

În concluzie pentru problema 1, soluția este dată de o funcție compusă din două tipuri de variație: o variație sinusoidală

dată de (4.34) și un palier - inducție constantă în dreptul dintre-lui. Valoarea coeficientului variației sinusoidale rezultă în funcție de cazul concret considerat, corelând amplitudinea fundamentală cu minimul seriei (4.3).

Pentru problema 2, funcția  $B(x)$ , pentru care integrala (4.30) devine minimă, funcția auxiliară /91/, trebuie să satisfacă ecuația lui Euler:

$$L_2 = \left( \frac{dB}{dx} - b_1 \cos x \right)^2 + \lambda_0 B \sin x , \quad (4.35)$$

ecuație care ia forma:

$$\lambda_0 \sin x - 2 \frac{d}{dx} (B' - b_1 \cos x) = 0 \quad (4.37)$$

sau

$$\lambda_0 \sin x - 2(B'' + b_1 \sin x) = 0$$

$$\lambda_0 \sin x - 2B'' - 2b_1 \sin x = 0$$

Deci:

$$B'' = \frac{d^2B}{dx^2} = \left( \frac{\lambda_0}{2} - b_1 \right) \sin x$$

$$B' = \frac{dB}{dx} = \left( \frac{\lambda_0}{2} - b_1 \right) \sin x dx = \left( b_1 - \frac{\lambda_0}{2} \right) \cos x + C_1 .$$

Curba de repartitie a inducției sub formă generală este:

$$B(x) = \left( b_1 - \frac{\lambda_0}{2} \right) \sin x + C_1 x + C_2 \quad (4.38)$$

Această relație (4.38) reprezintă curba extremală care satisfacă minimul relației (4.30) și prin urmare este soluția problemei 2, cind, repartitia inducției este compusă dintr-o variație de tip (4.38) și un palier  $B=1$ . Deoarece funcția auxiliară nu este degenerată:

$$\frac{\partial^2 L_2}{\partial B'^2} = 2 > 0 , \quad (4.39)$$

în punctul atâtăgat extreimalei și frontierele domeniului  $B=1$  trebuie să se îndeplinească condiția de continuitate a tangențelor, adică la  $B=1$  derivata  $\frac{\partial B}{\partial x}$  din (4.38) trebuie să se anuleze deoarece la frontiera domeniului  $\frac{\partial B}{\partial x} = 0$ .

Deoarece curba inducției este simetrică față de axa  $x$  trebuie analizat intervalul  $0 \leq x \leq \frac{\pi}{2}$ .

Din  $B(0) = 0$  rezultă coeficientul  $C_2 = 0$ .

Dacă  $x_0$  este valoarea pentru care  $B=1$ , condițiile  $B(x_0)=1$  și  $B'(x_0)=0$  (recordarea tangentelor) conduc la sistemul:

$$\begin{aligned} \left(b_1 - \frac{\lambda_0}{2}\right) \cos x_0 + C_1 &= 0 \\ \left(b_1 - \frac{\lambda_0}{2}\right) \sin x_0 + C_1 x_0 &= 1 \end{aligned} \quad (4.40)$$

din care rezultă coeficientul

$$C_1 = \left(\frac{\lambda_0}{2} - b_1\right) \cos x_0 \quad (4.41)$$

Forma curbei inductiei este dată în fig.4.3 curba 2, iar în fig.4.4.a, sunt date amplitudinile primei armonici și valorile criteriilor de calitate ( $S_1$  și  $S_2$ ), în funcție de raportul părții intervalului polar neocupat de înfășurare și întreg intervalul polar.

Se observă că variația inductiei pentru care funcționala 4.3 este minimă, este apropiată de cea pentru care funcționala 4.4 este minimă. Pentru comparație, sunt date în fig.4.4.c amplitudinea primei armonice și valorile rezultate din funcționalele 4.3 și 4.4 la o variație local liniară a inductiei, care apare în mod obișnuit la turbogeneratorul de construcție clasică.

$$B = \begin{cases} Kx & ; 0 \leq x \leq \frac{1}{K} \\ 1 & ; \frac{1}{K} \leq x \leq \frac{\pi}{2} \end{cases} \quad \text{Fig.(4.3) curba 3}$$

In fig.4.4 variabilă este raportul părții neocupate de înfășurare ("dinte rotoric mare"), la întreg intervalul polar, observându-se că cel mai bun raport este apropiat de  $1/3$ , ceea ce se și realizează la majoritatea mașinilor cu poli finecați.

Curba apropiată de variația local liniară - curba 3 din fig. 4.3, este caracteristică pentru toate mașinile actuale cu crestături egale, la care în fiecare crestătură se găsește un număr egal de conductoare. Curbele din fig.4.4 arată că această variație local liniară a inductiei nu este optimă din punctul de vedere considerat, dar este simplă ca utilizare.

Astfel dacă se dă amplitudinea primei armonice  $b_1 = 1,05$  (care apare ușor la mașinile sincrone cu poli finecați), la o înfășurare cu dinti rotorici care ocupă aproximativ  $1/3$  din intervalul

polar, utilizarea unei variații de forma soluției (4.38) cu determinarea (4.39), permite ca în comparație cu situația obișnuită să se micșoreze suma patratelor armonicelor superioare aproximativ de două ori, iar suma seriei (4.4) care determină pierderile prin curenti turbionari ai armonicilor superioare, aproximativ de șapte ori.

Aplicație pentru o infășurare cu două zone la o mașină sincronă tip turbogenerator.

Respectarea cu strictețe a repartițiilor optime ale inducției, prezентate anterior pentru mașina cu poli îneacăti conduce la complicații tehnice care fac insuficientă aplicarea practică a acestor soluții. De aceea se caută soluții de compromis care să fie mai ușor de realizat tehnic și care aproximează satisfăcător curbele optime pentru repartizie /6/, /7/, /9/, /63/.

Afînd în vedere funcțiile analitice care dă repartizarea inducției magnetice în întregier, optimă din punctul de vedere al criteriilor  $S_1$  sau  $S_2$ , se analizează o astfel de soluție de compromis care se utilizează la turbo-generatoroarele de mare putere /7/, prezentață principiul în fig.4.5.

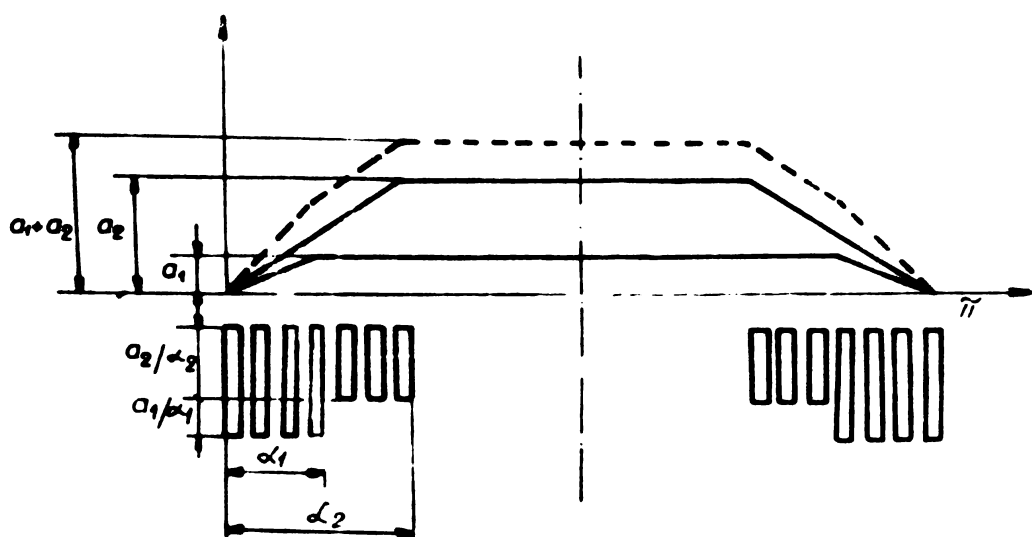


Fig. 4.5

Variațiile găsite pe primul domeniu  $0 \leq x \leq x_0$  (deci sinusoidă, sau sinusoidă și variație liniară) se pot approxima cu segmente de dreaptă; deci cu repartiții liniare ale bobinării, pe domenii, ceea ce este mult mai ușor de realizat în practică. Infă-

șurarea se poate realiza cu două tipuri de crestături - fig.4.5, obținându-se cîte o variație liniară a solenăției pentru cele două înălțimi ale crestăturilor. Dezvoltind cele două repartiții trapezoidale ale tensiunii magnetomotoare în serie Fourier, /84/,/91/, /139/, cu notațiile din fig.4.5 se obține:

$$F_1 = \frac{4}{\pi} \frac{a_1}{\alpha_1} \sum_{n=1,3,5,\dots}^{\infty} \frac{\sin n x \sin n \alpha_1}{n^2} \quad (4.42)$$

$$F_2 = \frac{4}{\pi} \frac{a_2}{\alpha_2} \sum_{n=1,3,5,\dots}^{\infty} \frac{\sin n x \sin n \alpha_2}{n^2}$$

Considerăm amplitudinea armonicii fundamentale constantă, adică:

$$A_1 = \frac{4}{\pi} \left[ \frac{a_1 \sin \alpha_1}{\alpha_1} + \frac{a_2 \sin \alpha_2}{\alpha_2} \right] = \text{ct} \quad (4.43)$$

Pentru ca armonicile de ordinul 3,5,7 să se anuleze, adică

$$A_3 = A_5 = A_7 = 0 \quad \bullet \bullet$$

trebuie ca:

$$\begin{aligned} \frac{a_1 \sin 3\alpha_1}{\alpha_1} + \frac{a_2 \sin 3\alpha_2}{\alpha_2} &= 0 \\ \frac{a_1 \sin 5\alpha_1}{\alpha_1} + \frac{a_2 \sin 5\alpha_2}{\alpha_2} &= 0 \\ \frac{a_1 \sin 7\alpha_1}{\alpha_1} + \frac{a_2 \sin 7\alpha_2}{\alpha_2} &= 0 \end{aligned} \quad (4.44)$$

Se căută o relație între  $\alpha_1$  și  $\alpha_2$  și o relație între  $a_1$  și  $a_2$ . În prece sărăcă trei ecuații, una din ele este identitate. Ca urmare relațiile dintre  $\alpha_1$  și  $\alpha_2$ ,  $a_1$  și  $a_2$ , trebuie căutate în condițiiile în care este satisfăcută relația:

$$\sin n \alpha_1 = \sin n \alpha_2 = 0. \quad (4.45)$$

Avem să presupunem că arcele  $\alpha_1$  și  $\alpha_2$  trebuie să fie măsurabile în unități de  $\frac{\pi}{n}$ , iar raportul lor trebuie să fie un număr întreg, adică:

$$\frac{\alpha_2}{\alpha_1} = K ; \quad (K = 2,3,4,\dots)$$

Arcul total pe care se poate repartiza excitatie este mai mic decat jumătate din intervalul polar, adică:

$$\alpha < \frac{\pi}{2}$$

De aici rezultă că armonica de ordinul 3 nu poate îndeplini condiția anterioară.

Pentru celelalte armonici soluția trebuie căutată pentru valurile din tabelul de mai jos, obținut cu condițiile anterioare:

| $n$ | $\alpha_1 = \frac{1}{n}\pi$                      | $\alpha_2 = \frac{K}{n}\pi$                      |
|-----|--|--|
| 5   | $\frac{1}{5}\pi$                                 | $\frac{2}{5}\pi$                                 |
| 7   | $\frac{1}{7}\pi, \frac{2}{7}\pi$                 | $\frac{2}{7}\pi, \frac{3}{7}\pi$                 |
| 9   | $\frac{1}{9}\pi, \frac{2}{9}\pi, \frac{3}{9}\pi$ | $\frac{2}{9}\pi, \frac{3}{9}\pi, \frac{4}{9}\pi$ |

Pentru a anula o armonică este necesar ca pentru ordinul respectiv amplitudinile să fie egale și de semne opuse.

Cu  $K = 2$  se obține:

$\alpha_1 = \frac{1}{5}\pi$  și  $\alpha_2 = \frac{2}{5}\pi$ , Pentru ca armonica de ordinul  $n$  să se anuleze trebuie ca:

$$\frac{\alpha_2}{\alpha_1} \frac{a_1}{a_2} \sin n\alpha_1 + \sin n\alpha_2 = 0$$

Pentru  $K = 2$  obținem:

$$2 \frac{a_1}{a_2} \sin n\alpha_1 + \sin n\alpha_2 = 0 \quad (4.46)$$

Pentru  $\alpha_1 = \frac{1}{5}\pi$  și  $\alpha_2 = \frac{2}{5}\pi$  armonica de ordinul 5 nu există și pentru că armonica de ordinul 3 să se anuleze, trebuie ca:

$$2 \frac{a_1}{a_2} \sin 3 \cdot \frac{1}{5}\pi + \sin 3 \cdot \frac{2}{5}\pi = 0$$

adică

$$2 \frac{a_1}{a_2} \cdot 0,951 - 0,5877 = 0$$

de unde rezultă:

$$2 \frac{a_1}{a_2} = 0,618 \quad \text{și} \quad \frac{a_1}{a_2} = 0,309 \quad (4.47)$$

Solutiile analizate anulează și armonicile de ordinul 7, 3+lo K, 5+lo K, 7+lo K, să cum se verifică cu relația (4.46):

| n                      | 3                | 5      | 7                 | 3+lo K            | 5+lo K  | 7+lo K            |
|------------------------|------------------|--------|-------------------|-------------------|---------|-------------------|
| $n\alpha_1$            | $\frac{3}{5}\pi$ | $\pi$  | $\frac{7}{5}\pi$  | $\frac{23}{5}\pi$ | $5\pi$  | $\frac{27}{5}\pi$ |
| $0,618 \sin n\alpha_1$ | 0,5377           | 0      | -0,5877           | 0,5877            | 0       | -0,5877           |
| $n\alpha_2$            | $\frac{6}{5}\pi$ | $2\pi$ | $\frac{14}{5}\pi$ | $\frac{46}{5}\pi$ | $10\pi$ | $\frac{54}{5}\pi$ |
| $\sin n\alpha_2$       | -0,5877          | 0      | 0,5877            | -0,5877           | 0       | 0,5877            |

Luă  $\frac{\alpha_2}{\alpha_1} = K = 2$  înseamnă că din totalul crestăturilor, jumătate se iau cu dimensiuni diferite (fig.4.5) iar arcul pe care se extind crestăturile cu dimensiune mai mică, este egal cu arcul pe care se extind crestăturile cu dimensiune mai mare.

Relativ la înălțimea crestăturilor, considerind aceeași densitate de curent pentru toate conductoarele înfășurării de excitatie, raportul înălțimilor va fi:

$$K_c = \frac{h_c \text{ mare}}{h_c \text{ mic}} = \frac{\frac{a_1}{\alpha_1} + \frac{a_2}{\alpha_2}}{\frac{a_2}{\alpha_2}} = \frac{a_1}{a_2} \frac{\alpha_2}{\alpha_1} + 1$$

care în cazul considerat este:

$$K_c = 0,618 + 1 = 1,618$$

La aceeași lățime a crestăturilor, raportul dintre numărul de spire din crestăturile înalte și numărul de spire din crestăturile mai mici, trebuie să fie egal cu  $K_c$ .

Deoarece numărul de spire trebuie să fie întreg, rapoartele de numere de spire 13:8 și 8:5 sunt cele mai apropiate de valoarea rezultată pentru  $K_c$ .

Ca urmare, cu rapoartele numerelor de spire tehnice realizabile  $K_{cl} = 1,625$  și  $K_{c2} = 1,6$ , armonicele de ordinul 3, 5, 7, 3+loK, 5+loK și 7+loK vor fi foarte mici. Acestea nu lipsesc efectiv din spectrul cimpului tocmai datorită diferențelor dintre valorile acestor rapoarte și valoarea ideală 1,61%.

Este util de văzut, în aceste condiții practice, cît de mari sunt amplitudinile armonicilor menționate, comparativ cu armonica fundamentală.

Din (4.43), amplitudinea armonică fundamentală se poate scrie:

$$A_1 = \frac{4}{\pi} \frac{a_2}{\alpha_2} \left( \frac{a_1}{a_2} \frac{\alpha_2}{\alpha_1} \sin \alpha_1 + \sin \alpha_2 \right) \quad (4.48)$$

iar din (4.42) rezultă pentru amplitudinea armonică de ordinul n:

$$A_n = \frac{4}{\pi} \frac{1}{n^2} \frac{a_2}{\alpha_2} \left( \frac{a_1}{a_2} \frac{\alpha_2}{\alpha_1} \sin n\alpha_1 + \sin n\alpha_2 \right) \quad (4.49)$$

Prin raportare rezultă:

$$\frac{A_n}{A_1} = \frac{1}{n^2} \frac{\frac{a_1}{a_2} \frac{\alpha_2}{\alpha_1} \sin n\alpha_1 + \sin n\alpha_2}{\frac{a_1}{a_2} \frac{\alpha_2}{\alpha_1} \sin \alpha_1 + \sin \alpha_2} \quad (4.50)$$

Calculul termenilor care intră în relația (4.50) pentru cele două valori  $K_{cl}$  și  $K_{c2}$  este prezentat sintetic în tabelul T4.1, în funcție de ordinul armonicăi.

In tabelul T4.1 s-a notat:

$$N_1(n) = \frac{0,625 \sin n\alpha_1 + \sin n\alpha_2}{n^2}$$

$$N_2(n) = \frac{0,6 \sin n\alpha_1 + \sin n\alpha_2}{n^2}$$

Cu acestea, se obțin valoile procentuale ale armonicilor menționate, față de fundamentală, pentru  $K_{cl}$  și  $K_{c2}$ , prezentate în tabelul T.4.2 în funcție de ordinul armonicăi.

Tabelul T4.1

| n                      | 3                      | 5      | 7                      | 23                     | 25      | 27                     |
|------------------------|------------------------|--------|------------------------|------------------------|---------|------------------------|
| $n\omega_1$            | $\frac{3}{5}\pi$       | $\pi$  | $\frac{7}{5}\pi$       | $\frac{23}{5}\pi$      | $5\pi$  | $\frac{27}{5}\pi$      |
| $0,625 \sin n\omega_1$ | 0,59441                | 0      | -0,59441               | 0,59441                | 0       | -0,59441               |
| $0,5 \sin n\omega_1$   | 0,57063                | 0      | -0,57063               | 0,57063                | 0       | -0,57063               |
| $n\omega_2$            | $\frac{6\pi}{5}$       | $2\pi$ | $\frac{14}{5}\pi$      | $\frac{46}{5}\pi$      | $10\pi$ | $\frac{54}{5}\pi$      |
| $N_1(n)$               | $7,361 \cdot 10^{-4}$  | 0      | $-1,352 \cdot 10^{-4}$ | $1,253 \cdot 10^{-5}$  | 0       | $-9,087 \cdot 10^{-6}$ |
| $N_2(n)$               | $-1,305 \cdot 10^{-3}$ | 0      | $3,5 \cdot 10^{-4}$    | $-3,242 \cdot 10^{-5}$ | 0       | $2,352 \cdot 10^{-5}$  |

Tabelul T.4.2.

••

| n                           | 3                | 5                    | 7 | 23                    | 25                  | 27 |
|-----------------------------|------------------|----------------------|---|-----------------------|---------------------|----|
| $A_n (\% \text{ din } A_1)$ | $K_{c1} = 1,615$ | $5,58 \cdot 10^{-2}$ | 0 | $1,025 \cdot 10^{-2}$ | $9,5 \cdot 10^{-4}$ | 0  |
|                             | $K_{c2} = 1,6$   | 0,14                 | 0 | $2,6 \cdot 10^{-2}$   | $2,4 \cdot 10^{-3}$ | 0  |

Din rezultatele acestor calcule rezultă că armonicile 3, 5, 7,  $3+10K$ ,  $5+10K$  și  $7+10K$  sunt practic neglijabile față de fundamentală.

Dacă se face calculul pierderilor suplimentare pentru o astfel de înfășurare, cu coeficienții de pierderi din /122/ și se compară cu rezultatele obținute folosind coeficienții de pierderi obținuti pentru o înfășurare de tip clasic, cu  $\alpha = \frac{\pi}{3}$  sau  $\alpha = \frac{3\pi}{8}$  (valori utilizate în mod obisnuit la mașinile sincrone actuale, cu poli înecati), se ajunge la concluzia că soluția constructivă analizată, micșorează pierderile suplimentare de 5-6 ori. Deși tehnica se complică, avantajul acestei înfășurări este evident din punctul de vedere al randamentului și al încălzirii.

Sunt posibile și alte combinații pentru a obține o înfășurare bizonală, precum și utilizarea unor înfășurări trizonale, la care se pot anula un număr mai mare de armonici, dar necesită o formă constructivă mai complicată.

#### 4.2. DETERMINAREA EXPERIMENTALA A REPARTITIEI CIMPULUI MAGNETIC DIN INTREFIER.

Producerea și transportul energiei electrice cu loc cu pierderi minime cînd tensiunile și curentii au variații sinusoidale în timp. Dacă variația tensiunii nu este sinusoidală, răndamentul și factorul de putere scad.

Toate procesele care apar la conversia electromecanică a energiei într-un generator sincron, depind de repartiția reală a cîmpului magnetic în întrefier. Această repartiție depinde de o serie de factori care nu pot fi luati în întregime în considerare în calculele de proiectare. De aceea o importanță mare are stabilitatea unor metode practice de analiză a cîmpului pentru o mașină deja construită, într-un regim oarecare de funcționare și stabilitatea unor criterii practice de apreciere a unui generator, din punctul de vedere al repartiției cîmpului.

Există stabilite relații de calcul și indicații de determinare a unor mărimi care caracterizează cîmpul magnetic din întrefier, dar dificultățile apar la aplicarea practică a metodelor.

##### 4.2.1. Metode clasice de determinare experimentală a cîmpului magnetic.

Dacă în întrefierul unui generator sincron există un cîmp magnetic cu repartiție sinusoidală în spațiu, cu lungime de undă  $2 \lambda$ , cu amplitudine constantă și care rotește cu viteza unghiulară constantă  $\omega$ /rad/sec./, tensiunea electromotoare induși în înfășurările statorice are o variație sinusoidală în timp, cu frecvență constantă:

$$f = \frac{\omega}{2\pi} = \frac{p\Omega}{2\pi} / \text{Hz} /,$$

unde  $p$  este numărul perechilor de poli, iar  $\omega$  este frecvența unghiulară a tensiunii.

In realitate, repartizarea inductiei nu este sinusoidală și prin urmare cimpul magnetic din întrefier nu este o undă sinusoidală în spațiu, cu amplitudine constantă în timp. În caz general se poate exprima sub forma unei serii duble de armonici, de timp și de spațiu ale inductiei, sub forma:

$$B = \sum_{K=-\infty}^{\infty} \sum_{i=1}^{\infty} B_{ik} \sin(i\omega t + \frac{K\pi}{C} x + \varphi_{ik}) \quad (4.51)$$

unde:

$B_{ik}$  - amplitudinea armonicii cimpului de ordinul  $i$  de timp și de ordinul  $K$  de spațiu;

$\omega$  - frecvența unghiulară;

$x$  - coordonata curentă a punctului considerat pe circumferința interioară a statorului.

$C$  - pasul polar;

$\varphi_{ik}$  - fază armonicii de ordinul  $i$  de timp și  $K$  de spațiu.

••

Principalele metode de determinare a cimpului magnetic din întrefierul mașinilor electrice de curent alternativ /12/, /24/, /36/, /60/, /107/ prevăd măsurători sau măsurători combinate cu calcule analitice. Măsurările se referă la instalații (sonde) plasate pe circumferința mașinii, cu unul sau mai multe conductoare de măsură, paralele cu axa mașinii, sau cu o anumită înclinație față de ea. T.e.m. indușă în astfel de spire, este suma t.e.m. de diferite frecvențe, fiecare din ele induse de anumite armonici de spațiu rotitoare în sens direct și în sens invers. Atât armonicele de spațiu cât și cele de timp ale cimpului conduc la componente armonice de timp în tensiunile induse. Deci sondele de acest tip nu fac distincție între armonicele de spațiu și armonicele de timp. Ca urmare analiza Fourier a tensiunilor obținute prin aceste sonda, dă numai informații globale despre mai multe componente de spațiu și de timp ale cimpului.

#### 4.2.2. Metodă experimentală de studiu a cimpului din întrefier cu separarea numerică a armonicilor - metoda filtrelor de spațiu.

Pentru a înălța dezavantajele menționate, în ultimul timp s-a întreprins cercutări pentru a obține pe căile experimentală influență unui număr restrins de armonici de spațiu ale inductiei din

întrefier și separarea armonicilor de spațiu de cele de timp /5/, /6/, /7/, /8/, /10/, /45/, /47/.

De asemenea o atenție deosebită este acordată în vederea determinării cîmpurilor suplimentare care apar la mașinile sincrone de putere mare /4/, /5/, /12/, /34/, /100/.

Pentru determinarea și separarea armonicilor de spațiu și de timp ale cîmpului magnetic din întrefier, este util să se folosească sonde de măsură, cu conductoare repartizate sinusoidal pe circumferința statorica, cu lungime de undă (perioadă în spațiu), aceeași cu lungimea de undă a armonicii de spațiu studiate. Astfel de înfășurări de măsură pot fi definite ca "filtre de spațiu" deoarece separă anumite armonici de spațiu ale inductiei magnetice, încît coeficientul global de bobinaj al unui astfel de înfășurări, pentru toate celelalte armonici (în afară celei studiate) este egal cu zero. Din punct de vedere funcțional poate fi făcută o analogie a acestor sonde-filtru, cu filtrele folosite în electronică, tip "trece-bandă", numai în cazul considerat mărimea de referință este inducția magnetică din întrefier.

Descompunerea curbei tensiunii electromotoare induse într-o astfel de înfășurare, construită pentru o anumită armonică de spațiu a cîmpului magnetic, în serie Fourier, dă componente armonice de timp ale cîmpului, care corespund armonicii de spațiu pentru care a fost realizat filtrul. Dacă o anumită armonică de spațiu a cîmpului magnetic din întrefier nu conține armonici de timp, tensiunea înregistrată la filtrul corespunzător are o variație pur sinusoidală.

Pentru determinarea sensului de rotație a cîmpului și pentru a găsi armonicile de spațiu și separat cele de timp ale cîmpului, se folosesc pentru fiecare tip de armonică, simultan două înfășurări de măsură sinusoidale, cu aceeași lungime de undă, defazate una față de alta cu un anumit unghi. Este util, să se defaizeze aceste înfășurări cu un sfert de lungime de undă - fig.4.6.

Prin repartizarea sinusoidală a filtrului de spațiu se înțelege repartizarea conductorului sondei sub forma unei sinusoide, de amplitudine această în planul rezultat din sectionarea cilindrului statoric după generatoare și desfășurarea lui, și care are axa de variație a variabilei independente, după sensul de mișcare al rotorului față de stator.

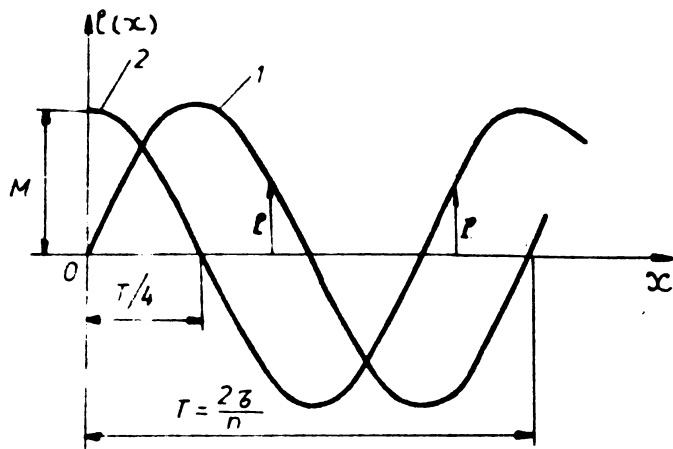


Fig. 4.6. Principiul de repartizare a înfășurărilor de măsură.

O astfel de metodă permite să se determine amplitudinile, fazele și sensul de rotație pentru armonicile de spațiu și de timp ale cîmpului magnetic. ••

Cu forma sinusoidală a înfășurării de măsură acoperind doi pași polari, de amplitudine  $M$  - fig. 4.6, lungime de undă  $T = \frac{2\pi}{n}$ , unde  $n$  este numărul de alternanțe pe intervalul polar și în același timp ordinul armonică pe care dorim să o analizăm, fluxul înfășurării este:

$$\dot{\phi} = \int_0^{nT} B \, ds \quad (4.52)$$

în care se consideră inducția sub forma seriei duble din (4.51).

$$\begin{aligned} \dot{\phi} &= \int_0^{nT} \sum_{K=-\infty}^{\infty} \sum_{i=1}^{\infty} B_{ik} \sin(i\omega t + \frac{K\pi}{2} n + \varphi_{ik}) \, l \, dx = \\ &= \sum_{K=-\infty}^{\infty} \sum_{i=1}^{\infty} \int_0^{nT} B_{ik} \sin(i\omega t + \frac{K\pi}{2} x + \varphi_{ik}) M \sin \frac{n\pi}{2} dx \end{aligned} \quad (4.53)$$

în care s-a luat ordonata filtrului pentru un punct curent de abscisă  $x$  de pe periferia magazinii:

$$l = M \sin \frac{n\pi}{2} x \quad (4.54) \text{ fig. 4.6, care constituie și condi-}$$

ția constructivă a filtrului.

Tensiunea indușă în înfășurarea 1 a filtrului este:

$$e_1 = - \frac{d\Phi}{dt} = - M \sum_{K=-\infty}^{\infty} \sum_{i=1}^{\infty} i \omega B_{ik} \int_0^{nT} \cos(i\omega t + \frac{K\pi}{\zeta} x + \varphi_{ik}) \sin \frac{n\pi}{\zeta} dx \quad (4.55)$$

Pentru armonicele superioare, această tensiune poate fi exprimată după cum urmează:

$$e_1 = \begin{cases} 0 & \text{pt. } n \neq \pm K \\ +M \omega \zeta \sum_{i=1}^{\infty} B_{i(+k)} \sin[i\omega t + \varphi_{i(+k)}] & \text{pt. } n = +K \\ -M \omega \zeta \sum_{i=1}^{\infty} B_{i(-k)} \sin[i\omega t + \varphi_{i(-k)}] & \text{pt. } n = -K \end{cases} \quad (4.56)$$

In aceste relații (4.56) este sintetizată de fapt esența principiului filtrelor de spațiu.

In acest fel, în înfășurarea sinusoidală de ordinul  $n$  (sau în filtrul de spațiu de ordinul  $n$ ), se induc tensiuni electromotoare numai de acele armonici de spațiu ale cîmpului, a căror perioadă de repartizare în spațiu coincide cu perioada (lungimea de undă) acoperită de înfășurarea sinusoidală ( $n = \pm k$ ). Important este că toate celelalte armonici de spațiu ale cîmpului magnetic din întreier nu induc tensiuni electromotoare în această sondă ( $e_1 = 0$  pt.  $n \neq \pm k$ ).

Se poate trage concluzia, conform relației (4.56) că această înfășurare-sondă "filtreză" din multitudinea de armonici de spațiu ale cîmpului, o singură armonică de spațiu  $n = \pm k$ , respectiv la bornele ei obținindu-se tensiunea indușă numai de această armonică de spațiu. Evident că această armonică de spațiu poate să conțină o serie de armonici de timp, care vor deforma curba t.e.m. induse în filtru, dar se va găsi precis că deformarea apare numai datorită armonicilor de timp corespunzătoare a două armonici de spațiu (de același ordin, dar una rotind în sens direct, iar cealaltă rotind în sens invers  $n = \pm k$ ). Se mai poate spune că tensiunea electromotoare indușă în înfășurarea sinusoidală de ordinul

n reprezintă, în caz general, o sumă de armonici de timp, create de armonicile de spațiu ale cîmpului magnetic rotitoare în sens direct, respectiv în sens invers, de același ordin  $n = \pm k$ . Ca urmare dacă se face o analiză Fourier a unei astfel de înregistrarri, fundamentala corespunde repartitiei spațiale a inducției de ordinul  $n$ , iar armonicile superioare corespund armonicilor de timp, continute de armonica de spațiu de ordinul  $n = \pm k$ .

Pentru determinarea sensului de rotație și separarea cîmpurilor pulsatorii, se instalează suplimentar pe lîngă prima înfășurare, o a două înfășurare (înfășurarea 2 din fig.4.6) cu aceeași perioadă  $T = \frac{2\pi}{n}$ , dar defazată față de prima pe circumferința statcrlui.

T.e.m. indușă în această înfășurare defazată față de prima cu un sfert de perioadă  $-T/4$  este:

$$e_2 = -v \sum_{K=-\infty}^{\infty} \sum_{i=1}^{\infty} i \omega B_{ik} \int_0^{2\pi} \cos(i \omega t + \frac{K\pi}{2}) \cos \frac{n\pi}{2} x dx \quad (4.57)$$

$$e_2 = \begin{cases} 0 & \text{pt. } n = \pm k \\ -M \omega \sum_{i=1}^{\infty} i B_{i(+k)} \cos [i \omega t + \varphi_{i(+k)}] & \text{pt. } n = +k \\ -M \omega \sum_{i=1}^{\infty} i B_{i(-k)} \cos [i \omega t + \varphi_{i(-k)}] & \text{pt. } n = -k \end{cases} \quad (4.58)$$

Armonica de spațiu de ordinul  $k$ , induce în prima înfășurare tensiunea electromotoare:

$$e_{1k} = M \omega \sum_{i=1}^{\infty} i [B_{i(+k)} \sin(i \omega t + \varphi_{i(-k)}) - B_{i(-k)} \sin(i \omega t + \varphi_{i(-k)})] \quad (4.59)$$

și în a două înfășurare defazată față de prima cu un sfert de perioadă, tensiunea electromotoare:

$$e_{2k} = -M \omega \sum_{i=1}^{\infty} i [B_{i(+k)} \cos(i \omega t + \varphi_{i(+k)}) + B_{i(-k)} \cos(i \omega t + \varphi_{i(-k)})] \quad (4.60)$$

Tensiunile electromotoare induse de armonicile de ordinul i de timp, corespunzătoare armonicii de ordinul k de spațiu a cîmpului, sunt:

$$e_{liK} = A_{liK} \sin(i\omega t + \varphi_{liK}) \quad (4.61)$$

$$e_{2iK} = A_{2iK} \sin(i\omega t + \varphi_{2iK})$$

Comparind aceste expresii, cu expresiile obținute pentru  $e_{1K}$  și pentru  $e_{2K}$ , rezultă:

$$e_{liK} = A_{liK} \sin(i\omega t + \varphi_{liK}) = M i\omega \left[ B_{i(+K)} \sin(i\omega t + \varphi_{i(+K)}) - B_{i(-K)} \sin(i\omega t + \varphi_{i(-K)}) \right].$$

$$e_{2iK} = A_{2iK} \sin(i\omega t + \varphi_{2iK}) = -M i\omega \left[ B_{i(-K)} \cos(i\omega t + \varphi_{i(+K)}) + B_{i(-K)} \cos(i\omega t + \varphi_{i(-K)}) \right]$$

De aici, notind mărimea:

$$M i\omega \tilde{C} = D_i, \quad (4.62)$$

se obține sistemul:

$$A_{liK} \cos \varphi_{liK} = D_i \left[ B_{i(+K)} \cos \varphi_{i(+K)} - B_{i(-K)} \cos \varphi_{i(-K)} \right]$$

$$A_{liK} \sin \varphi_{liK} = D_i \left[ B_{i(+K)} \sin \varphi_{i(+K)} - B_{i(-K)} \sin \varphi_{i(-K)} \right] \quad (4.63)$$

$$A_{2iK} \cos \varphi_{2iK} = D_i \left[ B_{i(+K)} \sin \varphi_{i(+K)} + B_{i(-K)} \sin \varphi_{i(-K)} \right]$$

$$A_{2iK} \sin \varphi_{2iK} = D_i \left[ -B_{i(+K)} \cos \varphi_{i(+K)} - B_{i(-K)} \cos \varphi_{i(-K)} \right]$$

Rezolvînd acest sistem, se găsesc amplitudinile și fazele armonicilor i de timp, corespunzătoare armonicii de ordinul K de spațiu, ale inducției din întrefier, funcție de amplitudinile și fazele rezultate din înregistrările de la filtre:

$$\varphi_{i(-K)} = \arctg \frac{A_{2iK} \cos \varphi_{2iK} - A_{liK} \sin \varphi_{liK}}{A_{liK} \cos \varphi_{liK} + A_{2iK} \sin \varphi_{2iK}} \quad (4.64)$$

$$\Psi_{i(+K)} = \arctg \frac{A_{1iK} \sin \Psi_{1iK} + A_{2iK} \cos \Psi_{2iK}}{A_{1iK} \cos \Psi_{1iK} - A_{2iK} \sin \Psi_{2iK}} \quad (4.65)$$

$$R_{i(+K)} = \frac{1}{2 D_i} \sqrt{A_{1iK}^2 + A_{2iK}^2 + 2A_{1iK} A_{2iK} \sin(\Psi_{1iK} - \Psi_{2iK})} \quad (4.66)$$

$$R_{i(-K)} = \frac{1}{2 D_i} \sqrt{A_{1iK}^2 + A_{2iK}^2 - 2A_{1iK} A_{2iK} \sin(\Psi_{1iK} - \Psi_{2iK})} \quad (4.67)$$

Relațiile obținute pentru fazele și amplitudinile armonicelor inductiei, (4.64)...(4.67) au o importanță deosebită, indicând de fapt modul de prelucrare a semnalelor obținute de la filtrul de spațiu de ordinul k. Mărimea  $D_i$  depinde de ordinul armonicăi de timp considerate și de dimensiunile geometrice ale filtrului, iar mărurile  $A_{1iK}$ ,  $A_{2iK}$ ,  $\Psi_{1iK}$  și  $\Psi_{2iK}$ , rezultă din analiza Fourier a semnalelor culese de la cele două filtre de spatiu de ordinul K (defazate unul față de celălalt cu un sfert de perioadă).

Cind  $B_{i(+K)} = R_{i(-K)} = B_{iK}^{**}$ , au loc cîmpuri pulsatorii de amplitudine 2  $R_{iK}$ . Dacă una din componentelete cîmpului  $B_{i(+K)}$ , sau  $B_{i(-K)}$  este egală cu zero, are loc numai cîmp invîrtitor într-un sens sau altul cu amplitudinea  $B_{i(-K)}$ , sau  $R_{i(+K)}$ .

Analiza componentelor armonice de spațiu și de timp ale cîmpului magnetic din întrefierul turbo și hidrogeneratoarelor și a altor mașini de curent alternativ, cu metoda prezentată, poate fi făcută în oricare din regimurile: sincron, asincron, simetric și nesimetric. În afară de această infăsuările montate (filtrele de spațiu), pot fi folosite pentru diverse măsurători în regimuri transzistorii și stabilizate. Pot fi determinate anumite elemente de dispersie, componente ale pierderilor suplimentare, cupluri electro-magnetice, repartitia armonicilor pe grosimea întrefierului și pe dimensiunea axială a mașinii, aprecieri asupra dependenței parametrilor electromagnetici în raport cu frecvența, separarea dispersiilor și.

La considerarea numai a cîmpului magnetic de excitărie (funcționare în vol a mașinii), avînd în vedere o repartitie spațială periodică a inductiei care rotește numai în sens direct, relațiile se simplifică, deoarece  $R_{i(-K)} = 0$  și ca urmare rezultă:

$$A_{liK} \cos \Psi_{iK} = D_i B_{i(+K)} \cos \Psi_{i(+K)} \quad (4.68)$$

Analizînd simplificările care apar și în celelalte relații, se poate scrie:

$$B_{i(+K)} = \frac{A_{liK}}{D_i} = \frac{A_{liK}}{M_i \omega} \quad (4.69)$$

$$\Psi_{i(+K)} = \Psi_{i(+K)} \quad (4.70)$$

De aici rezultă necesitatea, ca în acest caz particular, în întregier să se instaleze nu două filtre identice (dar decalate cu un sfert de perioadă) pentru fiecare armonică de spațiu, ci un singur filtru pentru fiecare armonică de spațiu.

O problemă aparte este legată de frecvență de variație a înregistrărilor de la filtre, care este dată de turăția rotii polare. Dacă această turăție se apropie de turăție nominală, frecvența oscilațiilor înregistrate la filtrele pentru armonicile superioare de spațiu devine aşa de ridicată încât, pentru o prelucrare eficientă a oscilogramelor să fi necesară o viteză de derulare a hîrtiei fotosensibile care depășește performanțele oscilografelor actuale. Precizări în legătură cu acest aspect sunt date în partea experimentală.

#### 4.2.3. Aplicarea practică a metodei filtrelor de spațiu.

##### Programul de prelucrare numerică a înregistrărilor. Rezultate obținute.

Metoda prezentată, pentru separarea armonicilor de spațiu, inițial a fost aplicată în cadrul contractului de cercetare științifică nr. 95/1976-1979, încheiat între Institutul politehnic "Traian Vuia" Timișoara - I.S. Regița și Intreprinderea Construcțoare de Mașini Regița. Obiectivul contractului a fost pe de o parte studiul posibilităților de încercare a mașinilor electrice de medie și mare putere pe noul stand de probă al secției de mașini electrice, și pe de altă parte, modernizarea metodelor și tehnicilor de determinare a caracteristicilor și parametrilor mașinilor electrice din profilul de fabricație al întreprinderii (mașini de putere mare, unicate, sau serii mici). Metoda a fost testată pe generatorul sincron din grupul de alimentare a standului cu caracteristicile:

$$n_n = 500 \text{ rot/min.}; P = 6 \text{ MW}, f = 50 \text{ Hz}; 2\pi\bar{\ell} = \sqrt{1600 \text{ mm}}$$

In urma analizei rezultatelor obtinute /23/, /25/, ulterior metoda s-a aplicat /40/ intr-o formă mai compactă, la magima sincronă de 5000 kW, prezentată la paragraful 3.2.3, din necesitatea de a corela metoda de determinare a parametrilor electroenergetici echivalenți după cele două axe din probe de regim tranzitoriu, cu structura cîmpului din întrefier.

Deoarece curba de repartitie a cîmpului magnetic în întrefier este o curbă simetrică, la dezvoltarea în serie Fourier apar numai armonici impare, ceea ce face să se utilizeze filtre de spațiu de ordinul  $1, 3, 5, \dots, 2n+1$ .

Măsurările au fost efectuate la funcționarea în gol a mașinii, pentru determinarea structurii cîmpului magnetic de excitație, considerindu-se armonicile care ar fi posibil să apară, rotitoare în sens direct. De aceea pentru fiecare armonică de spațiu s-a folosit o singură înfășurare sinusoidală.

In urma consultărilor cu proiectantul mașinii CCSITEH Reșiță și cu fabrica în care mașina a fost realizată (I.C.M.-Reșiță), s-a considerat suficientă analiza din punctul de vedere al armonicilor de spațiu de ordinul 1, 3, 5, 7 și 9. Filtrul realizat practic pentru armonicile de ordinul 1, 3, 5 este prezentat în fotografie din fig. 4.7 iar filtrul pentru armonicile de ordinul 7 și 9 este prezentat în fotografie din fig. 4.8. Din motive tehnologice nu s-au putut păsa toate filtrele pe același suport. In fig.4.8 se observă placarea în plus a unei înfășurări dreptunghiulare, similară cu sistemul clasic de investigare a cîmpului, care are înălțimea aceeasi cu amplitudinea filtrelor, adică M și deschiderea egală cu pasul polar  $\bar{\ell}$ . Cele cinci filtre cu repartizare sinusoidală în spațiu au deschiderea (perioada):

$$\frac{2\bar{\ell}}{3}, \frac{2\bar{\ell}}{5}, \frac{2\bar{\ell}}{7}, \frac{2\bar{\ell}}{9}.$$

Tehnica de realizare a filtrelor prezentate în fig.4.7 și 4.8 este relativ simplă și constă în următoarele:

- Pe hîrtie milimetrică se precizează punctele care respectă variația sinusoidală cu perioada considerată  $\frac{2\bar{\ell}}{n}$ , n impar. Punctele se calculează într-un număr suficient de mare, pentru ca traseul conductoarelor să nu introducă erori (în cazul considerat, pentru fiecare filtru s-a fixat punctele calculate corespunzînd unui număr de 80 - 300 de argumente).

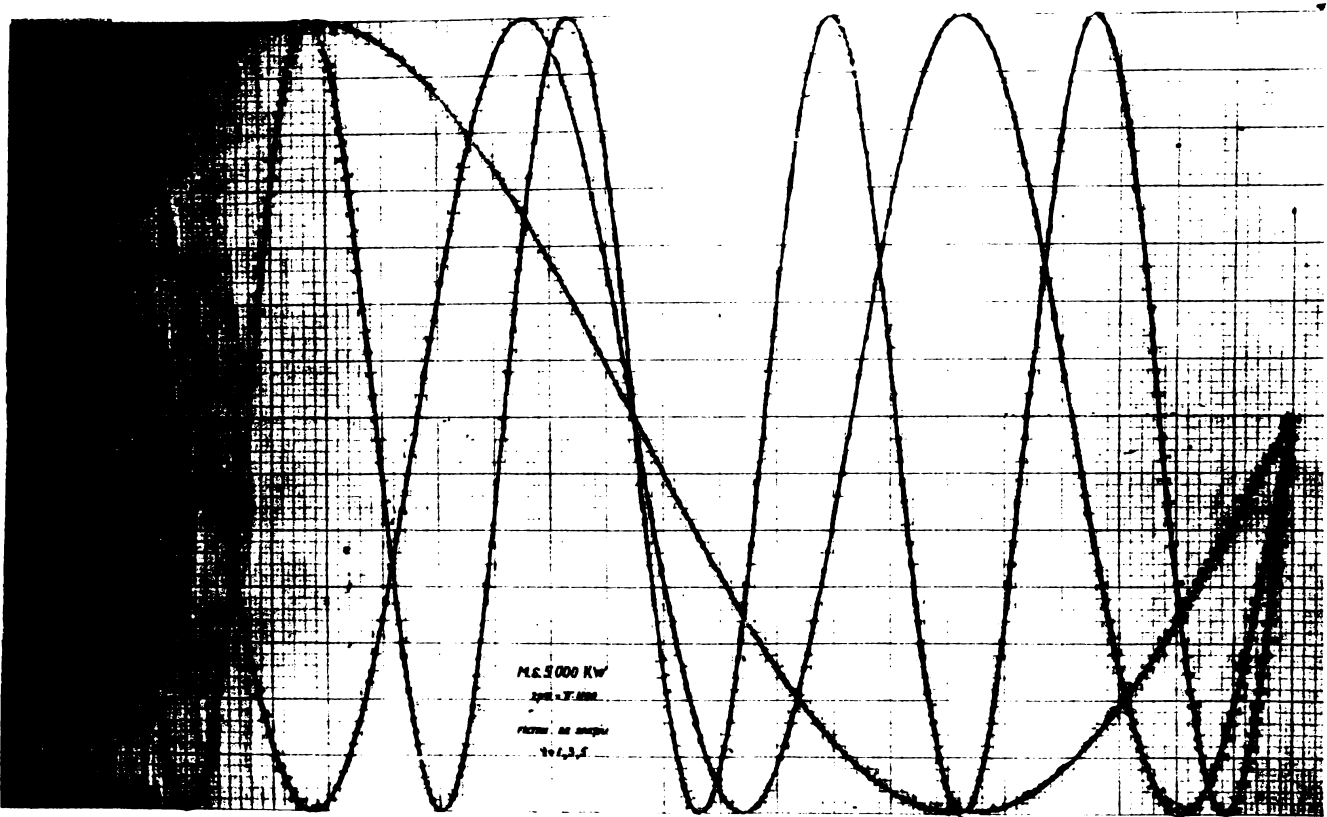


Fig.4.7. Filtrul de spațiu pentru armonicile de ordinul 1, 5, 5 .

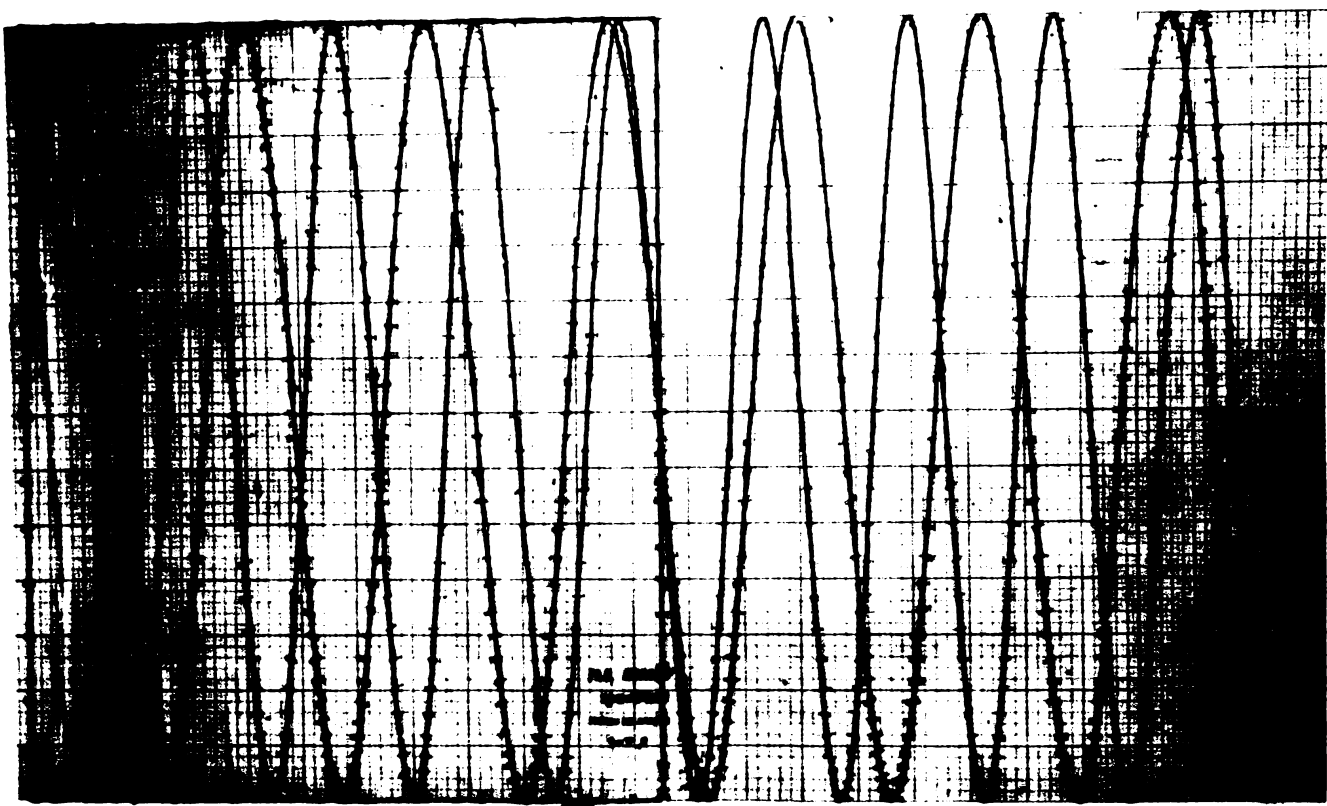


Fig.4.8. Filtrul de spațiu pentru armonicile de ordinul 7, 9.

- Amplitudinea filtrului,  $M$ , se alege arbitrar. Ea se corelează orientativ cu frecvența la care se preconizează că se vor efectua măsurările și cu sensibilitatea buclelor de oscilograf. În general este bine să se aleagă mai mare pentru a obține oscilogramme de bună calitate (semnal mai mare). Nu este recomandabil să se utilizeze pentru dublul amplitudinii  $2M$  totă lungimea axială a maginii, deoarece în zona capetelor cimpul nu este plan paralel /24/, /34/, /100/, /101/, /121/ și apar dificultăți la interpretarea corectă a rezultatelor.

Pe de altă parte, alegind un filtru cu amplitudine nu prea mare, prin deplasarea sa axială, din diverse măsurători, pot fi făcute comparații între structura armonică a cimpului în zona centrală și în zona capetelor maginii ;

- În punctele calculate se fixează conductorul în care se vor induce tensiunile respective. S-a folosit în acest scop conductor de cupru izolat cu mătase, cu diametrul  $0,15$  mm. Această fixare este provizorie și trebuie făcută cu deosebită atenție, urmărind cu conductorul flexibil punctele și traseul sinusoidei precise pe hirtie milimetrică. Fixarea se poate face cu un material carecăre, care poate fi înălțurat după fixarea definitivă a filtrului.

- Se fixează definitiv filtrul cu lac electroizolant, în lungul conductorului. În această fază au fost făcute fotografiile din fig.4.7 și fig.4.8.

- Se scoad capetele de legătură ale filtrului, prin perforarea hirtiei milimetrice, chiar pe axa de zero a reprezentării sinusoidei, în spatele suportului. Undeva în apropierea mijlocului  $x$ , se scoad capetele parechi, răscucite unul lîngă celălalt, pentru fiecare filtru. Este necesar ca traseul conductorului separat al unui filtru să nu aibă abatere față de sinusoide în direcție axială. Pe direcția axială capetele vor avea un traseu identic. Aceste măsuri se iau pentru a înălța inducerea unor tensiuni suplimentare în conductoarele de legătură, între traseul sinusoidal al conductorului filtrului și sistemul de măsură (oscilograf).

- Se pulverizează pe totă suprafața filtrului lac electroisolant, peste care se prinde imediat un material electroizolant transparent (de exemplu hirtie de condensator).

- Se repetă operația pentru încă un strat de lac și hîrtie. Este necesar un material transparent pentru a avea posibilitatea controlului vizual permanent al integrității și poziționării corecte a filtrului. Se poate folosi și folia "milar" în locul hîrtiei de condensator, mult mai rezistentă, dar pentru care este necesar un adeziv special.

- Pentru protejarea capetelor de ieșire din filtru, care au fost scoase în spatele hîrtiei milimetrice și pentru consolidarea filtrului, acesta se prinde cu un lac electroizolent pe un suport de prespân sau nuvolit.

- Se cositoresc capetele de ieșire și se lipesc la conductoarele dițate (cu diametrul aproximativ 0,2 mm), cu care se face legătura la sistemul de înregistrare.

- Filtrul astfel obținut se fixează prin lipire pe circumferința interioară a statorului, cu grijă, pentru a evita eventualele abateri axiale care ar conduce la erori. Aceasta deoarece în cazul așezării incorecte a filtrului, cu abateri axiale, deplasarea undei cîmpului studiat nu se mai face strict în direcția axei zero a sinusoidei filtrului.

In fig.4.9 este prezentată plasarea filtrului pentru armonnicile de spațiu de ordinul 1, 3, 5 pe circumferința statorului mașinii de 5000 kW.

In fig.4.10 este prezentată plasarea filtrului pentru armonnicile de spațiu de ordinul 7, 9 și înfășurarea dreptunghiulară cu deschidere egală cu pasul polar. In ambele fotografii se observă modul de scoatere a capetelor filtrului. Fotografiile au fost făcute înainte de introducerea rotorului (care a fost prezentat în fig. 3.20) în hala de montaj a mașinii sincrone.

Semnalele obținute de la cele șase înfășurări au fost înregistrate cu ajutorul unui oscilograf.

Încercările 3-au efectuat în gol, cu frecvențe mici (limitate de posibilitățile de alimentare ale grupului convertizor + standului care are 6 MW). S-au făcut mai multe înregistrări cu frecvențe între 6 Hz și 10 Hz. Calculul exact al frecvenței se poate face exact pe baza oscilogramelor în care sunt precizate intervalele de timp, marcate echidistant pe hîrtie fotosensibilă de către baza internă de timp a oscilografului (la majoritatea înregistrărilor 0,01 s).

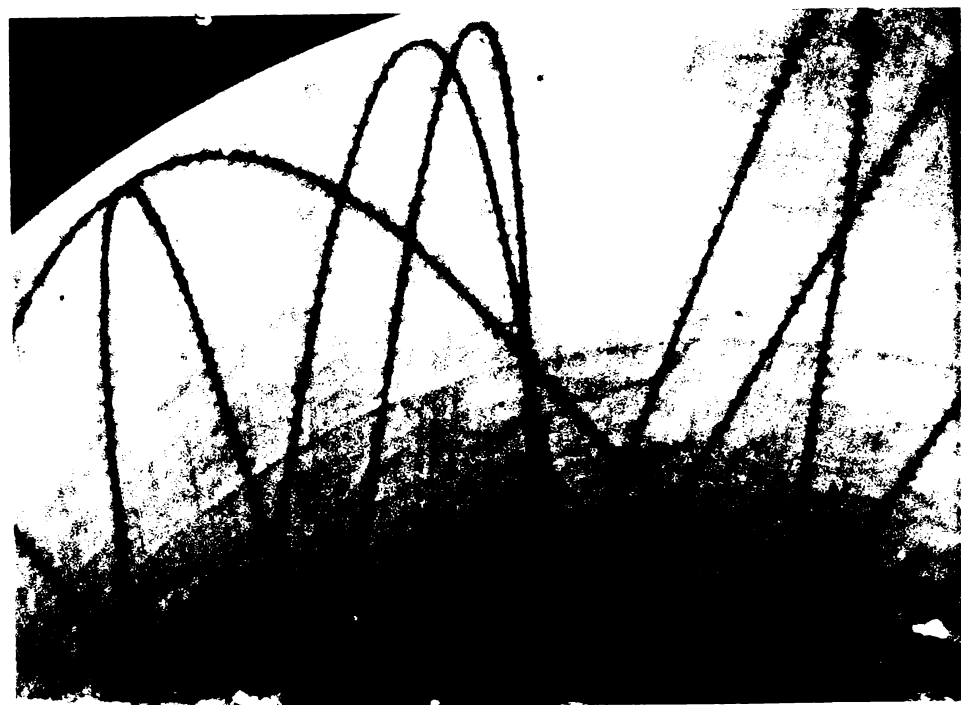


Fig.4.9. Plasarea filtrului de spatiu de ordinul 5,5 pe circumferinta interioara a statorului magazinii de 5 MW.



Fig.4.10. Plasarea filtrului de spatiu de ordinul 7,9 si a liniei murei dreptanzintare pe circumferinta interioara a statorului magazinii de 5 MW.

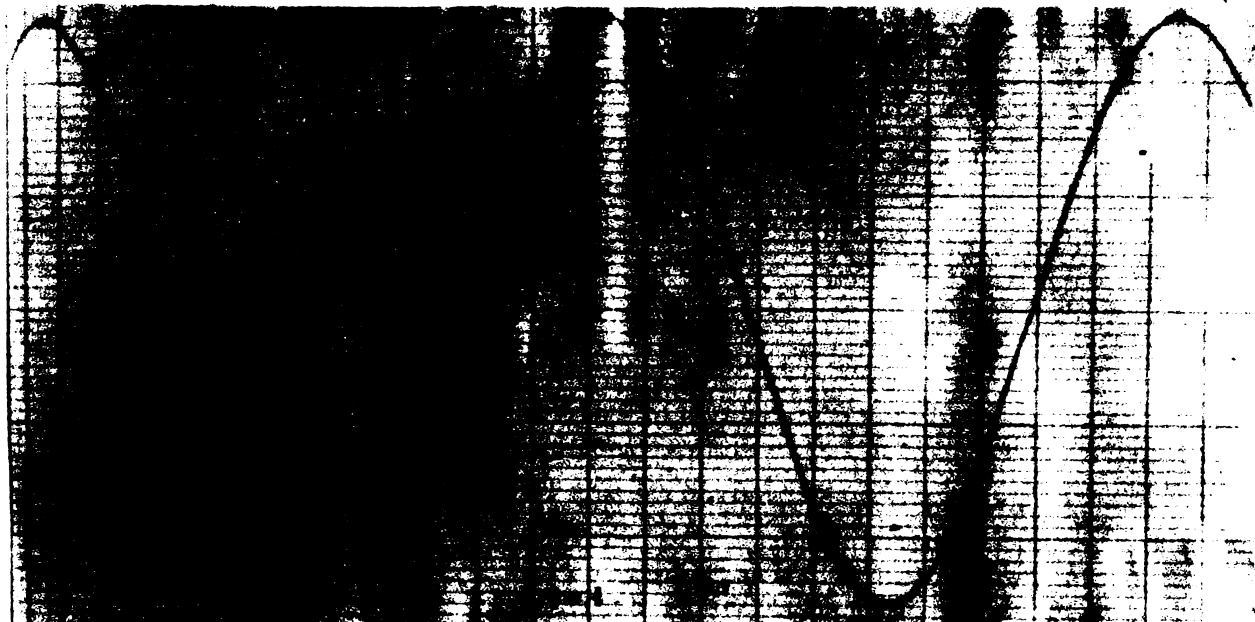


Fig.4.11. Oscilograma obținută la filtrul de ordinul 1.



Fig.4.12. Oscilograma obținută la filtrul de ordinul 3.



Fig.4.13. Oscilograma obținută la filtrul de ordinul 5.

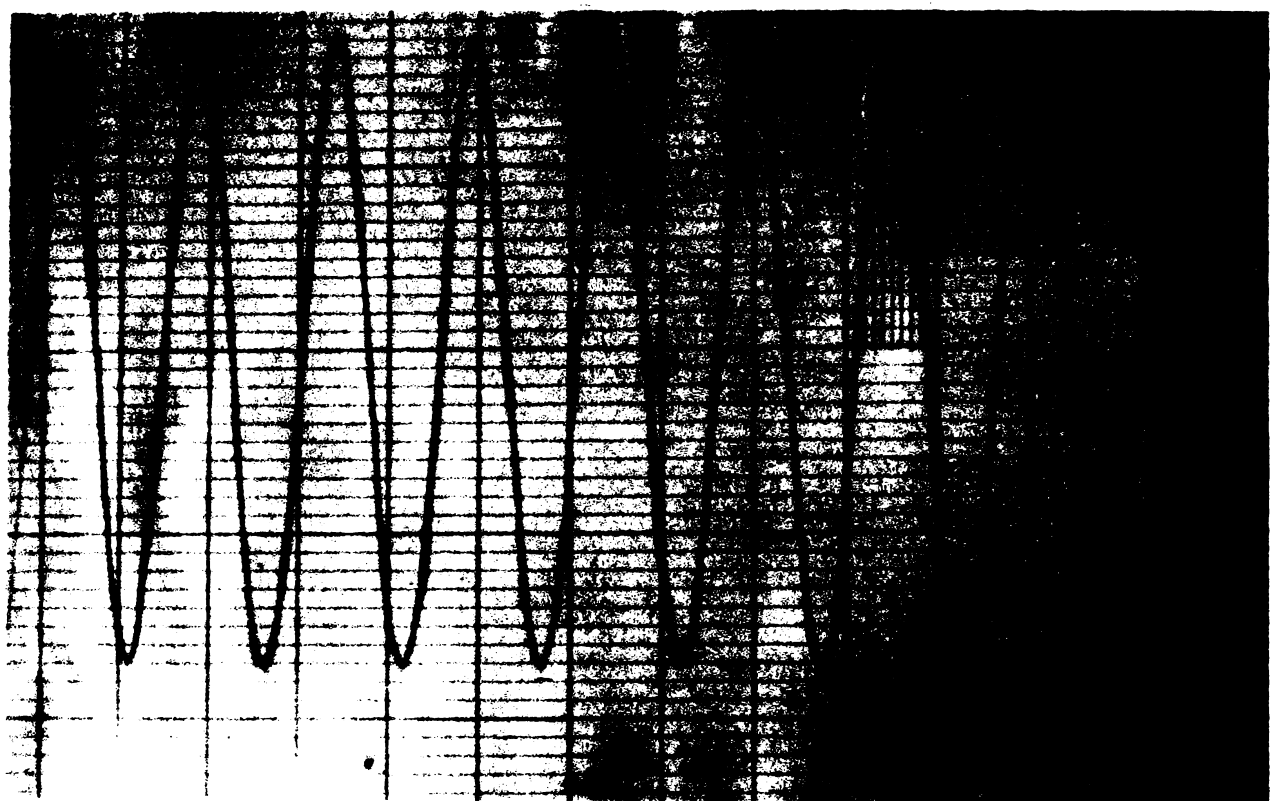


Fig.4.14. Oscilogrāma obtinută la filtrul de ordinul 7.



Fig.4.15. Oscilogrāma obtinută la filtrul de ordinul 9.

In fig.4.11 este prezentată oscilograma obținută la filtrul pentru fundamentala de spațiu. Condiția de frecvență constantă în timpul măsurătorilor nu este rigidă, decarece pentru o analiză și interpretare corectă a rezultatelor este suficientă o oscilație care să aibă două alternanțe care să se extindă pe același interval de timp. In fig.4.12 și în fig.4.13 sunt prezentate oscilațiile obținute de la filtrul pentru armonica spatială de ordinul 3 și respectiv 5, a cîmpului magnetic. Oscilația pentru armonica de ordinul 5 a fost mult mărită deoarece această armonică a cîmpului a avut, așa cum rezultă și din programul exact de calcul, o pondere mică.

In fig.4.14 și fig.4.15 sunt date oscilogramele obținute de la al doilea filtru de spațiu care corespund armonicilor de spațiu de ordinul 7, ale inducției, respectiv de ordinul 9.

Fiecare înregistrare se descompune în serie Fourier pentru separarea armonicii de spațiu corespunzătoare, de armonicile de timp pe care ar putea să le conțină.

In ordinograma folosită pentru prelucrarea înregistrărilor cu un program în limbaj FORTTRAN IV s-au folosit următoarele notări (Anexa 3) :

M - numărul de ordonate echidistante  $Y_1(J)$ , determinate pe o perioadă din oscilograma t.e.m. induse în înfășurarea pentru armonica de spațiu de ordinul 1 (fundamentală), cu deschiderea  $2\pi$ .

$M_3$  - numărul de ordonate echidistante  $Y_3(J)$ , determinate pe o perioadă din oscilograma t.e.m. induse în înfășurarea pentru armonica de spațiu de ordinul 3, cu deschiderea  $2\pi/3$ .

$M_5$  - numărul de ordonate echidistante  $Y_5(J)$  determinate pe o perioadă din oscilograma t.e.m. induse în înfășurarea pentru filtrarea armonică de spațiu a inducției de ordinul 5, cu deschiderea  $2\pi/5$ .

$M_7$  - numărul de ordonate echidistante  $Y_7(J)$  determinate pe o perioadă din oscilograma t.e.m. induse în înfășurarea pentru filtrarea armonică de ordinul 7, cu deschiderea  $2\pi/7$ .

$M_9$  - numărul de ordonate echidistante  $Y_9(J)$ , din înregistrarea obținută la filtrul de ordinul 9, cu deschiderea  $\frac{2\pi}{9}$ .

N - numărul de armonici de timp pe care dorim să le cunoaștem pentru fiecare armonică de spațiu considerată. În cazul concret al programului utilizat N=15.

EM - amplitudinea repartiției sinusoidale pe circumferința mașinii a filtrelor (se observă în fig.4.7 și 4.8).

$A_o(I)$  componenta continuă a repartiției cîmpului (de regulă este nulă).

$A(I)$  - amplitudinea armonică de ordinul I a unei anumite înregistrări.

(I) - defazajul față de fundamentală.

Se observă din figurile 4.11...4.15 că aşa cum era de așteptat, la funcționarea în gol, unda spațială a inducției se poate considera că practic nu pulsează în timp. Aceasta deoarece de la fiecare filtru semnalul cules este sinusoidal, ceea ce înseamnă că fiecare armonică de spațiu a inducției are un conținut foarte scăzut în armonici de timp (deformarea eventuală a semnalului cules de la un filtru are drept cauză numai armonicile de timp corespunzătoare armonicii de spațiu a cîmpului pentru care a fost construită înășurarea).

Cu notațiile făcute, în program, fiecare înregistrare corespunzătoare unei armonici de spațiu se consideră o dezvoltare în serie Fourier, sub forma:

$$\begin{aligned} Y(t) &= A_o + \sum_{i=1}^{\infty} A_i \sin(i\omega t - \varphi_i) = \\ &= A_o + \sum_{i=1}^{\infty} B_i \sin i\omega t + \sum_{i=1}^{\infty} C_i \cos i\omega t \quad (4.71) \end{aligned}$$

Înainte de fiecare prelucrare a rezultatelor pentru controlul citirilor corespunzătoare unei anumite armonici de spațiu s-au dat tabelele de ordonate.

Pentru fiecare înregistrare obținută de la către un filtru, deci pentru fiecare armonică de spațiu, rezultatele sunt trecute într-un tabel (TA3.1...TA3.5).

Sunt date pe coloane în aceste tabele, următoarele mărimi: ordinul armonicăi, amplitudinea, fază și valoarea procentuală a armonicăi (a se vedea tabelele TA3.1...TA3.5 din anexa 3).

Pe linie, datele din tabele sunt următoarele semnificații:

- Prima linie este rezervată componentei continue a cîmpului care de regulă este nulă; această linie nu este numerotată cu număr de ordine. Pentru mașina testată aceste componente sunt **foste nule la toate filtrele.**

- Linia următoare, de la care începe numerotarea, cu numărul de ordine 1, reprezintă fundamentala înregistrării pentru filtrul respectiv. Din punct de vedere fizic aceasta este armonica de spațiu, pe care filtrul este capabil să o separe. Ea reprezintă deci armonica de spațiu a cîmpului magnetic din întrefier, de același ordin cu ordinul filtrului la care s-a făcut înregistrarea respectivă.

- Celelalte linii reprezintă armonici de timp corespunzătoare armonicii de spațiu pentru care a fost construit filtrul.

Calculul procentual din ultima coloană s-a făcut considerind ca mărimea de bază pentru raportare inducția calculată în prima linie (deci armonica de spațiu, ca amplitudine, pentru filtrul respectiv).

Analizînd rezultatele din tabelele TA3.1 - TA3.5 rezultă că variația în timp a repartițiilor spațiale pentru inducție este practic neglijabilă. Aici trebuie precizat că pentru armonicile de spațiu de ordin mai mare (7,9) precizia de determinare a armonicilor superioare de timp, corespunzătoare acestor armonici de spațiu, este ceva mai scăzută, deoarece pe de o parte turăția roții polare nu a putut fi micșorată sub o anumită limită, iar viteza de derulare a hîrtiei nu a putut fi mărită peste posibilitățile instrumentului de lucru (1 m/s cu antrenarea hîrtiei de către mecanismul interior). Această precizare se referă la armonicile de timp de ordin mai mare decât 11 și corespunzînd armonicilor de spațiu de ordin mai mare decât 7. Acest aspect poate fi compensat, fie din înregistrări la vîze ridicate prin antrenarea exterioară a hîrtiei, fie prin înregistrări făcute la oprirea liberă a mașinii, deci la frecvență scăzută, la care nu se mai pune această problemă, ultima metodă fiind mai simplă.

Practic mașina este simetrică din punct de vedere magnetic și poate fi aplicată metoda de determinare numerică a parametrilor electromagnetici echivalenți după cele două axe, prezentată pentru aceeași mașină, în capitolele precedente.

Pe de altă parte din compararea valorilor absolute ale amplitudinilor spațiale ale inductiei, linia numerotată cu 1, coloana a doua din fiecare tabel, TA3.1 - TA3.5, rezultă că repartitia în spatiu a inductiei de excitație la această masină este destul de deformată.

Pentru a aprecia deformarea curbei de repartitie a inductiei în întregier, la finele programului s-a prezentat tabelul TA3.6 în care figurează amplitudinile armonicilor de spatiu ale inductiei și mărimea procentuală a valorilor efective pentru fiecare armonică, determinate față de valoarea efectivă a inductiei rezultante, reziduul deformant al repartitiei inductiei și factorul de distorsionare a cîmpului.

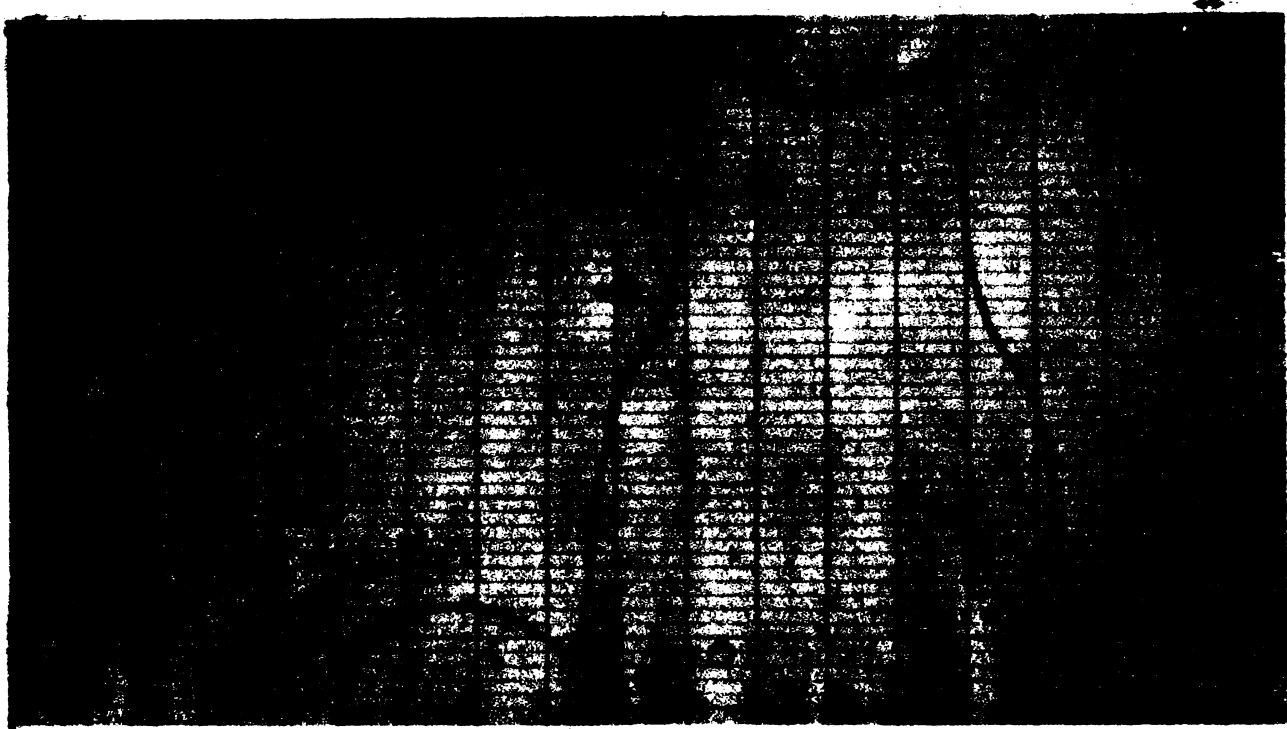


Fig.4.16. Oscilograma corespunzătoare înfășurării dreptunghiulare.

Abaterea repartitiei cîmpului de excitație de la o sinusoidă rezultă și din înregistrarea tensiunii la bornele înfășurării dreptunghiulare plesată pe al doilea filtru - fig.4.8, înregistrare prezentată în fig.4.16. Deformarea destul de puternică a t.e.m. indușă într-o spiră cu deschiderea egală cu pasul polar, are drept cauză realizarea polului proeminent (profilul tălpiei polare), după un arc de cerc cu rază mai mică decît raza rotorului, care aproximează destul de grosier repartizarea optimă găsită - relația 4.24. Aceasta nu conduce la aspecte deficiente deosebite în cazul utilizării maginii sincrone ca motor.

Din modul de aplicare a metodei și rezultatele obținute rezultă o serie de concluzii referitoare la determinarea în acest mod a cîmpului magnetic din întrefier.

Se remarcă faptul că metoda este cu atît mai precisă cu cît mașina are dimensiuni mai mari. Pentru o mașină cu dimensiuni mici, precizia de execuție a filtrelor scade. În această situație și semnalul obținut este mai slab și în absența unor bucle de înregistrare suficient de sensibile, prelucrarea oscilogramelor implică erori mai mari. De fapt metoda se justifică la mașinile de putere mare, pe de o parte datorită faptului că structura cîmpului este legată de o serie de aspecte energetice importante, iar pe de altă parte din punctul de vedere al determinării parametrilor prin metodologia prezentată anterior.

Din rezultatele obținute, se observă că nu apare componentă continuă. Apariția unor componente de tip  $A_0$  în oscilograme, respectiv alternanțe inegale la semnalele culese, ar indica prezența unor nesimetrii geometrice, respectiv magnetice la doi poli succesiivi.

Datorită posibilității de separare a armonicilor de spațiu de cele de timp, această metodă este mai avantajoasă decât cele-lalte metode bazate pe alte tipuri de sonde, care nu fac distincție între armonicile de spațiu și cele de timp.

Separarea armonicilor de spațiu de cele de timp nu este condiționată de regimul de funcționare. De asemenea această separare poate fi făcută și la alte tipuri de mașini de curent alternativ.

Realizarea practică și instalarea filtrelor nu implică dificultăți iar prelucrarea rezultatelor se face eficient cu ajutorul programului prezentat. Aceasta se poate adapta ușor de la o mașină la alta. Dacă este necesar programul poate fi completat cu determinarea și a criteriilor de calitate a curbei de repartiție prezentate în (4.3) și (4.4).

După instalare, filtrul nu deranjează funcționarea normală a mașinii, putind fi lăsat și la funcționarea în centrală pentru înregistrări în diverse regimuri de încercare.

## C a p i t o l u l 5

### C O N C L U Z I I

Iucrarea a fost elaborată în vederea soluționării unor probleme actuale și de perspectivă care au apărut la realizarea mașinilor sincrone de mare putere, care se proiectează și se fabrică la noi în țară. S-au avut în considerare mașinile sincrone de putere mare, unicate, comenzi speciale sau serii mici, care sunt proiectate de către Centrul de Cercetare Științifică și Inginerie Tehnologică pentru Echipamente Hidroenergetice Reșița, executate de Intreprinderea de Construcții de Mașini Reșița, și care echipează obiective importante ale economiei naționale.

La aceste mașini, prin specificul lor, au apărut următoarele probleme:

a) Datorită varietății constructive și numărului mic de mașini de același tip (în majoritatea cazurilor unicate), apar dificultăți la generalizarea unor aspecte legate de determinarea unor parametri și caracteristici numai prin calcule de proiectare sau prin anumite probe care s-au putut efectua pe stand și la beneficiar.

b) Datorită puterii unitare mari, metodele clasice de încercare nu sunt aplicabile în majoritatea cazurilor. Ca urmare determinarea unor mărimi numai pe bază de calcule teoretice, de proiectare, implică erori confirmate prin încercări în care s-au reflectat valorile reale ale mărimilor vizate, atingând cote foarte ridicate. De aceea se impune stabilirea unor metode bazate pe calcule mai exacte, relative la unele regimuri mai puțin studiate și care să se finalizeze cu încercări aplicabile pentru aceste mașini.

c) Chiar dacă în unele situații încercările clasice pentru determinarea parametrilor se pot efectua, deoarece mașinile considerate au puteri de ordinul  $10^3$  -  $10^4$  kW, energia disipată

numai pentru încercări în stand, are valori apreciabile.

Ca urmare în lucrare s-a avut în vedere studiul teoretic al unor regimuri tranzitorii particulare, care s-a finalizat cu o metodă concretă de identificare numerică a parametrilor echivalenți, pe baza încercărilor de regim tranzitoriu.

S-au tratat două aspecte strâns legate între ele: parametrii echivalenți după axele  $d$ ,  $q$  și structura cîmpului magnetic din întrefier.

Pe lîngă aprofundarea regimurilor tranzitorii particulare precizate, s-a urmărit în mod deosebit aplicabilitatea practică a lucrării. De aceea metodologia de încercare pentru ambele tipuri de determinări, se dă concret, pentru o mașină de 5000 kW fabricată la I.C.M. Regița. Se precizează detaliat realizarea încercărilor de regim tranzitoriu, realizarea și montarea filtrelor de spațiu pentru determinarea structurii cîmpului, programele numerice în limbaj FORTRAN IV pentru ambele tipuri de determinări și rezultatele obținute. Corelarea cu măsurătorile directe ale unor parametri, a demonstrat o precizie foarte bună de determinare a acestor parametri prin calcul numeric.

Metodologia pentru realizarea regimurilor tranzitorii și determinarea numerică a parametrilor echivalenți după cele două axe, are următoarele avantaje:

- Încercările nu implică punerea în funcție a mașinii (rotorul este imobil).
- Nu este necesară etalonarea galvanometrelor oscilografului, deoarece apar rapoarte de curenți.
- Nu este necesar să se cunoască despre mașină decît datele nominale și rezistențele electrice ale fazelor (fără factor de înăscurare, număr de spire - mărimi de proiectare care se cer la alte metode).
- Încercările nu solicită mașina.
- Măsurătorile se realizează cu montaje simple.
- Cu un număr relativ mic de oscilograme (4 oscilograme) se determină un număr de 11 parametri echivalenți.
- Unii parametri (cei corespunzători coliviei) se determină experimental și deoarece pe calea unui calcul analitic se ob-

țin cu erori mari.

- Se pot determina parametrii în regim saturat.
- Operativitate și precizie în prelucrarea rezultatelor (se folosește același program, cu mici modificări, în cartelele de date, pentru toate mașinile).
- Consumul de energie este foarte mic în timpul încercărilor, practic se poate neglija.
- Timpul de încercare și deci de reținere a mașinii pe standul de probă scade mult.

Metodologia este greoaiă, practic imposibil de aplicat în mod curent, dacă nu se utilizează un mijloc modern de calcul. De asemenea trebuie acordată o mare atenție la alegerea corectă a valorilor curentilor și intervalelor de timp, în funcție de rapiditatea atenuării, pentru o determinare exactă a derivatelor și integralelor pe cale numerică.

Pentru a da o valoare orientativă a economiilor de energie obținute prin aplicarea tehnologiilor prezentate, se poate exemplifica cu situația încercării mașinilor sincrone de 10.500 kW pe standul Intreprinderii constructoare de Mașini Reșița (mașina sincronă utilizată la centrala Gâlceag ca motor), pentru care s-a obținut în timpul încercărilor o economie de energie de cca 5000 kWh /41/. Considerind și celelalte mașini care intră în profilul de fabricație al întreprinderii amintite, care se încarcă pe stand într-un an, rezultă importante economii de energie.

In legătură cu determinarea structurii cîmpului magnetic din întrefier au rezultat următoarele:

- Metoda filtrelor de spațiu este superioară tuturor celor-lalte metode de investigație a cîmpului magnetic, în regim dinamic la mașini de c.a., pentru că, spre deosebire de acestea, permite separarea influenței armonicilor de spațiu și de timp ale cîmpului. În general celelalte metode apreciază global deformarea cîmpului, deoarece atât armonicile de spatiu cît și cele de timp ale cîmpului sunt convertite în armonici de timp ale t.e.m.

- Prin separarea celor două tipuri de influențe, cu ajutorul filtrelor de spațiu se pot trage concluzii privind influența saturării și influența lungimii finite a mașinii asupra repartitioniei cîmpului. Se pot sesiza cu ușurință influențele unor neajun-

suri de tip tehnologic (neuniformități ale întrefierului, poli inegali etc.).

- Metoda este larg aplicabilă pentru diverse regimuri de funcționare și poate fi folosită și la mașinile sincrone.

- Tehnologia de realizare a unui filtru de spațiu este relativ simplă. Prelucrarea rezultatelor se poate face rapid pe calculator cu același program (cu mici modificări), pentru toate mașinile de c.a. care necesită o analiză mai amănuntită a structurii cîmpului într-un stand industrial.

- Pentru mașinile sincrone mari (pentru care este indicată și justificată) metoda devine foarte precisă, deoarece sondele au dimensiuni mari.

In ambele situații de determinări s-a avut în vedere și posibilitatea utilizării calculatorului de proces. In cazul filtrelor de spațiu care pot să rămână montate în exploatare, intrarea mărimilor analoge de la filtre la un calculator de proces instalat în centrală permite o cunoaștere continuă a structurii cîmpului în întregirea generatorului și o corelare a nivelului excitării cu mărimea și natura sarcinii, respectiv cu cîtitatea energiei debităte.

Materialul prezentat s-a aplicat integral în cadrul cîtorva contracte de cercetare științifică /25/, /40/, /41/, care au vizat modernizarea metodelor de încercare a mașinilor sincrone de putere mare fabricate la Intreprinderea Construcțioare de Mașini Reșița.

A N E X A    1

ASPECTE ALE OPERATIILOR DE REDUCERE SI RAPORTARE A  
PARAMETRIILOR MASINII SINCRONE, CARE INTERVIN LA ANA-  
LIZA REGIMURILOR TRANZITORII UTILIZATE IN PARTEA  
EXPERIMENTALA.

Atât în proiectare cât și la determinările experimentale din standurile de încercare a mașinilor sincrone, se folosește în mod ușual definirea raportată a parametrilor. Pentru a obține parametrii reportați este necesar ca toate componentele ecuației să fie împărțite la mărimile de bază, indicate în paragraful 1.1.3. Mărimile de bază fiind unice pentru infășurarea statorică și rotorică, este necesar să se facă înainte de raportare, operația de reducere a infășurărilor rotorice la stator. Reducerea la stator se face cu ajutorul coeficientilor de reducere pentru curent  $K_i$ , pentru tensiune  $K_u$  și pentru impedanță  $K_Z$ , a căror determinare s-a făcut în paragraful 1.1.4.

Prin înlocuirea în relațiile (2.2), (2.3) a fluxurilor care se determină cu relațiile (2.40)...(2.42) și apoi amplificând ecuațiile tensiunilor cu coeficienții respectivi de reducere pentru tensiuni, rezultă:

$$\begin{aligned}
 K_{ue} U_e &= K_{ue} \frac{3}{2} M_{aed} \frac{di_d}{dt} + K_{ue} L_e K_{ie} \frac{di'_e}{dt} + \\
 &+ K_{ue} M_{esd} K_{id} \frac{di'_{sd}}{dt} + K_{ue} r_e K_{ie} i'_e \quad (\text{Al.1}) \\
 0 &= K_{ud} \frac{3}{2} M_{asd} \frac{di_d}{dt} + K_{ud} M_{esd} K_{ie} \frac{di'_e}{dt} + \\
 &+ K_{ud} L_{sd} \frac{di'_{sd}}{dt} K_{id} + K_{ud} r_{sd} K_{id} i'_{sd} \\
 0 &= K_{uq} \frac{3}{2} M_{asq} \frac{di_q}{dt} + K_{uq} L_{sq} K_{iq} \frac{di'_{sq}}{dt} + K_{uq} r_{sq} K_{iq} i'_{sq}
 \end{aligned}$$

S-a notat cu "prim" mărimile reduse la stator.

Fluxurile infășurărilor rotorice reduse la stator vor fi:

$$\begin{aligned}
 \Psi'_e &= M'_{aed} i'_d + L'_e i'_e + M'_{esd} i'_{sd} \\
 \Psi'_{sd} &= M'_{asd} i'_d + M'_{esd} i'_e + L'_{sd} i'_{sd} \quad (\text{Al.2}) \\
 \Psi'_{sq} &= M'_{asq} i'_q + L'_{sq} i'_{sq}
 \end{aligned}$$

In aceste relații s-au notat, ținând seama de expresiile factorilor de reducere, inductivitățile, inductivitățile mutuale și rezistențele reduse, astfel:

$$M'_{aed} = \frac{3}{2} M_{aed} K_{ue} = M_{aed} K_{ie}$$

$$M'_{asd} = \frac{3}{2} M_{asd} K_{ud} = M_{asd} K_{id}$$

$$M'_{asq} = \frac{3}{2} M_{asq} K_{uq} = M_{asq} K_{iq}$$

$$M'_{esd} = M_{esd} K_{ud} K_{ie} = M_{esd} K_{ue} K_{id}$$

(Al.3)

$$L'_e = L_e K_{ue} K_{ie}$$

$$L'_{sd} = L_{sd} K_{ud} K_{id}$$

$$L'_{sq} = L_{sq} K_{uq} K_{iq}$$

$$R'_e = R_e K_{ue} K_{ie}$$

$$R'_{sd} = R_{sd} K_{ud} K_{id}$$

$$R'_{sq} = R_{sq} K_{uq} K_{iq}$$

Cu aceste notații se pot exprima și fluxurile statorice, conținând mărimi reduse, sub forma:

$$\Psi_d = L_d i_d + M'_{aed} i'_e + M'_{asd} i'_{sd}$$

$$\Psi_q = L_q i_q + M'_{asq} i'_{sq} \quad (Al.4)$$

$$\Psi_o = L_o i_o$$

Impărțind relațiile (Al.2),(Al.4) cu mărimea de bază a fluxului  $\Psi_b = \frac{U_b}{\omega_b} = L_b i_b$ , se obțin fluxurile statorice și rotorice în coordonate d, q, sub forma raportată, formă sub care ele intervin și în ecuațiile Park-Gorev:

$$\Psi_d = x_d i_d + x_{aed} i_e + x_{asd} i_{sd}$$

$$\Psi_q = x_q i_q + x_{asq} i_{sq}$$

$$\Psi_o = x_o i_o$$

$$\begin{aligned}\psi_e &= x_{aed} i_d + x_e i_e + x_{esd} i_{sd} \\ \psi_{sd} &= x_{asd} i_d + x_{esd} i_e + x_{sd} i_{sd} \\ \psi_{sq} &= x_{asq} i_q + x_{sq} i_{sq}\end{aligned}\quad (\text{Al.5})$$

In aceste relații s-au notat după cum urmează, mărurile raportate:

- reactanțele sincrone după axele d și q :

$$\begin{aligned}x_d &= \frac{L_d}{L_b} = \frac{L_d \cdot \omega_b}{L_b \cdot b} = \frac{x_d}{Z_b} \\ x_q &= \frac{L_q}{L_b} = \frac{L_q \cdot \omega_b}{L_b \cdot b} = \frac{x_q}{Z_b}\end{aligned}\quad (\text{Al.6})$$

- reactanțele de inducție mutuală între înfășurările statorului și rotorului:

$$\begin{aligned}x_{asd} &= \frac{M'_{asd}}{L_b} \\ x_{asq} &= \frac{M'_{asq}}{L_b} \\ x_{ad} &= \frac{M'_{aed}}{L_b}\end{aligned}\quad (\text{Al.7})$$

- reactanța de inducție mutuală, între înfășurările rotorului, după axa longitudinală:

$$x_{esd} = \frac{M'_{esd}}{L_b} \quad (\text{Al.8})$$

- reactantele inductive totale ale înfășurărilor rotorice (de amortizare longitudinală, de amortizare transversală și de excitatie):

$$\begin{aligned}x_{sd} &= \frac{L'_{sd}}{I_b} \\ x_{sq} &= \frac{L'_{sq}}{I_b} \\ x_e &= \frac{L'_e}{I_b}\end{aligned}\quad (\text{Al.9})$$

- rezistențele înfășurărilor rotorice:

$$\begin{aligned} r_{sd} &= \frac{R'_{sd}}{Z_b} \\ r_{sq} &= \frac{R'_{sq}}{Z_b} \\ r_e &= \frac{R'_e}{Z_b} \end{aligned} \quad (\text{Al.10})$$

Relatiile pentru mărimile reduse (Al.3) pentru inductivități și rezistențe, respectiv relațiile pentru mărimile reportate (Al.6... Al.10) pentru reactanțe și rezistențe, vor fi utilizate la determinările experimentale ale parametrilor.

Reactanțele (Al.6) conțin atât influența cîmpului de reacție cât și cîmpul de dispersie:

$$\begin{aligned} x_d &= x_{\sigma_1} + x_{ad} \\ x_q &= x_{\sigma_1} + x_{aq} \end{aligned} \quad (\text{Al.11})$$

în care  $x_{\sigma_1}$  este reactanța de dispersie a înfășurării statorice iar  $x_{ad}$ ,  $x_{aq}$  sunt respectiv reactanța de reacție longitudinală și reactanța de reacție transversală a indusului, cunoscute și utilizate curent în regimul sinusoidal al generatorului sincron.

Utilizînd fluxul  $\Psi_{adl}$  corespunzător armonicii fundamentale a inducției în întrefier, sub forma întrebuintată curent în proiecțare:

$$\Psi_{adl} = w_1 K_{bl} \quad \theta_{adl} = \frac{2 \pi}{\pi^2} \frac{(w_1 K_{bl})^2}{p} \cdot \zeta \cdot 1 \frac{\mu_0 K_d}{K_d K_{ud}} i_d, \quad (\text{Al.12})$$

se obține reactanța de reacție longitudinală în unități fizice:

$$x_{ad} = 2 \pi f \frac{\Psi_{adl}}{i_d} \quad (\text{Al.13})$$

sau

$$x_{ad} = \frac{4}{\pi} f \cdot \pi \frac{(w_1 K_{bl})^2}{p} \cdot \zeta \cdot 1 \frac{\mu_0 K_d}{K_d K_{ud} \cdot \delta} \quad (\text{Al.14})$$

Analog se obține reactanța de reacție transversală în unități fizice:

$$x_{aq} = \frac{4}{\pi} f \cdot \pi \frac{(w_1 K_{bl})^2}{p} \cdot \zeta \cdot 1 \frac{\mu_0 K_q}{K_d K_{uq} \cdot \delta} \quad (\text{Al.15})$$

în care  $K_d$  și  $K_q$  sunt coeficienții de formă ai cîmpului magnetic din întrefier iar  $K_{\mu d}$  și  $K_{\mu q}$  sunt coeficienții de saturatie ai circuitului magnetic după axa d și q.

Reactanța mutuală între stator și înfășurarea de excitare, redusă la înfășurarea statorică, în mărimi fizice se poate determina cu o relație analogă:

$$X'_{aed} = 2 \pi f \frac{\Psi_{aedl}}{i_e} K_{ie} \quad (\text{Al.16})$$

în care  $\Psi_{aedl}$  reprezintă fluxul înfășurării statorice al armonicii fundamentale a inducției din întrefier, care apare la treccerea prin înfășurare a curentului  $i_e$ . Înlocuind fluxul dat de fundamentală analog cu (Al.12) se obține relația de calcul pentru reactanța redusă (stator-excitare):

$$X'_{aed} = \frac{4}{\pi} f m_1 \frac{(w_1 K_{bl})^2}{p} \mathcal{Z} \cdot l \frac{u_o K_d}{K_\delta K_{\mu d} \cdot \delta} \quad (\text{Al.17})$$

În mod asemănător, folosind relațiile obținute în capitolul 1 pentru coeficienții de reducere respectivi se obțin și celelalte reactanțe reduse la stator.

Reactanța mutuală între înfășurarea statorică și înfășurarea de amortizare după axa longitudinală este:

$$X'_{asd} = 2 \pi f \frac{\Psi_{asd}}{i_{sd}} K_{id} \quad (\text{Al.18})$$

și după transformări

$$X'_{asd} = \frac{4}{\pi} f m_1 \frac{(w_1 K_{bl})^2}{p} \mathcal{Z} \cdot l \frac{u_o K_d}{K_\delta K_{\mu d} \cdot \delta} \quad (\text{Al.19})$$

Reactanța mutuală între înfășurarea statorică și înfășurarea de amortizare după axa transversală este:

$$X'_{asq} = \frac{4}{\pi} f m_1 \frac{(w_1 K_{bl})^2}{p} \mathcal{Z} \cdot l \frac{u_o K_q}{K_\delta K_{\mu q} \cdot \delta} \quad (\text{Al.20})$$

Comparind reactanțele obținute după axa d respectiv q, rezultă:

$$\begin{aligned} X'_{aed} &= X'_{asd} = X'_{esd} = X_{ad} \\ X'_{asq} &= X_{eq} \end{aligned} \quad (\text{Al.21})$$

Aceste relații sunt deosebit de importante la stabilirea ecuațiilor circuitelor reduse. Egalitatea reactanțelor mutuale, raportate la stator, constituie o consecință a faptului că fluxurile după axa d, trec prin întrefier și restul circuitului magnetic, pe căi de închidere similare.

Evident relațiile se păstrează și în mărimi raportate.

$$\begin{aligned}x_{aed} &= x_{asd} = x_{esd} = x_{ad} \\x_{asq} &= x_{aq}\end{aligned}\tag{Al.22}$$

## A N E X A    2

SCHEMA LOGICA SI PROGRAMUL DE CALCUL PENTRU  
PRELUCRAREA OSCILOGRAMELOR REZULTATE DIN  
INCERCARILE DE REGIM TRANZITORIU. REZULTATELE  
OBTINUTE LA INCERCAREA MASINII SINCRONE DE  
5000 kW, 6 kV, 555 A.

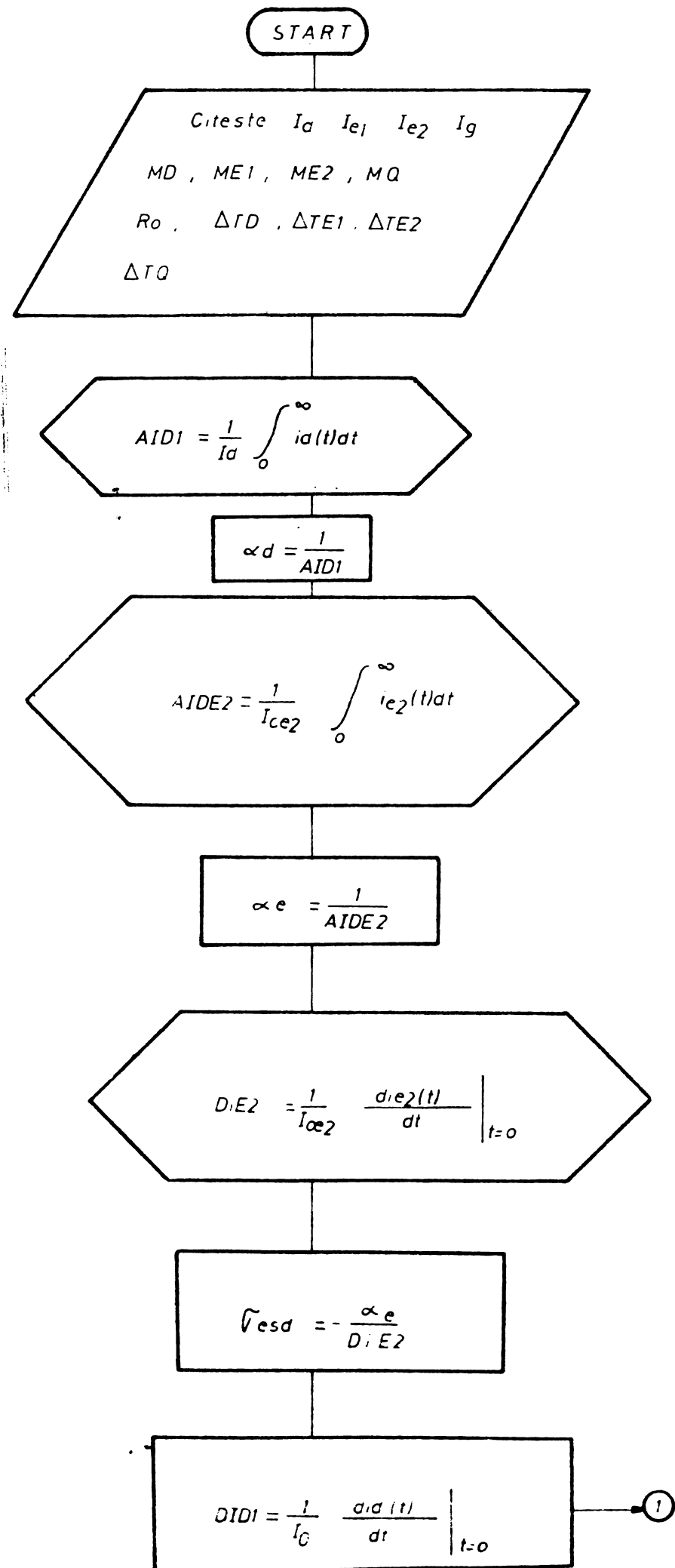
In schema logica și programul de calcul numeric s-au folosit notatiile din capitolul 3.

Calculul se face pe baza înregistrărilor variațiilor curentilor  $ID(t)$ ,  $IE1(t)$ ,  $IE2(t)$ ,  $iQ(t)$  din încercările de regim tranzitoriu, prezентate în detaliu în paragraful 3.2.

Pentru verificare, la început se tipăresc ordonatele celor patru oscilograme, defălcate pe domenii de variație, împreună cu intervalele de timp corespunzătoare. De asemenea se tipăresc și unele rezultate intermediare, înainte de trecerea în "per-unit".

Programul elaborat se poate utiliza la prelucrarea regimurilor tranzitorii analizate la capitolul 3, pentru orice mașină sincronă, cu precizarea că divizarea oscilogramelor pe domenii de variație, se va face în funcție de modul de variație a curentilor de regim tranzitoriu.

Programul a fost aplicat concret pentru oscilogramele obținute la încercarea mașinii de 5000 kW, 6 kV, 555 A pentru parametri statorici  $x_d$ ,  $x_{ad}$ ,  $x_{\sigma}$ ,  $x_{aq}$  și parametri rotorici  $x_{sd}$ ,  $r_{sd}$ ,  $x_e$ ,  $r_e$ ,  $x_{sq}$  și  $r_{sq}$ , obținuți în acest mod, sunt prezentate la sfîrșitul programului, în tabelul TA2.1.



(1)

$$J_d = - \frac{\alpha d \bar{v}_{esd}}{DIE1}$$

$$A DIE1 = \frac{1}{I_0} \int_0^{\infty} i e_1(t) dt$$

$$DIE1 = \frac{1}{I_0} \left. \frac{d i e_1}{dt} \right|_{t=0}$$

$$De = \frac{DIE1}{i DE1}$$

$$C_{sc} = \frac{\alpha d \alpha e - \bar{v}_a De}{\alpha d \alpha e}$$

$$Ce = \frac{i - \bar{v}_{esc}}{C_{sd}}$$

$$Cd = \frac{i - Ce C_{sd} - \bar{v}_d}{Ce + C_{sd} - 2Ce C_{sd}}$$

$$Ae = \frac{i}{I_0 e_2} \int_0^{\infty} i \dot{e}_2(t) dt$$

(2)

$$\alpha_{sd} = \frac{\alpha_e C_{esd} - 2 A_e \alpha_e}{2 \alpha_e A_e - 1}$$

$$x_d = \frac{R_d}{\alpha_d}$$

$$X_{ad} = C_d X_d$$

$$X_e = \frac{X_{ad}}{C_e}$$

$$X_{sd} = \frac{X_{ad}}{C_{sd}}$$

$$\gamma_{sd} = \alpha_{sd} X_{sd}$$

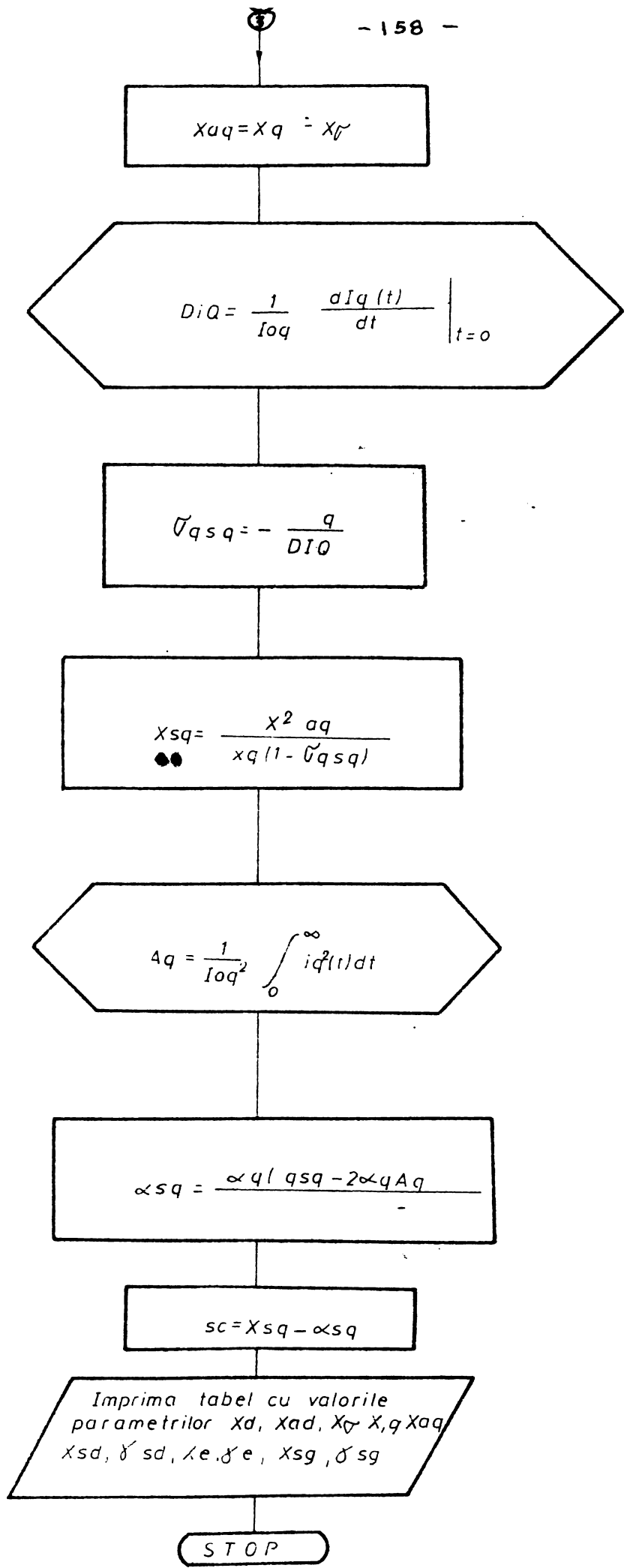
$$\gamma_e = X_e \alpha_e$$

$$X' = X_d - X_{ad}$$

$$A_i Q = \frac{1}{I_{eq}} \int_0^\infty i_q(t) dt$$

$$\alpha_q = \frac{1}{AIQ}$$

$$\lambda_q = \frac{R_q}{\alpha_q}$$



1  
2  
3  
4  
5  
6  
7  
8  
9  
10  
11  
12  
13  
14  
15  
16  
17  
18  
19  
20  
21  
22  
23  
24  
25  
26  
27  
28  
29  
30  
31  
32  
33  
34  
35  
36  
37  
38  
39  
40  
41  
42  
43  
44  
45  
46  
47

DETERMINAREA PARAMETRILOR MASTINII SYNCRONE

```
READ(105,1) MDA,MDB,MDC,MDD,ME1A,ME1B,ME1C,ME2A,ME2B,  
*ME2C,MGA,MGB,MGC,MG  
1 FORMAT(13T2,E13.6)  
READ(TDA(4),108(30),IDC(11),IDU(12),IE1A(30),IE1B(11),  
*IE1C(10),IE2A(31),IE2B(29),IE2C(11),IGA(3),IGB(25),  
*IOC(14),10U(3)  
READ(105,2) (TDA(I),I=1,4),(IDB(I),I=1,30),(IDU(1),  
*I=1,11),(IDU(I),I=1,12),(IDU(I),I=1,3)  
2 FORMAT(14F5'1)  
WRITE(108,3)  
3 FORMAT('1,6X,'EXPERIMENTUL LUNGITUDINAL')//)  
WRITE(108,4)  
4 FORMAT('1,6X,'VALORILE DIN OSCILOGRAMA LUI ID')//)  
WRITE(108,5) (I,IDA(I),I=1,MDA)  
5 FORMAT('1,10Y,IDA(1),12,')=',F6'2)  
WRITE(108,6) (I,1DB(I),I=1,MDB)  
6 FORMAT('1,10X,1DB('1,I2,'')=',F6'2)  
WRITE(108,7) (I,1DC(I),I=1,MDC)  
7 FORMAT('1,10Y,1DC('1,I2,'')=',F6'2)  
WRITE(108,8) (I,1DD(I),I=1,MDD)  
8 FORMAT('1,10X,1DU('1,I2,'')=',F6'2)  
READ(105,2) (IE1A(I),I=1,30),(IE1B(I),I=1,11),  
(IE1C(I),I=1,10)  
WRITE(108,11)  
9 FORMAT('1,6X,'VALORILE DIN OSCILOGRAMA LUI IE1')//)  
WRITE(108,12) (I,IE1A(I),I=1,ME1A)  
11 FORMAT('1,10Y,'IE1A('1,I2,'')=',F6'2)  
WRITE(108,12) (I,IE1B(I),I=1,ME1B)  
12 FORMAT('1,10Y,'IE1B('1,I2,'')=',F6'2)  
WRITE(108,13) (I,IE1C(I),I=1,ME1C)  
13 FORMAT('1,10X,'IE1C('1,I2,'')=',F6'2)  
WRITE(108,14)  
14 FORMAT('1,6X,'EXPERIMENTUL CU STATOKUL DESCHIS')//)  
READ(105,2) (IE2A(I),I=1,3),(IE2B(I),I=1,29),(IE2C(I),  
*I=1,11)  
WRITE(108,15)  
15 FORMAT('1,6X,'VALORILE DIN OSCILOGRAFE LUI IF2')//)  
WRITE(108,16) (I,IE2A(I),I=1,ME2A)  
16 FORMAT('1,10Y,'IE2A('1,I2,'')=',F6'2)  
WRITE(108,17) (I,IE2B(I),I=1,ME2B)  
17 FORMAT('1,10X,'IE2B('1,I2,'')=',F6'2)  
WRITE(108,18) (I,IE2C(I),I=1,ME2C)
```

```
48 10 FORMAT(' ',10X,'IE2C( ','I2,')= ',F6'2)
49 KREAD(105,2) (IUA(I),I=1,3),(IQC(I),I=1,25),(IQC(I),
50 *I=1,14)
51 WRITE(108,21)
52 21 FORMAT(' ',6X,'EXPERIMENTUL TRANSVERSAL',//)
53 WRITE(108,22)
54 22 FORMAT(' ',6X,'VALORILE DIN OSCILOGRAAMA LUI IO',/)
55 WRITE(108,23) (I,TQA(I),I=1,MQA)
56 23 FORMAT(' ',10X,'IQA( ','I2,')= ',F6'2)
57 WRITE(108,24) (I,TQB(I),I=1,MQB)
58 24 FORMAT(' ',10X,'IOB( ','I2,')= ',F6'2)
59 WRITE(108,25) (I,TQC(I),I=1,MQC)
60 25 FORMAT(' ',10X,'IQC( ','I2,')= ',F6'2)
61 READ(105,25) DTU0,DTU4,DTOB,DTDC,DTDD,DTQE1,DTET1A,DTET1B,
62 *DTET1C,DTUE2A,DTUE2B,DTUE2C,DTUQ,DTQA,DTUB,DTQC
63 25 FORMAT(12F6'4)
64 KREAD(105,19) DIDE1,DIDE2,DIBQ
65 19 FORMAT(3F6'2)
66 WRITE(108,671)
67 671 FORMAT(' ',12X,'DATE INITIALE',//)
68 WRITE(108,672) DTU0,DTQA,DTUB,DTDC,DTUD
69 672 FORMAT(' ',10X,'UTD0= ',F6'4,/,10X,'DTCA= ',F6'4,/,10X,
70 *'DTUB= ',F6'4,/,10X,'DTDC= ',F6'4,/,10X,'DTDD= ',F6'4,/
71 WRITE(108,673) DTUE1,DTET1A,DTET1B,DTET1C
72 673 FORMAT(' ',10X,'DTUE1= ',F6'4,/,10X,'DTET1A= ',F6'4,/,1
73 *10X,'DTET1B= ',F6'4,/,10X,'DTET1C= ',F6'4,/)
74 WRITE(108,674) DTUE2,DTET2A,DTET2B,DTET2C
75 674 FORMAT(' ',10X,'DTUE2= ',F6'4,/,10X,'DTET2A= ',F6'4,/,1
76 *10X,'DTET2B= ',F6'4,/,10X,'DTET2C= ',F6'4,/)
77 WRITE(108,675) DTUQ,DTQA,DTQB,DTUC
78 675 FORMAT(' ',10X,'UTDQ= ',F6'4,/,10X,'DTQA= ',F6'4,/,1
79 *10X,'DTQB= ',F6'4,/,10X,'DTQC= ',F6'4,/)
80 WRITE(108,676) MDA,MDA,B,MDC,MDC
81 676 FORMAT(' ',10X,'MDA= ',I2,/,10X,'MDA= ',I2,/,10X,'MDC= ',1
82 *I2,/,10X,'MDU= ',I2,/)
83 WRITE(108,677) RA
84 677 FORMAT(' ',6X,'RA= ',D22'15)
85 WRITE(108,678) ME1A,ME1B,ME1C
86 678 FORMAT(' ',10X,'ME1A= ',I2,/,10X,'ME1B= ',I2,/,10X,
87 *'ME1C= ',I2,/)
88 WRITE(108,679) ME2A,ME2B,ME2C
89 679 FORMAT(' ',10X,'ME2A= ',I2,/,10X,'ME2B= ',I2,/,10X,
90 *'ME2C= ',I2,/)
91 WRITE(108,680) MDA,MDA,B,MDC
92 680 FORMAT(' ',10X,'MDA= ',I2,/,10X,'MDA= ',I2,/,10X,'MDC= ',I2,/)
93 CALL DINTAB((MA,MDA,DTDA,RIA,KOD1A))
94 WRITE(108,99)
```

95 99 FORMAT('1',10X,'REZULTATE INTERMEDIARE',//)  
96 WRITE(108,101) KOD1A  
97 101 FORMAT(' ',6X,'KOD1A=',I1)  
98 R=R1A  
99 CALL DINTAB(IDB,MDB,DTDB,R1B,KUD1B)  
100 WRITE(108,102) KUD1B  
101 102 FORMAT(' ',6X,'KUD1B=',I1)  
102 R=R+R1B  
103 CALL DINTAB(IDC,MDC,DTDC,R1C,KUD1C)  
104 WRITE(108,103) KUD1C  
105 103 FORMAT(' ',6X,'KUD1C=',I1)  
106 R=R+R1C  
107 CALL DINTAB(IDU,MDD,DTDD,R1D,KUD1D)  
108 WRITE(108,104) KUD1D  
109 104 FORMAT(' ',6X,'KUD1D=',I1)  
110 K=R+R1D  
111 WRITE(108,106) R  
112 106 FORMAT(' ',6X,'INTEGRALA CURENTULUI LONGITUDINAL ESTE',  
113 '#R= ',D22'15)  
114 AID1=P/IDC(1)  
115 WRITE(108,101) AID1  
116 101 FORMAT(' ',6X,'AID1=',D22'15)  
117 AID1=314'15\*AID1  
118 ALFAD=1/AID1  
119 WRITE(108,102) ALFAD  
120 102 FORMAT(' ',6X,'ALFAD=',D22'15)  
121 CALL DINTAB(IE2A,ME2A,DTE2A,R2A,KUD2A)  
122 WRITE(108,107) KUD2A  
123 107 FORMAT(' ',6X,'KUD2A=',I1)  
124 R2=P\*CA  
125 CALL DINTAB(IE2B,ME2B,DTE2B,R2B,KUD2B)  
126 WRITE(108,109) KUD2B  
127 109 FORMAT(' ',6X,'KUD2B=',I1)  
128 R2=R2+R2B  
129 CALL DINTAB(IE2C,ME2C,DTE2C,R2C,KUD2C)  
130 R2=R2+R2C  
131 WRITE(108,110) KUD2C  
132 110 FORMAT(' ',6X,'KUD2C=',I1)  
133 WRITE(108,113) R2  
134 113 FORMAT(' ',6X,'INTEGRALA CURENTULUI IE2 ESTE R2= ',D22'15)  
135 AIDE2=R2/IE2A(1)  
136 WRITE(108,103) AIDE2  
137 103 FORMAT(' ',6X,'AIDE2=',D22'15)  
138 AIDE2=314'15\*AIDE2  
139 ALFAE=1/AIDE2  
140 WRITE(108,115) ALFAE  
141 115 FORMAT(' ',6X,'ALFAE=',D22'15)

142       UIE2V=UIUF2/UTUF2  
143       UIE2=DIE2V/IE2A(1)  
144       WRITE(108,204) DIE2  
145       FORMAT(' ',6X,'DIE2='',022'15)  
146       DIE2=01F2/314'15  
147       SIGMAESD="ALFAE/DTE2  
148       WRITE(108,205) SIGMAESD  
149       FORMAT(' ',6X,'SIGMAESD='',022'15)  
150       UIO1=(31\*100(1)+41\*100(2)\*100(3))/(2\*DTDU\*IDU(1))  
151       WRITE(108,206) IDU1  
152       FORMAT(' ',6X,'IDU1='',022'15)  
153       IDDIV=UIO1\*IDU(1)  
154       WRITE(106,116) IDDIV  
155       FORMAT(' ',6X,'IDDIV='',022'15)  
156       DIU1=01D1/314'15  
157       SIGMAD="ALFAD+SIGMAESD/DID1  
158       WRITE(106,207) SIGMAD  
159       FORMAT(' ',6X,'SIGMAD='',022'15)  
160       CALL DINTAB(IE1A,ME1A,DTE1A,R3A,K003A)  
161       WRITE(108,117) K003A  
162       FORMAT(' ',6X,'K003A='',I1)  
163       R3=R3A  
164       CALL DINTAB(IE1B,ME1B,DTE1B,R3B,K003B)  
165       WRITE(108,118) K003B  
166       FORMAT(' ',6X,'K003B='',I1)  
167       R3=R3+R3B  
168       CALL DINTAB(IE1C,ME1C,DTE1C,R3C,K003C)  
169       R3=R3+R3C  
170       WRITE(108,119) K003C  
171       FORMAT(' ',6X,'K003C='',I1)  
172       WRITE(108,120) R3  
173       FORMAT(' ',6X,'INTEGRALA CURENTULUI IE1 ESTE R3='',022'15)  
174       AIDE1=R3/100(1)  
175       WRITE(108,208) AIDE1  
176       FORMAT(' ',6X,'AIDE1='',022'15)  
177       AIUF1=AIDE1\*314'15  
178       DIE1=01DE1/DTDE1  
179       WRITE(108,210) DIE1  
180       FORMAT(' ',6X,'DIE1='',022'15)  
181       UIE1V=UTE1/TDE1  
182       WRITE(108,209) UIE1V  
183       FORMAT(' ',6X,'UIE1V='',022'15)  
184       UIE1=01F1V/314'15  
185       DE=DIE1/AIDE1  
186       WRITE(108,211) DE  
187       FORMAT(' ',6X,'DE='',022'15)  
188       CSD=(ALFAD+ALFAE\*SIGHAD\*DE)/(ALFAD\*ALFAE)

169  
170  
171  
172  
173  
174  
175  
176  
177  
178  
179  
180  
181  
182  
183  
184  
185  
186  
187  
188  
189  
190  
191  
192  
193  
194  
195  
196  
197  
198  
199  
200  
201  
202  
203  
204  
205  
206  
207  
208  
209  
210  
211  
212  
213  
214  
215  
216  
217  
218  
219  
220  
221  
222  
223  
224  
225  
226  
227  
228  
229  
230  
231  
232  
233  
234  
235

```
BRITE(108,121), CSD
C14 FORMAT(10,6A,"CS0=0,022*15)
CE=(1.0*SIGNACSD)/CSD
WRITE(108,131) CE
CD=(1.0*(CE+CSU)*SIGNAD)/(CE+CSU*2.0*CE+CSU)
WRITE(108,141) CD
FORMAT(10,6X,"CD=0,022*15)
DO 301 I=1,ME2A
IE2A(I)=(IE2A(I))**2
301 CONTINUE
CALL SINTAB(IE2A,ME2A,DTE2A,R4A,KD4A)
R4=R4A
302 WRITE(108,306) KD4A
FORMAT(10,6X,"KD4A=0,11)
DO 303 I=1,ME2B
IE2B(I)=IE2B(I)**2
303 CONTINUE
CALL SINTAB(IE2B,ME2B,DTE2B,R4B,KD4B)
WRITE(108,304) KD4B
FORMAT(10,6X,"KD4B=0,11)
R4=R4*ME2B
DO 305 I=1,ME2C
IE2C(I)=(IE2C(I))**2
305 CONTINUE
CALL SINTAB(IE2C,ME2C,DTE2C,R4C,KD4C)
R4=R4*R4C
WRITE(108,306) KD4C
306 FORMAT(10,6X,"KD4C=0,11)
AE=R4/IE2A(I)
AF=IE2E(215) AE
C15 FORMAT(10,6X,"AE=0,022*15)
ALFASD=ALFAF*(SIGNACSD*2.0*AE*ALFAF)/(2.0*ALFAE*AE*1.0)
WRITE(108,216) ALFASD
C16 FORMAT(10,6X,"ALFASD=0,022*15)
X0=PA/ALFAU
XA0=CYL
XE=XAD/CE
XS0=XAU/CSU
RS0=XS0*ALFASD
RF=YE*ALFAE
XSIGNA=XD*XAD
CALL SINTAB(108,NSA,DTJA,RSA,KD5A)
BRITE(108,401) KD5A
FORMAT(10,6X,"KD5A=0,11)
R5=R5A
```

FACTURA 27/08/83 12°43°17

236 CALL PINTAB(108,M08,UT4B,R5B,KUD5B)  
237 WRITE(108,402)KUD5B  
238 402 FORMAT(' ',6X,'KUD5B= ',I1)  
239 K5=R5+R5B  
240 CALL PINTAB(108,M08,UT4C,R5C,KUD5C)  
241 WRITE(108,610)KUD5C  
242 610 FORMAT(' ',6X,'KUD5C= ',I1)  
243 R5=R5+R5C  
244 ATU=K5/TUA(1)  
245 WRITE(108,217)A10  
246 217 FORMAT(' ',6X,'A10= ',022°15)  
247 A10=ATU\*314°15  
248 ALFA0=1°/A10  
249 WRITE(108,1418)ALFA0  
250 250 FORMAT(' ',6X,'ALFA0= ',022°15)  
251 X0=PA/ALFA0  
252 XAO=X0\*XSTUMA  
253 UTQ=UTQ0/DTQ0  
254 WRITE(108,219)D10  
255 219 FORMAT(' ',6X,'D10= ',022°15)  
256 UTQV=D10/I04(1)  
257 WRITE(108,220)D10V  
258 220 FORMAT(' ',6X,'DERIVATA LUI IO ESTE D10V= ',022°15)  
259 DTQ=D10V/314°15  
260 SIGMA0S0="ALFA0/UTQ"  
261 WRITE(108,221)SIGMA0S0  
262 271 FORMAT(' ',6X,'SIGMA0S0= ',022°15)  
263 XS0=(XA0\*\*2)/(X0\*(1°\*SIGMA0S0))  
264 DO 403 I=1,M0A  
265 IOA(I)=(IOA(I))\*\*2  
266 403 CONTINUE  
267 CALL PINTAB(108,M0A,UT3A,R6A,KUD6A)  
268 WRITE(108,405)VU76A  
269 405 FORMAT(' ',6X,'VU76A= ',I1)  
270 R6=R6A  
271 DO 404 I=1,M0B  
272 IOB(I)=(IOB(I))\*\*2  
273 404 CONTINUE  
274 CALL PINTAB(108,M0B,UT4B,R6B,KUD6B)  
275 WRITE(108,406)KUD6B  
276 406 FORMAT(' ',6X,'KUD6B= ',I1)  
277 R6=R6+R6B  
278 DO 611 I=1,M0C  
279 IOC(I)=(IOC(I))\*\*2  
280 611 CONTINUE  
281 CALL PINTAB(108,M0C,UT4C,R6C,KUD6C)  
282 WRITE(108,612)KUD6C

283 612 FORMAT(' ',6X,'KOD6C=',I1)  
284 R6=R6+RAC  
285 AQ=R6/I0A(1)  
286 WRITE(108,222) AQ  
287 222 FORMAT(' ',6X,'AU=' ,D22'15)  
288 AQ=AU+314'15  
289 ALFASQ=ALFAAQ\*(SIGMAQSQ\*2\*\*ALFAAQ\*AQ)/(2\*\*ALFAAQ\*AQ\*1\*)  
290 WRITE(108,223) ALFASQ  
291 223 FORMAT(' ',6X,'ALFASQ=' ,D22'15)  
292 KSQ=XSQ\*ALFASQ  
293 WRITE(108,501)  
294 501 FORMAT(' ',15X,'PARAMETRII STATORICI LONGITUDINALI',//)  
295 WRITE(108,502)  
296 502 FORMAT(' ',10X,45('\*'))  
297 WRITE(108,503)  
298 503 FORMAT(' ',10X,'\*',14X,'\*',26X,'\*')  
299 WRITE(108,504) XD  
300 504 FORMAT(' ',10X,'\*',3X,'XD',9X,'\*',2X,D22'15,2X,'\*')  
301 WRITE(108,503)  
302 WRITE(108,502)  
303 WRITE(108,503)  
304 WRITE(108,505) XAD  
305 505 FORMAT(' ',10X,'\*',3X,'XAD',8X,'\*',2X,D22'15,2X,'\*')  
306 WRITE(108,503)  
307 WRITE(108,502)  
308 WRITE(108,503)  
309 WRITE(108,506) XSIGMA  
310 506 FORMAT(' ',10X,'\*',3X,'XSIGMA',5X,'\*',2X,D22'15,2X,'\*')  
311 WRITE(108,503)  
312 WRITE(108,502)  
313 WRITE(108,507)  
314 507 FORMAT(//,' ',15X,'PARAMETRII STATORICI TRANSVERSALI',//)  
315 WRITE(108,502)  
316 WRITE(108,503)  
317 WRITE(108,508) XU  
318 508 FORMAT(' ',10X,'\*',3X,'XU',9X,'\*',2X,D22'15,2X,'\*')  
319 WRITE(108,503)  
320 WRITE(108,502)  
321 WRITE(108,503)  
322 WRITE(108,509) XAO  
323 509 FORMAT(' ',10X,'\*',3X,'XAO',8X,'\*',2X,D22'15,2X,'\*')  
324 WRITE(108,503)  
325 WRITE(108,502)  
326 WRITE(108,510)  
327 510 FORMAT(//,' ',15X,'PARAMETRII ROTORICI LUNGITUDINALI',//)  
328 WRITE(108,502)  
329 WRITE(108,503)

```
330      WRITE(108,511) XSD
331 511 FORMAT(' ',10X,'**',3X,'XSD',8X,'**',2X,022'15,2X,'**')
332      WRITE(108,503)
333      WRITE(108,502)
334      WRITE(108,503)
335      WRITE(108,512) RSD
336 512 FORMAT(' ',10X,'**',3X,'RSD',8X,'**',2X,022'15,2X,'**')
337      WRITE(108,503)
338      WRITE(108,502)
339      WRITE(108,503)
340      WRITE(108,513) XE
341 513 FORMAT(' ',10X,'**',3X,'XE',9X,'**',2X,022'15,2X,'**')
342      WRITE(108,503)
343      WRITE(108,502)
344      WRITE(108,503)
345      WRITE(108,514) RE
346 514 FORMAT(' ',10X,'**',2X,'RE',2X,'**',2X,022'15,2X,'**')
347      WRITE(108,503)
348      WRITE(108,502)
349      WRITE(108,518)
350 518 FORMAT('// ','15A,'PARAMETRII ROTORICII TRANSVERSALEI//')
351      WRITE(108,502)
352      WRITE(108,503)
353      WRITE(108,515) XSD
354 515 FORMAT(' ',10X,'**',3X,'XSD',8X,'**',2X,022'15,2X,'**')
355      WRITE(108,503)
356      WRITE(108,502)
357      WRITE(108,503)
358      WRITE(108,516) RSD
359 516 FORMAT(' ',10X,'**',3X,'RSD',8X,'**',2X,022'15,2X,'**')
360      WRITE(108,503)
361      WRITE(108,502)
362      STOP
363      END
```

EXPERIMENTUL LUNGITUDINAL

VALORELE DIN OSCILUGRAMA LUT 15

|          |   |        |
|----------|---|--------|
| 178( 1)  | = | 92°00' |
| 178( 2)  | = | 57°55' |
| 178( 3)  | = | 52°55' |
| 178( 4)  | = | 50°55' |
| 178( 5)  | = | 50°55' |
| 178( 6)  | = | 41°55' |
| 178( 7)  | = | 26°55' |
| 178( 8)  | = | 20°55' |
| 178( 9)  | = | 27°55' |
| 178( 10) | = | 24°55' |
| 178( 11) | = | 22°55' |
| 178( 12) | = | 19°00' |
| 178( 13) | = | 17°00' |
| 178( 14) | = | 15°55' |
| 178( 15) | = | 14°55' |
| 178( 16) | = | 13°55' |
| 178( 17) | = | 13°55' |
| 178( 18) | = | 13°55' |
| 178( 19) | = | 13°55' |
| 178( 20) | = | 13°55' |
| 178( 21) | = | 13°55' |
| 178( 22) | = | 13°55' |
| 178( 23) | = | 13°55' |
| 178( 24) | = | 13°55' |
| 178( 25) | = | 13°55' |
| 178( 26) | = | 13°55' |
| 178( 27) | = | 13°55' |
| 178( 28) | = | 13°55' |
| 178( 29) | = | 13°55' |
| 178( 30) | = | 13°55' |
| 178( 1)  | = | 13°55' |
| 178( 2)  | = | 13°55' |
| 178( 3)  | = | 13°55' |
| 178( 4)  | = | 13°55' |
| 178( 5)  | = | 13°55' |
| 178( 6)  | = | 13°55' |
| 178( 7)  | = | 13°55' |
| 178( 8)  | = | 13°55' |
| 178( 9)  | = | 13°55' |
| 178( 10) | = | 13°55' |
| 178( 11) | = | 13°55' |
| 178( 12) | = | 13°55' |

VALORELE DIN OSCILOGRAAMA LUT TEI

|             |        |
|-------------|--------|
| I F1A( 1)=  | 06°00' |
| I F1A( 2)=  | 76°00' |
| I C1A( 3)=  | 70°00' |
| I F1A( 4)=  | 62°50' |
| I F1A( 5)=  | 58°00' |
| I F1A( 6)=  | 51°00' |
| I F1A( 7)=  | 48°00' |
| I F1A( 8)=  | 43°00' |
| I F1A( 9)=  | 38°00' |
| I F1A(10)=  | 36°00' |
| I E1A(11)=  | 32°00' |
| I F1A(12)=  | 31°00' |
| I F1A(13)=  | 28°00' |
| I F1A(14)=  | 26°00' |
| I F1A(15)=  | 22°00' |
| I F1A(16)=  | 21°00' |
| I F1A(17)=  | 21°00' |
| I C1A(18)=  | 18°00' |
| I F1A(19)=  | 17°00' |
| I F1A(20)=  | 16°00' |
| I F1A(21)=  | 14°00' |
| I F1A(22)=  | 13°00' |
| I C1A(23)=  | 12°00' |
| I F1A(24)=  | 11°00' |
| I C1A(25)=  | 10°00' |
| I F1A(26)=  | 8°00'  |
| I F1A(27)=  | 8°00'  |
| I F1A(28)=  | 8°00'  |
| I E1A(29)=  | 7°00'  |
| I C1B(30)=  | 7°00'  |
| I F1B(31)=  | 6°00'  |
| I F1B(32)=  | 5°00'  |
| I F1B(33)=  | 4°00'  |
| I F1B(34)=  | 4°00'  |
| I F1B(35)=  | 2°00'  |
| I C1B(36)=  | 2°00'  |
| I E1B(37)=  | 2°00'  |
| I F1B(38)=  | 1°00'  |
| I F1B(39)=  | 1°00'  |
| I F1C(40)=  | 1°00'  |
| I F1C(41)=  | 1°00'  |
| I F1C(42)=  | 1°00'  |
| I F1C(43)=  | 1°00'  |
| I F1C(44)=  | 1°00'  |
| I F1C(45)=  | 1°00'  |
| I F1C(46)=  | 1°00'  |
| I F1C(47)=  | 1°00'  |
| I F1C(48)=  | 1°00'  |
| I F1C(49)=  | 1°00'  |
| I F1C(50)=  | 1°00'  |
| I F1C(51)=  | 1°00'  |
| I F1C(52)=  | 1°00'  |
| I F1C(53)=  | 1°00'  |
| I F1C(54)=  | 1°00'  |
| I F1C(55)=  | 1°00'  |
| I F1C(56)=  | 1°00'  |
| I F1C(57)=  | 1°00'  |
| I F1C(58)=  | 1°00'  |
| I F1C(59)=  | 1°00'  |
| I F1C(60)=  | 1°00'  |
| I F1C(61)=  | 1°00'  |
| I F1C(62)=  | 1°00'  |
| I F1C(63)=  | 1°00'  |
| I F1C(64)=  | 1°00'  |
| I F1C(65)=  | 1°00'  |
| I F1C(66)=  | 1°00'  |
| I F1C(67)=  | 1°00'  |
| I F1C(68)=  | 1°00'  |
| I F1C(69)=  | 1°00'  |
| I F1C(70)=  | 1°00'  |
| I F1C(71)=  | 1°00'  |
| I F1C(72)=  | 1°00'  |
| I F1C(73)=  | 1°00'  |
| I F1C(74)=  | 1°00'  |
| I F1C(75)=  | 1°00'  |
| I F1C(76)=  | 1°00'  |
| I F1C(77)=  | 1°00'  |
| I F1C(78)=  | 1°00'  |
| I F1C(79)=  | 1°00'  |
| I F1C(80)=  | 1°00'  |
| I F1C(81)=  | 1°00'  |
| I F1C(82)=  | 1°00'  |
| I F1C(83)=  | 1°00'  |
| I F1C(84)=  | 1°00'  |
| I F1C(85)=  | 1°00'  |
| I F1C(86)=  | 1°00'  |
| I F1C(87)=  | 1°00'  |
| I F1C(88)=  | 1°00'  |
| I F1C(89)=  | 1°00'  |
| I F1C(90)=  | 1°00'  |
| I F1C(91)=  | 1°00'  |
| I F1C(92)=  | 1°00'  |
| I F1C(93)=  | 1°00'  |
| I F1C(94)=  | 1°00'  |
| I F1C(95)=  | 1°00'  |
| I F1C(96)=  | 1°00'  |
| I F1C(97)=  | 1°00'  |
| I F1C(98)=  | 1°00'  |
| I F1C(99)=  | 1°00'  |
| I F1C(100)= | 1°00'  |

EXPERIMENTUL CU STATURUL DESCHIS

VALORILE DIN OSCILOGRAAME LUT TEZ

|               |       |
|---------------|-------|
| I E2A( 1 ) =  | 71°00 |
| I E2A( 2 ) =  | 51°40 |
| I E2A( 3 ) =  | 48°00 |
| I E2B( 1 ) =  | 48°00 |
| I E2B( 2 ) =  | 43°00 |
| I E2B( 3 ) =  | 39°00 |
| I E2B( 4 ) =  | 35°50 |
| I E2B( 5 ) =  | 34°00 |
| I E2B( 6 ) =  | 31°00 |
| I E2B( 7 ) =  | 30°00 |
| I E2B( 8 ) =  | 29°00 |
| I E2B( 9 ) =  | 27°00 |
| I E2B( 10 ) = | 24°50 |
| I E2B( 11 ) = | 23°20 |
| I E2B( 12 ) = | 23°00 |
| I E2B( 13 ) = | 21°00 |
| I E2B( 14 ) = | 20°00 |
| I E2B( 15 ) = | 18°50 |
| I E2B( 16 ) = | 19°00 |
| I E2B( 17 ) = | 17°00 |
| I E2B( 18 ) = | 16°00 |
| I E2B( 19 ) = | 15°00 |
| I E2B( 20 ) = | 14°00 |
| I E2B( 21 ) = | 13°50 |
| I E2B( 22 ) = | 12°20 |
| I E2B( 23 ) = | 12°00 |
| I E2B( 24 ) = | 11°20 |
| I E2B( 25 ) = | 11°00 |
| I E2B( 26 ) = | 9°50  |
| I E2B( 27 ) = | 9°20  |
| I E2B( 28 ) = | 9°20  |
| I E2B( 29 ) = | 8°00  |
| I E2C( 1 ) =  | 8°00  |
| I E2C( 2 ) =  | 7°00  |
| I E2C( 3 ) =  | 5°20  |
| I E2C( 4 ) =  | 5°00  |
| I E2C( 5 ) =  | 4°00  |
| I E2C( 6 ) =  | 2°50  |
| I E2C( 7 ) =  | 2°00  |
| I E2C( 8 ) =  | 1°20  |
| I E2C( 9 ) =  | 1°00  |
| I E2C( 10 ) = | 1°20  |
| I E2C( 11 ) = | 1°00  |

EXPERIMENTUL TRANSVERSAL

VALORELE DIN OSCILOGRAAMA LUT 10

|          |       |
|----------|-------|
| I0A( 1)= | 75°UD |
| I0A( 2)= | 63°58 |
| I0A( 3)= | 53°UD |
| I0B( 1)= | 53°UD |
| I0B( 2)= | 45°58 |
| I0B( 3)= | 39°58 |
| I0B( 4)= | 34°58 |
| I0B( 5)= | 31°UD |
| I0B( 6)= | 27°58 |
| I0B( 7)= | 25°UD |
| I0B( 8)= | 24°58 |
| I0B( 9)= | 19°UD |
| I0B(10)= | 18°UD |
| I0B(11)= | 16°UD |
| I0B(12)= | 15°58 |
| I0B(13)= | 14°58 |
| I0B(14)= | 13°58 |
| I0B(15)= | 13°UD |
| I0B(16)= | 11°58 |
| I0B(17)= | 11°UD |
| I0B(18)= | 10°58 |
| I0B(19)= | 10°UD |
| I0B(20)= | 9°UD  |
| I0B(21)= | 8°58  |
| I0B(22)= | 8°UD  |
| I0B(23)= | 7°58  |
| I0B(24)= | 7°UD  |
| I0B(25)= | 6°58  |
| I0C( 1)= | 6°58  |
| I0C( 2)= | 6°UD  |
| I0C( 3)= | 5°58  |
| I0C( 4)= | 5°UD  |
| I0C( 5)= | 4°58  |
| I0C( 6)= | 3°58  |
| I0C( 7)= | 3°UD  |
| I0C( 8)= | 2°78  |
| I0C( 9)= | 2°58  |
| I0C(10)= | 1°58  |
| I0C(11)= | 1°28  |
| I0C(12)= | 1°22  |
| I0C(13)= | 1°08  |
| I0C(14)= | 0°UD  |

REZULTATE INTERMEDIARE

K0U1A=U  
K0U1B=U  
K0U1C=U  
K0U1D=U

INTEGRALA CURENTULUI LONGITUDINAL ESTER = 0351265277777780+02  
ATU1= 0525933265592680+00  
ALFAU= 4877758640113210+0?

K0U2A=U  
K0U2B=U  
K0U2C=U

INTEGRALA CURENTULUI TE2 ESTE K2= 174926666666670+02

ATU2= 2463755668544600+00  
ALFAE= 1292009182694230+01  
UTE2= 12746478872239440+00  
STUMAFS0= 477835400022090+00  
UTU1= 1443088437894310+00  
UTU1V= 1183333333333330+04  
STUMAN= 150924296837170+01

K0U3A=U  
K0U3B=U  
K0U3C=U

INTEGRALA CURENTULUI TE1 ESTE K3= 940033333333330+02

ATUE1= 114038215821140+01  
UTE1= 1100000000000000+04  
UTU1V= 134140341463410+02  
UFE= 11857013196239070+03  
USU= 9704756797129750+00  
UFE= 3781430271011280+00  
UD= 9161175576016650+00

K0U4A=U

K0U4B=U

K0U4C=U

AFe= 2827375897000150+02  
ALFAD= 2795091853413800001

K0U5A=U

K0U5B=U

K0U5C=U

ATU= 4692207407407410+00

ALFAU= 7416213710518870+02

UTU= 0000000000000000+03

UFETIVATA LUI IU ESTE DI2V= 112000007000000000+02

STUMAQSO= 1941502947632920+00

K0U6A=U

K0U6B=U

K0U6C=U

AC= 1671024079012350+00

ALFAJ0= 1962064037193410+01

PARAMETRII STATORICI LONGITUDINALI

```
*****  
* X0      *   '1271137173595390+01 *  
*          *  
*****  
* XAD     *   '1164517764495240+01 *  
*          *  
*****  
* XSIGMA  *   '1e6676339L001470+00 *  
*          *  
*****
```

PARAMETRII STATORICI TRANSVERSALI

```
*****  
* X0      *   '836L4e5652716740+00 *  
*          *  
*****  
* XAU    *   '72942e2261715270+00 *  
*          *  
*****
```

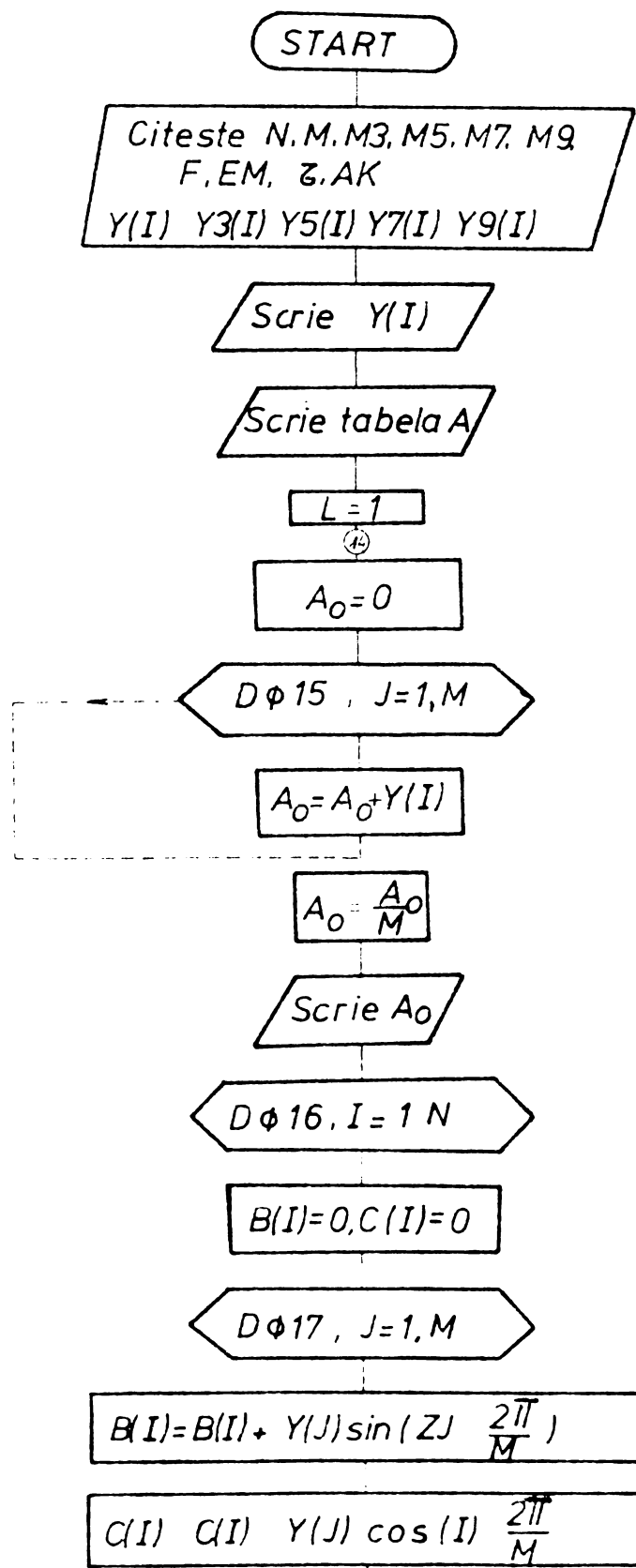
PARAMETRII ROTATORICI LONGITUDINALI

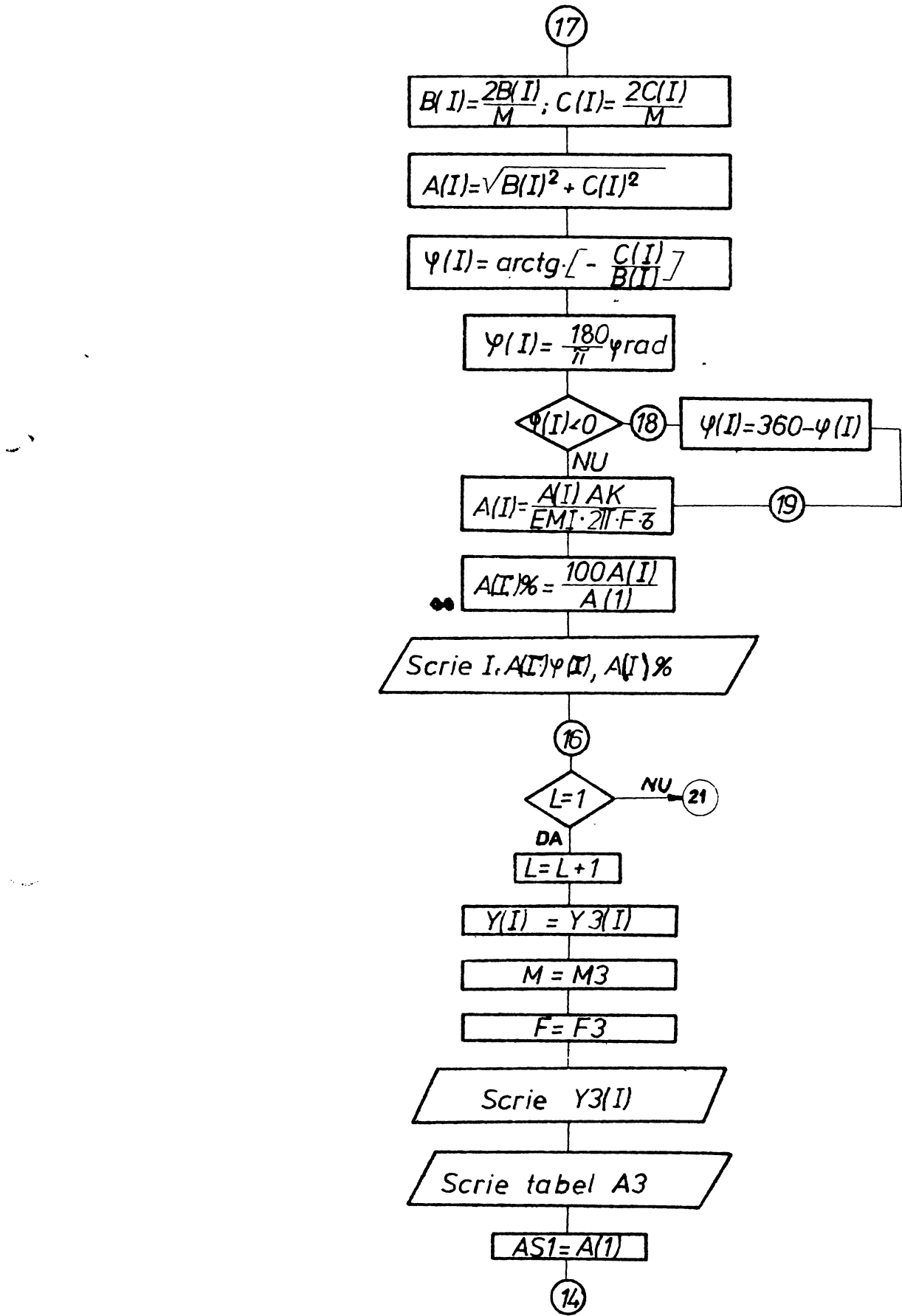
```
*****  
* XSO    *   '1194938173168210+01 *  
*          *  
*****  
* KSO    *   '3353237272567520+01 *  
*          *  
*****  
* XE     *   '1326106J16798990+01 *  
*          *  
*****  
* KE     *   '1713339823919940+01 *  
*          *  
*****
```

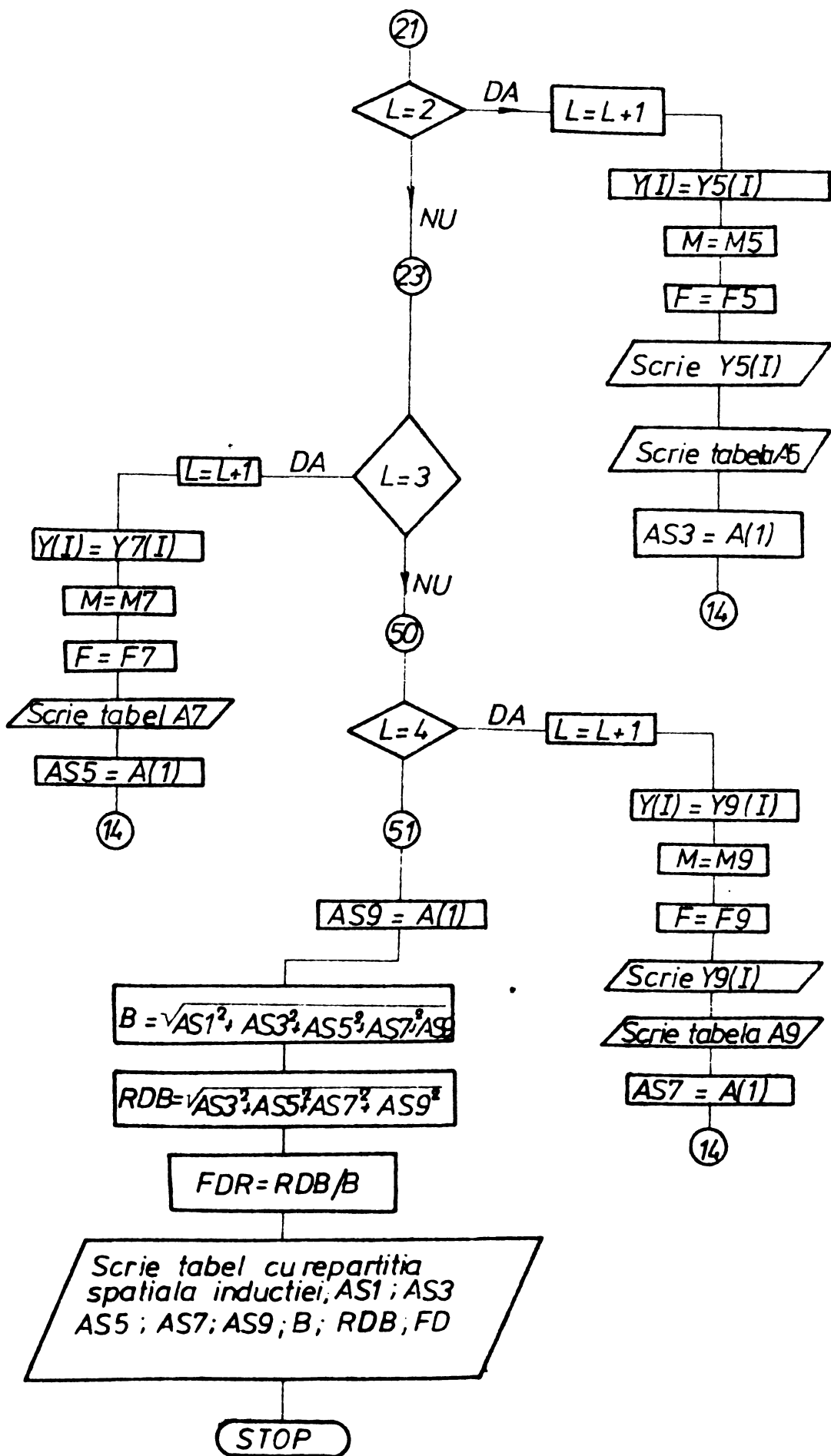
PARAMETRII ROTATORICI TRANSVERSALI

```
*****  
* XSU    *   '7e9716269e949020+00 *  
*          *  
*****  
* KSU    *   '1e49947717732870+01 *  
*          *  
*****
```

Ordinograma de prelucrarea oscilogramelor pentru analiza cîmpului magnetic cu metoda filtrelor de spatiu







```

1 ANALIZA CIMPULUI CU FILTRE DE SPATIU
2 FIECARE INREGISTRARE CORESPUNZATOARE UNEI
3 ARMONICI DE SPATIU SE EXPRIMA :
4 Y(T)=AZERO+SUMA(A(I)SIN(I*OMEGA*T+F(I)))
5
6 DIMENSION Y(70),Y3(70),Y5(40),Y7(40),Y9(50),
7 CA(15),B(15),C(15),F(15),PROCENTE(15)
8 READ(105,1) F,EM,TAU,AK,N,M,M3,M5,M7,M9
9
10 1 FORMAT(4F8.4,6I4)
11 READ(105,2) (Y(I),I=1,M)
12 2 FORMAT(0(F6.1,2X))
13 READ(105,2) (Y3(I),I=1,M3)
14 READ(105,2) (Y5(I),I=1,M5)
15 READ(105,2) (Y7(I),I=1,M7)
16 READ(105,2) (Y9(I),I=1,M9)
17
18 WRITE(108,3)
19 3 FORMAT('1',21X,'ANALIZA ARMONICELOR DE SP',
20 C'ATIU ALE CIMPULUI PRINCIPAL LA',//22X,55(
21 10**1//39X,'MASINA SINCRONA DE 5MW',//'
22 139X,2?(*')//')
23
24 WRITE(108,100)
25 100 FORMAT('1',15Y,'USCTL PROGRAMA FILTRU 1',//)
26 WRITE(108,170) ((I,Y(I)),I=1,M)
27 170 FORMAT('1',2UX,'Y(1,12,1)',F6.2)
28 WRITE(108,6)
29 6 FORMAT('1',24Y,'ARMONICA DE SPATIU ',
30 C'DE ORDINUL 1',//25X,31(*')//')
31 0 FORMAT('1',21X,55(*'))
32 9 FORMAT('1',21X,'**',11X,'**',17X,'**',10X,'**',
33 C12X,'**')
34 10 FORMAT('1',24Y,'**',2X,'ORDINUL',2X,'**',3X,
35 C'AMPLITUUDINE',3X,'**',3X,
36 C'FAZA',3X,'**',2X,'PROCENTE',2X,'**')
37 11 FORMAT('1',24X,'**',1X,'ARMONICII',1X,'**',
38 C17X,'**',11X,'**',12X,'**')
39 12 FORMAT('1',21X,'**',11X,'**',5X,F6.2,6X,'**',
40 C10X,'**',12X,'**')
41 13 FORMAT('1',21X,'**',14X,12,5X,'**',5X,F7.4,5X
42 C,'**',2X,F6.2,2X,'**',3X,F6.2,3X,'**')
43 L=1
44 14 AZERU=J
45 DO 15 J=1..M
46 15 AZERU=AZERU+Y(J)
47 AZERO=AZERU/M
48 WRITE(108,6)

```

```
48 WRITE(108,9)
49 WRITE(108,10)
50 WRITE(108,11)
51 WRITE(108,9)
52 WRITE(108,6)
53 WRITE(108,9)
54 WRITE(108,12) AZEPU
55 WRITE(108,9)
56 DO 16 I=1,N
57 B(I)=0
58 C(I)=0
59 DO 17 J=1,M
60 B(I)=B(I)+Y(J)*SIN(I+J*3°141592/(M/2°))
61 C(I)=C(I)+Y(J)*COS(I+J*3°141592/(M/2°))
62 B(I)=2°*B(I)/M
63 C(I)=2°*C(I)/M
64 A(I)=SQR((B(I)**2+C(I)**2))
65 F(I)=ATAN("C(I)/B(I))")
66 FI(I)=FI(I)+180°/3°141592
67 IF(FI(I)>LT°0°) GO TO 18
68 A(I)=A(I)+AK/(EM*I*2°*3°141592*F*TAU)
69 PROCENT(I)=A(I)*100°/A(1)
70 TU 16
71 FI(I)=3AU*"ABS(FI(I))
72 TU 19
73 WRITE(108,13) I,A(I),FI(I),PROCENTE(I)
74 WRITE(108,9)
75 CONTINUE
76 WRITE(108,0)
77 IF(L.NE.'1') GO TO 21
78 L=L+1
79 DO 22 I=1,M
80 Y(I)=Y3(I)
81 M=M3
82 F=2R°57
83 WRITE(108,181)
84 FORMAT('1',15X,'USCILOGRAMA FILTRU 3°.///')
85 WRITE(108,171) (I,Y(I),I=1,M)
86 FORMAT('1',20X,'Y3('I2,')=',F6.2)
87 WRITE(108,187)
88 FORMAT('1',//,25X,'ARMONICA DE ','
89 'SPATIU DE ORDINAL 3°/25X,31(''')//)
90 A(1)=A(1)
91 TU 14
92 DO 21 I=1,M
93 L=L+1
94 DO 24 I=1,M
```

95  
96  
97  
98  
99  
100  
101  
102  
103  
104  
105  
106  
107  
108  
109  
110  
111  
112  
113  
114  
115  
116  
117  
118  
119  
120  
121  
122  
123  
124  
125  
126  
127  
128  
129  
130  
131  
132  
133  
134  
135  
136  
137  
138  
139  
140  
141

```
24 Y(I)=Y(I)
M=M5
F=47^61
WRITE(108,192)
184 FORMAT('I',15X,'OSCILOGRAMA FILTRU 5°//')
185 WRITE(108,172) (I,Y(I),I=1,M)
172 FORMAT('I',20Y,'YF(I,I2,I)=I,F6.2)
WRITE(108,178)
108 FORMAT('I',//,25Y,'ARMONICA DE'
C'SPATIU DE ORBİNUL 5°//25Y,31(I**1)//)
AS5=A(I)
GO TO 14
23 IF(LINE'5) GO TO 50
L=L+1
UN 25 I=Y(I)
25 Y(I)=Y(I)
M=M7
F=67^9
WRITE(108,183)
183 FORMAT('I',15X,'OSCILOGRAMA FILTRU 7°//')
184 WRITE(108,173) (I,Y(I),I=1,M)
173 FORMAT('I',20Y,'YF(I,I2,I)=I,F6.2)
WRITE(108,179)
179 FORMAT('I',//,25Y,'ARMONICA DE'
C'SPATIU DE ORBİNUL 7°//25Y,31(I**1)//)
AS5=A(I)
GO TO 14
50 IF(LINE'4) GO TO 51
L=L+1
UN 26 I=4,M9
26 Y(I)=Y(I)
M=M9
F=85^4
WRITE(108,184)
184 FORMAT('I',15X,'OSCILOGRAMA FILTRU 9°//')
185 WRITE(108,174) (I,Y(I),I=1,M)
174 FORMAT('I',20Y,'YF(I,I2,I)=I,F6.2)
WRITE(108,110)
110 FORMAT('I',//,25Y,'ARMONICA DE'
C'SPATIU DE ORBİNUL 9°//25Y,31(I**1)//)
AS7=A(I)
GO TO 14
51 AS9=A(I)
AB=SQR((AS1**2+AS3**2+AS5**2+AS7**2+AS9**2))
PAS1= UN *AS1/AB
PAS3=100 *AS3/AB
PAS5=100 *AS5/AB
```

142  
143  
144  
145  
146  
147  
148  
149  
150  
151  
152  
153  
154  
155  
156  
157  
158  
159  
160  
161  
162  
163  
164  
165  
166  
167  
168  
169  
170  
171  
172  
173  
174  
175  
176  
177  
178  
179  
180  
181  
182  
183  
184  
185  
186  
187  
188

```
PAS7=1UN*PAS7/AB
PAS9=1UN*PAS9/AB
AB=AB/SQRT(2*)
KDB=SQRT((A53**2+AS5**2+AS7**2+AS9**2))
KDB=RDB/SQRT(2*)
FD=RUB/AB
WRITE(106,201)
201 FORMAT('1',24X,'STRUCTURA IN SPATIU A',1X,
*'CIMPULUI MAGNETIC DIN INTREPTER',111111)
WRITE(106,202)
202 FORMAT('1',21X,57('00'))
WRITE(106,203)
203 FORMAT('1',21X,'**',22X,'**',17X,'**',14X,'**')
WRITE(106,204)
204 FORMAT('1',21X,'**',2X,'ARMONICA DE SPATIU',
*'2Y,'**',3X,'AMPLITUDINE',3X,'**',2X,'PROCENT',3X,'**')
WRITE(106,205)
205 FORMAT('1',21X,'**',8X,'AS1',PAS1
*'F6',2,5X,'**')
WRITE(106,206)
206 FORMAT('1',21X,'**',8X,'AS3',PAS3
*'F6',2,5X,'**')
WRITE(106,207)
207 FORMAT('1',21X,'**',8X,'AS5',PAS5
*'F6',2,5X,'**')
WRITE(106,208)
208 FORMAT('1',21X,'**',8X,'AS7',PAS7
*'F6',2,5X,'**')
WRITE(106,209)
209 FORMAT('1',21X,'**',8X,'AS9',PAS9
*'F6',2,5X,'**')
WRITE(106,203)
```

No

FACTURA 27/08/83 12°40'07

109 WRITE(100,202)  
110 WRITE(100,210) AB  
111 FORMAT('10.2',11,21V,  
112 \*1X,'0=0',F6.2,11)  
113 WRITE(100,211)CDB  
114 FORMAT('10.2',21V,  
115 \*R1T(100,211)FD  
116 FORMAT('10.2',21X,  
117 \*F6.2)  
118 STOP  
119 END

OCTALOGAMA FILTRU 1

|         |        |
|---------|--------|
| Y( 1) = | 4'30   |
| Y( 2) = | 6'00   |
| Y( 3) = | 13'70  |
| Y( 4) = | 18'60  |
| Y( 5) = | 23'20  |
| Y( 6) = | 27'90  |
| Y( 7) = | 31'20  |
| Y( 8) = | 35'00  |
| Y( 9) = | 38'00  |
| Y(10) = | 42'00  |
| Y(11) = | 44'00  |
| Y(12) = | 48'00  |
| Y(13) = | 50'00  |
| Y(14) = | 51'00  |
| Y(15) = | 51'00  |
| Y(16) = | 53'00  |
| Y(17) = | 53'00  |
| Y(18) = | 51'00  |
| Y(19) = | 50'00  |
| Y(20) = | 46'00  |
| Y(21) = | 46'00  |
| Y(22) = | 43'00  |
| Y(23) = | 40'00  |
| Y(24) = | 37'70  |
| Y(25) = | 34'80  |
| Y(26) = | 30'40  |
| Y(27) = | 26'00  |
| Y(28) = | 21'00  |
| Y(29) = | 17'40  |
| Y(30) = | 14'80  |
| Y(31) = | 14'00  |
| Y(32) = | 10'40  |
| Y(33) = | "4'00  |
| Y(34) = | "4'00  |
| Y(35) = | "8'00  |
| Y(36) = | "13'70 |
| Y(37) = | "18'00 |
| Y(38) = | "23'40 |
| Y(39) = | "27'40 |
| Y(40) = | "31'20 |
| Y(41) = | "35'00 |
| Y(42) = | "38'00 |
| Y(43) = | "42'00 |
| Y(44) = | "44'00 |
| Y(45) = | "45'00 |
| Y(46) = | "48'00 |
| Y(47) = | "50'00 |
| Y(48) = | "50'00 |
| Y(49) = | "51'00 |
| Y(50) = | "53'00 |
| Y(51) = | "53'00 |
| Y(52) = | "51'00 |
| Y(53) = | "50'00 |
| Y(54) = | "50'00 |
| Y(55) = | "48'00 |
| Y(56) = | "46'00 |
| Y(57) = | "43'00 |
| Y(58) = | "40'70 |
| Y(59) = | "37'70 |
| Y(60) = | "34'00 |
| Y(61) = | "30'40 |
| Y(62) = | "26'00 |
| Y(63) = | "24'00 |
| Y(64) = | "17'20 |
| Y(65) = | "12'60 |
| Y(66) = | "6'00  |
| Y(67) = | "4'00  |
| Y(68) = | "0'00  |

ARMONICA DE SPATIU DE ORDINUL 1

\*\*\*\*\*

| ORDINUL<br>ARMUNICII | AMPLITUINE | FAZA   | PROCENTE |
|----------------------|------------|--------|----------|
|                      | '000       |        |          |
| 1                    | '6867      | 359°42 | 100°00   |
| 2                    | '0000      | 341°13 | '00      |
| 3                    | '0025      | 351°58 | '37      |
| 4                    | '0000      | 21°02  | '00      |
| 5                    | '0009      | 331°00 | '12      |
| 6                    | '0000      | 48°25  | '00      |
| 7                    | '0007      | 347°50 | '11      |
| 8                    | '0000      | 62°17  | '00      |
| 9                    | '0003      | 275°65 | '04      |
| 10                   | '0000      | 340°73 | '00      |
| 11                   | '0002      | 341°63 | '02      |
| 12                   | '0000      | 61°37  | '00      |
| 13                   | '0001      | 63°77  | '02      |
| 14                   | '0000      | 35°29  | '00      |
| 15                   | '0001      | 2°94   | '01      |

ARMONICA DE SPATIU DE CROCINUL 3

\*\*\*\*\*

| ORDINUL<br>ARMONICII | AMPLITUDINE<br>mm | FAZA<br>° | PROCENTE<br>% |
|----------------------|-------------------|-----------|---------------|
| 1                    | 1412              | 35        | 100,00        |
| 2                    | 6700              | 12°16     | 0,67          |
| 3                    | 6700              | 22°39     | 0,71          |
| 4                    | 5000              | 284°22    | 0,60          |
| 5                    | 4000              | 174       | 0,37          |
| 6                    | 3000              | 331°80    | 0,00          |
| 7                    | 2000              | 15°98     | 0,09          |
| 8                    | 1800              | 47°94     | 0,00          |
| 9                    | 1500              | 56°30     | 0,07          |
| 10                   | 1000              | 282°21    | 0,00          |
| 11                   | 1000              | 285°80    | 0,05          |
| 12                   | 800               | 79°07     | 0,00          |
| 13                   | 600               | 279°12    | 0,01          |
| 14                   | 500               | 290°24    | 0,00          |
| 15                   | 1000              | 24°08     | 0,04          |

ARMONICA DE SPATIU DE ORDINUL 5

\*\*\*\*\*

| ORDINUL<br>ARMONICII | AMPLITUDINE | FATA   | PERCENTE |
|----------------------|-------------|--------|----------|
| *                    | 170         | *      | *        |
| 1                    | 16274       | 2°03   | 100'00   |
| 2                    | 10000       | 7°00   | '00      |
| 3                    | 10004       | 42°72  | 1°49     |
| 4                    | 10000       | 41°89  | '00      |
| 5                    | 10002       | 20°54  | '59      |
| 6                    | 10000       | 276°95 | '00      |
| 7                    | 10001       | 31°89  | '44      |
| 8                    | 10000       | 22°60  | '00      |
| 9                    | 10001       | 43°39  | '30      |
| 10                   | 10000       | 65°66  | '00      |
| 11                   | 10001       | 90°00  | '33      |
| 12                   | 10000       | 299°08 | '00      |
| 13                   | 10001       | 316°61 | '21      |
| 14                   | 10000       | 45°65  | '00      |
| 15                   | 10001       | 328°10 | '21      |

ARMONICA DESPATIU DE ORDINUL 7

\*\*\*\*\*

| ORDINUL ARMONICII | AMPLITUDINE | FAZA   | PROCENTE |
|-------------------|-------------|--------|----------|
| *                 | 100         | *      | *        |
| 1                 | '0578       | '44    | 100'00   |
| 2                 | '0000       | 11'97  | '00      |
| 3                 | '0022       | 7'25   | 3'76     |
| 4                 | '0000       | 34'90  | '00      |
| 5                 | '0002       | 326'09 | '30      |
| 6                 | '0000       | 270'44 | '00      |
| 7                 | '0001       | 7'16   | '21      |
| 8                 | '0000       | '00    | '00      |
| 9                 | '0001       | 352'88 | '16      |
| 10                | '0000       | 298'72 | '00      |
| 11                | '0001       | 33'92  | '14      |
| 12                | '0000       | 329'58 | '00      |
| 13                | '0005       | 352'75 | '57      |
| 14                | '0000       | 351'06 | '00      |
| 15                | '0039       | 359'56 | 6'67     |

ARMONICA DESPATTU DE ORDINUL 9

\*\*\*\*\*

| ORDINUL<br>AKMUNICIT | AMPLITUDINE | FATA   | PROCENTE | * |
|----------------------|-------------|--------|----------|---|
|                      |             |        |          | * |
|                      | 100         |        |          |   |
| 1                    | 1395        | 38     | 100'00   |   |
| 2                    | 8000        | 347'77 | '00      |   |
| 3                    | 7019        | 52     | 4'70     |   |
| 4                    | 6000        | 352'25 | '00      |   |
| 5                    | 6001        | 12'64  | '27      |   |
| 6                    | 6000        | 27'36  | '00      |   |
| 7                    | 0000        | 350'35 | '11      |   |
| 8                    | 0000        | 12'37  | '00      |   |
| 9                    | 0001        | 357'00 | '27      |   |
| 10                   | 0000        | 275'11 | '00      |   |
| 11                   | 0001        | 359'37 | '17      |   |
| 12                   | 0000        | 00     | '00      |   |
| 13                   | 0001        | 62     | '14      |   |
| 14                   | 0000        | 55'31  | '00      |   |
| 15                   | 0001        | 3'00   | '16      |   |

STRUCTURA IN SPATIU A CIMPULUI MAGNETIC DIN INTRAFIER

| ARMONICA DE SPATIU | AMPLITUDINE | PROCENTE |
|--------------------|-------------|----------|
| A <sub>51</sub>    | 169         | 97°39    |
| A <sub>53</sub>    | 114         | 20°03    |
| A <sub>55</sub>    | 103         | 3°88     |
| A <sub>57</sub>    | 106         | 8°19     |
| A <sub>59</sub>    | 104         | 5°60     |

VALOAREA EFECTIVA A INDUCTIEI B= 150

REZIDUUL DEFORMANT B= 11

FACTORUL DE DISTORSIUNE A CIMPULUI= 123

B I B L I O G R A F I E

1. Abrenovici B.N. - Metod opredelenija parametrov sinhronnykh masin na T.V.M.  
Izvestija vysih ucebnih zavedenij ENERGETIKA nr.5, 1979.
2. Adkins B. - Obschaja teoria elektriceskikh magin G.E.I. Moskva - 1960.
3. Akademia Nauk SSSR - Turbo i ghidrogheneratori bolgoi magsinosti i perspektivi ikh razvitiya. Nauka - Leningrad 1968.
4. Akademia Nauk L.S.S.R. - Beskontaktnie elektriceskie masini Zinatne - Riga 13 - 1974.
5. Akademia Nauk L.S.S.R. - Beskontaktnie elektriceskie masini Zinatne - Riga 14 - 1975.
6. Akademia Nauk L.S.S.R. - Beskontaktnie elektriceskie masini Zinatne - Riga 15 - 1976.
7. Akademia Nauk SSSR - Turbo i ghidrogheneratori Metodi issledovanija i resceta Nauka - Leningrad 1974.
8. Akademia Nauk SSSR - Problem sazdaniya turbo i ghidrogheneratori bolgoi magsinosti Nauka-Leningrad 1971.
9. Akademia Nauk Ukrainskoi SSR Institut electrodinamiki - Problem povysheniya nadejnosti magsinov turbogeneratorov Sbornik nauchnykh trudov. Naukova dumka - Kiev 1979.
10. Akademia Nauk SSSR - Issledovanie turbo i ghidrogheneratorov bolgoi magsinosti Nauka-Leningrad 1977.
11. Aliabiev M.I. - Obschaja teoria elektriceskikh masin Sudostroenie Leningrad 1965.
12. Altsuler J.B., Kartagovski P., Liwschitz A.L., Feinstein J.B. - Rascet elektromagnitnykh polei v elektriceskikh masinah. Moskva Energia 1968.

13. Andreev V.G.
14. Atenasiu Gh.
15. Baldan G., Durano G.
16. Barral J.,  
Bonnefille R.
17. Bălă C.
18. Battersby G.A.,  
Mansel A.D.
19. Belousov V.V.,  
Ceciumin V.L.
20. Cenco C., Babach G.
21. Sims C., Lawerson P.
22. citsem Bethold  
Koglin Hans-Jurgen
23. Simiescu M., Gh. Liuba  
Grando I.
- Issledovanie na A.V.M. neravnovesnih stationarnih rejimov raboty sinchronogo generatora  
Elektrotehnika n.12 1977
  - Transformări de variabile în teoria mașinilor electrice  
Conferința Națională de Electro-tehnica și energetică  
Timișoara septembrie 1982
  - Il calcolo e il disegno delle machine elettriche  
Liviana editrice Padova 1977.
  - Contribution à l'étude de la machine synchrone à circuit magnétique saturé  
R.G.E. 11/1978.
  - Mașini electrice  
E.D.P. București 1979
  - ◆ Some notes on winding analysis and the measurement of machine parameters.  
Int.J.Elec.Eng.E.  
Ekspress informația  
Elektroiceskie mașinî i aparati  
2, 1977.
  - Algoritm islenogo rasceta polia i poteri torzhevoi zone elektriceskoi mașini  
Is. A.N. SSSR.  
Energetika i transport 6/1976.
  - Valutazione della permeanza di ceve mediante la determinazione numerica del campo magnetico con metodi iterativi di tipo SLOR  
L'ELECTROTECNICA VOL.LXV 3-1978.
  - Analiz i rascet elektriceskih i magnitnih polei  
Energia Moskva 1970.
  - Numerische Ermittelung der Parameter von Synchron-maschinen aus Stosskurzschluss versuchen  
ETZ A99 n.9, 1978.
  - Analiza cîmpului magnetic atil la generatoarele de mare putere cu ajutorul filtrelor de spatiu  
Bul.St.Tehn. al I.P.T.V.T.  
Tom 24/1979.

24. Brînkii E.A., Danilevici Ia. - Elektromagnitnîe polia  
Iakovlev V. electriceskikh mašin  
Energetika - Lenigrad-1979.
25. Bițiescu M., Lubă Gh., - Studiu posibilităților  
Vârteșki C. de încercare a rezistențelor  
electrice mării puteri  
stand de încărcare al  
ICMR  
Contract de cercetare nr. 95/  
1976-1979 Institutul Poli-  
tehnic "Traian Vuia" Timi-  
șoara - ICM Reșița
26. Chikasa U., Takao O. - Three-Short Circuit Method  
for Measuring Synchronous  
Machine Constants and Ana-  
lysis of Saturation Effects  
on Machine Constants  
Electrical Engineering in  
Japan, Vol. 97, no. 3, 1977
27. Chikasa U., Tako O. - Extended Slip Test for  
Measuring Synchronous Machine  
Constants Electrical  
Engineering in Japan, Vol. 97,  
No. 3, 1977.
28. Cioban I. - K metodu perehodnih protoku-  
ssov v dempefărăi konturach  
elektriceskikh mašin  
Elektricstvo nr. 6, 1978.
29. Cîmpeanu A. - Mașini electrice  
Seriaul monografic nr. 1, 1977
30. Concodin E. - Sincronnie mașini  
Perehodniye i ustanovačie  
rezimi  
Gosenergoizdat 1969.
31. Dancea I. - Programarea calculurilor  
numerice  
Editura Dacia, Cluj 1975.
32. Dandeno Kundur,  
Poroy Zein El Din - Adaptation and Validation of  
turbo-generator model Para-  
meters through on Line Freq-  
uency Response Measurements  
IEE Trans on PAS Vol. 100, 1981.
33. Danilevici Ia. B  
Dombrovski V. V.  
Kazovski E.Ia. - Parametrii electricenii  
mașin permanente toke  
Nauka-Moskva-Leningrad 1965.

34. Benilevici Ia.  
Tekovlev V.T.
35. Demidovich B.  
Maron T.
36. Demircian K.
37. Demircian K.S.
38. Dommel H.W.,  
Sato N.
39. Dordea T.
40. Dordea T., Biriescu M.,  
Voia V., Liuba Gh.,  
Babescu M., Varinski C.
41. Dordea T., Sora T.,  
Biriescu M., Voia V.,  
Liuba Gh., Babescu M.,  
Varinski C.
42. Fedorev A.A.
43. Filippov E.
44. Filt R.V.
45. Flatau K.
46. Frenou A., Mitureanu L.,  
Mitureanu A., Condruc I.,  
Papci ...
- Raspredelenie aksialnoi sostov-  
liainscei inducții postatora  
turbogeneratora  
Elektrotehnika 12/1975
- Éléments de calcule numerique  
Edition Mir - Moscou - 1973
- Modelirovanie magnitnih polei  
Energia - Leningrad - 1974
- Metod rasceta vîhrevîh magnetnih  
polei s pomoșciu skalirnogo  
magnitnogo potentiala  
Energetica i transport 4, 1970.
- Fast Transient Stability Solutions  
I.E.E. Trans. PAS Vol.PAS 91 1972
- Mașini electrice  
E.D.R. București 1970
- Cercetări în domeniul încercării  
și determinării unor parametrii  
funcționali ai mașinilor sincrone  
și asincrone din profilul Intre-  
prinderii C. Construcții de Mașini  
Reșița  
Contract de cercetare nr.124/1981
- Cercetări privind determinarea  
experimentală a unor parametri la  
mașini sincrone și asincrone de  
medie și mare putere din profilul  
ICM Reșița  
Contract de cercetare nr.22/1982  
TPTV Timișoara-ICM Reșița
- Opredelenie rascetnih parametrov  
Sinhronnih dvigatelei s siho-  
vaniimi poliusami.
- Nelineinaia elektrotehnika  
Per. s nemetskii  
Energia - Moskva 1976
- Obschii metod opredelenia elektro-  
mehanicheskikh ustroistvo s nasiscia  
inscimsia magnit nopravodom.  
Elektrotehnika nr.3 - 1977
- Messtechnische Grundlagen zur Bere-  
chnung von Ausgleichsvorgangen der  
Synchron-maschine ETZ A 1967, 88, nr.3
- Mașini și sisteme de acționări  
electrice  
Probleme fundamentale  
E.T. București 1978

47. Frohn H. - Möglichkeiten der modernen  
Analyse des Luftspaltfeldes elektro-  
magnetischer Maschinen  
E.P.E. A 1969 - 1. Nr.4
48. Gheorghiu T.S.,  
Fransua A.S. - Tratat de magneții electriști  
Editura Academiei Române  
1972
49. Gibson I.E. - Sisteme automate inclinabile  
Traducere din limba engleză - U.A.  
E.P. București 1977
50. Glebov A.,  
Mamikonian L.G. - Problemi turbo- și hidro- gen-  
ratorostroenija na mezinu rec-  
noi conferenții po bolgi električeskim siuslerom  
Informelktric Sovjet - 1971.
51. Gluhivskii T.V. - Recenz a.d.s. v kategorii  
oletatie invencijelor i tehnologii  
magneți  
Elektrotehnika nr.5, 1971.
52. Gopal Reddy,  
Jones C.V. - Fine-line cohort circuit of  
synchronous machine:  
illustration of other  
chiric enigas  
Ince. IBM V.I.I.L., N.Y., Jan 1971
53. Govorkov V.A. - Električeskie i magnitniye  
Energiia - Moskva - 1971
54. Guilbert A. - Induktivne generatori  
ED. Energie - 1971
55. Guralnik S.N. - Outilograficckie i Ivanovskie  
Energiia Moskva - 1971.
56. Hannakam L.,  
Nolle E. - Berechnung von Ankerdrehmomenten  
beim Feilklummen bei induktiver Ver-  
wicklungsförderung bei Drehstrom-  
schlussmaschine  
Arch Electrotechn. nr.1-1 73
57. Harris M.R.,  
Lawerson R.I.,  
Stefenson J.L. - Sistem otnositelnih edinit v  
teorii električeskih mašin  
Izrevod s angl  
Energiia Moskva 1975
58. Iakušov V.M. - Ekperimentalne opredeleni-  
ciastotnih karakteristik i elektro-  
magnitnih parametrov meginh  
sincronnih generatorev.  
Izvestiye vuzov po radiofizike i radio-  
tekhnike p-17.

59. Tsvetkov Smolenski A.V. - Elektromagnitnie polia i protesi v elektriceskikh masinah i ih fiziceskoe modelirovanie  
Energia - 1969
60. Darve G.E. - Promislenie ispitania elektriceskikh masin Leningrad - 1968
61. Lichten V.K. - Harakteristiki i parametri iavnopoliusnih sinchronnih masin s naishchenim magnitoprovodim  
Elektricestvo nr.8-1979
62. Karpov G.V. - Metod eksperimentalnogo issledovaniia sinchronnoi masini v dvuh osiakh  
Elektricestvo nr.9- 1970
63. Kazovski B.Ts. - Anormalnie regimi k rupniih sinchronnih masin  
Nauka Leningrad - 1969
64. Kazovski B.Ts. - Perehodnie processi pri otkliucenii kretkovremennih korotkih zamikanii sinchronnih masin  
Lav.A.N.S.S.S.R. Energetika nr.5/ 1972
65. Kazovski B.Ts. - Perehodnie protesi elektriceskikh masin peremenogo toka  
A.N. S.S.S.R.:Moskva-Leningrad 1962
66. Klimbark B. - Sinchronnie masini i ustoyivosti elektriceskikh sistem  
G.E.I. Moskva - 1960
67. Leoncenco S.V. - Elektriceskie masini  
S. Il'ev G.A.  
Maricov N.A. Spetsialnii kurs  
Vischaja shkola - Moskva - 1975
68. Kostenko M.P. - Elektriceskie masini  
Piotrovski L.M. Gosenergoizdat Moskva - 1962
69. Kostenko M.P. - Elektriceskie masini Ci. 1 i 2.  
Piotrovski L.M. Energia 1973
70. Krilov V.F. - Inductivnie soprotivlenie "Poitier"  
V rezimah s aktivnoi нагрузкoi  
Elektrotehnika nr.12-1979.
71. Laible Th. - Teoria sinchronoi masini pri perehodnih protesah  
G.E.I. Moskva - 1957
72. Lee E.C. Ian Chen - A weighted least squares parameters estimation of synchronous machines  
IEE Trans., P.A.S. nr.1 1977

73. Lerner L. - retroenie obchodu s elektricesskimi masinami po srednich cinstostim R.S.F.S.R. i SSSR  
Electrotehnika nr.7-1973.
74. Levinstein M.L. - Upravlenie dushim i gaskom elektritechniki Energia - Moscow - 1972
75. Liuter R.A. - Konec sinyronnih magin Energia - Leningrad - 1972.
76. Makarov B. - Magnitnoe pole v subjetivnoj elektricesskoi masini Electrotehnika nr.7-1973
77. Mamikonian L. - O prieobnih protsessach v sinyronnikh masinakh s uskoritelnymi kotorami na rotore Electrotechnika 7-1974  
- generator mobilnoi satelitnoi strelki na 355 AVA machine
78. Manchur G., Lee D.C., Coultes J.E., Griffin T.B., Watson J. - Frequency selection of the carrier in a synchronous machine
79. F.P. de Mello I.R. Ribeiro - Derivation of synchronous machine parameters from tests J.E.E. Transactions on Power Systems 1973-1974
80. Mihalache I. - Parametres de regim transitoriu de la machine synchrone Definitii si metode de determinare Rev.roum. sci.techn. energetica 1973-29, nr.3
81. Mihalache I. - Cu privire la rezolvarea problemelor ecuatiilor Park cu purtatorii transitorii Electrotehnica nr.7-1973.
82. Mihalache I. - Identificarea dinamicii purtatorilor transitorii din cadrul studiului a masinii sincrone Electrotehnica nr.7-1973
83. Mikliaev I. - Opredelenie parametrov sinyronikh masin Electrotechnika nr.7-1973
84. Myskis A.D. - Introductory course for electrical engineers Lectures in English and Russian Publishers - Moscow - 1970
85. Myskis A.D. - Advanced introductory course for electrical engineers Publishers - Leningrad - 1971

26. Nedelcu V.
27. Newton G.C.,  
Goult L.A.
28. Nicolaide A.
29. Nicolaide A.
30. Nicolaescu I.,  
Stoka M.I.
31. Novac T.
32. Pavliuk K.
33. Pavliuk k. -  
Bednarek S.
34. Petrov G.N.
35. Petrov Iu r.
36. Postnikov I.M.
37. Postnikov I.M.
38. Postnikov I.M.
39. Postnikov I.M.;  
Stanislavski L.  
i. dr.
- Regimurile de functionare ale  
masinilor de curent alternativ  
E.T.Bucureşti 1968
  - Analytical Design of Linear Feed  
back-Controls  
New York, Jon Wiley - Sons 1957
  - Maşini electrice - vol.I, vol.II  
Craiova - 1975
  - Untersuchung der Dampferwicklung  
und des natürlichen Dampfersystems  
der Schenkelpol Syncronmaschinen  
Arch. für Elektrotechnik 2H/1969.
  - Matematici pentru ingineri  
E.T. 1971
  - Maşini electrice  
Lit.Instit. Politehnic T.V.  
Timişoara, 1969.
  - Méthode statistique de mesure  
des constantes de temps et des reac-  
tances d'une machine synchrone.  
R.G.E. Juin 1962
  - Fusk i asinhronniye rezimi sinhro-  
nnih dvigateli  
Energia - Moskva - 1971
  - Elektriceskie maşinî  
G.E.I.- Moskva - 1963
  - Variatiipnnie metodî optimal nogo  
upravlenia  
Energia-Leningrad -1965
  - Proektirovanie elektriceskih maşin  
Kiev -1960
  - Obšciaia teoria elektriceskih  
maşin Tehnika -Kiev 1966
  - Obobscennaia teoria i perehodniye  
prosesi elektriceskih maşin  
Tehnika -Kiev -1966
  - Elektromagnitniye i teplovie  
processi v kontsevih ciastiah  
moscinih turbogeneratorov  
Nauk dumka-Kiev-1971

100. Postnicov I.M.
- Savisimosti aksialnoi sorty vliyaiuscii polia v torgovoi zone turbogeneratora. Et. svidetelstvo. SSSR. 1977
101. Postnikov I.M.  
Maergoiz I.D.  
Postnikov V.J.
- Muzhitnoe pole i. ravn. tr. zamecenia masivnye-rotornye majini pri malih sholjeniakh Elektricestvo 5-1977
102. Rafian L.
- Determination of synchronous machine phase-coordinate parameters Proc.I.E.E. vol.123-3/1975
103. Riazanov G.A.
- Opiti i modelirovaniye pri izuchenii electromagnitnogo polia Nauka, Moskva 1965
104. Rogozin G.G.  
Gorin V. Ia.
- Opredelenie chastotnykh karakteristik krupnykh turbogeneratorov Electr.st.nr.2, 1971.
105. Rogozin I.
- Parametry ekvivalentnykh konturov shem zamecenia rotora obobshchenogo turbogeneratora Elektrotehnika nr.5 - 1980
106. Rotici R.V.
- Izmerenie harmonik polia v zazore asinhronnykh magin s pomochnym izmeritelnym obmotok Elektromehanika nr.6-1967
107. Salvatore L,  
Savino M., Torcello A.
- Determinazione dei parametri della macchina sincrona utilizzando un minicalcolatore Electrotechnica nr.7, 1979.
108. Say M.G.
- Electrical engineer's reference book 13-th edition London 1976
109. Schakhaft G.
- New approach to the determination of synchronous machine parameters from tests. Proc.I.E.E. 121-11 November 1974
110. Schakhaft G.,  
Hensler P.B.
- Model of Generator Saturation for Use in Power System Studies Proc.I.E.E. Vol.126, 8-1979
111. Sergheev P.S.,  
Vinogradov N.V.  
Gorianov P.A.
- Proektirovanie elektricheskikh magin Energija - Moskva 1969
112. Sivokobilenko V.
- Opredelenie parametrov i karakteristik magin peremenogotoka T.V...Z. Energetika nr.5-1972

113. Sokolov M. - Opredelenie ciastotnich harakteristik sinhronnih masin  
Blektricestvo 1-1962
114. Sokolov M. - Opredelenie ekvivalentnih elektromagnitnih parametrov sinhronnih dvigatelei  
Elektrotehnika 1-1977.
115. Sugiyama T., Nishiwaki T., Takada S., Abe S. - Measurements of Synchronous Machine Parameters under operating Condition I.E.E. Trans. on P.A.S. vol. PAS 101 nr.4/1982
116. Taft V.A. - Elektriceskie tepi s periodiceski izmeniaiuchimisja parametrami i perehodnimi processami v sinhronnih masinah  
Izi. A.I. S.S.R. - 1952
117. Takada I., Adkins B. - Determination of synchronous machine parameters  
Proc.IEE 121-12 december 1974
118. Talalov I.T. - Parametri i harakteristiki iavnopoliusnih sinhronnih masin  
Energia - Moskva - 1978
119. Ter-Gazarian G. - Aktivnie soprotivlenie obratnoi posledovatelnosti iavnopoliusnogo rotora s uchetom nauscenia  
Elektrotehnika nr.1/1977
120. Titko A.T., Sastlivii G.G. - Matematicheskoe i fiziceskoe modelirovanie elektromagnitnih polei v elektriceskikh masinah peremenogo toka  
Nauk, dumka - Kiev 1976
121. Titov V, Hutoretskii - Turbogeneratori  
Energia Leningrad - 1965
122. Trescev I.I. - Elektromehaniceskie processi v masinah peremenogotoka  
Energia Leningrad. 1980.
123. Vainer I.G. - O sverhper hodnoi postoiannoj vremeni turbogeneratorov  
Elektriceskij c stantii nr.12-1976
124. Vajnov A.T. - Osnovni teori perehodnih processov sinhronnoi masini  
Goseneroisdat Moskva - 1960
125. Vajnov A.T.-Elektriceskie masini  
Energia Moskva - 1969

126. Vajnov A.T.  
Grinbaum  
- Analiticeskie reshenija itogov  
polia obmotki v obrysovej turbogeneratora s milom. nizkogo napetija  
Elektrotehnika pp.7/1'73
127. Vajnov A.T.  
- Ispredobnje projekta v usloviyakh  
vremennoj jeteckoj  
Energija - les i zemlja - 1970
128. Veinger A.I.  
- Ekspериментальное определение параметров синхронного генератора  
Киевская Енергетика №11/1973
129. Voldek A.I.  
- Elektrocceskie issledovaniya  
Energija, elektrosvyaz, 1970
130. Voldek A.I.  
- Elektrocceskie issledovaniya  
Seriya Beringsland 1974
131. Watson W.,  
Lanchur G.  
- Synchronic generator characteristics  
Top values from 20 Volt  
measurements at the Steamer Amuralska  
TEB Trans. IAS vol. IAS 93, 3-1974
132. Yao-nan Yu  
- Experimental determination of Electrical  
Equivalent Circuit Parameters of  
Synchronous Generators  
IEE Trans. on Power Apparatus, 1971.
133. x x x  
- Synchronic generators  
Obzor po dokladam A.T. Voldeka  
Iseric 1960  
Energija Mochi - 1970
134. x x x  
- Synchronic generators  
Sbornik perevodov i stenkovoj  
mezhdunarodnoi konferencii po sovremennoj  
elektrocceskim issledov. (Sankt-P.)/4
135. x x x  
- Synchronic generators  
Mejdunarodnaia konferencija  
Synchronic Generators (Sankt-P.)  
Obzor dokladov  
Energija Mochi 1977
136. x x x  
- Rapport d'activite du groupe de  
travail obj. Conditions d'exploitation  
et calcul des etapes de  
des tests de genc.  
Electrocces  
Kievskaja Energetika  
Elektrotehnika - 1974 pp.  
10,11
137. x x x  
- x x x  
Energija - les i zemlja - 1970

L. • R. N.

Memoratorul Enginerului electrician  
Siemens